

**38307**

T.C.  
İSTANBUL ÜNİVERSİTESİ  
FEN BİLİMLERİ ENSTİTÜSÜ

**NORMAL VE ÖZEL A YILDIZLARININ  
SPEKTRUM SENTEZ TEKNİĞİ İLE ATMOSFER  
YAPILARININ İNCELENMESİ**

DOKTORA TEZİ

Hülya ÇALIŞKAN

Astronomi ve Uzay Bilimleri Anabilim Dalı  
(Yıldız Atmosferleri Programı)

Danışman: Prof. Dr. Dursun KOÇER

**TEMMUZ -1995**

## ÖNSÖZ

Bu çalışma, yıldızların atmosfer yapılarının incelenmesinde yeni kullanılmaya başlanan “Spektrum Sentez” tekniğinin, Normal ve Özel A tipi yıldızlar üzerinde uygulanması amacını taşımaktadır. Çalışmamızı, örnek olarak alınan kimyasal özel bir yıldızın, kullanılan en yeni gözlem teknikleriyle elde edilen verileri sayesinde model atmosferinin hesaplanması ve bunun “Spektrum Sentez” tekniği yardımıyla oluşturulan, sentetik spektrumlarla kontrol edilmesi, elementlere ait farklı multipleli çizgilerin bulunması, elde edilen çizgilerin tanımlanması, element bolluk anormalliklerinin normal ve özel A yıldızlarına ait değerlerle ve güneş bolluklarıyla kıyaslanması, sonuçta daha önce öne sürülen belirsizliklerin giderilmesi olarak özetleyebiliriz.

Çalışmalarımda desteğini esirgemeyen tez hocam Prof. Dr. Dursun Koçer'e, her türlü teknik imkanı bize sağlayan Fen Fakültesi Dekanı Prof. Dr. Çetin Bolcal'a, çalışmalarımın bir kısmını yapmak üzere gittiğim ABD Güney Carolina The Citadel Koleji'nde ve materyal temininde, bana çok büyük yardımları dokunan, Prof. Dr. Saul J. Adelman'a, tezin metnini okuyarak düzeltmeler yapan değerli arkadaşlarımı çok teşekkür ederim. Ayrıca çeşitli fedakarlıklarla bana destek olan anne ve babama da en derin sevgi ve şükranlarımı sunarım.

Bu çalışmanın bir kısmı İstanbul Üniversitesi Gözlemevi Araştırma ve Uygulama Merkezi'nce ve The Citadel Fizik Bölümü'nce desteklenmiştir.

## İÇİNDEKİLER

<u>KONU</u>	<u>SAYFA</u>
ÖNSÖZ	i
İÇİNDEKİLER	ii
ÖZ	iii
ABSTRACT	iv
ŞEKİL VE ÇİZELGELER LİSTESİ	v
I. GİRİŞ	1
I. 1- Bu Çalışmanın Amacı	1
I. 2- A Tipi Normal Yıldızlar	1
I. 3- Ap Yıldızları	6
I. 4- HD204411 Manyetik Ap Yıldızı İçin Yapılan Çalışmalar	15
II- GÖZLEM MATERİYALI VE İNDİRGENMESİ	20
II. 1- Spektroskopik Materyalin Analizi	20
III. BULGULAR	23
III. 1- Radyal Hız ölçümü ve HD204411 Yıldızının değişkenliği	23
III. 2- Atmosfer Parametreleri	27
III. 3- Model	32
III. 4- Spektrum Sentez Programı: SYNTHE	33
III. 5- HD204411 Yıldız Atmosferinin Kimyasal Bileşimi	34
III. 5- 1- Bolluk Analizi	34
III. 5- 2- Bollukların kıyaslanması	35
III. 5- 3- HD204411' in Atmosferinde Saptanan Elementlerin Ayrıntılı İncelenmesi	35
IV. TARTIŞMA VE SONUÇ	39
V. TÜRKÇE ve İNGİLİZCE ÖZET	41
VI. KAYNAKLAR	43
VII. EKLER	48
VIII. ÖZGEÇMİŞ	99

## ÖZ

“Normal ve Özel A Yıldızlarının Spektrum Sentez Tekniği ile Atmosfer Yapılarının İncelenmesi” amacıyla hazırlanan bu çalışmada, soğuk kimyasal özel yıldızların temsilcisi olarak alınan keskin çizgili  $A_p$  yıldızı, HD 204411'in, en son gözlem teknikleriyle Dominion Astrophysical Observatory'de (DAO) alınan verileri, “Spektrum Sentez” adı verilen yeni bir teknik yardımıyla değerlendirilmiştir. Hesaplanan model atmosfer parametrelerinin yardımıyla ve bu teknik kullanılarak oluşturulan yapay spektrum, gözlemlerle kıyaslanmıştır. Eski çalışmalarla karşılaştırıldığında element bolluğu ve atmosfer parametrelerinin çok daha doğru olarak hesaplandığı ve yıldızın özelliklerinin daha net belirlendiği görülmüştür.

**ABSTRACT****THE ATMOSPHERIC ANALYSIS OF THE NORMAL AND PECULIAR A STARS  
BY USING SPECTRUM SYNTHESIS TECHNIQUES**

For the purpose of “The Atmospheric Analysis of Normal and Peculiar A Stars by Using Spectrum Synthesis Technique”, the data, obtained by the latest observational techniques at the Dominion Astrophysical Observatory (DAO), of the sharp-lined A<sub>p</sub> star HD 204411, a representative of the cool chemical peculiar stars have been computed by the help of the new methodology called “Spectrum Synthesis”. The synthetic spectrum constructed by using the spectrum synthesis with the contribution of the calculated model atmosphere parameters of the star has been compared with the observational spectrum. It has been observed that the parameters and abundance values have been computed more accurately and the peculiarities of the star has been determined more clearly compared to the old studies.

## ŞEKİL VE ÇİZELGE LİSTESİ

	SAYFA
<b>Şekiller</b>	
Şekil I-1	Gözlenen hız parametresinin (b-y)'ye göre değişimi. 6
Şekil I-2	Farklı sıcaklıklardaki $A_p$ yıldızlarının $\lambda$ 5200 civarında, farklı günlerde gözlenen akı dağılımları. 9
Şekil II-1	Eşdeğer genişliklerin kıyaslanması. 22
Şekil III-1	HD 204411'in gözlenen ve hesaplanan enerji dağılımı. 29
Şekil III-2	HD 204411'in farklı metallilikteki üç ayrı modeli. 30
<b>Çizelgeler</b>	
Çizelge I-1	Bazı çizgilerin eşdeğer genişlikleri. 2
Çizelge I-2	A tipi yıldızlarda $< B-V >$ , $< U-B >$ renkleri. 3
Çizelge I-3	MK sınıflamasına göre ortalama renk belirteçleri. 4
Çizelge I-4	A tipi yıldızlarda $v \sin i$ değerinin değişimi. 5
Çizelge I-5	Özel A tipi yıldızlarda $\lambda$ 4200 ve $\lambda$ 5200 özelliklerinin varlığına dair ölçütler. 10
Çizelge I-6	$A_p$ yıldız altgrupları için ortalama $v \sin i$ değerleri. 12
Çizelge I-7	HD 204411 için bazı elementlerin eşdeğer genişlikleri. 18
Çizelge I-8	HD 204411 için bazı elementlerin bolluk değerleri. 18
Çizelge II-1	REDUCE programının seçimsel işlevleri. 21
Çizelge III-1	HD 204411'in ölçüduğumuz radyal hız değerleri. 24
Çizelge III-2	Çakışan bölgelerde spektrumun kıyaslanması. 25
Çizelge III-3	HD 204411'in (u-b) ve (b-y) renklerinin kıyaslanması. 26
Çizelge III-4	Ölctüğümüz mikroturbüfans değerleri. 32

## I. GİRİŞ

### I.1- Çalışmanın Amacı

Bu çalışmanın amacı, elimizdeki hiç kullanılmamış ve 1988-1993 yılları arasında Dominion Astrophysical Observatory'de (DAO) alınmış olan spektrumlarla, HD 204411 yıldızının nicel ve nitel atmosfer analizini yapıp, literatürde sürekli tartışılan değişkenlik konusuna bir açıklık getirmek ve spektrum analizinde yeni kullanılmaya başlanan "Spektrum Sentez" tekniği yardımıyla yıldızın görsel ve kuramsal spektrumlarını kıyaslayıp, yeni çizgiler elde etmenin yanısıra, normal ve aynı gruptan özel yıldızlarla karşılaştırarak, soğuk A<sub>p</sub> türü yıldızların temsilcisi niteliğinde olan bu yıldızın, gerçek atmosfer yapısını ortaya çıkarmaktır.

### I.2- A Tipi Normal Yıldızlar

A tipi normal yıldızlar, HR diyagramında sıcak yıldızlar ( $T_e \leq 10.000$  °K) ile enerjinin konveksiyonla iletiminin önemli olmaya başladığı soğuk yıldızlar, ( $T_e < 6000$  °K) arasındaki geçiş bölgesinde yer alırlar. Bu yıldızlarda yüzey konveksiyon alanları geniş değildir. Hidrojen en önemli opasite kaynağını oluşturur. Dönme hızları küçüktür. Spektrumlarda emisyon çizgilerine ve kısa süreli düzensiz değişimlere rastlanmaz. A tipi yıldızlar sınıflandırılması en zor olan yıldızlardır. Çünkü sınıflandırmaya yardımcı olacak çizgiler, ya çok kuvvetlidir (Ca II, K λ 3933Å ve hidrojenin Balmer çizgileri) ya da çok zayıftır. Bu yıldızlarda, sıcaklık ve parlaklığın saptanması, orta şiddetteki metal çizgilerinin yokluğundan dolayı oldukça zordur. Bu yüzden Strömgren'in (1963, 1966) uvby fotometrik sistemindeki (b-y) farkı, bütün A yıldızları için bir sıcaklık göstergesi, c<sub>1</sub> belirteci de bir çekim ivmesi göstergesi olarak kullanılabilir.

Kütle değerleri, A0 tipi için  $2.5 M_\odot$  ile geç tiplere doğru  $1.5 M_\odot$  arasında değişir. Yarıçapları,  $2.1 R_\odot$  ile  $1.9 R_\odot$  değerleri arasındadır (Wolff, 1983). B tipi yıldızlarda görülen He I çizgileri A tipi yıldızlarda görülmez, yerini A2 tipinde maksimum şiddete ulaşan hidrojen çizgileri alır. Bu şiddet, geç A tipi yıldızlara doğru azalmaya başlar. A0 tipinde zayıf olarak görülen Ca II'nin K çizgisi, geç tiplere doğru şiddetlenir. Metal çizgileri zayıftır ama yine geç tiplere doğru şiddetleri artar.

A tipi normal cüce yıldızlardaki bazı kuvvetli çizgilerin elde edilen eşdeğer genişlikleri Çizelge I-1'de verilmiştir (Jaschek ve Jaschek, 1976).

### **Çizelge I-1 Bazı çizgilerin eşdeğer genişlikleri ( $\text{\AA}$ )**

Spektrel Tip	$H_{\alpha}$	$H_{\beta}$	$H_{\gamma}$	Ca II K	Fe I $\lambda 4045$	Sr II
A0	9.0	12.2	13.6	0.3	0.1	0.1
A3	9.3	14.1	17.0	2.1		
A5	8.5	13.0	15.5	3.5	0.2	
A7	6.6	10.9	13.0	4.5		
F0	5.5	7.0	8.0	6.5	0.3	0.2

A tipi yıldızların HD sınıflaması, Balmer çizgilerine ve Ca II'nin K çizgisine bakılarak yapılır (Keenan ve ark., 1969). Fe II, Si II ve Mg II gibi iyonlaşmış metal çizgileri A5 tipi civarında maksimum şiddete ulaşır. MK sınıflamasında ise, A2 tipine kadar Balmer çizgilerinin şiddeti, daha sonraki sınıflarda ise Fe II, Mg II ve Ti II çizgilerinin şiddet oranları kullanılır. En önemli sınıflama belirteçleri Chaloge ve Divan (1952) tarafından verilmiştir. Bunlar D ve  $\lambda_1$  dir. D, Balmer Kesiği'nin büyüğlüğü,  $\lambda_1$  ise etkin dalgaboyudur. Burada D, Balmer Kesiği'nin uzun ve kısa dalgaboyu tarafında ölçülen akılarının oranı ile ilişkilidir, yani:

$$D = \log(F_u / F_k)$$

D'nin spektrel sınıflara göre değişimi A tipi yıldızlarda maksimumdur.

A tipi yıldızlarda spektrel çizgilerin şiddetine göre yapılan bu tür sınıflamaların yanında süreklilık ölçümüne dayanan fotometrik sınıflamaya da başvurulmuştur. Bu sınıflamada erken tip yıldızlar için, UBV fotometrik sistemi (Johnson ve Morgan, 1953) ve Strömgren'in uvby fotometrik sistemi kullanılır.

UVB sisteminde bantların her biri 1000 Å genişliğinde duyarlılıklara sahiptirler. U, 3500 Å, B, 4300 Å ve V, 5500 Å merkezi dalgaboylarını temsil etmektedir. U ve B bantları Balmer Kesiği bölgесine

rastladıkları için U-B farkı Balmer kesığının bir ölçüsü olur. Normal A tipi yıldızlarının ortalama B-V ve U-B renkleri Çizelge I-2 de verilmiştir (Cowley ve ark., 1970):

**Çizelge I-2 A Tipi yıldızlarda  $\langle B-V \rangle$ ,  $\langle U-B \rangle$  renkleri.**

Spektrel Tip	$\langle B-V \rangle$	$\langle U-B \rangle$	Yıldız Sayısı
A0	-0.01	-0.05	102
A1	0.01	0.00	104
A2	0.05	0.06	102
A3	0.09	0.09	74
A4	0.13	0.11	21
A5	0.16	0.10	22
A6	0.17	0.10	4
A7	0.19	0.09	19
A8	0.25	0.12	10
A9	0.22	0.08	2

uvby sisteminde ise, geçiş bantlarının genişlikleri 180 Å dan 300 Å'a kadar uzanır. Bu bantların yer aldığı merkezi dalgaboyları sırasıyla, 3500 Å, 4100 Å, 4700 Å ve 5500 Å dur. Bu dört renge ek olarak, H $\beta$  çizgisinin şiddetinden elde edilen bir  $\beta$  niceliği de A4-F0 spektrel aralığında etkin sıcaklık ve parlaklık belirteci olarak kullanılır (Strömgren, 1966). (u-b) ve (b-y) renklerine ek olarak, iki nicelik daha tanımlanmıştır.

$$c_1 = (u-b) - (v-b)$$

ve

$$m_1 = (v-b) - (b-y)$$

Burada  $c_1$ , parlaklık ve çekim belirtecidir. Aynı zamanda Balmer süreksizliğinin de bir ölçüsüdür.  $m_1$  ise  $\lambda$  4100 bölgesindeki metal çizgilerinin sıklaşması ve element bolluğuuna duyarlıdır. A<sub>p</sub> yıldızlarında bu belirteçler normal değerler almaz;  $m_1$  çok büyük,  $c_1$  ise çok küçük değerler alırlar (Comeron, 1967, Gerbaldi, ve ark., 1974). Bu belirteçlerin yıldızlararası sönükleşmeden etkilenmemiş değerleri de şöyledir:

$$[c_1] = c_1 - 0.2(b-y)$$

$$[m_1] = m_1 + 0.18(b-y)$$

A1 - A2 spektrel aralığı için parlaklık belirteci ise:

$$r = (\beta - 2^m \cdot 565) - 0.35 [c_1]$$

Normal A tipi yıldızların MK sınıfına göre bulunan ortalama renk belirteçleri Çizelge I-3'te verilmiştir (Oblak ve ark., 1976).

**Çizelge I-3** MK Sınıflamasına göre ortalama renk belirteçleri

S.TİP	$\langle b-y \rangle$	$\langle m_1 \rangle$	$\langle c_1 \rangle$	$\langle \beta \rangle$	$[m_1]$	$[c_1]$	$[u-b]$
A0	0.002	0.148	1.033	2.860	0.149	1.032	1.330
A1	0.013	0.157	1.055	2.878	0.159	1.053	1.371
A2	0.030	0.169	1.082	2.880	0.174	1.075	1.424
A3	0.056	0.176	1.060	2.869	0.186	1.049	1.421
A4	0.072	0.184	1.039	2.862	0.198	1.024	1.419
A5	0.095	0.189	0.976	2.837	0.206	0.957	1.369
A6	0.104	0.191	0.970	2.827	0.210	0.949	1.369
A7	0.122	0.189	0.923	2.817	0.211	0.899	1.320
A8	0.138	0.187	0.888	2.793	0.212	0.861	1.286
A9	0.169	0.175	0.820	2.768	0.205	0.786	1.197

Erken tip yıldızlarda, yüksek sıcaklıktan dolayı, hidrojenin iyonlaşması fotosferin hemen altında başladığı için, bu yıldızlarda yüzeysel bir hidrojen konveksiyon bölgesi oluşabilir. A tipi yıldızlarda bu bölge 0.2 optik derinliği civarındadır. Daha geç tip yıldızlarda ise iyonlaşma daha alt katmanlarda meydana gelir. Konveksiyon tabakası da daha derinde ve daha kalın olur. A tipi yıldızlar, radyatif enerji iletiminden, konvektif enerji iletimine geçişin olduğu yıldızlardır. Hidrojen konveksiyon bölgesinin altında, He II iyonizasyon bölgesi, bir konveksiyon bölgesi oluşturabilir. Dolayısıyla A tipi yıldızlarda biri üstte diğerinin altta olmak üzere iki konveksiyon bölgesi oluşur (Praderie, 1967, Cox ve Giuli, 1968). Üstteki konveksiyon bölgesi, yıldızın atmosferinden

başlayarak, 2400 km derinliğe kadar uzanan H I ve He II bölgesi, alttaki ise 4300 km ile 8500 km derinlikleri arasında yer alan He II konveksiyon bölgesidir (Toomre, Zahn, Latour ve Spiegel, 1967). Bu iki bölgenin arasında kalan alan ise radyatif dengedendir.

Normal A tipi yıldızlar, özel A tipi yıldızlara ve geç tip yıldızlara göre yavaş dönen yıldızlardır. Spektrumlarında çizgiler çok genişlememiştir (Abt, 1965). Gözlenen 123 tane normal A5-A9 altdev ya da cüce yıldızın, ortalama  $v \sin i$  değeri, 141 km/sn olarak bulunmuştur (Abt ve Moyd, 1973, Abt, 1975).  $v \sin i$  değerinin spektrel tiplere göre değişimi Çizelge I-4'te verilmiştir (Cowley ve ark., 1970).

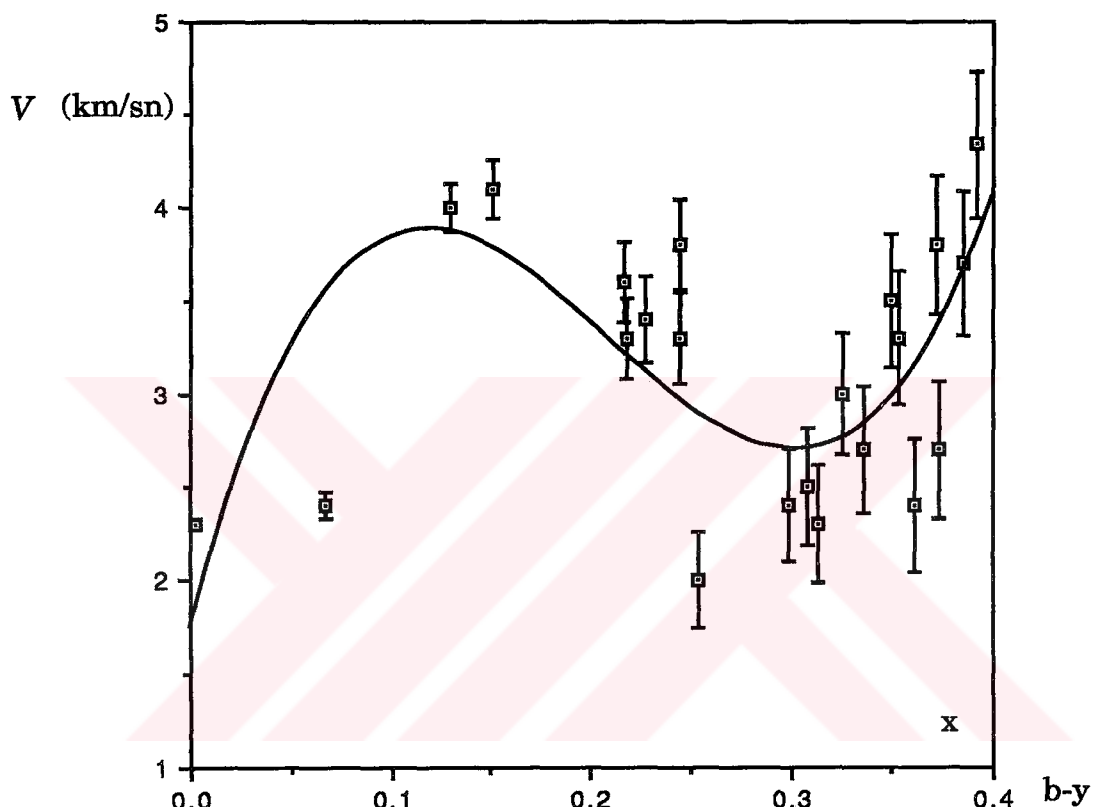
#### Çizelge I-4 A Tipi yıldızlarda $v \sin i$ değerinin değişimi

Spektrel Tip	$v \sin i$ (km/sn)	Yıldız Sayısı
A0	147	90
A1	134	90
A2	124	90
A3	145	81
A4	151	30
A5	143	34
A6	108	9
A7	154	23
A8	159	14
A9	108	2

Abt (1965), A4-F2 altdev ve cüce yıldızları arasından 55 normal yıldızın, çift olma durumlarını incelemiştir, bunların 17 tanesinin, yörünge periyodu 100 günden büyük olan sistemlerin üyesi olduklarını bulmuştur. Dworetsky'nin (1974), A0 tipine yakın 250 yıldız üzerinde yaptığı çalışmada, yavaş dönen yıldızların bulunduğu bölgede spektroskopik çift yıldız sayısında bir artış olduğu görülmüştür.

Yıldız atmosferlerinde maddenin termal olmayan hareketleri, spektrel çizgilerin genişlemesine ek katkıda bulunur. Mikroturbülans dediğimiz bu hareketin hızı, A2 tipinde 2 km/sn civarındayken, daha geç tip A yıldızlarında 4 km/sn değerine çıkar (Chaffee, 1970). Gözlenen hız

parametresinin ( $b-y$ )'ye göre değişimi Şekil I-1'de gösterilmiştir. Şekilde hata oranlarının değeri yaklaşık 0.3 km/sn civarındadır. Güneşe ait hız değeri  $x$  ile gösterilmiştir. Eğri, gözlenen hızlarla ortalama hızlar arasındaki farkı temsil etmektedir.



**Şekil I-1.** Gözlenen hız parametresinin ( $b-y$ )'ye göre değişimi

### I.3- $A_p$ Yıldızları

$A_p$  yıldızları, tayflarındaki garipliklerle dikkati çekerler. Bu grubun tipik örneği,  $\alpha^2$  CVn yıldızıdır. Kolayca gözlenen ( $m_v = 2.9$ ) bu yıldız, spektrumunda Si II dubletinin ( $\lambda\lambda 4128.31$ ) şiddetli, Ca II K çizgisinin ise zayıf olması ve çeşitli çizgilerde de şiddet değişimlerinin görülmesi üzerine özel yıldız olarak sınıflandırılmıştır (Maury, 1897).

1914 yılında  $\alpha^2$  CVn'nin bir spektroskopik ve fotometrik değişken olduğu anlaşılmıştır (Guthnick ve Prager, 1914). İşık eğrisi maksimum

gösterdiğinde bu yıldızdaki Eu elementinin çizgi şiddetindeki değişim de artmaktadır. Ayrıca radyal hız ve spektrum değişimleri de birbirlerine bağımlılık göstermektedir. Daha sonraki çalışmalar özellikle de, Morgan (1933) ve Deutsch'in (1947) çalışmaları, bu tür özelliklerin tüm  $A_p$  değişen yıldızlarının ortak özelliği olduğunu ortaya çıkarmıştır. Yine de değişimlerin ayrıntıları yıldızdan yıldıza farklılık göstermektedir.

$A_p$  yıldızları için başarılı bir model, ancak keskin çizgili  $A_p$  yıldızlarının değişken manyetik alanlara sahip olduklarının keşfedilmesi ile kurulabilmisti. Manyetik alanlarla ilgili yapılan gözlemler, yıldızın dönme ekseninin yanında bir de simetri eksene sahip olduğu varsayımlarını öne çıkarmıştır. Bu da Kararlı Dönme Modeli (Rigid Rotator Model) için bir basamak teşkil eder (Babcock, 1949).

Bu modele göre spektrel değişen A tipi yıldızlarda, yıldızın manyetik ekseni, dönme eksene eğimlidir. Bu yüzden de manyetik ve spektrel değişimler yıldızın dönme periyoduna yakındır. Bu model Stibbs (1950) tarafından geliştirilmiştir. Model, temelde yıldız manyetik alan ekseninin, dönme ekseni ile bir açı yapacak şekilde eğimli olmasına dayanır. Manyetik alan yıldız yüzeyine gömülüdür ve yıldızla birlikte döner. Bu yüzden gözlemci, yıldız döndükçe, manyetik alan şiddetinde değişimler görecektir. Spektrum değişimleri ise, kararsız elementlerin yıldız yüzeyinde lekeler halinde yığıldıkları varsayıımı ile açıklanabilir. Bu model karşılaşılan bir çok gözlemsel problemi çözmeyi başarmıştır.

Jaschek ve Jaschek (1958),  $A_p$  yıldızlarını altı grupta toplamışlardır. Bunlar geç B spektrel tipinden geç A spektrel tipine kadar uzanan  $\lambda 4200$ -Si, Mn; Si; Si-Cr-Eu; Eu-Cr-Sr ve Sr gruplarıdır. Bugün ise daha basit olarak üç grupta toplanmışlardır: Mn; Si ve Soğuk  $A_p$  Yıldızları. Mn yıldızları ya da HgMn yıldızları,  $A_p$  yıldızlarından ayrı bir grup olarak incelenmektedir.

İlk defa, Cowley ve arkadaşları,  $A_p$  yıldızlarının atmosferindeki elementlerin tanısını yapmak için, istatistik teknikler kullanmışlardır. Çizgi tanımlamalarına istatistik yaklaşımalar için kullanılan temel teknik, Hartoog ve arkadaşlarına (1973) bulunmuştur. Bu teknikte, belirli bir elementin ölçülen dalgaboyu listesi, laboratuvar dalgaboyları ile kıyaslanır. Yıldız ve laboratuvar dalgaboylarının yaklaşık uyumu,

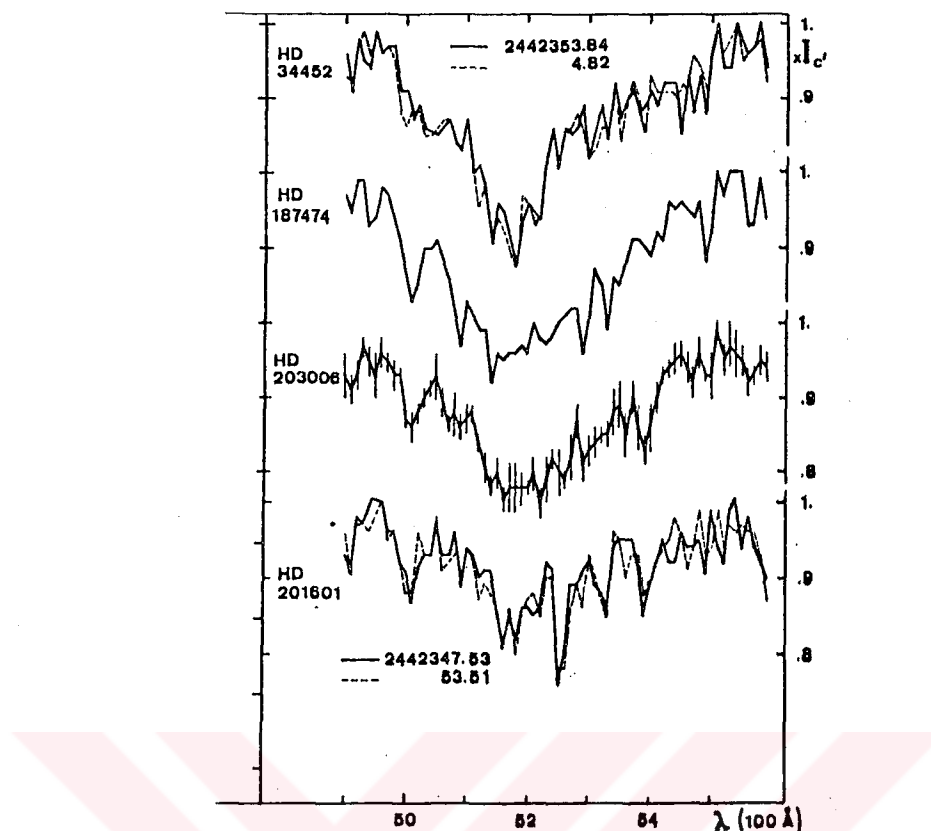
*rastlantı* olarak adlandırılır. Bu rastlantıların değeri hesaplanabilir. Bu tür kıyaslamalar çoğaltılarak, *rastlantıların* bir ortalama değeri  $\langle H \rangle$  ve bu ortalamadan standart sapma,  $\sigma$  hesaplanabilir. Hartoog ve arkadaşları daha sonra, element tanımlaması için *duyarlılık* denilen bir S terimi üretmişlerdir;

$$S = \frac{H_0 - \langle H \rangle}{\sigma}$$

Burada  $H_0$ , laboratuvar dalgaboyları ile rastlaşma sayısıdır. S değeri büyük olan bir element, muhtemelen çok iyi tanımlanmıştır.

$A_p$  yıldızları için iki sıcaklık söz konusudur. Birincisi, çizgi oluşum bölgesinin sıcaklığı (atmosfer modelleri ve bolluk analizleri için kullanılan sıcaklık), ikincisi ise, yıldızın toplam ışınımının bir ölçütü olan  $T_e$  etkin sıcaklığıdır. Birinci sıcaklık UBV renklerinden elde edilen sıcaklıklarla belirlenir (Preston, 1974).  $A_p$  yıldızlarının atmosferi daha çok, yüksek sıcaklıklı bir normal yıldızın atmosferine benzer (Muthsam, 1979). Etkin sıcaklıklar üzerinde, Leckrone (1973), Muthsam (1979), Shallis ve Blackwell (1979) çalışmışlar ve  $A_p$  yıldızlarının sonük ve UBV renklerinin gösterdiğiinden daha küçük  $T_e$  sıcaklık değerine sahip olduklarını bulmuşlardır. Bu sıcaklık değerleri, 8000 °K ile 15000 °K arasında değişir.

Pek çok özel A yıldızının enerji dağılımında var olan, geniş süreklilik özellikleri ile ilgili çalışmalarda fotometrik belirteçler kullanılmıştır. Dalgaboyları 4200, 5200, 6300 Å civarındaki geniş sürekli absorpsiyon çizgileri ilk defa Kodaira'nın (1969), HD 221568 yıldızının spektrofotometrisini incelemesi ile bulunmuştur. Pek çok astrofizikçi, bu çizgilerin sebebinin toplam çizgi örtülmesi, fotoionizasyon ve/veya, otoionizasyon olabileceğini ileri sürmüşlerdir (Shore ve Adelman, 1979). Adelman (1975), spektrofotometri yardımıyla, Maitzen (1976) ise, a indis fotometrisi ile  $\lambda$  5200 Å civarındaki geniş sürekli bozulmasının, bilinen tüm  $A_p$  yıldızlarında bir şiddet aralığı gösterdiğini bulmuşlardır (Maitzen ve Muthsam. 1980) (Şekil I-2).



**Şekil I-2.** Farklı sıcaklıklardaki  $A_p$  yıldızlarının  $\lambda$  5200 civarında, farklı günlerde gözlenen aki dağılımları.

Enerji dağılımları (Adelman, 1975; 1977, Hardorp, 1976),  $\lambda$  4200 özellüğünün  $\lambda$  5200 özelliği kadar mevcut olmadığını,  $\lambda$  6300 ün ise nispeten az bulunduğu göstermiştir. Maitzen (1976a),  $\lambda$  5200 bozulmasının miktarını ölçmek için  $\Delta a = a - a_0$  belirtecini bulmuştur.

Burada  $a = g_2 - 1/2 (g_1 + y)$  dir.  $g_1$  ve  $g_2$  sırasıyla  $\lambda$  5240 ve  $\lambda$  5020 deki kadir cinsinden girişim filtresinden elde edilen ölçümlerdir.  $y$  kadir cinsinden Strömgren filtre ölçümüdür.  $a_0$  aynı sıcaklıktaki normal yıldızların  $a$  değeridir.  $\Delta l$  ve  $\Delta l^*$  belirteçleri ise,  $\lambda$  4200 çizgisinin spektrofotometrisinden hesaplanır (Adelman, 1979).

Burada,

$$l = 1/2 [ (m_{4167} + m_{4200}) - (m_{4032} + m_{4255}) ];$$

$$l^* = 1/2 [ (m_{4167} + m_{4200}) - (m_{4032} + m_{4467}) ] \text{ dir.}$$

$m$  değerleri, indislerdeki dalgaboylarında ölçülen parlaklıklardır.

$l$  ler ve  $(b-y)$  arasında şu bağıntılar vardır;

$$l = \text{sabit} - 0.084 (b-y)$$

$$\Delta l = l - 0.^m006 - 0.14 (b-y)$$

$$l^* = -0.003 + 0.307 (b-y) - 0.880 (b-y)^2$$

$$\Delta l^* = l^* + 0.003 - 0.307 (b-y) + 0.880 (b-y)^2$$

$\lambda 5200$  ve  $\lambda 4200$  çizgilerinin bir yıldızda var olup olmadığı Çizelge I-5'teki ölçütlerle anlaşılır;

**Çizelge I-5** Özel A tipi yıldızlarda  $\lambda 4200$  ve  $\lambda 5200$  özelliklerinin varlığına dair ölçütler

Çizgi	Belirteç	Ölçütler
$\lambda 4200$	$\Delta l$	$\geq 0.^m016$
	$\Delta l^*$	$\geq 0.^m015$
$\lambda 5200$	$\Delta a$	$\geq 0.^m007$
		$\geq 0.^m011$ $b-y \leq 0.^m060$ $b-y > 0.^m060$

$A_p$  yıldızlarının yarıçapları, aynı spektrel sınıftaki anakol yıldızlarındaninkinden daha büyük bulunmuştur. Bu yarıçaplar iki yöntemle hesaplanmıştır. Birincisinde bolometrik parlaklıklar ve etkin sıcaklıklar (Stif, 1974), ikincisinde katı cisim dönme modeli kullanılmaktadır.

İkinci yöntem şu bağıntı ile verilir:

$$R \sin i = \frac{P v \sin i}{50.6}$$

Burada  $R$ , Güneşin yarıçapı cinsinden yıldızın yarıçapı,  $P$ , gün cinsinden dönem,  $v$ ,  $\text{km s}^{-1}$  cinsinden ekvatoral dönme hızı,  $i$  ise dönme

ekseni ile bakış doğrultusu arasındaki açıdır.  $i$  iyi bilinmediği için  $R$  yalnızca istatistik anlamda elde edilir (Preston, 1970, Wolf, 1975a).

$A_p$  yıldızları,  $10^3 - 10^4$  Gauss değerleri arasında değişen manyetik alanlara sahiptirler. Bu manyetik alanlar gün ile yıl mertebesine kadar değişim gösterebilirler (Preston, 1970). Borra ve Landstreet (1980), hızlı dönen  $A_p$  yıldızlarının, yavaş dönenlerden daha zayıf manyetik alanlara sahip olduklarına dair belirtiler bulmuşlar, ancak bir kesinlik getirmemişlerdir.

$A_p$  yıldızlarının dağılımlarına bakıldığından, gözlemler bu yıldızların daha çok genç kümelerde bulunduğu ve evrimleşmemiş cisimler olduğunu göstermiştir. Ancak yaşlı kümeler ve alan yıldızları arasında da bu yıldızlara eşit oranda rastlanmaktadır (Wolff, 1968, Young ve Martin, 1973, Hartoog, 1976, Abt, 1979).

$A_p$  yıldızlarının çift yıldız sistemlerinde bulunma yüzdesi (%27), normal sayısal dağılım gözönüne alındığında düşük bir değerdir. Abt ve Snowden (1973),  $A_p$  yıldızlarının spektroskopik çift yıldız olma durumlarını incelemek üzere 62 tane parlak  $A_p$  yıldızı üzerinde yaptıkları araştırmada Hg Mn yıldızlarının %40'ının, Si yıldızlarının %25'inin, Sr-Cr-Eu yıldızlarının %16'sının çift yıldız sisteminde bulunduklarını saptamışlardır. Hg Mn yıldızları manyetik alana sahip olmadıklarından dolayı  $A_p$  yıldızları sınıfından çıkarılırlarsa çift yıldız sistemlerinde bulunma olasılıkları daha da düşer.

A yıldızlarının görsel çift yıldız sistemlerinde bulunma yüzdesi, normal A tipi yıldızlar için %16 iken  $A_p$  yıldızları için %19'dur. Örten çift yıldızlarda  $A_p$  yıldızlarına rastlanmaz (Jaschek ve Jaschek, 1976).

$A_p$  yıldızları aynı sıcaklık ve parlaklıktaki normal cüce A tipi yıldızlarından daha yavaş dönerler. Bunların  $v \sin i$  değerleri, 100 km/sn yi geçmez. Alan yıldızlarında yer alan bazı  $A_p$  yıldız grupları için ortalama  $v \sin i$  değerleri Çizelge I-6'daki gibidir (Wolf, 1981).

**Çizelge I-6 A<sub>p</sub> yıldız alt grupları için ortalama  $v \sin i$  değerleri**

Grup	$\langle \text{Kütle} \rangle$	Yıldız Sayısı	$\langle v \sin i \rangle$
Si	$4M_{\odot}$	63	54
Si-Cr	$3M_{\odot}$	64	36
Si-Cr-Eu	$2M_{\odot}$	61	24

Si grubunda oldukları halde hızlı dönen A<sub>p</sub> yıldızları da vardır. Örneğin 56 Ari yıldızının dönme hızı 175 km/sn dir (Bonsack ve Wallace, 1970, Borra ve Landstreet, 1980)

A<sub>p</sub> yıldızlarının, normal A tipi yıldızlara göre daha yavaş dönmelerinin sebebi manyetik frenleme ile açıklanmaya çalışılmıştır. Manyetik alanın olması durumunda yıldızın dönmesindeki yavaşlama, kütle atımı ya da alımı ile açısal momentum kaybını gerektirir. Havnes ve Conti (1971), A<sub>p</sub> yıldızlarında manyetik alan ekseni ve dönme ekseni arasındaki eğimden dolayı, manyetik alanın yakaladığı iyonların dönmeye etki edip yavaşlamaya sebep olduklarını ileri sürmüşlerdir. Dönme hızının bir e faktörü kadar yavaşlaması için gerekli zaman, en genç yıldızlar için  $6 \times 10^7$  yıl ve en yaşlı yıldızlar için  $6 \times 10^8$  yıldır (Wolff, 1981).

A<sub>p</sub> yıldız atmosferlerinde bolluk değerleri incelendiğinde, He, C, N, O elementleri normalin altında bolluk gösterirken, Si, Cr, Sr, Y, Zr, Nd, Sm, Gd, ve Eu gibi elementlerin bolluklarının fazla olduğu bulunmuştur. Soğuk A<sub>p</sub> yıldızlarında ise Cr, Sr, Eu element çizgilerinin şiddetinin arttığı görülür. Adelman (1973), 21 tane Sr-Cr-Eu yıldızı üzerinde yaptığı çalışmada Fe grubu elementlerin bolluğunun arttığını, fakat en büyük bolluk artışının Cr elementinde olduğunu bulmuştur.

A<sub>p</sub> yıldızlarındaki bolluk anormalliklerini açıklamak üzere nükleer ve nükleer olmayan işlevler öne sürülmüştür. Nükleer olayların, yıldızın yüzeyinde, iç bölgesinde ve bir yakın yoldaş yıldızda olacağı varsayımları üzerinde durulmuştur.

A<sub>p</sub> yıldızlarında ağır elementler bol olarak bulunmuştur. Bu elementlerin, füzyon ya da  $\alpha$ , proton yakalama reaksiyonları tarafından

oluşturulması mümkün olmayacağından, Fowler, Burbidge, Burbidge ve Hoyle (1965) bazı elementlerin normalden fazla bolluğunun, yıldız içinde hızlı nötron ilavesi ile sağlanacağını belirtmişlerdir. Fowler ve arkadaşları,  $A_p$  yıldızlarını, helyum yanmasını başlatacak kadar evrimleşmiş kabul ettiklerinden, helyum parlaması sırasında, hızlı nötron yakalama sürecinin ( $r$ -süreci) gerçekleşeceğini belirtmişlerdir. Demir grubu çekirdekler, (Cr, Mn, Fe, Co ve Ni) nötron yakalama reaksiyonları ile ağır elementlerin oluşumuna neden olurlar. Bu şekilde oluşan ağır elementler karışım ile yıldız yüzeyine taşınırlar. Bu kuram,  $A_p$  yıldızlarının çok genç kümelerde gözlenmesi durumu ile çelişmektedir.

Fowler, Burbidge ve Burbidge (1955),  $A_p$  yıldızlarındaki manyetik alan değişimlerinin, yıldız yüzeyindeki parçacıkları hızlandıracağını ve nükleer reaksiyonları başlatacağını ileri sürmüştür. Brancazio ve Cameron (1967), manyetik alanda proton ve  $\alpha$  parçacıklarının hızlandırıldığını, fakat parçacık reaksiyonlarının yıldızın tüm yüzeyini kapsamadığını, sadece manyetik etkinliğin büyük olduğu güneş lekelerinin kine benzeyen daha küçük bölgelerde meydana geldiğini kabul etmişlerdir. Hızlandırılan  $\alpha$  parçacıklarının, çekirdekleri bombardımanı ile daha ağır elementler oluşur. Bu bombardıman kısa süreli olursa, Fe grubu elementlerin bolluk değişimine, uzun süreli olursa, Nadir Toprak Alkalilerinin (Ca, Sr, Ba), aşırı bolluğuna sebep olurlar.

A tipi yıldızlarda geniş konveksiyon alanları olmadığından, yeni oluşan ağır elementlerin yıldız yüzeyinde kaldığı ve spektruma katkıda bulunduğu kabul edilir. Ancak, proton ve  $\alpha$  parçacıklarının eşit akıya sahip olmaları durumunda protonların tesir kesitleri daha büyük olduğundan, ağır elementler yerine daha hafif elementlere parçalanmalar da olabilir.

Fowler, Burbidge, Burbidge ve Hoyle (1965),  $A_p$  yıldızlarının bir bölümünün çift yıldız olmalarından yola çıkarak, yeni bir kuram ortaya atmışlardır. Buna göre evrimleşmiş baş yıldızdaki ağır elementler yoldaş yıldızın yüzeyine aktarılır. Yoldaş yıldızın yüzeyinde yeterli ağır element anormalliliğinin oluşması için, iki yıldız arasındaki ortalama uzaklığın, 40 A.B. olması gereklidir (Van den Heuvel, 1967, Guthrie, 1967).

$A_p$  yıldızları arasında çift yıldız olma durumunun düşük olması, bu kuramın tek başına geçerliliğini sağlamaz.

$A_p$  yıldızlarında nükleer olmayan olaylara örnek olarak manyetik etkileşmeyi gösterebiliriz.  $A_p$  yıldızlarındaki bolluk anormalliklerine, manyetik alan ile iyonlaşmış yıldızlararası ortamın etkileşmesinin neden olduğu ileri sürülmüştür (Havnes ve Conti, 1971). Havnes (1979), yıldız yüzeyine ağır elementlerin ilavesinde gazdan çok taneciklerin etkin olduğunu belirtmiştir. Buna göre, yıldızlararası ortamdaki ağır tanecikler yıldıza yaklaşırken ışınım tarafından iyonlaştırılır ve manyetik alan tarafından yakalanarak yıldız yüzeyine ullaştırılır.

Michaud (1975, 1976),  $A_p$  yıldızlarında bazı elementlerin normalden fazla görülmeyi difüzyon olayı ile açıklamaya çalışmıştır. Difüzyon sürecinin işleyebilmesi için, difüzyonun meydana geldiği bölgenin ve yıldız atmosferinin kararlı olması gereklidir.  $A_p$  yıldızlarının yavaş dönen cisimler olmaları, A ve B tipi yıldızlarda konveksiyon bölgelerinin olmaması ve konveksiyon bölgelerine bağlı olarak meydana gelen kütle kayıplarının çok az olması, bu yıldızların atmosferlerinin kararlı olmasını sağlar. Klasik elektromanyetik kurama göre, bir maddesel ortam, E enerjili bir ışınım absorpladığında, hareket yönünde,  $E/c$  momentumu kazanır. Bu momentum, yıldız kütlesinin  $10^{-4}$ 'inden daha yoğun olmayan bölgelerde ışonlara aktarıldığında, ışonun üzerine etkiyen ışınım kuvveti, çekim kuvvetinden de büyük bir hale gelerek, yukarı doğru itilir ve yıldız atmosferinin dış kısımlarında bazı elementlerin aşırı bolluğuına neden olur. Manyetik alan ışonların difüzyonunu engelleyebilir. Yatay yönlenmiş bir alan, dikey difüzyonu, dikey yönlenmiş bir manyetik alan da yatay difüzyonu geciktirebilir. İyonlar kapalı manyetik alan çizgilerine yakalanabilirler (Bonscak ve Wolff, 1980). Michaud (1970), manyetik alanın çekim alanına paralel olduğu zaman, elementlerin akışının yavaşlamayacağını, fakat yıldız yüzeyinin belli bölgelerinde toplanmak üzere, manyetik alan çizgileri boyunca taşınacaklarını ileri sürmüştür.

## I.4- HD204411 Manyetik A<sub>p</sub> Yıldızı İçin Yapılan Çalışmalar

HD 204411 (=HR8216), yıldızı düşük etkin sıcaklıklı bir A<sub>p</sub> yıldız sınıfının temsilcisidir. Bu sınıfındaki yıldızların atmosfer analizinin yapılması 1973 yılında başlamıştır (Adelman, 1973). HD 204411, oldukça keskin çizgili bir yıldızdır ( $v \sin i < 5\text{km/sn}$ ). Bu yüzden, çizgi tanısı, eşdeğer genişlikler ve model atmosfer çalışmaları için uygundur.

HD 204411 yıldızı, çeşitli kataloglarda ve fotometrik sistemlerde değişik şekillerde isimlendirilmiştir:

### HD 204411

SAO50867	GEN#+1.00204411	SKY#40887
NSV13718	AG+481744	UBV M 25725
GC 30040	HR8216	BD+483390
CEL 5313	TD1 28127	PLX5167
UBV 18504	GCRV 13490	ROT3125

İlk defa, Morgan (1932), HD 204411 yıldızını Eu-Cr sınıfından özel bir yıldız olarak sınıflandırmıştır. Babcock (1957), A6p spektrel tipindeki (HD tipi, A3) bu yıldızı, muhtemel manyetik yıldızlar arasında belirtmiştir. Preston (1970), bu yıldızın uzun periyotlu bir değişken olduğunu öne sürmüştür. Daha sonra, Wolff ve Morrison (1973) ile Winzer (1974), yıldızın fotometrik olarak değişkenliğine dair kesin sonuçların olmadığını belirtmişlerdir.

Yıldızın görünen parlaklığı 5.31, mutlak parlaklığı ise 0.89 kadirdır (Grenier ve ark., 1981). Yarıçapı, güneşin 3.2 katı kadardır (Babu ve Shylaja, 1981). Rengi ilk defa Provin (1953) tarafından bulunmuştur ve U-B=+0.15, B-V=+0.09, (U-B)<sub>0</sub> = 0.11, (B-V)<sub>0</sub> = 0.03'dir (Adelman, 1973).

Manyetik alanı 0.5 KGauss'tur (Preston, 1971). Yıldızın manyetik alanının, atmosfer yapısına ve çizgi oluşumuna etkisi azdır. Bu değer diğer A<sub>p</sub> yıldızlarınıninkinden oldukça düşük bir değerdir (Bonsack ve Wolff, 1980).

HD204411'in galaktik koordinatları, 1966 yılında Smithsonian Astrophysical Observatory (SAO) kataloğuunda yayımlanmıştır.

Galaktik boylamı  $l^{\text{II}} = 92^{\circ}09'$ , galaktik enlemi  $b^{\text{II}} = -01^{\circ}39'$ dur. Ayrıca, 2000 yılına göre ekvatoral koordinatları; rektasasyonu,  $\alpha = 21^{\text{h}}26^{\text{m}}51^{\text{s}}.23$  ve deklinasyonu,  $\delta = 48^{\circ}50'05''.3$  dir. Öz hareketi, rektasasyon için  $\mu_{\alpha} = 0''.0055 \text{ yıl}^{-1}$  deklinasyon için  $\mu_{\delta} = +0''.026 \text{ yıl}^{-1}$  dir. Radyal hızı Abt ve Biggs'in (1972) hesaplamalarına göre ortalama  $-12.5 \text{ km/sn}$  dir. Bizim çalışmamızda bu değer  $-15.00 \pm 0.7 \text{ km/sn}$  olarak bulunmuştur (bkz.III-1).

HD204411'in etkin sıcaklığı bir çok araştırmacı tarafından hesaplanmıştır. Adelman (1973), UBV fotometrik verilerinden bulunan başlangıç değerini  $9250 \text{ }^{\circ}\text{K}$  alarak yaptığı hesaplamada etkin sıcaklık değerini  $9500 \text{ }^{\circ}\text{K}$  bulmuştur. Diğer değerler,  $8550 \text{ }^{\circ}\text{K}$  (Searle ve Sargent, 1964);  $8750 \text{ }^{\circ}\text{K}$  (Mihalas ve Henshaw, 1966);  $9175 \text{ }^{\circ}\text{K}$  (Sargent ve ark., 1969);  $9200 \text{ }^{\circ}\text{K}$  (Searle ve ark., 1966) ve  $9005 \text{ }^{\circ}\text{K}'dir (Gerbaldi ve ark., 1989). Biz bu değeri  $8400 \text{ }^{\circ}\text{K}$  olarak belirledik (bkz.III-2).$

Yüzey çekim değeri ise Searle ve Sargent (1964) tarafından gözlenen  $H_{\gamma}$  profillerinden ve Strom ve Peterson (1968) tarafından tanımlanan atmosferler ve çizgi profillerinden hesaplanarak,  $\log g = 3.7$  olarak bulunmuştur. Sargent ve arkadaşlarının (1969), 4.3; Adelman'in (1973), 4.0 olarak bulduğu bu değer, bizim çalışmamızda 3.3 olarak hesaplanmıştır. (bkz.III-2)

Bu Yıldız için  $b-y$ , renk farkı 0.032 (Adelman, 1981);  $c_1$ , parlaklık ve çekim belirteci ya da Balmer süreksizliğinin ölçü, 1.203;  $m_1$  metallilik belirteci, 0.175;  $\beta$  değeri ise 2.894 olarak hesaplanmıştır (Sargent et.al, 1969). Bu yıldız için  $\Delta a$  değeri  $0^{\text{m}}.009$ ;  $\Delta l$  değeri ise  $0^{\text{m}}.007$  (Adelman, 1981) olarak bulunmuştur.

HD 204411 yıldızının dahil olduğu türdeki Eu-Cr  $A_p$  yıldızlarında Lantanit türü elementler (La, Ce, Pr, Nd, Eu, Gd, vs), spektrumlarda ya zayıftır ya da hiç yoktur (Cowley, 1979). Burada Eu-Cr nitelemesi ile söylemek istenen, Eu elementinin  $\lambda \lambda 3930, 4129, 4205 \text{ \AA}$  çizgilerinden en az iki tanesi ve Cr elementinin  $\lambda 4111 \text{ \AA}$  ve  $\lambda 4171 \text{ \AA}$  civarındaki çizgileri, diğer çizgilerle kıyaslanabilecek ölçüde şiddetlidirler (Cowley, 1979, Osawa, 1964).

HD204411'in atmosfer modeli, Sargent ve ark. (1969) ve Adelman (1973) tarafından, R. Kurucz'un (1970) ATLAS programı ve Strom ile Avrett'in (1965), kullandığı kuramsal H profillerini hesaplayan programlar yardımcı ile hesaplanmıştır. Sargent ve arkadaşlarının (1969) çalışmasında model seçimiyle oluşacak hataların derecesini hesap etmek için bolluk hesapları iki model için yapılmıştır. Bunlardan biri,  $T_e = 8750 \text{ } ^\circ\text{K}$ ,  $\log g = 4.3$  ve  $\xi = 3.5 \text{ km/sn}$ ; ikincisi,  $T_e = 8500 \text{ } ^\circ\text{K}$ ,  $\log g = 4.0$  ve  $\xi = 4.0 \text{ km/sn}$  dir. Adelman'in modelinde kullandığı parametreler ise  $T_e = 9500 \text{ } ^\circ\text{K}$ ,  $\log g = 4.0$  ve  $\xi = 3.5 \text{ km/sn}$  dir. Bizim hesapladığımız model parametreleri ise  $T_e = 8400 \text{ } ^\circ\text{K}$ ,  $\log g = 3.3$ ,  $\xi = 0.3 \text{ km/sn}$  dir (bkz. III.2). Bu modeller ve bizim modelimizden elde edilen bollukların kıyaslaması Ek 1 de grafik olarak verilmiştir. Aradaki farklar, etkin sıcaklığıtaki, gravitedeki, osilatör şiddetindeki ve kullanılan çizgi seçimindeki farklardan dolayıdır. Ortak bir mikroturbülans hızının kullanılmaması da ölçülen bolluklarda farklılıklara sebep olabilir.

HD204411, aynı gruptaki yıldızlara göre, Sr ve Gd element bollüğunda daha az anormallik göstermiştir (Adelman, 1973). Si ve Mg ise önemli ölçüde fazla bolluk vermiştir (Searle ve Sargent, 1964). Ni II ve Y II normal, V II belirgin ama az, La II, Ce II, Nd II ise oldukça az bolluklar verirler (Cowley, 1979). Aşağıda, HD 204411 için hesaplanan bazı bolluk değerlerinin hidrojene ve demire göre kıyaslanması logaritmik olarak verilmiştir;

$$\text{Eu / H} = -8.84 \text{ (1)}$$

$$\text{Mg / H} = +0.6 \text{ (2)}; -0.1 \text{ (3)}$$

$$\text{Si / H} = +0.8 \text{ (2)}; +0.3 \text{ (3)}$$

$$\text{O / H} = +4.83 \text{ (4)}$$

$$\text{Ti / Fe} = +0.22 \text{ (5)}; +0.01 \text{ (3)}$$

$$\text{Cr / Fe} = +0.39 \text{ (5)}; +0.73 \text{ (3)}$$

$$\text{Mn / Fe} = +0.29 \text{ (5)}; +0.14 \text{ (3)}$$

#### Kaynakçalar;

(1), Hartoog et.al. 1974; (2), Searle ve Sargent, 1964; (3), Adelman, 1973; (4), Gerbaldi et.al., 1989; (5), Searle et.al., 1966.

Searle ve Sargent'in (1964), HD 204411 yıldızında bazı elementler için elde ettikleri eşdeğer genişlikler de Çizelge I-7 de verilmiştir.

**Çizelge I-7 HD 204411 için bazı elementlerin eşdeğer genişlikleri**

Si II <u><math>\lambda</math> 4131</u>	Si II <u><math>\lambda</math> 4200</u>	Mg II <u><math>\lambda</math> 4481</u>	C II <u><math>\lambda</math> 4267</u>	He I <u><math>\lambda</math> 4471</u>
180mÅ	<40	460mÅ	<20	<20

Mihalas ve Henshaw (1965), Searle ve Sargent'in yukarıdaki gözlemlerini kullanarak, bu elementler için Çizelge I-8 deki bolluk değerlerini bulmuşlardır ( $\log N / N_T$ ).

**Çizelge I-8 HD204411 için bazı elementlerin bolluk değerleri**

Si II <u><math>\lambda</math> 4131</u>	Si II <u><math>\lambda</math> 4200</u>	Mg II <u><math>\lambda</math> 4481</u>	C II <u><math>\lambda</math> 4267</u>
+0.7	<+1.2	+0.6	<+0.6

HD 204411'in bolluk analizleri ilk bakışta süpriz sonuçlar vermiştir. Düşük ayırma gücündeki spektrumlarla özel yıldız olarak nitelenmesine ve spektrumunda özellikle çok fazla sayıda Cr I ve Cr II çizgilerinin olmasına rağmen, HD 204411'in bileşimi diğer normal yıldızlardan dikkati çekici bir fark göstermez. Çizgiler normal A tipi yıldızlarla kıyaslandığında şunlar görülür:

Cr çizgilerine çok rastlanmasına rağmen, Fe I ve Fe II çizgileri anormal sayıdadır. Bu yüzden yıldızın asıl özelliği hidrojene nispetle, demir grubu elementlerinin fazla olmasıdır. Bu özelliğin yanısıra C elementinde bir azalma vardır. C çizgileri görsel spektrumun kısa dalgalı boyu bölgesinde, O I ve N I ise, spektrumun uzun dalgalı boyu tarafında bulunur.

Diğer soğuk A<sub>p</sub> yıldızları ile kıyaslandığında yıldızın, O ve N bakımından fakir olduğu görülecektir (Sargent, Strom ve Strom, 1969).

HD 204411'de  $\lambda$  5200 özelliği zayıftır.  $\lambda$  4200 özelliği ise kesin olarak yoktur.  $\lambda$  5200 profilinin kanatları  $\lambda$  4785 den  $\lambda$  5700 e doğru genişlemiştir. Ayrıca bu yıldızdaki Balmer Kesiği bir A<sub>p</sub> yıldızı için oldukça büyük bulunmuştur (Adelman, 1981).

## **II- GÖZLEM MATERİYALİ VE İNDİRGENMESİ**

Bu çalışma için spektroskopik materyal, 17 adet  $2.4 \text{ \AA/mm'lik}$  spektrogram ve  $H_{\gamma}$  bölgesine yerleştirilen bir adet  $19.8 \text{ \AA/mm'lik}$  spektrogramdır. Gözlemler, Dominion Astrophysical Observatory'da (DAO) 1.2 m lik teleskopla ve her biri  $15\mu$  genişliğinde 1872 elemente sahip, retikonlar alınarak, Adelman tarafından 1988 ve 1993 yılları arasında yapılmıştır. Bu aletlerin sinyal gürültü oranı 200 dır.  $3830 \text{ \AA}'dan 4770 \text{ \AA}'a$  kadar ve her  $55 \text{ \AA}'da$  bir alınan, yüksek ayrımlı spektrumlar elde edilmiştir.

### **II.1- Spektroskopik Materyalin Analizi**

Spektrogramlar, REDUCE (Hill ve Fisher, 1986) grafik programı ile ölçülmüştür. REDUCE çok amaçlı bir paket programdır. Spektrumlardaki çizgilerin şiddetini, radyal hızlarını ve/veya konumlarını ve eşdeğer genişlikleri ölçmemize yardımcı olur. REDUCE programının altprogramları olan, VELMEAS ya da VLINE programları ise sonuçların analiz edilmesinde kullanılmaktadır.

VELMEAS programı, ARC spektrumlarını ve yıldız ait radyal hızları FITS formatındaki (Flexible Image Transportation System; Esnek Görüntü Taşıma Sistemi) verilerden hesaplar.

VLINE ise, düzgünleştirilmiş verilerde (dalgaboyuna göre şiddet profilleri) çizgi konumlarının, eşdeğer genişliklerin ve radyal hızın ölçülmesine yardımcı olur. Çizelge II-1'de REDUCE programının seçimlik işlevleri görülmektedir.

## Çizelge II-1 REDUCE programının seçimsel işlevleri

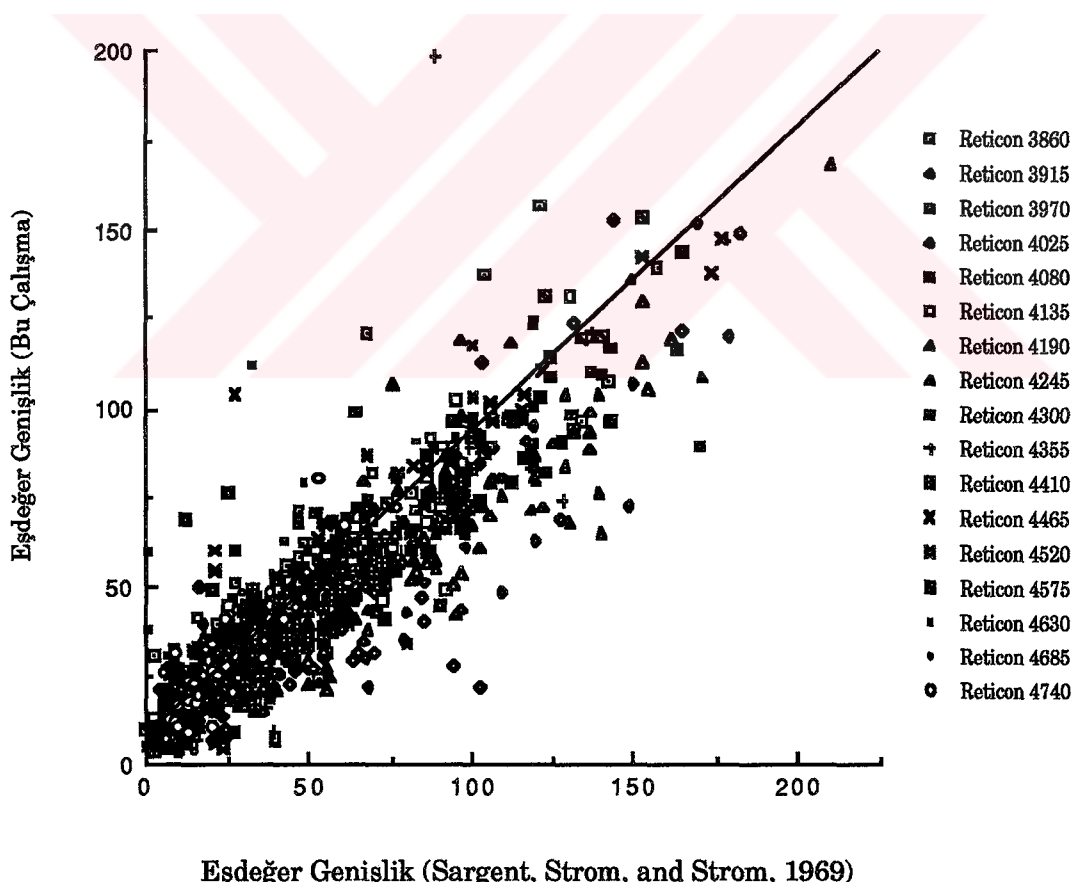
SEÇİM	İŞLEM
3	FTS DISK kaydından verinin okunması.
4	ARC ölçümü (VELMEAS)
5	ARC katsayılarının okunması
6	Gökyüzü ölçümü
7	Gökyüzü verilerinin ölçülmesi
8	Kalibrasyonun ölçülmesi
9	Kalibrasyon verisinin okunması
10	Filtre tayini
11	Filtre uygulaması
12	Yıldız verisinin düzenlenmesi
13	İşlenmiş FITS dosyasının okunması
14	Yoğunluk-şiddet çevrimi
15	Süreklliliğin çizilmesi
16	VLINE ölçümü (eşdeğer genişlik, $v \sin i$ )
17	VELMEAS ölçümü (Radyal hız)
18	Seçilen çizgilerin biraraya getirilmesi
19	$\lambda$ nın $\Delta\lambda$ 'ya çevrilmesi.

Bu seçimlerden en az ikisi birlikte kullanılabilir. Bizim çalışmamızda düzenlenmiş datalara 13, 15 ve 16 seçimleri uygulanmıştır.

Herbir retikon bölgesi için ayrı ayrı sürekli çizildikten sonra (seçim 13 ve 15), Gauss eğriliğine uygun bir şekilde çizdirdiğimiz herbir çizgi için eşdeğer genişlik, merkezi dalgaboyu, derinlik ve genişliği elde ettik (seçim 13 ve 16). Ek 9 ve Ek 10 da işlemler için sırasıyla birer örnek gösterilmiştir.

Çizgi tanımlaması ölçümlerinde, aynı olan çok zayıf ve dar çizgiler çıkarılmış, radyal hızı ölçmek için kuvvetli, simetrik ve ortalama şiddetetteki çizgiler kullanılmıştır.

Daha sonra gözlenen dalgaboyları indirgenerek, gerçek dalgaboyları hesaplanmıştır. Dalgaboyu *rastlaşma* istatistiği yapılarak ve/veya benzer tipteki yıldızların çizgi listesine bakılarak, anormallikler kaydedilmiş, problemli kısımlar yeniden ölçülmüştür. Elde edilen element listesi için, Moore' un hazırladığı (1945), *Multiple Çizelgesi*'nden çizgi tanımlaması yapılmış, tanımlanmayan çizgiler için yardımcı kaynaklar kullanılmıştır. Tanımlanan çizgiler ve eşdeğer genişliklere ait çizelge, Ek 2 de verilmiştir. Çizelgedeki köşeli parantezler blend çizgileri göstermektedir. Ayrıca Şekil II-1 de tüm retikon bölgeleri için bulduğumuz Å cinsinden eşdeğer genişlikler, Sargent ve arkadaşlarının (1969) değerleriyle kıyaslanmıştır. Saçılımalar gözlem ve ölçüm tekniklerinin farklılığından kaynaklanmaktadır.



**Şekil II-1. Eşdeğer Genişliklerin Kıyaslanması**

### **III. BULGULAR**

#### **III.1- Radyal Hız Ölçümü ve HD 204411 Yıldızının Değişkenliği**

Keskin çizgili bir  $A_p$  yıldızının değişken olup olmadığını incelemek için, yıldızın radyal hızı ile fotometrik ve spektroskopik özelliklerinin değişip değişmediğine bakılır. Yıldız değişkense, fotosferik özellikleri farklı enlem ve boylamlarda değişik olacaktır. Keskin çizgili yıldız değişken değilse, yıldız enlem ve boylamlarında uniform fotosferik özellikler gösterir ya da gözlem doğrultumuz değişimlerin gözlenemeceği yönindedir.

HD 204411 yıldızının değişkenliği incelenirken, radyal hızında, fotometrik, ve spektrel verilerinde değişimlerin olup olmadığına bakılmıştır.

Bu yıldıza ait radyal hızlarındaki standart bilgiler, Abt ve Biggs' in (1972), yayınlarından elde edilebilir. Yıldızın radyal hızı için, 1928 ve 1937 yılları arasında yayınlanan çeşitli kaynaklardan üç değer belirlenmiştir:

-13.4, -13.2 ve -10.8 km/sn.

Bizim çalışmamızda da, 17 retikon bölgesi için radyal hızlar ölçmüştür. Her bir spektrogramın dalgaboyu ölçü, Yer'in güneş etrafındaki hareketine göre düzeltilmiştir. Dr. Graham Hill tarafından yazılan, VSUN programı gerekli değerleri elde etmemizi sağlamıştır. Bu programda giriş değerleri olarak, rektasasyon, deklinasyon, teleskopun enlemi, boylamı ve gözlem zamanının ortalama değeri (UT) verilmektedir.

Bundan sonra bir önceki bölümde anlatıldığı gibi, REDUCE programı ile gözlemler indirgenmiş ve spektrel çizgiler tanımlanmıştır. Yıldız ve laboratuvar dalgaboyları kıyaslanarak, radyal hızlar için çoğunlukla, Fe I ve Fe II çizgilerinden yararlanılmış, her bir retikon bölgesi için, ayrı ayrı hız değerleri bulunmuştur. Çizelge III-1'de her bir bölgeye ait, ortalama radyal hızlar, standart sapmaları ile sunulmuştur.

Bizim bulduğumuz değerler, Abt ve Biggs'in (1972) verdiği değerlerden bir kaç km daha fazladır. Ancak, bizim çalışmamızda kullanılan ayırma gücü, ellî yıl öncesinde kullanıldan daha yüksektir ve

hızlar keskin çizgilerden elde edilmiştir. Bu durumda bizim değerlerimiz çok daha güvenilir değerlerdir. Ortalamadan sapma  $3\sigma$  kadardır. Bu durum hata sınırları içinde olduğundan, HD 204411'in sabit bir radyal hız sahip olduğu sonucuna varılır.

### **Çizelge III-1 HD 204411'in ölçtüğümüz radyal hız değerleri**

	Merkezi Dalgaboyu (Å)	Radyal hız değerleri (km s <sup>-1</sup> )
1	3860	-14.30 ±0.47
2	3915	-15.00 ±0.60
3	3970	-17.38±0.57
4	4025	-15.29±0.65
5	4080	-15.02±0.34
6	4135	-15.12±0.36
7	4190	-14.47±0.25
8	4245	-14.84±0.62
9	4300	-14.60±0.24
10	4355	-14.69±0.35
11	4410	-14.76±0.41
12	4465	-15.31±0.34
13	4520	-14.73±0.35
14	4575	-14.38±0.60
15	4630	-14.94±0.47
16	4685	-14.93±0.49
17	4740	-14.31±0.20
Ortalama		-15.00±0.70

HD 204411'in spektrel değişken olduğuna dair şimdije kadar kesin bir kanıt bulunamamıştır. Bu çalışmada kullanılan veriler, yüksek ayırma gücünde alınmış spektrumlardır ve daha önce başka araştırmacılar tarafından alınan spektrumlardan çok daha kalitelidir. Retikon spektrumları yaklaşık 67 Å uzunluğundadır ve merkezi dalgaboyları arasında 55 Å'luk farklar vardır. Her bir bölgenin sonu, bir sonraki bölgenin yaklaşık 10 Å'luk bölgesi ile aynıdır. Bu çakışan bölgeler, bize, spektrum değişkenliğinin kontrol edilmesi imkanını verir. Çakışan

bölgelere bakıldığında herhangi bir fark görülmemiştir. Bulunan birkaç fark, muhtemelen kozmik ışınımından kaynaklanan gürültülerdir. Üstelik bu spektrumlar 1988 ve 1993 yılları arasında alındıkları için, bu periyod boyunca herhangi bir değişimin görülmemesi, yıldızın spektrel olarak kararlı olduğunu göstermektedir. Çizelge III-2 de çakışan bölgeler tanımlanmıştır.

### **Çizelge III-2 Çakışan bölgelerde spektrumun kıyaslanması**

Merkezi Dalgaboyları (Å) 1.Bölge	2. Bölge	Çakışan bölgeler (Å)	Tanımlama
3860	3915	3884 - 3894	f
3915	3970	3938 - 3949	g
3970	4025	3996 - 3997	m
4025	4080	4050 - 4057	g
4080	4135	4105 - 4115	g
4135	4190	4160 - 4170	e
4190	4245	4213 - 4225	m
4245	4300	4271 - 4278	m
4300	4355	4324 - 4333	e
4355	4410	4378 - 4389	m
4410	4465	4436 - 4443	g
4465	4520	4488 - 4499	m
4520	4575	4542 - 4553	m
4575	4630	4597 - 4606	g
4630	4685	4652 - 4662	g
4685	4740	4707 - 4717	m

#### **Tanımlama:**

**e** = Uyum çok iyi.

**f** = Uyum iyi olmasına rağmen, H<sub>γ</sub> dan dolayı bozunum görülmekte.

**g** = Uyum iyi olmasına rağmen, hafif süreklilik kayması görülmektedir.

**m** = Önemsiz farklar.

Son olarak, yıldızın fotometrik olarak değişip değişmediğine bakılmıştır. HD 204411, daha önceki çalışmalarında sabit ya da çok uzun periyotlu fotometrik değişen olarak tanımlanmıştır. Preston (1970), yıldızın, UBV renklerine ve spektrumdaki farklarına bakarak, muhtemel uzun periyotlu bir yıldız olması gerektiğini ileri sürmüştür. Winzer'in (1974) yaptığı gözlemlerde, her üç renkteki değişim, birkaç haftada 0.005 kadirken, iki yıllık periyot sonunda yine aynı değerde kalmıştır. Bu durumda yıldızın değişken olmadığı ortaya çıkmaktadır.

Adelman'in (1981), spektrofotometrik gözlemlerinden hesapla elde edilen, (u-b), (b-y) değerleri incelendiğinde (b-y) değerinde sistematik olarak 0.02 kadırlık bir fark bulunmuştur. Ancak bu renkler, doğrudan elde edilen değerler gibi kesin ve gerçek değerler değildir. Daha sonra Maitzen ve Seggewiss (1980), HD 204411 için,  $\Delta(b-y)$  değerini 0.015 kadir olarak bulmuşlardır. Buradan yıldızın yaklaşık, 12 yıllık bir periyotla değiştiği ileri sürülmüştür. Ancak Maitzen ve Seggewiss, yıldızı sadece kısa bir süre gözlediklerinden, sonucun kesinleştirilmesi için ek gözlemlerin yapılması gerekmektedir. Buldukları bu değişimler, muhtemelen, gözlem yapılan bölgeye ait atmosferik değişimlerden kaynaklanmaktadır. Çizelge III-3'te HD 204411'in Strömgren renklerinin karşılaştırılması verilmiştir.

**Çizelge III-3** HD 204411'in (u-b) ve (b-y) renklerinin kıyaslanması

u-b	b-y	Gözlem	Yıl	Referanslar
1.663	+0.056	2	...	Crawford et.al (1966)
1.664	+0.052	1	1963	Cameron (1966)
1.704	+0.053	...	1970	Wolff and Morrison (1973)
1.703	+0.048	...	1971	Wolff and Morrison (1973)
1.678	+0.033	3	1973	Saul J.Adelman (1981)
1.704	+0.030	2	1974	Saul J.Adelman (1981)
1.676	+0.034	8	1975	Saul J.Adelman (1981)
...	+0.055	8	1976	Maitzen et.al (1980)
1.625	+0.032	1	1977	Saul J.Adelman (1981)

Bu konuda en son çalışma Adelman'ın HD 204411 yıldızını da içine alan, bir çok kimyasal özel yıldız için yaptığı diferansiyel fotometri çalışmalarıdır. Adelman bu çalışmaları, 1990 yılında Amerika Birleşik Devletleri, Mt. Hopkins'de, 0.75 m lik FCAPT teleskopu ile gözlem yaparak başlatmıştır. Bu teleskoplara, karaakım ölçüldükten sonra, her bir filtre için sırasıyla, gök-ch-c-v-c-v-c-v-c-ch-gök değerleri elde edilmiştir.

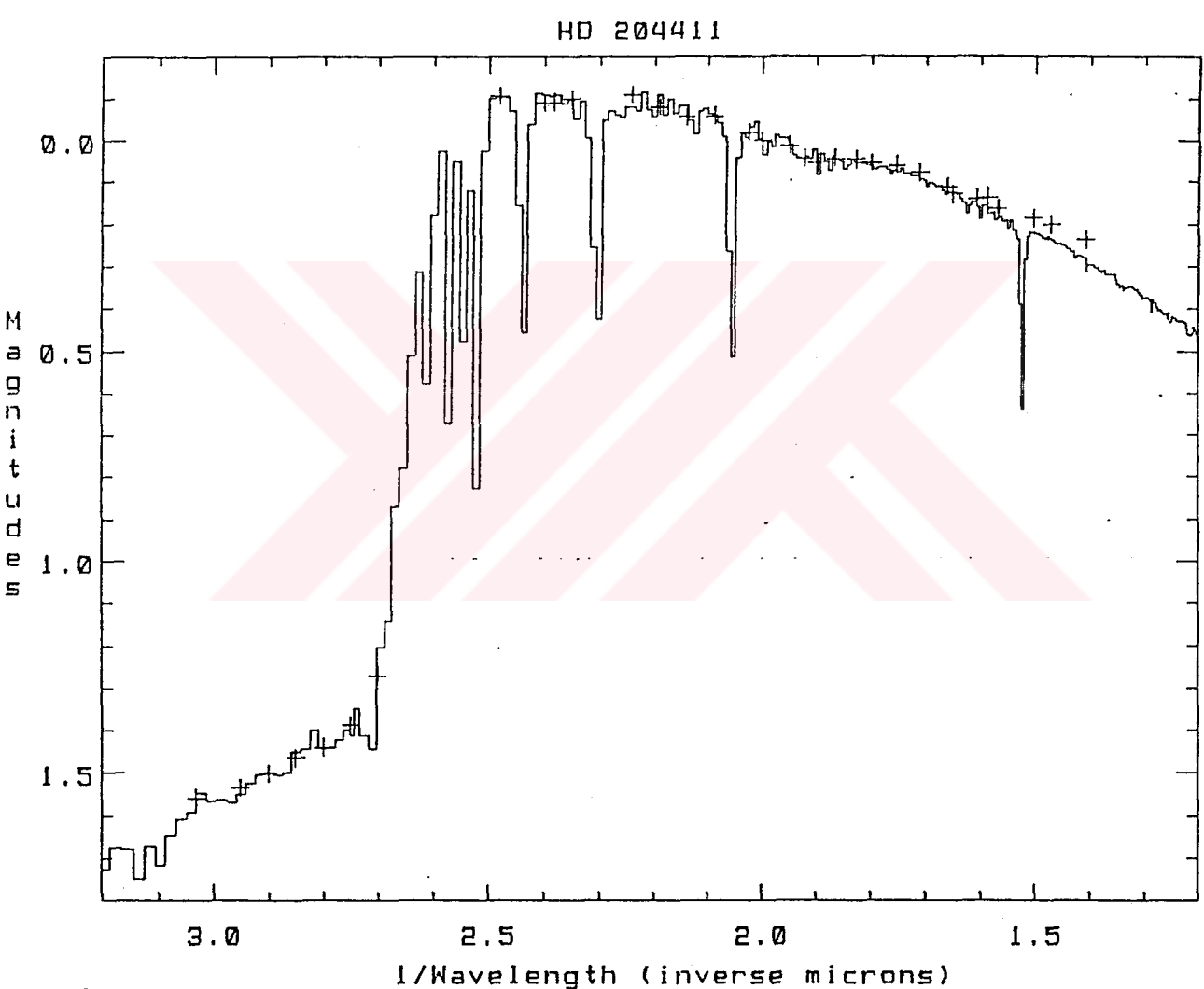
Burada ch kontrol yıldızına ait okuma; c mukayese yıldızına; v değişen yıldıza ait okumalarıdır. HD 204411'e ait 67 uvby gözlemi dört yıllık bir sezonda elde edilmiştir. Mukayese yıldızı HD 205314 (HR 8246), spektrel tipi A0V (Hoffleit, 1982); Kontrol yıldızı HD 203746, spektrel tipi A1V (Hoffleit, Saladyga ve Wlasuk, 1983)'dır. Bulunan sonuçlar Ek 3'te verilmiştir. Ek 3'te her yıla ait ortalama standart sapmalara bakılacak olursa, her dört renk için, değişen-kontrol (v-ch) değeri, 0.004 kadir, kontrol-mukayese (ch-c) değeri, 0.006 kadirdir. Dört yıl boyunca sırasıyla, 3, 24, 27 ve 13 gözlem yapılmıştır. v-c değerleri her yıl ve her renk için ortalama 0.002 kadir değerini vermektedir. ch-c ortalaması da yine aynı değerdedir. Dolayısıyla bu değerler bir sabitliği göstermektedir. Sonuç olarak, HD 204411, spektrel ve fotometrik olarak en azından dört yıl ya da daha fazla bir süre için değişimeyen bir yıldızdır.

### **III. 2- Atmosfer Parametreleri**

HD 204411'in atmosferine ait element bolluğuunu bulmak için, atmosferik parametrelerini bilmeliyiz. Bu parametreler, yıldız atmosferinin etkin sıcaklığı ( $T_e$ ), yüzey çekimi ( $\log g$ ), ve mikroturbülans hızıdır ( $\xi$ ). Bu atmosferik parametreler belirlendikten sonra WIDTH programı yardımıyla, element bolluğu hesabı yapılır.

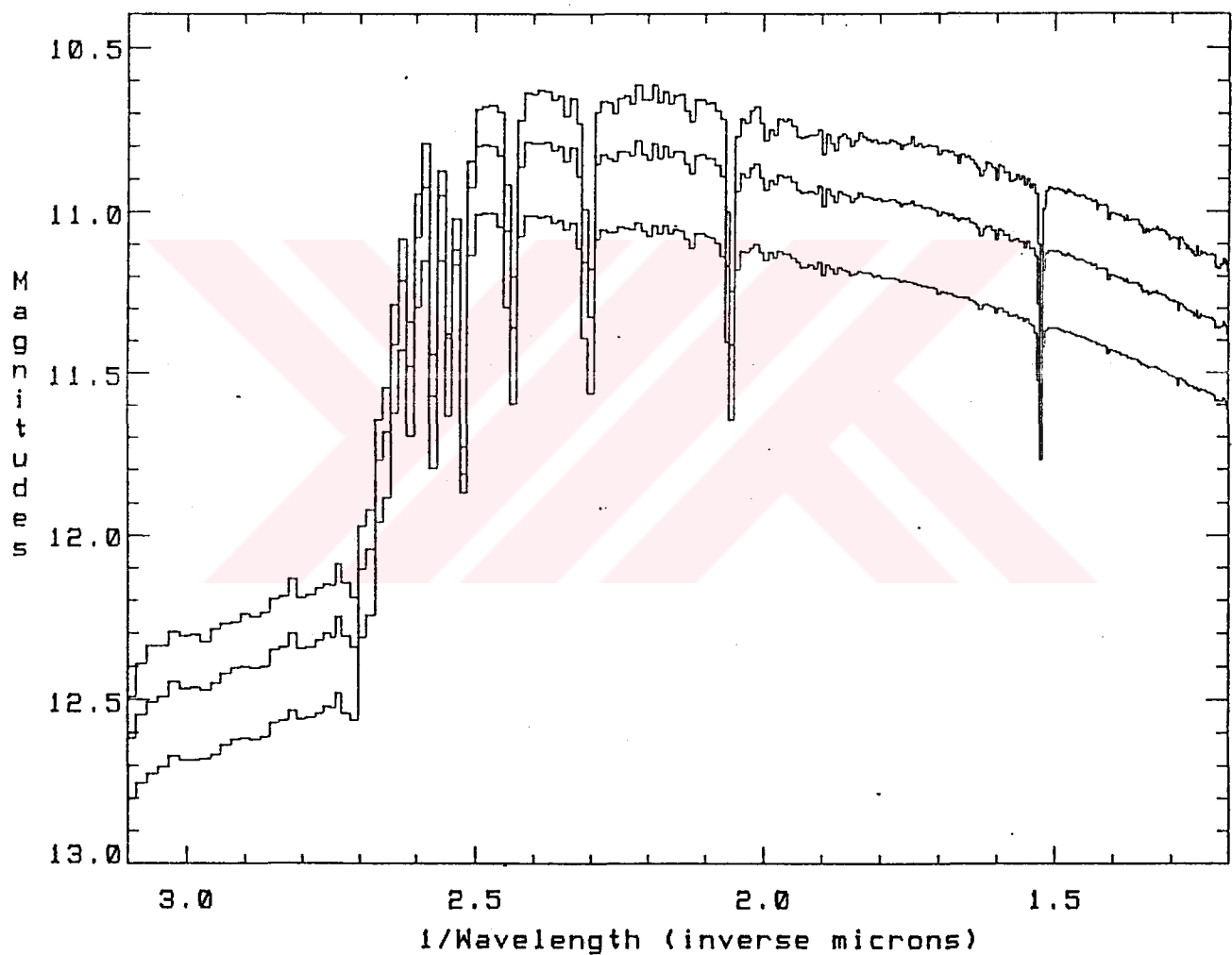
$T_e$  ve  $\log g$  parametrelerini bulmak için, fotometrik veriler ve hidrojenin  $H_\gamma$  çizgi profili kullanılmıştır. Atmosfer parametrelerinin belirlenmesi, model hesabı ve bolluk analizleri için yazılmış programlar (REDUCE, ATLAS, SYNTHE, WIDTH) ABD, The Citadel Fizik Bölümü bilgisayarlarında çalıştırılmış, daha sonra İstanbul Üniversitesi, Fen Fakültesi, Fizik Bölümü VAX Bilgisayarında sentetik spektrumlar OVERPLOT programı yardımıyla oluşturulmuştur.

Erken tip yıldızlarda çekim ivmesini, geç tip yıldızlarda ise sıcaklığı bulmak için hidrojenin Balmer çizgileri kullanılır. Bir Balmer çizgisinin yarıgenişliği, artan yüzey çekim ivmesi ile büyür. Böylece çizginin eşdeğer genişliği de artar. Bu bağımlılıktan yararlanıp, yüzey çekim ivmesi bulunmaktadır. Bizim çalışmamızda, HD 204411'in daha önce Adelman (1981) tarafından elde edilmiş, optik bölge spektrofotometrik ortalama akıları ve DAO'dan alınan  $19.8 \text{ Å/mm}^2$  lik retikon spektrogramlarından ölçülen  $H_{\gamma}$  profili kullanılmıştır. Gözlenen ve hesap edilen akı dağılımları ve  $H_{\gamma}$  profilleri için en iyi uyum,  $\lambda = 5200\text{Å}$  özelliğini de içeren,  $T_e = 8400 \text{ }^\circ\text{K}$ ,  $\log g = 3.3$  ve  $[0.5] \text{ dex}$  metallilikli modelde sağlanmıştır. Şekil III.1 de ATLAS 9 (Kurucz, 1993) model programı ile hesapladığımız enerji dağılımı ve gözlemsel değerlerle olan uyumu görülmektedir. Hata miktarı sıcaklık için  $\pm 50 \text{ }^\circ\text{K}$ ,  $\log g$  için ise  $\pm 0.2$  dir. Şekil III.2 ise, farklı metallilikte üç ayrı modelin hesaplanan görsel bölge akılarını vermektedir. Şekilde de görüldüğü gibi, metallilik artarken, süreklilik  $5200 \text{ Å}$  civarında ( $1.9 \mu^{-1}$ ) bozulur.



**Şekil III-1.** HD 204411' in enerji dağılımı, + işaretleri gözlenen değerlere karşılık gelmektedir.

IUE\_IDL>



**Şekil III-2.** Farklı metallilikteki modeller için hesaplanan görsel bölge akıları.

Bu yıldız için bizim bulduğumuz sıcaklık değeri diğer araştırmacıların bulduğu değerlerden daha küçüktür. Bu da bizim bulduğumuz element bolluklarının küçük olduğunu gösterir. Bunun sebebi, bizim kullandığımız yeni model atmosferleri, daha iyi gf değerleri ve atomik çizgi sökütleme sabitleri ile, daha kaliteli spektrogramların ölçülen bolluklara olan etkileridir.

Mikroturbülans hızının, bir spektrel çizginin genişliğinde neden olduğu artış, çizginin eşdeğer genişliğini de artturır. Bir elementin bolluğu, eşdeğer genişlik değerlerinin ölçümlerinden itibaren hesaplandığından, bolluk değerleri de değişir. Aynı elementin spektrel çizgilerinin eşdeğer genişliklerinden yararlanıp, tek bir bolluk değeri bulmamız gerektiği için, çeşitli mikroturbülans hız değerleri kullanılıp, bolluklar hesaplanır. Eşdeğer genişliğe bağlı olmayan bolluk değerlerini veren mikroturbülans hızı, aradığımız değer olur. Mikroturbülans hızını hesaplamak için genellikle Fe I ve Fe II çizgilerinden yararlanılır. Bizim çalışmamızda Fe I, Fe II nin yanı sıra Cr I, Cr II ve Ti II çizgilerinin çeşitli mikroturbülans hız değerlerindeki bolluklarını bulmak üzere, WIDTH programı kullanılmıştır.

Daha önce belirlenmiş olan  $T_e$ ,  $\log g$  ve eşdeğer genişlik değerleri, programa verilir. İterasyon yapmak için ise başlangıç mikroturbülans değerleri seçilir. Bu çalışmada ilk mikroturbülans değer aralığı olarak, 0 km/sn den 5 km/sn ye kadar değerler alınmıştır. Her bir mikroturbülans değerinden hesaplanan bolluk değerleri ile, eşdeğer genişlikler arasındaki bağıntıyı bakılmış, elementlerin çizgileri için, en son bulunan  $[\log (\text{bolluk}) - \text{eşdeğer genişlik}]$  bağıntısında saçılımı artıran çizgiler ayıklanmıştır. Bu çizgiler ya blend çizgilerdir ya da atomsal parametreleri yeterli duyarlılıkta belirlenmemiş çizgilerdir.

Her bir mikroturbülans hızı için bulunan bolluk değerleri ile, eşdeğer genişlik arasındaki bağıntıyı veren doğrunun eğiminin işaret değiştirdiği mikroturbülans hız aralığı belirlenmiştir. Bu aralığı her hesaplama sonucu biraz daha küçülterek, bağıntıyı veren doğrunun eğiminin en küçük olduğu mikroturbülans hızı elde edilmiştir. Bizim çalışmamızda bulduğumuz mikroturbülans değerleri Çizelge III-4'te görülmektedir.

### Çizelge III-4 Ölctüğümüz mikroturbülans değerleri

Element	Çizgi sayısı	gf referansları	$\xi_1$	log N/H	$\xi_2$	log N/H
Fe I	160	MF	0.0	-3.96±0.27	0.0	-3.96±0.27
	180	MF&KX	0.2	-3.94±0.27	0.0	-3.96±0.26
Fe II	33	MF	1.0	-4.39±0.20	0.3	-4.18±0.19
	73	MF&KX	0.0	-4.02±0.29	0.0	-4.02±0.29
Cr I	27	MF&KX	0.2	-4.93±0.24	0.2	-4.93±0.24
Cr II	33	MF&KX	0.9	-5.32±0.27	0.9	-5.32±0.27
Ti II	54	MF&KX	0.8	-6.74±0.30	0.7	-6.72±0.30

Burada  $\xi_1$  eşdeğer genişliğe en az bağımlı turbülans hızı,  $\xi_2$  de ölçülen bollukların saçılımı düzeltildiğinde bulunan turbülans hızıdır. Bizim çalışmamızda Fe I ve Fe II çizgilerinden bulunan ortalama turbülans hızı 0.30 km/sn dir. Model hesaplamalarımızda ise magnetik alan etkisini de hesaba katarak bu değeri 2 km/sn olarak kullandık.

### III. 3- Model

ATLAS, kuramsal olarak yıldız atmosfer modellerini hesaplamak üzere R.L. Kurucz (1970) tarafından FORTRAN IV dilinde yazılmış bir bilgisayar programıdır. Bizim çalışmamızda ATLAS9 programı kullanılmıştır (Kurucz, 1993). Model atmosfer hesaplarında yerel termodinamik denge varsayımları temel alınarak, şu yaklaşımlar yapılır:

- 1- Atmosfer kararlı haldedir.
- 2- Yıldız atmosferinde enerji akışı derinlikle değişmez.
- 3- Atmosfer homojendir ve granül, spikül, leke gibi oluşumlar yoktur.
- 4- Atmosfer yıldızın yarıçapına göre çok incedir ve katmanlar paralel düzlemlerden oluşmuştur.
- 5- Atmosfer katmanlarının normal doğrultuda birbirlerine göre hareketleri yoktur.
- 6- Atomsal bolluklar bütün atmosfer boyunca sabittir.

Bu varsayımlardan hareket ederek, bir iterasyon işlemi ile model atmosferi tanımlayacak parametreler bulunur.

HD 204411 yıldızı için, model atmosferini hesaplamak üzere ATLAS9 programına verilen veriler ve bolluk değerleri Ek 4'te, sonuç olarak çıkan model atmosfer parametreleri de Ek 5'te verilmiştir. Ek 5'te,  $T_e$ , etkin sıcaklığa, GRAVITY, log g değerine karşılık gelmektedir. RHOX, yıldız atmosferinde optik derinliği göstermektedir. T; sıcaklık, P; basınç, XNE; elektron sayı yoğunluğu, ABROSS; opasite, ACCRAD; radyasyon basıncı ve VTURB Türbülans hızıdır.

### **III.4- Spektrum Sentez Programı: SYNTHE**

Spektrum Sentez programları 1965 yılından bu yana geliştirilmeye başlanmıştır, Kurucz ve Furenlid (1981), ve Kurucz ve Avrett (1981) tarafından son şekline getirilmiştir.

Spektrum hesaplamaları bir atmosfer modelinin varlığını gerektirir. Bu modeller güneş atmosfer modeli gibi test edilebilen modeller veya, radyatif ve konvektif denge modelleri gibi teorik modellerdir. Bu modellerin mutlaka bir yıldıza ait olması gerekmektedir, örneğin bir gezegen atmosferi veya bir laboratuvar kaynağı da olabilir.

Modelleri elde etmek için elde bulunan çizgi verileri iki gruba ayırlır. Birinci grupta tüm çizgiler için kaynak fonksiyonu olarak, Plank fonksiyonu  $B_\nu$  ( $= 2\pi\nu^3 / c^2 ( e^{\hbar\nu / kT} - 1 )$ ) ya da dış katmanlardaki yerel termodinamik dengenin olmadığı varsayıma uyan kaynak fonksiyonları kullanılır.

SYNTHE programında bu ilk grup çizgiler, belirli bir dalgaboyu aralığındaki toplam çizgi absorpsyonunun hesabında gereklidir.

İkinci grup çizgilerde  $B_\nu$ , yerel termodinamik denge durumuna indirgenerek, her bir çizgi için ayrı ayrı kaynak fonksiyonu hesaplanır. Bu hesaplamada kaynak fonksiyonları, güneş modelinde kullanılan başlangıç katsayılarından elde edilir. Bu ikinci grup çizgiler yardımıyla da, her bir dalgaboyundaki çizgi opasiteleri ve kaynak fonksiyonları toplanarak, bir önceki gruptan hesaplanan çizgi opasitesi ve kaynak fonksiyonlarıyla birleştirilir.

Kısaca program, yerel termodinamik dengenin olmadığı durumda opasite ve kaynak fonksiyonunu hesaplayıp, dengenin olduğu durumda

opasite ve kaynak fonksiyonuna ve sürekliliğin kaynaklandığı bölgenin opasitesi ve kaynak fonksiyonuna eklenir. Her bir çizgi merkezi için ve her bir dalgaboyu için akı ve şiddet hesaplanır.

SYNTHE programı, dalgaboyu aralıklarına düşen, ya da rastlaşan element listesini çıkartır. Her bir çizgi için, hava ya da vakumdaki dalgaboyu, en büyük ve en küçük enerji değerleri ve gf değerleri verilmelidir. Ayrıca diğer özellikler de belirtilebilir. Örneğin, en büyük ve en küçük J (iç kuantum sayısı) değerleri, en üst ve en alt düzey numaraları, Radyatif Stark ve van der Walls sönümleme sabitleri, varsa izotopik çizgilerin kesirsel bollukları, bilgiler ve kaynakçalar.

Daha sonraki tek tek çizgi hesaplarında ise, otoionizasyon parametreleri, çizgi şiddeti, en üst ve en alt düzeylerin dönüşüm katsayı indisleri, elektron dağılımı belirtilebilir.

Spektrum Sentezinin en önemli basamağı grafiğin hazırlanmasıdır. Bu şekilde çeşitli amaçlar hakkında bilgi edinilebilir, örneğin, spektrum üzerinde bir bütün olarak çalışılmak isteniyorsa, bir ya da daha fazla gözlenen spektrumla, sentetik spektrum kıyaslaması yapılacaksa, detaylı olarak tek tek çizgiler incelenmek isteniyorsa, çizgilerin tanımlanması ve örtülümsüz çizgiler bulunmak isteniyorsa, Spektrum Sentez programı kullanılabilir.

Bizim çalışmamızda SYNTHE programı kullanılarak, HD 204411'in her bir retkon bölgesi için sentetik spektrumları oluşturulmuş, bir örnek de Ek 7 de verilmiştir. Elde edilen yeni çizgiler ise Ek 8'de sunulmuştur.

### **III.5- HD204411 Yıldız Atmosferinin Kimyasal Bileşimi**

#### **III.5- 1- Bolluk Analizi**

Daha önce ATLAS9 programı ile hesapladığımız etkin sıcaklık ( $T_e = 8400$ ), yüzey çekimi ( $\log g = 3.3$ ) ve mikroturbulans hızı ( $\xi = 0.30 \text{ km/sn}$ ) ile spektrogramdan, REDUCE programı ile ölçüduğumuz eşdeğer genişlikleri, WIDTH programında kullanarak, element bolluklarını hesapladık (bkz.Ek 4).

### **III.5- 2- Bollukların kıyaslanması**

HD 204411 soğuk A<sub>p</sub> yıldızı için bulduğumuz bolluk değerleri, 68 Tauri (HD 27969 = HR 1389) (A2 IV-V); 21 Lyncis (HD 58142 = HR 2818) (A0m A1V) ve αDraconis (HD 123299=HR 5291) (A0III) gibi normallik sınırlarındaki erken A tipi yıldızlarla (Adelman, 1994) ve HD 137909 = β CrB, (Sr-Cr-Eu), HD 176232 =10 Aql (Sr-Cr) ve HD 201601 = γ Equ (Sr-Cr-Eu) gibi A<sub>p</sub> yıldızlarıyla ve soğuk A<sub>p</sub> yıldızlarına ait ortama değerlerle (Adelman, 1973) kıyaslanmış ve sonuçlar Ek 6'da grafik halinde sunulmuştur.

Grafikten de görüleceği gibi HD 204411'deki bolluk değerleri, normallik sınırlarındaki yıldızların değerleriyle oldukça uyuyışmaktadır. Özellikle Sc elementi, normal yıldızların değerlerine yakın bir bolluk gösterirken, Cr ve Sr başta olmak üzere diğer elementler soğuk A<sub>p</sub> yıldızlarının değerlerine yakın çıkmaktadır. Eu elementinin ise üç kuvvetli çizgisi V II çizgisi ile blend durumunda olduğu için ancak bir çizgi ile bolluk hesabı yapılmıştır.

### **III.5-3-HD 204411'in Atmosferinde Saptanan Elementlerin Ayrıntılı İncelenmesi**

HD 204411 (=HR8216)'in çizgi tanısı, çoğunlukla , Moore'un (1945) multiple çizelgesinden faydalananarak yapılmıştır. Her bir elementin önce minimum şiddetli çizgileri alınmış, sonra çalışmaya yardımcı olması amacıyla "Dalgaboyu Rastlaşma İstatistiği" programı (WCS=Wavelength Coincidence Statistics Study, Cowley ve Adelman, 1990) çalıştırılmıştır. Elde edilen değerler, Moore'un (1945) dalgaboyu ve şiddet değerlerinin yerine kullanılmıştır. Aşağıda elde edilen elementlerin tanımlanması ve Moore (1945) dışındaki referanslar verilmiştir. Tanımlamalarda kullanılan işaretlerden, \*\*\*\* ve \*\*, bol ve kolay tanımlanabilen elementleri, ?\* ve \*\* ise var olması az muhtemel elementleri göstermektedir.

1- H I: Spektrumda gözlenebilen en son Balmer çizgisi H9'dur.

2- C I: (Moore, 1965); WCS de bulunamamıştır. Ancak 6, 14, 16 ve 17 multipleli çizgiler tanımlanmıştır. Çoğu 4 ve 4'ten büyük şiddetteki çizgilerle birliktedirler.

3- Mg I: WCS=\*\* 3, 10, 11, 14, 15, 16, 17, 18 ve 47 multipleli çizgiler mevcuttur, en küçük şiddet 1'dir.

4- Mg II: WCS=\*\*\* 4, 5, 9, 10, 18 ve 28 multipleli çizgiler vardır. Minimum şiddet 2'dir.

5- Al I: WCS= ?, 1 multipleli iki çizgi vardır.

6- Si I: (Moore, 1965); WCS de bulunamamıştır. Bununla beraber, 3 multipleli  $\lambda$  3905.523 kuvvetli çizgisi muhtemelen bir Cr II çizgisiyle birliktedir.

7- Si II: (Moore, 1965); WCS=\* En kuvvetli çizgilerden 1, 3, 3.01, 7.06 ve 7.26 multipleli çizgiler vardır. Şiddetleri 3 ve 3'ten büyütür.

8- Ca I: WCS=\*\*\* 2, 4, 5, 6, 23, 26, 36, 37, 38, 39, ve 51 multipleli çizgiler mevcuttur. Elde edilen en küçük şiddet 4'tür.

9- Ca II: WCS=\* 1 multipleli, iki kuvvetli çizgisi kesin olarak tanımlanmıştır.

10- Sc II: WCS=\*\*\* 1, 7, 8, 14, 15 ve 24 multipleli çizgileri bulunmuştur. 4 şiddetindeki çizgiler bazen ölçülememiştir.

11- Ti I: (Forsberg, 1991); WCS=\*\*\* 13 ve daha büyük şiddetteki pek çok çizgi belirlenmiştir.

12- Ti II: (Huldt et. al., 1982); WCS=\*\*\*\* 11'den şiddetli pek çok çizgi mevcuttur.

13- V II (Iglesias, 1988); WCS=\*\* 5'ten daha zayıf şiddetteki çizgiler bulunmuştur.

14- Cr I: (Kiess, 1953); WCS=\*\*\*\* pek çok çizgisi bulunmuştur, minimum şiddeti 5'tir.

15- Cr II: (Kiess, 1953; Dworetsky, 1971); WCS=\*\*\*\* 1'den büyük şiddetli çizgilerin yanı sıra, Dworetsky'in HgMn yıldızlarından tanımladığı çizgilere de rastlanmıştır.

16- Mn I: (Catalan et.al., 1964); WCS=\*\*\* şiddeti 5'ten büyük çizgiler mevcuttur.

17- Mn II: (Iglesias ve Velasco, 1964); WCS=\*\*\*\* 5, 6, 7, multipleli

pek çok çizgi bulunmuştur. Çoğu tanımlanmamıştır. Çizgi şiddeti 30 ve daha büyütür.

18- Fe I: WCS=\*\*\*\*\* şiddeti 2 olan çizgiler kesinlikle bulunurken, 1 şiddetli çizgiler de muhtemelen tanımlanmıştır. Kiess, Rubin, ve Moore'dan da (1961) 3 şiddetine kadar olan Fe I çizgilerinin tanımı yapılmıştır. En yeni tanımlarsa Nave ve ark.'ın (1994) multiple çizelgesinden elde edilmiştir.

19- Fe II: WCS=\*\*\*\*\* çeşitli şiddetlerdeki çizgiler mevcuttur. Pek çok çizgitanımı Dworetsky (1971), Johansson (1978) ve Guthrie'nin (1985) kaynaklarından alınmıştır.

20- Fe III: WCS=\* multiplesi 4, şiddeti 10 olan tek bir  $\lambda$  4419.52 çizgisi tanımlanmıştır.

21- Co I: WCS=\*\* 60'tan büyük şiddetteki çizgiler bulunmuştur.

22- Ni I: WCS=\*\* 1'den büyük şiddetteki çizgiler bulunmuştur.

23- Ni II: WCS=\*\* 1'den büyük şiddetteki çizgiler bulunmuştur.

24- Zn I: WCS'de bulunamamıştır, fakat şiddeti 75 olan  $\lambda$  4722.159 çizgisi muhtemelen vardır.

25- Sr II: WCS=\*\* 1 ve 3 multipleli kuvvetli çizgileri bulunmuştur.

26- Y II: (Nilsson, Johansson ve Kurucz, 1991) WCS=\* multipleleri 1, 5, 6, 7, 12 ve 14 olan ve 215'ten büyük şiddetteki çizgiler bulunmuştur.

27- Zr II: WCS=\*\* 5'ten büyük şiddetteki çizgiler bulunmuştur.

28- Mo II: (Kiess, 1958) WCS=\*\* şiddeti 200 olan iki kuvvetli çizgisi blend durumundadır. 100 şiddetine de iki çizgi bulunmuştur fakat  $\lambda$  4372.638 çizgisi yoktur.

29- Cd I: WCS=? 2 multipleli 50 şiddetine tek bir çizgisi muhtemelen mevcuttur.

30- Ba II: WCS=\*\*  $\lambda$  4554.033 kesinlikle varken,  $\lambda$  4130.648,  $\lambda$  4166.003 ve  $\lambda$  4524.928 muhtemeldir.

31- La II: WCS=\*\*  $\lambda$  3929.22,  $\lambda$  3949.10 ve  $\lambda$  4086.72 çizgileri muhtemelen mevcuttur. İlk çizgi Ti I ile, ikinci çizgi de Fe I ile örtülümüştür.

32- Ce II: (Meggers, ve ark., 1975) WCS=\*\* sadece  $\lambda$  4186.60 çizgisi muhtemelen vardır.

33- Pr II: (Meggers, ve ark., 1975) WCS' de bulunamamıştır. Fakat

multipleleri, 4, 8, 11 ve 26 olan yedi muhtemel çizgi ekseriya, blend durumda bulunmuştur ve şiddet değerleri 2500 civarındadır.

34- Nd II: (Meggers, ve ark., 1975) WCS= \* 300'den büyük şiddetteki beş çizgi bulunmuştur;  $\lambda$  3863.33,  $\lambda$  4012.25 ve  $\lambda$  4303.58.

35- Sm II: (Meggers, ve ark., 1975) WCS'de bulunmamıştır. Fakat gözlenen bölgede dört kuvvetli çizgisi mevcuttur.  $\lambda$  3885.29 ve  $\lambda$  4424.34 çizgileri Fe I'in  $\lambda$  3884.339 ve Cr I'in  $\lambda$  4424.281 çizgileri ile blenddir. Diğer iki çizgisi ise  $\lambda$  3854.21 ve  $\lambda$  3922.40 tır.

36- Eu II: (Meggers, ve ark., 1975) WCS' de bulunamamıştır. Oysa üç kuvvetli çizgisi  $\lambda$  3930.48,  $\lambda$  4129.70 ve  $\lambda$  4205.05 V II ile blend olarak bulunmuştur.

37- Hg II: (Reader ve Corliss, 1980) WCS=?  $\lambda$  3983.86 çizgisi muhtemelen vardır. 86.5 mÅ eşdeğer genişliğindeki bu çizgi, sadece blend halinde bulunduğu FeI ve Cr I çizgileriyle açıklanamaz.

Tanımlanan bu çizgiler, multiple, şiddet ve eşdeğer genişlikleriyle Ek2' de verilmiştir.

## **IV. TARTIŞMA VE SONUÇ**

Normal ve Özel A tipi yıldızların spektrum sentez tekniğini de kullanarak, element bolluklarının incelenmesi için, daha önce Eu-Cr olarak sınıflandırılan özel A tipi yıldız HD 204411, çalışmanın temelini teşkil etmektedir. Sonuçlar, bu yıldızın atmosfer özelliklerile, normal yıldızların atmosfer özelliklerinin kıyaslanması şeklindedir.

Bulunan sonuçlar, I-1 bölümünde belirtilen amaçlar paralelinde aşağıdaki gibi sıralanabilir:

### **1- Gözlem Materyali ve Eşdeğer Genişlik:**

Adelman'ın 1988-1993 tarihleri arasında DAO'da HD204411 özel yıldızı için elde ettiği spektrumlar ilk kez bu çalışmada kullanılmış ve REDUCE programı yardımıyla çizgi eşdeğer genişlikleri hesaplanmıştır.

### **2- Radyal hızlar:**

Sözkonusu eşdeğer genişliklerden itibaren, blend olmayan kuvvetli çizgiler seçilmiş ve eldeki daha kaliteli verilerle daha doğru radyal hız değerleri elde edilmiştir.

### **3- Çizgi Tanısı:**

HD 204411 yıldızının çizgi tamısının iki ayrı yönü vardır:

a) Daha önceki çalışmalarında bu yıldızın 1500 çizgisinin tanısı yapılmıştır (Sargent ve ark. 1969). Bu çalışmada ise kullanılan ayırmaya gücü yüksek spektrumlar yardımıyla ve klasik karşılaştırma yöntemiyle yaklaşık 2000 çizginin tanısı yapılmış (Ek 2) ve çalışmanın bu bölümü için ilk kez WCS (Wavelength Coincidence Statistics Study: Dalgaboyu Rastlaşturma İstatistiği) yöntemi kullanılmıştır (III.5-3).

b) Buna ek olarak, "Spektrum Sentez" programı uygulanmış, ve daha önce tanısı yapılamayan 300 yeni çizgi daha bulunmuştur (Ek 8).

### **4- Değişkenlik:**

Yıldızın bu özelliği üç veriye göre incelenmiştir:

1988-1993 yılları arasında elde edilen spektroskopik ve fotometrik materyal, ilk olarak bu çalışmada kullanılmış, sonuçlar radyal hız ölçümleri ile birleştirilerek, yıldızın en azından bu periyot içerisinde değişken olmadığı bulunmuştur.

### **5- Atmosfer Parametreleri ve Model:**

Atmosfer modellerinin elde edilişinde opasite kaynaklarının eksik

olmaması son derece önemlidir. ATLAS9 programı opasite kaynağı yönünden daha önceki programlara kıyasla çok zenginleştirilmiştir. Bu açıdan HD 204411 yıldızının, elde edilen atmosfer modeli, katmanlar, fiziksel parametreler cinsinden daha gerçekçi olarak belirlendiği için, element bolluğu hesaplarında daha doğru sonuçlar verecek niteliktedir.

Bu yeni modele bağlı olarak ( $T_e=8400$  °K,  $\log g=3.3$ ,  $\xi=0.3$  km/sn), etkin sıcaklık ve yüzey gravitesi, bu yıldız için daha önce elde edilenlere kıyasla daha düşük çıkmıştır. Böylece soğuk  $A_p$  yıldızı grubunun temsilcisi olduğu iyice belirginleşmiştir.

#### **6- Spektrum Sentezi:**

Kurucz'un SYNTHE programı sayesinde bu yıldız için ilk defa oluşturulan sentetik spektrum bize, çizgi tanısının yanı sıra,  $T_e=8400$  °K,  $\log g=3.3$  ve  $\xi=0.3$  km/sn olan ve  $\lambda 5200$  anormallliğine uyan modelimizin gözlenen spektrumla uyuştuğunu ve bunun sonucu olarak da elde edilen element bollüğünün, yıldızın gerçek özelliğini daha doğru olarak yansittığını göstermiştir.

#### **7- Element Bolluğu:**

Element bolluğu hesabında kullanılan en önemli parametrelerden bir tanesi de osilatör şiddetleridir. HD 204411 yıldızının, daha önce yapılan element bolluğu çalışmalarından farklı olarak, bu çalışmada ilk kez, en yeni deneysel gf değerleri kullanılmıştır. WIDTH programı yardımıyla elde edilen bolluk değerleri, bu yıldızın daha önceki çalışmalarında belirtildiği gibi Eu-Cr grubundan değil, Eu-Cr-Sr sınıfından bir  $A_p$  yıldızı olduğunu göstermiştir.

Bu cümleden olarak, HD 204411'de Ca, Ti, Cr, Mn, Fe, Co, Sr, Zr, Ba, Pr, Nd ve Sm elementleri güneş değerlerinden +0.4 dex daha fazla bolluk göstermektedir. Si, V, Ni, Y, La, Eu güneş değerleri ile ±0.3 dex'lik bir uyuşum içindedirler. Mg ve Sc ise güneşten -0.4 dex ile -0.7 dex daha az bolluk göstermektedirler.

Ek 6'da, yıldızın hesapladığımız bollüğünü, benzer spektrumdaki diğer özel ve normal A tipi yıldızlarla ve soğuk  $A_p$  yıldızlarının ortalama değerlerini de gözönüne alarak, güneşin bolluk değerleri ile kıyasladığımızda, görüldüğü gibi, HD 204411 ortalama bir anormallik göstermektedir (III.5- 2).

## V. ÖZET

*Normal ve Özel A yıldızlarının, Spektrum Sentez Tekniği ile Atmosfer Yapılarının İncelenmesi* için, A tipi normal ve özel yıldızlar kısaca tanıtıldıktan sonra, soğuk bir  $A_p$  yıldızı olan HD 204411'in 3860- 4740 Å aralığında alınan spektrumundan, yaklaşık 2000 çizginin eşdeğer genişliği ölçülüp tanısı yapılmıştır. Yüksek ayırma güçlü spektrumlar, REDUCE programı kullanılarak ölçülmüş, ATLAS9 programı yardımıyla model atmosferi hesaplanmıştır. Bunun yanında tanısı yapılan çizgiler yardımıyla HD204411 için WIDTH programından elde edilen bolluk değerleri, normal ve özel A tipi yıldızların ve güneşin bolluk değerleri ile ve daha önceki çalışmalarla kıyaslanıp, anormal bolluk gösteren elementler belirlenmiştir. Aynı zamanda yıldızın Cr-Eu alt grubundan değil, Eu-Cr-Sr grubundan olduğu ortaya çıkmıştır.

Ayrıca yıldızın radyal hızına, fotometrik ve spektroskopik değişkenliğine bakılarak, en azından dört yıllık bir periyot boyunca değişken olmadığı sonucuna ulaşılmıştır.

Daha sonra SYNTHE programı yardımıyla, yıldızın sentetik spektrumu oluşturulmuş, bu şekilde gözlenen spektrum ve sentetik spektrum kıyaslaması yapılmıştır. Sonuçta  $T_{\text{eff}} = 8400 \text{ }^{\circ}\text{K}$ ,  $\log g = 3.3$ ,  $\xi = 0.30 \text{ km/sn}$  ve metalliliği 0.5 dex olarak hesapladığımız model atmosfer,  $\lambda 5200 \text{ Å}$  anormalliği de dahil olmak üzere gözlemlerle uyuşmuştur. Bu verilerle oluşturulun sentetik spektrumda bazı çizgilerin gözlenenden daha kuvvetli olduğu görülmüştür. Bunun temel sebebi, blend çizgilerin bolluğu arttırmasıdır.

Sentetik spektrumdan elde edilen yeni çizgiler liste halinde sunulmuştur. Yıldızın element bolluğu aynı sınıftaki normal ve özel yıldızların bolluk değerleri ile kıyaslanmış ve bazı değerlerin normal yıldızlara uyduğu, bazlarının ise ortalama bir anormallik gösterdiği bulunmuştur.

## SUMMARY

### THE ATMOSPHERIC ANALYSIS OF THE NORMAL AND PECULIAR A STARS BY USING SPECTRUM SYNTHESIS TECHNIQUES

For the *Atmospheric Analysis of The Normal and Peculiar A Stars by using Spectrum Synthesis Techniques*, after a brief introduction of normal and peculiar A type stars, about 2000 spectral lines of the cooler peculiar star HD 204411 have been identified over the spectral range 3860-4740 Å by computing their equivalent widths. The high resolution spectrograms of the star were measured by using REDUCE and the metal rich model atmospheres were calculated by using ATLAS9 computer programs. With the aid of identified spectral lines, the abundance values of HD 204411 obtained by using the WIDTH program have been compared with those of the normal and peculiar A type star and of the sun as well as with the values obtained from previous studies and hence elements that show abnormal abundances have been determined. Furthermore, it has been found that HD 204411 belongs to the Cr- Eu- Sr subgroup and not to the Cr-Eu group.

Also, we have investigated the variability of the radial velocity, the photometry and the spectrum and have concluded then the star has not exhibited any variability over the four years.

Employing the SYNTHE program we constructed the synthetic spectrogram for comparison purposes. We have obtained that, the adopted model atmosphere with  $T_e = 8400$  °K  $\log g = 3.3$ ,  $\xi = 0.30$  km/sn and 0.5 dex enhanced metals fits the observed  $\lambda 5200$  Å broad continuum region. Later we used these values to produce a predicted spectrum of the entire observed region. It has been observed that some lines in the synthetic spectrum are stronger than the observed lines. This strongly suggests that blending has increased the derived abundances.

The new lines obtained from the synthetic spectrum have been given. After comparing abundance values of the normal and peculiar stars that belong to the same spectral group with those of the HD 204411, we have found that the elemental abundance abnormalities of the star are relatively mild.

## **VI. KAYNAKLAR**

- ABT, H. A. (1965): Ap. J. Supl. 11, 429.
- ABT, H. A. (1975): Ap. J. 195, 405.
- ABT, H. A., BIGGS, E. S. (1972): Bibliography of Stellar Radial Velocities,  
Kitt Peak National Observatory, Tucson, AZ, USA, s. 451.
- ABT, H. A., ve MOYD, K. I. ( 1973): Ap. J. 183, 95.
- ADELMAN, S.J. (1973): Ap. J. 183, 95.
- ADELMAN, S.J. (1975): Ap. J. 195, 397.
- ADELMAN, S. J. (1977): Publ. Astron. Soc. Pac. 89, 650.
- ADELMAN, S. J. (1979): Astron. J. 84, 857.
- ADELMAN, S. J. (1981): A& A. S. 44, 309-316.
- ADELMAN, S. J. (1994): MNRAS, 266, 97.
- ADELMAN, S. J., GULLIVER, A. G. ,HILL, G., PINTADO, O. (1995): in Astrophysical  
Applications of Powerful New Atomic Database, eds.  
S.J.Adelman and W.L. Wiese, ASP Conference Series Vol.78.
- ANDERS, E., GREVESSE , N. (1989): Geochim. Cosmochim. Acta, 53, 197.
- BABCOCK, H. W. (1949): Observatory, 69, 191.
- BIEMONT, E., KARNER, C., MEYER, G., TRAGER, F. zu PUTLITZ, G. (1982): A&A  
107, 166.
- BIEMONT, E. BAUDOUX, M., KURUCZ,R. L., ANSBACHER , W. PINNINGTON , E. H.  
(1991) A&A, 249, 539.
- BONSACK, W. K., ve WALLACE, W. A. (1970): Publ.Astron.Soc.Pac. 82, 249.
- BONSACK, W. K., ve WOLFF, S. C. (1980): Astron.J. 85, 599.
- BORRA, E. F., ve LANDSTREET, J.D. (1980): Ap. J. Suppl. 42, 421.
- BRANCAZIO, P. J. ve CAMERON, A.G. M. (1967): Canadian J. Phys. 243, 533.
- CAMERON, R. C. (1966): Ceorgetown Obs. Monograph No. 21.
- CAMERON, R. C. (1967): The Magnetic and Related Stars, eds. R.C. Cameron  
(Baltimore: Mono Book Corp.), s. 471.
- CATALAN , M. A. MEGGERS, W. F. ve GARCIA-RIQUELME, O. (1964): J. Res. Natn.  
Bur. Stand., 68A, 9.
- CHAFFEE , F. H., Jr. (1970): A&A. 4, 291.
- CHALOGE, D. ve DIVAN , L. (1952): Ann. Astrophys. 15, 201.
- CORLISS, C.H., (1973): J. Res. Natn. Bur. Stand., 77A, 419.
- CORLISS, C. H. ve BOZMAN, W. R., (1962): NBS Monograph, No.53.

- COWLEY, C. R. (1979): Ap.J. Suppl. 39, 429.
- COWLEY , A., JASCHEK, M., JASCHEK, C. (1970): Astron.J. 75, 941.
- COWLEY, C. R., ADELMAN,S. J. (1990): Publ. Astr. Soc. Pac., 102, 1077.
- COX, J.P. ve GIULI, R. T. (1968): "Stellar Structure" Vol. 2 (Gordon ve Breach, Science Publishers, Inc., N.York ), s.626.
- CRAWFORD, D. L ; BARNEs , J. V.; FAURE, B. Q.; GOLSON, J. C. (1966): Astron. J. 71,709.
- DEUTSCH, A. J. (1947): Ap.J. 105, 283.
- DWORETSKY, M. M., (1974 ): Ap.J.S. 28, 101.
- DWORETSKY, M. M., (1971): PhD thesis, Univ. of California at Los Angeles.
- FORSBERG , P. (1991): Physica Scripta., 44, 446.
- FOWLER,W. A., BURBIDGE, E. M. ve BURBIDGE, G . R., (1955): Ap. J. S. 2, 167.
- FOWLER,W. A., BURBIDGE, E. M. ve BURBIDGE, G. R.,HOYLE, F. (1965): Ap.J. 142,423.
- FUHR, J. R, MARTIN, G. A , WIESE , W.L. (1988): J. Phys. Chem. Ref. Dat. 17 Suppl. 4.
- FUHR, J.R., WIESE, W.L. (1990): in Lide, D.R. ed. CRC., Handbook of Chem. and Phys., CRC press, Cleveland, OH.
- GERBALDI, M.,HAUCK, B., MORGULEFF, N. (1974): A.&A., 30, 105.
- GERBALDI, M., FLOQUET, M., FARAGGIANA, R. ve, van't VEER-MENNERET, C. (1989): A.&A.S., 81, 127.
- GREVESSE , N. BIEMONT, E., HANNAFORD, P.LOWE, R.M., (1981): Upper Main Sequence Cp Stars, 23rd Liege Astrophys.Coll. say.211.
- GREVESSE , N. BIEMONT, E., HANNAFORD, P.LOWE, R.M., (1981): Upper Main Sequence Cp Stars, 23rd Liege Astrophys.Coll. say.211.
- GRENIER, S., JASCHEK, M., GOMEZ, A. E. , JASCHEK, C.,HECK, A (1981): A.&A., 100, 24.
- GUTHRIE, B. N. G. (1967): Pub. R. Obs. Edinburg, 6,145.
- GUTHRIE, B. N. G. (1985): M.N.R.A. S., 216, 1.
- HANNAFORD,P. LOWE, R.M. GREVESSE , N., BIEMONT, E. (1982): Ap.J. 261, 737.
- HARDORP, J. (1976): I.A.U. Coll. No.32, 627.
- HARTOOG, M. R., COWLEY, C. R., COWLEY, A. P. (1973): Ap.J., 182, 847.
- HARTOOG, M. R., COWLEY, C. R., ADELMAN, S. J. (1974): Ap.J.,187, 551.
- HARTOOG, M. R. (1976): Ap.J., 205, 807.
- HAVNES, O. ve CONTI, P. S. (1971): A.&A. 14, 1.
- HAVNES, O. (1979): A.&A. 75, 197.

- HILL, G. ve FISHER , W. A. (1986): Publ. Dom. Astrophys. Obs. Victoria 16, 159
- HOFFLEIT, D. (1982): "The Bright Star Catalogue" 4th. Edition, Yale Univ.  
Obs. New Haven, CT. U.S.A.
- HOFFLEIT, D., SALADYGA, M., ve WLASUK, P. (1983): A Supplement to Bright  
Star Catalogue, Yale Univ. Obs. New Haven, CT. U.S.A.
- HOLWEGER, H. , BARD, A., KOCK, A., KOCK, M., (1991):A&A, 249, 545
- HULDT, S., JOHANSSON, S., LITZEN, U. ve WYART, J. F. , (1982): Phys. Scripta,  
25, 401.
- IGLESIAS , L. ve VELASCO , R., (1964): Publs Inst. Optica, No. 23.
- IGLESIAS , L., CABEZA, M. L, and LUIS, B. (1988): Publs. Inst. Optica, No. 47.
- JASCHEK, M. ve JASCHEK, C. (1958): Z. Astrophys. 45, 35.
- JASCHEK, C. ve JASCHEK, M. (1976): "Physics of A<sub>p</sub> Stars" Ed. W. L. Weiss,  
H. Jenkner ve H.J. Wood (Vienna Universitatssternwarte,  
Wien) s.219.
- JOHANSSON, S., (1978): Phys. Scripta, 18, 217.
- JOHNSON,H. L. ve MORGAN, W. W., (1953): Ap. J. 117, 313.
- KEENAN, P. C., SLETTEBAK, A., BOTTEMILLER, R. L. (1969): Ap. (letters), 3, 55.
- KIESS, C. C., (1953): J. Res. Natn. Bur. Stand., 51, 247.
- KIESS, C. C., (1958): J. Res. Natn. Bur. Stand., 60, 375.
- KLIESS, C. C., RUBIN, V. C. & MOORE, C. E., (1961): J. Res. Natn. Bur. Stand.,  
65A, 1.
- KODAIRE, K., (1969): Ap. J. (Letters), 157, L59.
- KURUCZ, R. L., (1970): SAO Special Report No. 309.
- KURUCZ, R. L., (1993): ASP, Conference Series 44, 87.
- KURUCZ, R. L., ve AVRETT, E. H., (1981): SAO Special Report No. 391.
- KURUCZ, R. L., , ve FURENLID, I. (1981): SAO Special Report No. 387.
- LANZ, T. ARTRU, M.C. (1985): Phys. Scripta 32, 115.
- LECKRONE, D. S., (1973): Ap. J. 185, 577.
- MAITZEN,H. M. (1976a): "Physics of A<sub>p</sub> Stars" Ed. W. W. Weiss, H. Jenkner  
ve H.J. Wood (Vienna Universitatssternwarte, Wien ) s.159.
- MAITZEN,H. M. (1976): A.&A. 51, 223.
- MAITZEN, H. M., MUTHSAM, H. (1980) Astron. Astrophys. 83, 334.
- MAITZEN,H. M., SEGGEWISS , W. (1980): Astron. Astrophys. 83, 328.
- MAGAZZU, A.; COWLEY, C.R. (1986): Ap.J. 308, 254.

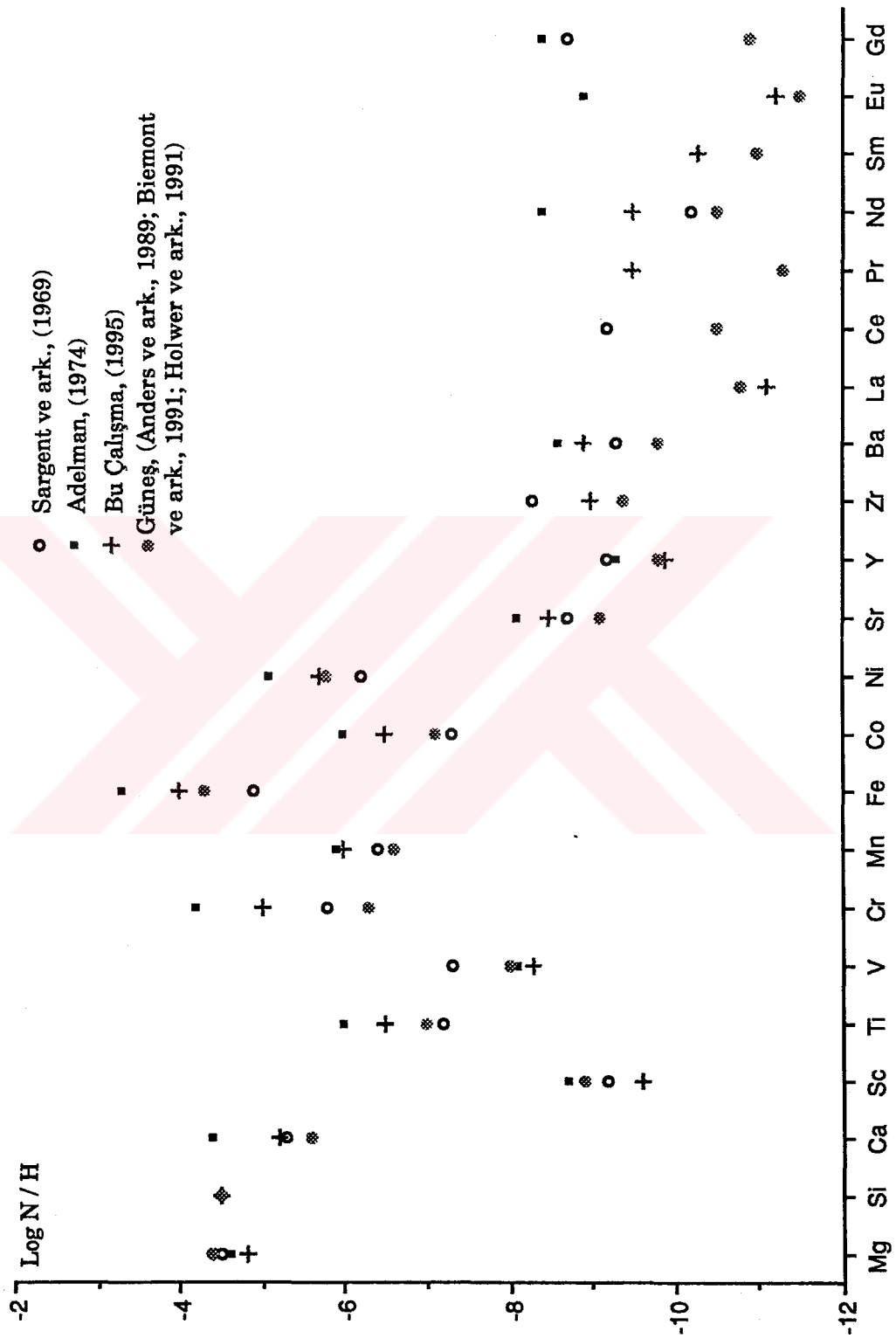
- MARTIN, G.A., FUHR,J.R., WIESE , W.L. (1988): j.Phys.Chem.Ref.Data, 17,  
Suppl.3.
- MEGGERS, W. F., CORLISS, C.H. ve SCRIBNER , B. F., (1975): NBS Monograph  
145, U.S. Government Printing Office, Washington, DC.
- MICHAUD, G. (1970): Ap.J. 160, 641.
- MICHAUD, G. (1976): "Physics of A<sub>p</sub> Stars" Ed. W. W. Weiss, H. Jenkner ve  
H.J. Wood (Vienna Universitatssternwarte, Wien ) s.81.
- MIHALAS, D. ve HENSHAW, J. L., (1966): Ap. J. 144, 25.
- MOORE, C. E., (1945): "A Multiple Table of Astrophysical Interest"  
(Princeton University Obs.).
- MOORE, C. E., (1965): NSRDS-NBS 3 Section 1-2, US Government Printing  
Office Washington, D.C.
- MORGAN, W. W., (1932): Ap.J. 75, 46.
- MORGAN, W. W., (1933): Ap.J. 77, 330.
- MUTHSAM, H., (1979): A.&A. 73, 14.
- NAVE, G., JOHANSSON, S., LEARNER, R. C. M., THORNE, A. P., (1994): Ap. J. Suppl.  
94, 221.
- NILSSON , A. E., JOHANSSON , S., ve KURUCZ, R. L., (1991): Physica Scripta,  
44, 226.
- OBLAK, E, CONSIDERE, S. CHARETON, M., (1976): A.&A. Suppl. 24, 69.
- OSAWA, K., (1964): Ann. of the Tokyo Astronomical Obs. 2nd. ser.  
vol. IX, No. 3.
- PRADERIE, F. (1967): Ann. Astrophysic, 30, 773.
- PRESTON, G. W., (1970), Publ. Astron. Soc. Pacific. 82, 878.
- PRESTON, G. W., (1971): Ap. J. 164, 309.
- PRESTON, G. W., (1974): Ann.Rev.Astron. Astrophys., 12, 257.
- READER , J., CORLISS, C.H. (1980): NSRDS-NBS 68, Part 1, US Government  
Printing Office Washington, DC.
- SARGENT , W. L. W., STROM, K. M., ve STROM,S. E., (1969): Ap.J. 157, 1265.
- SCHAEFFER, A.R., (1971): Ap.J., 163, 411.
- SEARLE , L., LUNGERSHAUSEN , W., SARGENT , W. L. W., (1966): Ap.J. 145, 141.
- SEARLE , L. ve SARGENT , W. L.W., (1964): Ap.J. 139, 793.
- SHALLIS , M. J., BARUCH , J. E.F., BOOTH , A. J., SELBY , M. J., (1985): MNRAS  
213, 307.

- SHALLIS, M. J., ve BLACWELL, D. E. (1979 ): A.&A. 79, 48.
- SHORE, S. N. ve ADELMAN, S. J., (1979): Astron. J. 84, 4.
- STIBBS , D. W. N., (1950): MNRAS, 110, 395.
- STROM, S.E. ve AVRETT, E. H., (1965): Ap. J. Suppl. 12, 1.
- STROM, S.E. ve PETERSON, D. M., (1968): Ap. J. 152, 859.
- STRÖMGREN, B. (1963): "Basic Astronomical Data " Ed. K.A. Strand.  
(University of Chicago Press) s.123.
- STRÖMGREN, B. (1966): Ann.Rev. Astron. Astrophys. 4, 433.
- TOOMRE,J., ZAHN, J., LATOUR, P. ve SPIEGEL, E. A., (1976): Ap.J. 207, 545..
- VAN den HEUVEL, E. P. J., (1967): Bull.Astron.Inst. Netherlands 19, 11
- WARD, L. (1985): MNRAS 213, 71.
- WINZER, J. E., (1974): Ph. D. Thesis, University of Toronto.
- WIESE,W.L., FUHR,J.R., (1975): J.Phys.Chem.Ref.Data, 4, 263.
- WIESE, W. L., MARTIN, G.A. (1980): NSRDS - NBS 68, Part 2, US Gov. Print.  
Office. Washington D.C.
- WIESE,W.L., SMITH, M.W., GLENNON, B.M. (1966): NSRDS - NBS 4, US Gov.  
Print. Office, Washington D.C.
- WOLFF, S.C., (1981): Ap. J. 244, 221.
- WOLFF, S.C., (1983): "The A Stars: Problems and Perspectives "(NASA,  
Monograph Series on Nonthermal Phenomena in Stellar  
Atmospheres) s.33.
- WOLFF, S.C., MORRISON, N.D. (1973): Publ. Astron. Soc. Pacific. 85, 14147.
- YOUNGER,S.M., FUHR, J.R., MARTIN, G.A., WIESE, W.L., (1978): J. Phys. Chem.  
Ref. Data 7, 495.

## **EKLER**

<b>KONU</b>	<b>SAYFA</b>
<b>Ek 1-</b> HD 204411 atmosfer bolluğunun daha önceki değerler ve güneş bolluğu ile kıyaslanması.	49
<b>Ek 2-</b> HD 204411'in çizgi tanısı.	50
<b>Ek 3-</b> HD 204411'in fotometri değerleri.	81
<b>Ek 4-</b> HD 204411'in bolluk değerleri.	83
<b>Ek 5-</b> HD 204411'in atmofer modeli.	90
<b>Ek 6-</b> HD 204411 bolluğunun normal ve özel A tipi yıldızlar ve güneş bolluğu ile kıyaslanması.	92
<b>Ek 7-</b> HD 204411'e ait sentetik spektrum örneği.	93
<b>Ek 8-</b> SYNTHE modelinden elde edilen elementler.	94
<b>Ek 9-</b> REDUCE programı ile sürekli ölçümüne örnek.	97
<b>Ek 10-</b> REDUCE programı ile eşdeğer genişlik ölçümüne örnek.	98

EK 1- HD 204411 atmosfer bolluğuunun daha önceki değerler ve Güneş bolluğu ile kıyaslanması



## Ek 2- HD 204411 (=HR 8216) Çizgi Tanısı

Gözlenen Dalgalıboyu	$W_{\lambda}$ (mÅ)	Derinlik Genişlik	Hesaplanan Dalgalıboyu	Tam ve Laboratuvar Dalgalıboyu
<b>3860 Å Bölgesi</b>				
3827.405	18.8	0.134	0.13	3827.588 Fe I(284)3827.572(1)
3827.641	85.1	0.404	0.20	3827.824 Fe I(45)3827.825(75r)
3827.966	12.7	0.067	0.18	3828.149 (Ti I(189)3828.187(200))
3828.316	13.5	0.079	0.16	3828.499 Fe I(287)3828.510(1n)
3828.625	1.7	0.016	0.10	3828.808
{ 3828.943	9.2	0.059	0.15	3829.126 Fe I(948)3829.125((1))
3829.185	120.1	0.510	0.22	3829.368 Mg I(3)3829.3549(40)
3829.537	39.9	0.157	0.24	3829.720 Fe I(221)3829.771((2));Mn I(6)3829.679(100)
3829.925	17.1	0.092	0.18	3830.108
3830.224	21.5	0.042	0.49	3830.407
3830.676	16.5	0.049	0.31	3830.859 Fe I(284)3830.850(1)
3831.513	16.7	0.070	0.23	3831.696 Ni I(31)3831.690(20)
3832.118	95.9	0.459	0.20	3832.301 Mg I(3)3832.2996;.3037(80r)
3834.070	42.0	0.203	0.19	3834.253 Fe I(20)3834.225(100r)
3835.189				3835.372 H9 3835.386
3835.914	13.0	0.080	0.15	3836.097 Ti II(12)3836.084(4);Cr I(70)3836.07(12)
3836.702	8.5	0.039	0.20	3836.885 (Zr II(16)3836.761(60))
3837.713	11.1	0.033	0.32	3837.896 Cr I(K)3837.88(5h)
3838.109	107.2	0.519	0.19	3838.292 Mg I(3)3838.2918,.2943(100r)
3838.312	7.8	0.034	0.22	3838.495
{ 3839.077	16.9	0.121	0.13	3839.260 Fe I(529)3839.259(7)
3839.434	17.8	0.089	0.19	3839.617 Fe I(995)3839.614(2w)
3839.639	17.3	0.086	0.19	3839.822 Mn I(6)3839.779(500h)
3840.255	62.2	0.330	0.18	3840.438 Fe I(20)3840.439(80r)
3840.864	63.8	0.350	0.17	3841.047 Fe I(45)3841.051(80r)
3841.094	40.9	0.204	0.19	3841.277 Cr I(69)3841.277(50)
{ 3841.641	8.7	0.056	0.15	3841.824
3841.857	19.1	0.082	0.22	3842.040 Co I(33)3842.047(30);Cr I(70)3842.024(20W)
3842.797	31.5	0.112	0.27	3842.980 Fe I(221)3842.901(2);Sc II(1)3843.000(4);Zr II(7)3843.303(30)
3843.079	42.0	0.233	0.17	3843.262 Fe I(528)3843.259(8)
{ 3843.530	25.5	0.088	0.27	3843.713 Fe I(703)3843.72(p)
3843.795	15.5	0.089	0.16	3843.978 Mn I(6)3843.988(500h)
3843.978	37.9	0.181	0.20	3844.161 Mn II(1)3844.167(200)
3844.650	26.9	0.075	0.34	3844.833 Fe II(D)3844.78(p)
3845.000	48.1	0.266	0.17	3845.183 Fe I(124)3845.170((5));Fe II(127)3845.18(p)
3845.293	41.8	0.213	0.18	3845.476 Co I(34)3845.468(60)
3845.504	25.7	0.152	0.16	3845.687 Fe I(771)3845.692((1))
3845.795	27.6	0.124	0.21	3845.978 Fe I(703)3846.00(1w)
3846.205	50.7	0.207	0.23	3846.388 Fe I(804)3846.412(2)
3846.620	62.3	0.287	0.20	3846.803 Fe I(664)3846.803(8)
3847.202	26.6	0.095	0.26	3847.385 V II(156)3847.340(100);Cr I(K)3847.38(10WH)
3848.062	29.9	0.141	0.20	3848.246 Mg II(5)3848.24(7)
3848.398	7.1	0.026	0.25	3848.582
3848.785	28.7	0.147	0.18	3848.969 Cr I(69)3848.983(150W)
3849.168	37.9	0.215	0.17	3849.352 Cr I(138)3849.365(50)
3849.365	55.8	0.282	0.19	3849.549 Cr I(24)3849.534(40)
3849.791	96.5	0.466	0.19	3849.975 Fe I(20)3849.969(40)
3850.180	32.5	0.084	0.36	3850.364 Mg II(5)3850.40(6);V II(11)3850.403(30)
3850.636	51.7	0.284	0.17	3850.820 Fe I(22)3850.820(12)
3852.024	24.8	0.094	0.25	3852.208 (Cr I(24)3852.221(60));Ni II(11)3849.58(2)
3852.390	51.5	0.257	0.19	3852.573 Fe I(73)3852.574(6);Cr I(11)3862.56(15)
3852.973	25.4	0.105	0.23	3853.157 Cr I(69)3853.188(50)
3853.224	39.4	0.158	0.23	3853.408 Fe I(429)3853.462((1))
3853.483	65.1	0.331	0.18	3853.667 Si II(1)3853.664(100h)
3853.797	17.8	0.057	0.30	3853.981
3853.991	9.4	0.086	0.10	3854.175 Sm II(-)3854.209(300)
3854.132	58.0	0.235	0.23	3854.316 Cr I(69)3854.229(100)
3854.601	42.2	0.102	0.39	3854.785 Cr I(K)3854.80(50w)
3855.112	32.7	0.168	0.18	3855.296 Cr I(69)3855.296(50)
3855.370	47.9	0.140	0.32	3855.554 Cr I(69)3855.58(100)
{ 3855.635	16.4	0.117	0.13	3855.819 Fe I(567)3855.846((1w))
3855.832	121.2	0.442	0.26	3856.016 si II(1)3856.017(500h)
3856.176	93.4	0.446	0.20	3856.360 Fe I(4)3856.373(50r)
3857.237	4.6	0.041	0.11	3857.421
3857.430	30.6	0.176	0.16	3857.614 Cr I(69)3857.631(100w)
3858.117	43.2	0.256	0.16	3858.301 Ni I(32)3858.301(40r)
3858.698	57.8	0.253	0.21	3858.882 Cr I(138)3858.89(50w)
{ 3859.027	50.7	0.302	0.16	3859.211 Fe I(175)3859.214(10)
3859.208	7.3	0.052	0.13	3859.392 sc II(1)3859.36(p);Mn I(C)3859.397(1)
3859.467	38.5	0.148	0.24	3859.651
{ 3859.728	96.0	0.495	0.18	3859.912 Fe I(4)3859.913(300r)
3859.921	11.7	0.081	0.14	3860.105 Fe II(128)3860.12(p);Cr I(39)3860.12(18)
3860.768	8.2	0.054	0.14	3860.952 Fe II(-)3860.915(3)
{ 3860.974	4.0	0.033	0.11	3861.158 Co I(33)3861.164(20)
3861.151	36.9	0.216	0.16	3861.335 Fe I(283,663)3861.341(2)
3861.399	8.4	0.064	0.12	3861.583 Fe I(663)3861.60((1))
3861.861	25.9	0.097	0.25	3862.045
3862.407	93.3	0.411	0.21	3862.591 si II(1)3862.595(200h)
3862.907	3.3	0.024	0.13	3863.091 Ni I(181)3863.072((5))
3863.200	23.7	0.147	0.15	3863.384 Mn II(1)3863.402(40);Fe II(152)3863.413(1);Nd II(27) 3863.33;.40(3200)

## Ek 2- HD 204411 (=HR 8216) Çizgi Tanısı

Gözlenen Dalgalıboyu	$W_\lambda$ (mÅ)	Derinlik	Genişlik	Hesaplanan Dalgalıboyu	Tam ve Laboratuvar Dalgalıboyu
3863.534	71.2	0.309	0.22	3863.718 Fe I(565)3863.70(p);V II(I)3863.798(60)	
3863.776	46.0	0.259	0.17	3863.960 Fe II(127,152)3863.953(1);Cr (K)3863.96(5h)	
3864.126	8.9	0.051	0.16	3864.310 Fe I(221)3864.310(p)	
3864.720	22.8	0.129	0.17	3864.904	
3865.371	137.7	0.583	0.22	3865.555 Fe I(20)3865.526(30);Cr II(167)3865.60(25)	
3865.795	52.3	0.238	0.21	3865.979 Cr II(130)3866.01(5)	
3866.341	41.2	0.248	0.16	3866.525 Cr II(130)3866.54(7)	
3866.673	31.3	0.094	0.31	3866.857 V II(I)3866.732(60)	
3867.027	46.3	0.277	0.16	3867.211 Fe I(488)3867.219(7)	
3867.334	21.5	0.049	0.41	3867.518 (Fe I(221)3867.450(p))	
3867.737	17.9	0.105	0.16	3867.921 Fe I(221)3867.925(1)	
3868.073	20.4	0.059	0.33	3868.257 Fe I(430)3868.243((1));Cr I(K)3868.27(25)	
3868.500	5.4	0.033	0.15	3868.685	
3869.139	2.6	0.023	0.11	3869.323 Ti I(175)3869.271(150)	
3869.400	51.0	0.275	0.17	3869.584 Fe I(284)3869.590(3)	
3869.625	11.2	0.039	0.27	3869.810	
3869.985	39.0	0.195	0.19	3870.170 (Cr I(K)3870.24(50Wh))	
3870.287	16.1	0.070	0.22	3870.472	
3870.637	27.8	0.124	0.21	3870.822 Mn I(C)3870.882(4)	
3871.041	4.9	0.036	0.13	3871.226	
3871.435	16.7	0.054	0.29	3871.620 Ni I(181)3871.60((3))	
3871.565	30.6	0.201	0.14	3871.750 Fe I(429)3871.750(4)	
3872.324	76.2	0.427	0.17	3872.509 Fe I(20)3872.504(60)	
3872.579	46.2	0.263	0.17	3872.764 Fe II(29)3872.76(p);Mo II(K)3872.78(2)	
3872.740	17.9	0.137	0.12	3872.925 Fe I(284)3872.923(1)	
3872.924	33.8	0.195	0.16	3873.109 Co I(18)3873.120(60)	
3873.091	5.5	0.048	0.11	3873.276 Ti I(176)3873.201(240);Mo II(K)3873.27(41)	
3873.386	4.2	0.043	0.09	3873.571 Cr I(K)3878.580(7n)	
3873.570	41.5	0.259	0.15	3873.755 Fe I(175)3873.763(8)	
3873.797	26.3	0.132	0.19	3873.982 Co I(18)3873.953(40)	
3874.291	36.4	0.191	0.18	3874.476 Cr II(143)3874.410(p)	
3874.596	7.3	0.051	0.14	3874.781 Cr II(143)3874.760(p)	
3874.881	26.8	0.105	0.24	3875.066 Mo II(K)3875.07(1)	
3875.601	21.4	0.105	0.19	3875.786 Ca I(26)3875.807((4))	
3875.865	19.6	0.120	0.15	3876.050 Fe I(22)3876.043(4)	
3876.623	13.0	0.041	0.30	3876.808 Co I(17,62)3876.831(20)	
3877.116	12.8	0.070	0.17	3877.301 Cr I(K)3877.517(12)	
3877.837	71.5	0.380	0.18	3878.022 Fe I(20)3878.021(60)	
3878.082	46.6	0.218	0.20	3878.267 Y II(7)3878.28(272)	
3878.450	140.0	0.502	0.26	3878.635 Ti I(164)3878.61(p);Fe I(175)3878.663((8))	
3878.803	15.7	0.104	0.14	3878.988 Mn II(I)3879.004(60)	
3879.001	23.0	0.124	0.17	3879.186 Cr I(138)3879.231(50w)	
3880.143	4.6	0.027	0.16	3880.328	
3881.012	16.2	0.085	0.18	3881.197 Cr I(138)3881.214(40)	
3881.727	24.3	0.099	0.23	3881.912 Ni II(13)3881.920(1);(Zr II(134)3881.97(7))	
3882.106	42.5	0.244	0.16	3882.291 Ti II(34)3882.28(p)	
3882.333	10.5	0.055	0.18	3882.518	
3882.708	10.4	0.050	0.20	3882.893 Ti I(176)3882.891(900)	
3882.883	3.5	0.023	0.14	3883.068	
3883.100	36.4	0.219	0.16	3883.285 Fe I(663)3883.282((4));V II(11)3883.200(30);CrI(23)3883.292(60)	
3883.260	2.6	0.039	0.06	3883.445	
3883.453	6.9	0.054	0.12	3883.638 Cr I(138)3883.660(20)	
3884.154	17.0	0.101	0.16	3884.339 Fe I(282)3884.359(3)	
3885.004	23.2	0.121	0.18	3885.189 Cr I(K)3885.20(75);sm II(46)3885.286(1000)	
3885.332	13.6	0.096	0.13	3885.517 Fe I(124)3885.512(5)	
3885.888	3.6	0.032	0.11	3886.073 Mo II(K)3886.06(1)	
3886.107	50.8	0.288	0.17	3886.292 Fe I(4)3886.284(40R)	
3886.603	21.8	0.097	0.21	3886.788 Cr I(23)3886.80(50)	
3886.873	33.2	0.212	0.15	3887.058 Fe I(20)3887.051(15);Cr I(K)3887.081(15hl)	
3887.208	10.7	0.041	0.24	3887.393 Ti I(176)3887.355(13);Mn I(C)3887.380(2)	
3888.347	11.1	0.083	0.13	3888.532 Fe I(45)3888.517(20)	
3890.712	8.9	0.051	0.16	3890.897 Fe I(280)3890.844(2)	
3891.723	16.5	0.101	0.15	3891.908 Fe I(733)3891.928(3);Mg I(47)3891.976((5))	
3891.977	16.0	0.080	0.19	3892.163 Cr II(167)3892.140(4)	
3892.824	18.7	0.053	0.33	3893.010 (Co I(114)3893.067(2));Fe I(567)3892.980((1))	
3893.190	34.5	0.180	0.18	3893.375 (Mg I(47)3893.376(3));Fe I(430)3893.391((1))	
3893.861	54.5	0.244	0.21	3894.047 Cr I(23)3894.035(40);Co I(34)3894.073(60)	

### 3915 Å Bölgesi

3884.154	18.1	0.130	0.13	3884.348 Fe I(282)3884.359(3)
3884.883	7.1	0.077	0.09	3885.077 Fe I(732)3885.070(p);Cr I(138)3885.083(100w)
3885.014	18.8	0.135	0.13	3885.208 Cr I(K)3885.20(75);sm II(46)3885.286(1000)
3885.315	10.5	0.093	0.11	3885.509 Fe I(124)3885.512(5)
3886.092	51.7	0.336	0.14	3886.286 Fe I(4)3886.284(40R)
3886.615	12.3	0.103	0.11	3886.809 Cr I(23)3886.80(50)
3886.862	33.7	0.213	0.15	3887.056 Fe I(2)3887.051(15);Cr I(K)3887.081(15hl)
3888.883				3889.077 H <sub>8</sub> 3889.051
3891.638	17.3	0.065	0.25	3891.832 Fe I(733)3891.928(3);Mg I(47)3891.976((5))
3891.971	17.0	0.112	0.14	3892.165 Cr II(167)3892.140(4)
3892.844	18.0	0.045	0.37	3893.038 (Co I(114)3893.067(2));Fe I(567)3892.980((1))
3893.175	36.4	0.191	0.18	3893.370 (Mg I(47)3893.376(3));Fe I(430)3893.391(7)
3893.693	8.3	0.062	0.13	3893.888 Fe I(175)3893.924((2))

## Ek 2- HD 204411 (=HR 8216) Çizgi Tanısı

Gözlenen Dalgalıboyu	$\lambda$ (mÅ)	Derinlik	Genişlik	Hesaplanan Dalgalıboyu	Tam ve Laboratuvar Dalgalıboyu
3893.852	55.1	0.311	0.17	3894.047 Cr I(23)3894.035(40);Co I(34)3894.073(60)	
3894.366	12.0	0.062	0.18	3894.561 Fe I(566)3894.49((1));Fe II(D)3894.65(p)	
3894.958	26.2	0.155	0.16	3895.153 Ti I(176)3895.242(330);Cr II(143)3895.12(1), Cr II(106)3895.14(2)	
3895.204	5.5	0.053	0.10	3895.399 Fe I(565)3895.44((1))	
3895.453	65.2	0.392	0.16	3895.647 Fe I(4)3895.658(25r);Mg I(47)3895.662(10)	
3895.915	25.8	0.163	0.15	3896.110 Fe II(23)3896.110(p)	
3896.226	8.7	0.037	0.22	3896.421 Cr I(K)3896.48(5)	
3896.445	6.4	0.019	0.31	3896.640 Fe I(834)3896.630(p)	
3897.252	23.5	0.150	0.15	3897.447 Fe I(429)3897.449((2))	
3897.437	27.0	0.155	0.16	3897.632 Mn II(I)3897.618(100)	
3897.690	39.5	0.251	0.15	3897.885 Fe I(280)3897.896(8)	
3897.829	50.0	0.300	0.16	3898.024 Fe I(20)3898.012(10);(Mg I(47)3898.120((4)))	
3898.163	11.1	0.030	0.35	3898.358 Co I(58)3898.485(4)	
3898.397	11.8	0.091	0.12	3898.592 Fe II(D)3898.62(p)	
3898.889	43.5	0.185	0.22	3899.084 Fe I(175)3899.037(2);V II(33)3899.139(200), MnII(I)3898.067(100)	
3899.181	6.9	0.033	0.20	3899.376 (Mn I(C)3899.336(10))	
3899.514	64.3	0.408	0.15	3899.709 Mn I(C)3899.620(30);Fe I(4)3899.709(300R)	
3900.345	112.8	0.592	0.18	3900.540 Ti II(34)3900.559(12);Fe I(565)3900.519(2)	
3900.613	33.0	0.159	0.20	3900.808 Ti I(15)3900.959(1400)	
3901.901	11.3	0.088	0.12	3902.096 sc II(9)3902.09(p)	
3902.292	9.5	0.067	0.13	3902.487	
3902.522	21.9	0.095	0.22	3902.717	
3902.749	84.5	0.502	0.16	3902.944 Fe I(45)3902.948(20)	
3903.005	26.5	0.135	0.18	3903.200 Cr I(23)3903.164(25);V II(11)3903.263(250)	
3903.660	93.0	0.397	0.22	3903.855 Fe I(429)3903.902(5);Fe II(D)3903.78(p)	
3904.231	5.1	0.033	0.15	3904.426 Cr I(K)3904.407(5)	
3904.407	6.3	0.053	0.11	3904.602 (Ni I(29)3904.640(p))	
3904.621	28.1	0.127	0.21	3904.816 Co I(171)3904.790(10)	
3904.810	10.7	0.066	0.15	3905.005 Fe I(703)3905.01(p)	
3904.998	5.9	0.050	0.11	3905.193 Fe I(564)3905.18(p)	
3905.384	152.6	0.554	0.26	3905.579 si I(3)3905.523(300);Cr II(167)3905.64(25)	
3905.836	52.6	0.290	0.17	3906.031 Fe II(173)3906.037(5)	
3906.292	55.4	0.372	0.14	3906.487 Fe I(4)3906.482(8)	
3906.552	31.4	0.222	0.13	3906.747 Fe I(664)3906.748(2)	
3906.760	7.0	0.039	0.17	3906.955 (Fe I(567)3906.97(p))	
3907.056	8.2	0.060	0.13	3907.251	
3907.273	14.6	0.123	0.11	3907.468 Fe I(284)3907.464((1))	
3907.557	10.4	0.055	0.18	3907.752 Cr I(262)3907.777(30)	
3907.737	21.4	0.194	0.10	3907.932 Fe I(280)3907.937(4)	
3907.836	22.4	0.111	0.19	3908.031 Fe II(D)3908.11(p)	
3908.227	15.8	0.058	0.26	3908.422 Pr II(11)3908.440(770)	
3908.370	8.4	0.054	0.15	3908.565 Fe II(29)3908.54(p)	
3908.564	38.3	0.272	0.13	3908.759 Cr I(23)3908.762(150r)	
3908.740	6.9	0.052	0.13	3908.935 Ni I(117)3908.931(8n)	
3909.063	21.0	0.149	0.13	3909.258 Cr II(129)3909.25(1)	
3909.371	11.6	0.054	0.20	3909.566	
3909.462	19.0	0.169	0.11	3909.657 Fe I(565)3909.664((1))	
3909.649	56.6	0.249	0.21	3909.844 Fe I(364)3909.830(3);Co I(3)3989.933(13))	
3910.287	7.9	0.066	0.11	3910.482 Fe I(562)3910.520(p)	
3910.645	24.9	0.180	0.13	3910.840 Fe I(284)3910.845((3))	
3910.806	22.4	0.139	0.15	3911.001 Fe I(562)3911.00((1))	
3911.135	40.7	0.264	0.14	3911.330 Cr II(129)3911.32(3);Ti I(176)3911.362((12))	
3911.368	9.1	0.066	0.13	3911.563 Fe II(D)3911.58(p)	
3911.512	8.0	0.057	0.13	3911.707 Fe I(664)3911.699((1))	
3911.619	8.8	0.063	0.13	3911.814 sc I(8)3911.810(100)	
3911.794	55.7	0.303	0.17	3911.989 Cr I(K)3911.830(50wh)	
3912.119	16.1	0.060	0.25	3912.314 Ni I(151)3912.310(8n)	
3912.602	9.6	0.057	0.16	3912.797 Cr I(K)3921.79(2h)	
3913.061	20.5	0.127	0.15	3913.257	
3913.271	106.9	0.594	0.17	3913.467 Ti II(34)3913.477(12)	
3913.440	35.1	0.239	0.14	3913.635 Fe I(120)3913.635(4)	
3913.645	5.9	0.030	0.18	3913.841	
3914.067	84.3	0.357	0.22	3914.262 Fe I(567)3914.273((1));Zr II(134)3914.36(8)	
3914.316	49.1	0.335	0.14	3914.511 Fe II(3)3914.480(2);Fe I(660)3914.50(p)	
3915.057	23.6	0.139	0.16	3915.252 Cr II(128)3915.30(p);Fe I(-)3915.256(1)	
3915.292	14.8	0.110	0.13	3915.488 (Cr I(K)3915.514(25));Mo II(K)3915.434(40Z)	
3915.655	32.7	0.216	0.14	3915.851 Cr I(136)3915.854(100);(Zr II(17)3915.94(25))	
3916.036	16.7	0.155	0.10	3916.231 Cr I(23)3916.25(100)	
3916.202	64.3	0.331	0.18	3916.397 V II(10)3916.415(200)	
3916.538	45.2	0.308	0.14	3916.734 Fe I(606)3916.733(6)	
3916.787	4.3	0.041	0.10	3916.983 Cr I(137)3916.986(35)	
3916.988	47.5	0.295	0.15	3917.184 Fe I(20)3917.185(8);Cr I(K)3917.20(3)	
3917.160	5.3	0.050	0.10	3917.355 Mn II(I)3917.324(30)	
3917.406	9.4	0.080	0.11	3917.602 Cr I(137)3917.596(15)	
3918.175	106.0	0.389	0.26	3918.371 Mn I(C)3918.319(60c);Fe I(124)3918.319(3),	
3918.426	65.6	0.337	0.18	3918.622 Fe I(430)3918.644(6)	
3918.928	84.1	0.433	0.18	3919.124 Fe I(430)3919.069(3);Cr I(23)3919.165(200R)	
3919.213	14.9	0.111	0.13	3919.409 Cr II(D)3919.43(p)	
3919.891	3.7	0.040	0.09	3920.087	
3920.068	68.0	0.426	0.15	3920.264 Fe I(4)3920.260(20r)	
3920.434	36.6	0.244	0.14	3920.630 Fe I(153)3920.645((1));Fe II(D)3920.62(p)	
3920.648	26.4	0.183	0.14	3920.844 Fe I(567)3920.839((1))	

## Ek 2- HD 204411 (=HR 8216) Çizgi Tanısı

Gözlenen Dalgaboyu	$W_{\lambda}$ (mÅ)	Derinlik	Genişlik	Hesaplanan Dalgaboyu	Tanı ve Laboratuvar Dalgaboyu
3920.838	43.0	0.307	0.13	3921.034 Cr I(23)3921.031(100r)	
3920.984	40.6	0.177	0.22	3921.180 Fe I(220)3921.270((1))	
3921.824	18.3	0.115	0.15	3922.020 Fe II(D)3922.04(p)	
3922.225	5.0	0.033	0.14	3922.421 Mn II(38)3922.40(40h)	
3922.486	14.2	0.091	0.15	3922.682 Mn I(C)3922.681(40hw)	
3922.728	91.0	0.468	0.18	3922.924 Fe I(4)3922.914(25R)	
3923.195	6.2	0.030	0.20	3923.391 Ti II(97)3923.390(p);Cr II(D)3923.32(p)	
3923.661	6.3	0.054	0.11	3923.857	
3923.863	5.1	0.053	0.09	3924.059 Mn I(C)3924.075(40h)	
3923.971	6.3	0.050	0.12	3924.167 Ni I(240)3924.180(p)	
3924.314	7.3	0.046	0.15	3924.510 Ti I(13)3924.527(50)	
3924.671	19.4	0.101	0.18	3924.867 Fe II(G)3924.840(p)	
3925.009	34.6	0.196	0.17	3925.205 Fe I(567)3925.201((1))	
3925.267	18.1	0.108	0.16	3925.463	
3925.450	44.7	0.274	0.15	3925.646 Fe I(364)3925.646(4);Mo II(K)3925.62(10)	
3925.792	86.7	0.424	0.19	3925.988 Fe I(364)3925.946(6);Fe I(562)3926.001((1))	
3926.234	19.7	0.070	0.26	3926.430 Mn I(44)3926.476(100hw);Fe I(-)3926.422(1n)	
3926.471	19.8	0.142	0.13	3926.667 Cr I(313)3926.66(40);Fe II(D)3926.71(p)	
3926.754	3.6	0.019	0.18	3926.950 Mo II(K)3926.945(5h)	
3927.254	14.9	0.062	0.23	3927.450	
3927.728	72.7	0.464	0.15	3927.924 Fe I(4)3927.922(30R)	
3927.887	49.8	0.304	0.15	3928.083 Fe I(565)3928.085((1))	
3928.445	26.2	0.212	0.12	3928.641 Cr I(23)3928.647(100r)	
3928.985	45.1	0.226	0.19	3929.181 (Ti II(97)3929.15(p));La II(27)3929.22(2200)	
3929.165	17.4	0.125	0.13	3929.361 Mn I(C)3929.248(30hw)	
3929.484	5.8	0.064	0.09	3929.680 Cr I(K)3929.66(20hw);(Zr II(142)3929.54(8))	
3929.563	20.6	0.079	0.24	3929.759 V II(10)3929.734(80)	
3930.103	62.6	0.422	0.14	3930.299 Fe I(4)3930.299(25R);Fe II(3)3930.310(p)	
3930.293	16.9	0.045	0.36	3930.489 Eu II(5)3930.50(4000)	
3930.680	6.4	0.051	0.12	3930.876 Fe I(-)3930.876(0N)	
3930.926	16.5	0.130	0.12	3931.122 Fe I(565)3931.122((3))	
3931.819	50.8	0.337	0.14	3932.015 Ti II(34)3932.020(11)	
3932.049	5.6	0.040	0.13	3932.245 Fe I(-)3932.266(1n)	
3932.419	10.4	0.055	0.18	3932.615 Fe I(280,652)3932.629(4)	
3933.311	28.6	0.101	0.27	3933.508 Fe I(488,562)3933.606((2))	
3933.463	159.0	0.558	0.18	3933.659 Ca II(1)3933.664(400R)	
3933.605	25.4	0.098	0.24	3933.802	
3933.938	34.0	0.077	0.42	3934.135 Zr II(7)3934.149(20)	
3934.839	10.1	0.062	0.15	3935.036 Cr II(K)3935.04(1)	
3935.110	12.3	0.073	0.16	3935.307 Fe I(362)3935.310((2))	
3935.444	13.2	0.060	0.21	3935.641	
3935.622	25.3	0.203	0.12	3935.819 Fe I(362)3935.815(8)	
3935.765	44.3	0.265	0.16	3935.961 Co I(32)3935.964(30);Fe II(137)3935.942(6);Zr II(42)3936.02(7)	
3936.766	7.0	0.074	0.09	3936.963 Cr II(128)3936.95(1)	
3937.142	27.0	0.173	0.15	3937.339 Fe I(278)3937.329(3)	
3937.580	6.6	0.035	0.18	3937.777 Mn I(C)3937.763(10)	
3937.812	15.5	0.098	0.15	3938.009 (Ti II(246)3938.005(2n))	
3938.141	95.0	0.408	0.22	3938.338 Cr I(K)3938.352(25w);Mg I(18)3938.400((0));Fe II(3)3938.289(2)	
3938.786	46.3	0.308	0.14	3938.983 Fe II(190)3938.969(4);Cr I(3)3940.00(1)	
3939.834	8.0	0.057	0.13	3940.031 Fe I(731)3940.044((1))	
3940.685	27.2	0.200	0.13	3940.882 Fe I(20)3940.882(5);Co I(18)940.887(12)	
3941.060	51.5	0.275	0.18	3941.257 Fe I(562)3941.283((3));Mn II(I)3941.216(40)	
3941.293	26.8	0.211	0.12	3941.490 Cr I(23)3941.499(90r);Mo II(4)3941.485(200Z)	
3941.925	2.4	0.029	0.08	3942.122	
3942.225	50.4	0.297	0.16	3942.422 Fe I(364)3942.443(6)	
3942.934	22.7	0.149	0.14	3943.131	
3943.131	13.3	0.097	0.13	3943.328 Fe I(72)3943.339(2)	
3943.349	32.3	0.158	0.19	3943.546 (Cr I(K)3943.618(20))	
3943.652	18.7	0.146	0.12	3943.849 Mn II(I)3943.888(30)	
3943.844	47.0	0.210	0.21	3944.041 Al I(1)3944.009(10R)	
3944.218	13.3	0.085	0.15	3944.415 (Cr I(K)3944.250(20))	
3944.524	9.7	0.088	0.10	3944.721 Fe I(361)3944.748((2))	
3944.694	41.8	0.206	0.19	3944.891 Fe I(430)3944.890(3)	
3944.981	75.7	0.373	0.19	3945.178 Fe II(3)3945.210(p);Cr II(142)3945.11((1))	
3945.716	26.7	0.116	0.22	3945.913 Cr I(134)3945.968(10)	
3946.406	12.3	0.040	0.29	3946.603 Co I(60)3946.633(2)	
3946.802	39.3	0.258	0.14	3946.999 Fe I(561)3947.002(4n)	
3946.973	7.2	0.047	0.15	3947.170 (Co I(58)3947.125(3))	
3947.152	10.2	0.075	0.13	3947.349 Fe I(153)3947.393((1))	
3947.335	42.2	0.255	0.16	3947.532 Fe I(361,426)3947.533(5)	
3947.505	22.7	0.144	0.15	3947.702 Ti I(14)3947.769(5700)	
3947.668	4.2	0.036	0.11	3947.865	
3947.903	47.1	0.305	0.14	3948.100 Fe I(562)3948.105(6n)	
3948.066	5.1	0.040	0.12	3948.263 Fe I(561)3948.280(p)	
3948.431	1.7	0.021	0.08	3948.628 Ti I(13)3948.670(7000)	
3948.584	64.3	0.330	0.18	3948.781 Fe I(604)3948.779(10)	
3948.761	8.9	0.076	0.11	3948.958 Ca I(6)3948.901(6)	
3948.947	23.6	0.140	0.16	3949.144 Fe I(730)3949.140((1));La II(41)3949.10(9000)	

3970 Å Bölgesi

## Ek 2- HD 204411 (=HR 8216) Çizgi Tanısı

Gözlenen Dalgalıboyu	$W_{\lambda}$ (mÅ)	Derinlik	Genişlik	Hesaplanan Dalgalıboyu	Tanı ve Laboratuvar Dalgalıboyu
3937.551	9.3	0.058	0.15	3937.779	
3937.775	18.2	0.122	0.14	3938.003 (Ti I(246)3938.005(2n))	
3938.109	100.3	0.423	0.22	3938.337 Cr I(K)3938.352(25w);Mg I(18)3938.400((0));Fe II(3)3938.289(2)	
3938.758	50.5	0.300	0.16	3938.986 Fe II(190)3938.969(4)	
3939.805	11.1	0.073	0.14	3940.033 Fe I(731)3940.044((1));Cr I(K)3940.00(1)	
3940.076	4.5	0.044	0.10	3940.304 Ti II(97)3940.320(p)	
3940.656	30.1	0.212	0.13	3940.884 Fe I(20)3940.882(5);Co I(18)3940.887(12)	
3941.032	55.7	0.278	0.19	3941.260 Fe I(562)3941.283((3));Mn II(I)3941.216(40)	
3941.261	26.1	0.181	0.14	3941.489 Cr I(23)3941.499(90r);Mo II(4)3941.485(200Z)	
3942.590	3.7	0.022	0.16	3942.819	
3942.914	28.7	0.166	0.16	3943.143	
3943.127	19.5	0.130	0.14	3943.355 Fe I(72)3943.339(2)	
3943.318	33.7	0.156	0.20	3943.547 (Cr I(K)3943.618(20))	
3943.612	17.2	0.111	0.14	3943.841 Mn II(I)3943.888(30)	
3943.803	52.8	0.246	0.20	3944.031 Al I(1)3944.009(10R)	
3944.175	22.1	0.084	0.25	3944.404 (Cr I(K)3944.25(20))	
3944.498	10.8	0.082	0.12	3944.727 Fe I(361)3944.748((2))	
3944.673	43.4	0.215	0.19	3944.902 Fe I(430)3944.890(3)	
3944.958	81.9	0.412	0.19	3945.187 Fe II(3)3945.210(p);Cr II(142)3945.11((1))	
3945.236	4.7	0.044	0.10	3945.465 Cr I(135)3945.495(9)	
3945.688	26.3	0.109	0.23	3945.917 Cr I(134)3945.968(10)	
3946.385	7.9	0.040	0.19	3946.614 Co I(60)3946.633(2)	
3946.779	45.1	0.254	0.17	3947.008 Fe I(561)3947.002(4n)	
3947.101	15.2	0.064	0.22	3947.330 Fe I(153)3947.393((1))	
3947.307	43.2	0.236	0.17	3947.536 Fe I(361,426)3947.533(5)	
3947.490	30.6	0.146	0.20	3947.719 Ti I(14)3947.769(5700)	
3947.878	60.9	0.315	0.18	3948.107 Fe I(562)3948.105(6n)	
3948.143	7.8	0.040	0.18	3948.372 Fe I(561)3948.280(p)	
3948.424	16.1	0.087	0.17	3948.653 Ti I(13)3948.670(7000)	
3948.554	47.3	0.326	0.14	3948.783 Fe I(604)3948.779(10)	
3948.687	23.2	0.144	0.15	3948.916 Ca I(6)3948.901(6)	
3948.922	25.0	0.155	0.15	3949.151 Fe I(730)3949.140((1));La II(41)3949.10(9000)	
3949.364	8.4	0.037	0.21	3949.593 Cr I(136)3949.640(8)	
3949.520	5.2	0.042	0.11	3949.749	
3949.730	50.6	0.300	0.16	3949.959 Fe I(72)3949.954(10)	
3950.130	21.5	0.129	0.16	3950.359 Y II(6)3950.349(1100s)	
3950.334	3.9	0.017	0.21	3950.563	
3950.801	12.4	0.050	0.23	3951.030 Cr I(136)3951.097(10)	
3950.933	56.9	0.362	0.15	3951.162 Fe I(661)3951.164(9)	
3951.512	10.6	0.058	0.17	3951.741 Co I(171)3951.717((ln));Cr I(136)3951.765(8)	
3951.739	22.9	0.106	0.20	3951.968 V II(10)3951.966(200)	
3952.155	17.7	0.119	0.14	3952.384 Cr I(136)3952.398(40w)	
3952.415	75.9	0.360	0.20	3952.644 Fe I(278)3952.606(8);Fe I(362)3952.704((1))	
3952.689	25.3	0.107	0.22	3952.918 Co I(28)3952.917(25)	
3952.942	44.8	0.261	0.16	3953.171 Cr I(136)3953.17(25w)	
3953.286	19.1	0.065	0.28	3953.515 Fe I(770)3953.512(2)	
3953.597	19.0	0.088	0.20	3953.826 Fe I(362)3953.863((1));Cr I(K)3953.83(2)	
3954.483	7.2	0.054	0.13	3954.712 Fe I(606)3954.715((1))	
3954.756	3.9	0.022	0.16	3954.985 Cr I(K)3954.94(21)	
3955.116	68.7	0.251	0.26	3955.345 Fe I(562)3955.352((3))	
3956.077	13.2	0.072	0.17	3956.306 Ti I(13)3956.334(8000);Co I(2)3956.270((2))	
3956.229	49.1	0.298	0.15	3956.458 Fe I(604)3956.459(9)	
3956.455	56.6	0.357	0.15	3956.684 Fe I(278)3956.681(12)	
3956.805	56.5	0.310	0.17	3957.034 Fe I(562)3957.027(4n);Ca II(6)3957.053(10)	
3957.401	6.8	0.034	0.19	3957.630 Fe I(564)3957.620((1))	
3957.960	30.1	0.138	0.21	3958.189 Ti I(13)3958.201(8600);Zr II(16)3958.24(50)	
3958.182	5.0	0.041	0.11	3958.411 Cr I(K)3958.41(10)	
3958.513	11.6	0.074	0.15	3958.742	
3958.757	3.2	0.024	0.12	3958.986	
3958.978	6.1	0.051	0.11	3959.207	
3959.599	5.4	0.039	0.13	3959.829	
3959.878	3.2	0.014	0.22	3960.107 Mo I(K)3960.17(3)	
3960.072	19.3	0.103	0.18	3960.302 Fe I(913)3960.284((1))	
3960.494	2.5	0.038	0.06	3960.723 Cr I(68)3960.768(25)	
3960.668	23.6	0.128	0.17	3960.897 Fe II(212)3960.895(3)	
3960.925	18.8	0.094	0.19	3961.155 Fe I(361)3961.147((2))	
3961.287	30.5	0.172	0.17	3961.517 Al I(1)3961.523(10R);Mo II(15)3961.520(200Z)	
3961.625	3.2	0.040	0.07	3961.854	
3961.867	10.2	0.077	0.12	3962.096 (Ni I(199)3962.120(3n))	
3962.154	9.5	0.076	0.12	3962.384 Fe I(566)3962.353((2))	
3962.453	7.3	0.045	0.15	3962.682 Fe I(913)3962.635(ON)	
3962.873	21.8	0.134	0.15	3963.103 Fe I(562)3963.108(6n)	
3963.455	42.6	0.276	0.15	3963.685 Cr I(38)3963.694(200R)	
3964.304	24.4	0.116	0.20	3964.534 Fe I(361)3964.522(3)	
3965.310	8.8	0.080	0.10	3965.540 Fe I(565)3965.511((1))	
3965.694	12.0	0.052	0.22	3965.924 (Fe I(122)3965.830(p))	
3965.875	14.6	0.110	0.12	3966.105 Fe I(45)3966.066(10)	
3966.249	7.3	0.082	0.08	3966.479 Fe II(3)3966.430(p)	
3966.406	14.3	0.109	0.12	3966.636 Fe I(282,652,766)3966.532(1n)	
3966.794	3.1	0.044	0.07	3967.024 Cr I(K)3967.03(3)	
3967.962	259.3	0.128	1.91	3968.192 V II(9)3968.096(150);Fe I(561)3967.964(4n)	
3968.237	81.8	0.487	0.16	3968.467 Ca II(1)3968.470(350R)	
3968.471	7.1	0.066	0.10	3968.701	

## Ek 2- HD 204411 (=HR 8216) Çizgi Tanısı

Gözlenen Dalgaboyu	$W_{\lambda}$	Derinlik	Genişlik	Hesaplanan Dalgaboyu	Tanı ve Laboratuvar Dalgaboyu
3969.070	27.9	0.208	0.13	3969.300 Fe I(43)3969.261(30)	
3969.851				3970.081 He 3970.074	
3973.122	4.6	0.049	0.09	3973.352	
3973.420	26.8	0.155	0.16	3973.650 Fe I(769)3973.655(3);Ca I(6)3973.707(12);V II(9)3973.642(300)	
3973.941	21.2	0.187	0.11	3974.171 Fe II(29)3974.160(3)	
3975.663	2.7	0.036	0.07	3975.893 Fe I(977)3975.850((1))	
3975.927	15.8	0.092	0.16	3976.157	
3976.424	54.6	0.312	0.16	3976.655 Cr I(38)3976.674(200R)	
3976.543	30.8	0.087	0.33	3976.773 Fe I(729)3976.615(4)	
3977.505	37.8	0.234	0.15	3977.735 V II(10)3977.732(100);Fe II(72)3977.743(12)	
3978.245	15.4	0.038	0.38	3978.476 Fe I(361)3978.466((1))	
3978.453	18.4	0.087	0.20	3978.683 Cr II(67)3978.677(18)	
3978.935	4.6	0.027	0.16	3979.166 Fe I(426)3979.120(p)	
3979.304	67.7	0.301	0.21	3979.534 Co I(3)3979.518(10);Cr II(183)3979.51(20);Fe I(561)3979.65((1))	
3979.653	10.3	0.046	0.21	3979.884 (Cr I(67)3979.798(10))	
3980.982	18.8	0.071	0.25	3981.213 Cr I(57)3981.233(15)	
3981.381	32.5	0.172	0.18	3981.612 Fe II(3)3981.610(p);(Fe I(428)3981.620(p))	
3981.548	32.9	0.228	0.14	3981.779 Fe I(278)3981.775(7);Ti I(12)3981.761(8800)	
3981.754	39.9	0.275	0.14	3981.985 Ti II(11)3981.986(1);Cr I(K)3981.93(20)	
3982.047	13.1	0.099	0.13	3982.278	
3982.352	19.5	0.117	0.16	3982.583 Mn I(33)3982.576(100);Y II(6)3982.597(1056); (Ti II(11)3982.480(3400))	
3982.745	10.5	0.050	0.20	3982.976 Mn I(C)3982.900(40)	
3983.357	12.9	0.047	0.26	3983.588 Fe I(-)3983.518(1n)	
3983.707	86.5	0.462	0.18	3983.938 Fe I(277)3983.960(10);Cr I(38)3983.901(125r); Hg II(RC)3983.86(200)	
3984.095	33.5	0.159	0.20	3984.326 Cr I(38)3984.338(25)	
3984.440	17.7	0.097	0.17	3984.671	
3985.070	9.1	0.054	0.16	3985.301 (Fe I(219)3985.320(p))	
3985.166	24.6	0.185	0.12	3985.397 Fe I(661)3985.393(3)	
3985.747	14.2	0.110	0.12	3985.978 Cr II(10)3985.960(p)	
3985.954	32.5	0.207	0.15	3986.185 Fe I(560)3986.180(p);Fe I(655)3986.176(5)	
3986.372	16.0	0.063	0.24	3986.603	
3986.550	57.8	0.313	0.17	3986.781 Mg I(17)3986.753((1))	
3986.925	20.5	0.097	0.20	3987.156 Co I(16)3987.117(6);Mn I(33)3987.098(100)	
3987.164	6.4	0.057	0.10	3987.395	
3987.379	38.9	0.216	0.17	3987.610 Ti II(11)3987.614(5)	
3987.753	5.5	0.036	0.15	3987.984	
3988.819	55.5	0.222	0.23	3989.050 sc II(8)3989.06(2);Fe I(-)3989.006(1N)	
3989.665	80.0	0.249	0.30	3989.896 Fe I(768)3989.859(2d);Mn I(33)3989.958((1)); Ti I(12)3989.758(80r)	
3990.135	31.1	0.164	0.18	3990.366 Fe I(527)3990.379(2)	
3990.896	54.6	0.337	0.15	3991.127 Cr I(38)3991.118(25);Zr II(30)3991.14(40)	
3991.223	19.5	0.106	0.17	3991.454 (V II(10)3991.465(5))	
3991.460	28.5	0.168	0.16	3991.691 Co I(17)3991.684(6);Cr I(38)3991.677(50)	
3992.062	35.9	0.140	0.24	3992.293	
3992.339	3.2	0.030	0.10	3992.570 Fe I(219)3992.634(1);Mo II(K)3992.54(1)	
3992.615	31.6	0.190	0.16	3992.846 Cr I(67)3992.856(100)	
3992.882	16.5	0.102	0.15	3993.114	
3993.588	17.4	0.043	0.38	3993.819 (Mn I(C)3993.858(6))	
3993.880	49.0	0.178	0.26	3994.111 Fe I(526)3994.117(2)	
3994.090	4.1	0.052	0.07	3994.322 (Fe I(320)3994.27(p))	
3995.056	60.4	0.261	0.22	3995.287 Co I(31)3995.306(60);Fe I(604)3995.199((1w))	
3995.278	2.6	0.028	0.09	3995.510 sc II(16)3995.490(p)	
3995.517	6.4	0.042	0.14	3995.749	
3995.768	33.8	0.213	0.15	3996.000 Fe I(279)3995.996(4)	
3996.551	6.7	0.070	0.09	3996.782 Fe I(1074)3996.779(1)	
3996.744	43.2	0.202	0.20	3996.975 Fe I(945)3996.968(2)	
3996.924	7.1	0.066	0.10	3997.156 V II(9)3997.126(200)	
3997.190	81.6	0.410	0.19	3997.422 Y II(24)3997.430(1)Fe I(563)3997.480(p)	

### 4025 Å Bölgesi

3995.083	57.9	0.259	0.21	3995.287 Fe I(604)3995.199((1w));Co I(31)3995.306(60)
3995.791	29.4	0.201	0.14	3995.995 Fe I(279)3995.996(4)
3996.104	19.0	0.113	0.16	3996.308 Fe I(427)3996.261(1n);Cr I(K)3996.277(8)
3996.657	37.6	0.097	0.36	3996.861 (Fe I(1074)3996.779(1))
3996.789	21.5	0.157	0.13	3996.993 Fe I(945)3996.968(2)
3996.942	6.9	0.059	0.11	3997.146 V II(9)3997.126(200)
3997.218	79.6	0.417	0.18	3997.422 Y II(24)3997.430(1);Fe I(563)3997.480(p)
3997.697	10.1	0.071	0.13	3997.901 Co I(32)3997.901(40)
3997.851	50.0	0.324	0.15	3998.055 Fe I(276)3998.054(10)
3998.254	7.7	0.053	0.14	3998.458 Fe I(606)3998.460(p)
3998.424	28.5	0.154	0.17	3998.628 Ti I(12)3998.636(10000)
3998.758	30.2	0.157	0.18	3998.962 Zr II(16)3998.98(30)
3999.473	5.0	0.048	0.10	3999.677 Cr I(K)3999.679(40)
3999.762	2.2	0.021	0.10	3999.966 Fe I(360)4000.02(1))
4000.054	18.0	0.128	0.13	4000.258 Fe I(556)4000.266((1))
4000.262	24.5	0.157	0.15	4000.466 Fe I(426)4000.466(2)
4000.612	3.3	0.018	0.17	4000.816
4000.963	11.5	0.069	0.16	4001.167
4001.248	32.2	0.229	0.13	4001.452 Cr I(268)4001.443(75)
4001.471	34.5	0.204	0.16	4001.675 Fe I(72)4001.666(5)
4001.877	47.1	0.296	0.15	4002.081 Fe II(29)4002.073(2)

## Ek 2- HD 204411 (=HR 8216) Çizgi Tanısı

Gözlenen Dalgalıboyu	$W_{\lambda}$	Derinlik Genişlik	Hesaplanan Dalgalıboyu	Tanı ve Laboratuvar Dalgalıboyu
4002.323	77.1	0.398	0.18	4002.527 Fe II(190)4002.549(3)
4002.722	28.5	0.169	0.16	4002.926 V II(9)4002.938(60)
4003.090	47.2	0.317	0.14	4003.294 Cr II(194)4003.32(25);Fe I(-)4003.287(1n)
4003.548	21.2	0.153	0.13	4003.752 Fe I(728)4003.764(2)
4003.622	19.7	0.074	0.25	4003.826
4003.960	12.8	0.081	0.15	4004.164 Fe II(127)4004.150(p)
4004.207	3.5	0.025	0.13	4004.411
4004.406	4.7	0.032	0.14	4004.610
4004.711	124.0	0.425	0.27	4004.915 (Fe I(486,557)4004.976(1))
4005.047	90.8	0.484	0.18	4005.251 Fe I(43)4005.246(25)
4005.260	21.2	0.127	0.16	4005.464 Fe I(219)4005.490(p)
4005.497	26.4	0.139	0.18	4005.701 V II(32)4005.712(800)
4005.976	13.2	0.051	0.24	4006.180 Fe I(564)4006.160(p);Ni I(-)4006.136(3)
4006.116	28.8	0.201	0.13	4006.320 Fe I(603)4006.314(3)
4006.457	43.3	0.247	0.16	4006.661 Fe I(488)4006.631(2)
4006.576	20.2	0.174	0.11	4006.780 Fe I(320)4006.768(iw)
4006.832	4.2	0.040	0.10	4007.036 Cr II(194)4007.55(2)
4007.077	30.0	0.221	0.13	4007.281 Fe I(277)4007.277(6)
4008.677	28.8	0.192	0.14	4008.882 Ti I(12)4008.927(3300)
4008.947	21.3	0.132	0.15	4009.152 (Fe I(-)4009.240(1n))
4009.330	5.2	0.051	0.09	4009.535 Fe I(556)4009.540(p)
4009.516	49.9	0.304	0.15	4009.721 Fe I(72)4009.714(10)
4010.012	17.1	0.046	0.35	4010.217 Fe I(915)4010.180((1))
4010.379	44.8	0.213	0.20	4010.583 Fe I(-)4010.522(1)
4010.592	13.6	0.110	0.12	4010.797 Fe I(219,320)4010.770((1))
4010.738	21.9	0.151	0.14	4010.943 Cr I(K)4010.983(10)
4011.213	18.8	0.096	0.18	4011.417 Fe I(218)4011.416((1))
4011.519	9.1	0.060	0.14	4011.724 Fe I(153)4011.710((1))
4011.756	10.4	0.044	0.22	4011.961 (Fe I(424)4011.890(p))
4011.898	6.0	0.036	0.15	4012.103 Fe I(601)4012.16((1))
4012.249	152.1	0.611	0.23	4012.454 Fe II(126)4012.467(1)Cr I(268)4012.480(50);Nd II(10)4012.25(3200)
4012.548	7.2	0.056	0.12	4012.753
4012.909	6.5	0.038	0.16	4013.114
4013.396	14.6	0.107	0.13	4013.601 Ti I(187)4013.583(160)
4013.452	9.0	0.082	0.10	4013.667 Fe I(557)4013.641((2))
4013.620	47.8	0.276	0.16	4013.825 Fe I(486)4013.822((1))
4013.769	1.6	0.023	0.07	4013.974 Co I(58)4013.942(7)
4014.078	12.7	0.087	0.14	4014.283 Fe I(426,427)4014.280((1))
4014.334	58.7	0.356	0.15	4014.539 Fe I(802)4014.534(10);sc II(8)4014.489(5)
4014.502	7.2	0.063	0.11	4014.707 Cr I(268)4014.673(40)
4014.732	4.5	0.028	0.15	4014.937
4014.983	9.9	0.034	0.27	4015.188 Fe II(142)4015.200(p)
4015.258	21.7	0.164	0.12	4015.463 Ni II(12)4015.50(1)
4015.413	69.0	0.313	0.21	4015.618
4015.744	5.8	0.022	0.25	4015.949
4016.211	33.5	0.206	0.15	4016.416 Fe I(560)4016.432((2));Fe II(G)4016.32(p)
4016.605	8.2	0.045	0.17	4016.810 Fe I(428)4016.810(p)
4016.936	56.8	0.331	0.16	4017.141 Fe I(527)4017.156(6);Fe I(279)4017.096((1))
4017.266	39.7	0.231	0.16	4017.471 Ni I(171)4017.560(6n)
4017.399	11.7	0.063	0.17	4017.604
4017.850	72.2	0.283	0.24	4018.055 Mn I(5)4018.102(20)
4018.076	31.0	0.204	0.14	4018.281 Fe I(560)4018.282((4))
4018.288	3.9	0.030	0.12	4018.493 Fe II(13)4018.490(p)
4018.659	4.0	0.032	0.12	4018.864
4018.835	8.7	0.048	0.17	4019.040 Fe I(219)4019.05((1));V II(201)4019.047(40)
4019.521	2.7	0.029	0.09	4019.726
4019.895	19.1	0.108	0.17	4020.100 (Fe I(556)4020.05(p));Mn I(C)4020.072(10)
4020.074	25.8	0.170	0.14	4020.279
4020.286	11.7	0.079	0.14	4020.491 Fe I(913)4020.490((1))
4020.698	16.2	0.094	0.16	4020.903 Co I(16)4020.898(20)
4020.918	3.2	0.022	0.14	4021.123
4021.444	13.0	0.081	0.15	4021.649 Fe I(120,557)4021.622((1))
4021.670	53.8	0.342	0.15	4021.875 Ti I(185)4021.815(230);Fe I(278)4021.869(12)
4022.076	27.2	0.150	0.17	4022.281 Cr I(268)4022.27(50)
4022.217	19.7	0.153	0.12	4022.422 Fe I(173)4022.450((1))
4022.561	12.6	0.081	0.15	4022.766 Fe I(556,654)4022.744((1))
4023.172	19.4	0.110	0.17	4023.377 V II(32)4023.389(600)
4023.550	11.3	0.066	0.16	4023.755 Cr I(268)4023.74(40)
4023.902	18.4	0.096	0.18	4024.107 Fe I(277)4024.109((1))
4024.352	61.2	0.368	0.16	4024.557 Fe II(127)4024.552(5);Cr I(K)4024.564(20);TiI(12)4024.573(35);ZrII(54)4024.45(12)
4024.534	51.2	0.328	0.15	4024.739 Fe I(560)4024.735(6n)
4024.922	72.2	0.369	0.18	4025.127 Ti II(11)4025.120(13);Ni II(240)4025.114((3));Cr I(37)4025.013(50)
4025.254	30.2	0.112	0.25	4025.459 Ni I(117)4025.44((1N));Cr I(K)4025.447(25)
4025.460	6.4	0.069	0.09	4025.665 Cr I(K)4025.605(10)
4025.616	29.7	0.149	0.19	4025.821
4025.975	20.6	0.135	0.14	4026.180 Cr I(37)4026.174(60)
4026.279	7.4	0.043	0.16	4026.484 Mn I(C)4026.437(80)
4026.401	5.3	0.052	0.10	4026.606 (Ti I(185)4026.537(260))
4026.907	14.0	0.105	0.13	4027.113 Cr I(37)4027.102(55);Co I(3)4027.032(10)
4027.198	6.8	0.041	0.15	4027.404 (Ti I(-)4027.426(4))
4027.771	4.7	0.035	0.13	4027.977 Cr I(K)4027.84(3)

## Ek 2- HD 204411 (=HR 8216) Çizgi Tanısı

Gözlenen Dalgalıbu	$W_\lambda$ (mÅ)	Derinlik	Genişlik	Hesaplanan Dalgalıbu	Tam ve Laboratuvar Dalgalıbu
4028.142	68.5	0.417	0.15	4028.348	Ti II(87)4028.335(12)
4028.541	21.0	0.106	0.19	4028.747	
4029.441	39.8	0.281	0.13	4029.646	Fe I(556,563)4029.640(3n);Zr II(41)4029.68(20);Ti II(87)4029.681(4)
4029.606	3.0	0.027	0.10	4029.812	
4029.997	19.2	0.123	0.15	4030.203	Fe I(72)4030.194((3))
4030.171	53.3	0.336	0.15	4030.376	
4030.304	48.2	0.333	0.14	4030.510	Ti I((185)4030.511(310);Fe I(560)4030.499((6))
4030.561	120.1	0.614	0.18	4030.767	Mn I(2)4030.755(10000RW);Cr I(K)4030.69(40)
4030.713	13.0	0.114	0.11	4030.918	Fe I(943)4030.900(p)
4031.000	14.6	0.056	0.25	4031.206	(Cr I(268)4031.125(25));Fe I(486)4031.243((2))
4031.255	26.7	0.191	0.13	4031.460	Fe I((151)4031.456(1))
4031.560	9.6	0.069	0.13	4031.766	Ti I((185)4031.755(3n);Fe I(427)4031.727(2))
4031.763	30.9	0.225	0.13	4031.969	Fe I(655)4031.968(4)
4032.264	34.8	0.230	0.14	4032.470	Fe I(320)4032.460(1)
4032.448	43.1	0.285	0.14	4032.654	Fe I(44)4032.636(4);Cr I(K)4032.63(5)
4032.830	149.4	0.603	0.23	4033.036	Mn I(2)4033.068(15000RW)
4033.097	6.2	0.047	0.12	4033.303	Cr I(36)4033.267(25)
4033.430	12.9	0.051	0.24	4033.636	Fe I(-)4033.648(1)
4033.882	11.0	0.033	0.31	4034.088	Zr II(42)4034.10(5)
4034.047	10.3	0.083	0.12	4034.253	
4034.286	62.9	0.418	0.14	4034.492	Mn I(2)4034.485(10000RW)
4034.565	14.8	0.038	0.37	4034.771	(Zr II(70)4034.840(0))
4034.812	2.7	0.018	0.14	4035.018	(Ti I(208)4034.884(51))
4035.062	15.4	0.055	0.26	4035.268	Fe I(831)4035.250(p);Cr I(K)4035.21(10)
4035.401	72.4	0.340	0.20	4035.607	V II(32)4035.631(400)
4035.552	27.5	0.179	0.14	4035.758	Mn I(5)4035.729(1000)
4035.732	3.6	0.029	0.11	4035.938	(Ni I(150)4035.960(p))
4036.119	4.7	0.027	0.16	4036.325	Fe I(279)4036.370(1);Mo II(K)4036.32(1)
4036.297	4.7	0.023	0.19	4036.502	(Mn I(C)4036.562(51))
4036.576	7.3	0.038	0.18	4036.782	V II(9)4036.779(60)
4036.909	13.1	0.109	0.11	4037.115	Fe I(-)4037.136(1n)
4037.083	6.3	0.046	0.13	4037.289	Cr I(36)4037.293(50)
4037.366	5.7	0.026	0.20	4037.572	Mn I(C)4037.561(5)
4037.787	47.2	0.304	0.15	4037.993	Cr I(194)4038.02(25)
4038.263	6.9	0.035	0.19	4038.469	V II(155)4038.550(5)
4038.900	29.8	0.210	0.13	4039.106	Cr II(251)4039.098(60)
4039.093	6.6	0.043	0.14	4039.299	Cr I(251)4039.294(20)
4039.391	4.4	0.022	0.19	4039.597	V II(32)4039.578(40)
4039.775	7.5	0.059	0.12	4039.981	
4039.895	27.4	0.202	0.13	4040.101	Fe I(276)4039.940((1))
4040.063	7.6	0.044	0.16	4040.269	Zr II(54)4040.24(4)
4040.444	34.3	0.223	0.14	4040.650	Fe I(655)4040.650(4)
4041.142	80.0	0.435	0.17	4041.348	Mn I(5)4041.357(2000h);Fe I(603,654)4041.288((1))
4041.455	31.3	0.198	0.15	4041.661	(Fe II(172)4041.64(p))
4042.073	9.3	0.041	0.22	4042.279	Cr I(36)4042.246(40)
4042.558	6.8	0.030	0.21	4042.764	Fe I(556)4042.750(p)
4043.527	14.8	0.072	0.19	4043.733	Cr I(306)4043.696(7);Ti I(208)4043.774(21)
4043.759	79.1	0.376	0.20	4043.965	Fe I(276,557)4043.901(5n);(Fe I(559)4043.980(p))
4044.379	62.0	0.295	0.20	4044.585	Fe I(359)4044.614(6)
4044.927	35.1	0.205	0.16	4045.133	Fe I(425)4045.139((1));Mn I(48)4045.115(50)
4045.204	9.3	0.065	0.14	4045.410	Co I(31)4045.386(20)
4045.398	51.8	0.328	0.15	4045.604	Zr II(30)4045.630(15);Fe I(559)4045.590(p)
4045.613	121.7	0.615	0.19	4045.819	Fe I(43)4045.815(60r)
4045.858	47.6	0.253	0.18	4046.064	(Fe I(557)4046.07(p))
4046.632	20.4	0.096	0.20	4046.839	Fe II(126)4046.810(p);Mo II(K)4046.84(2)
4046.834	4.5	0.028	0.15	4047.041	
4047.108	5.0	0.029	0.16	4047.314	Fe I(117,853)4047.315((1))
4047.837	11.6	0.079	0.14	4048.043	Cr II(182)4048.02(p)
4048.203	4.9	0.021	0.22	4048.409	
4048.594	88.8	0.429	0.19	4048.801	Fe II(172)4048.831(3);Cr I(251)4048.784(60)
4048.908	48.7	0.304	0.15	4049.115	Cr II(193)4049.14(18)
4049.129	16.8	0.090	0.18	4049.335	Fe I(218)4049.336(1)
4049.608	9.2	0.046	0.19	4049.814	Cr I(251)4049.779(40)
4050.480	25.8	0.164	0.15	4050.687	
4051.051	25.6	0.117	0.21	4051.258	(Fe II(172)4051.210(p));V II(215)4051.340(100)
4051.736	79.7	0.439	0.17	4051.943	Fe I(700)4051.923((2));Cr II(19)4051.96(12)
4052.103	15.7	0.115	0.13	4052.310	Fe I(700,852)4052.312((1))
4052.290	46.4	0.258	0.17	4052.497	Mn I(48)4052.476(50);Fe I(563)4052.466((1))
4052.500	21.5	0.140	0.14	4052.707	(Fe I(557)4052.720(p));Fe I(524)4052.664((1))
4053.063	26.2	0.160	0.15	4053.270	
4053.244	38.7	0.229	0.16	4053.451	Cr II(19)4053.43(1)
4053.621	68.1	0.395	0.16	4053.828	Fe I(485)4053.820((1));Ti II(h)4053.829(11)
4053.897	75.9	0.405	0.18	4054.104	Cr II(19)4054.10(8)
4054.242	20.7	0.082	0.24	4054.449	Fe I(-)4054.454(1)
4054.642	62.3	0.329	0.18	4054.849	Fe I(698)4054.833((1));Fe I(698)4054.883(3)
4054.846	22.4	0.162	0.13	4055.053	Fe I(218)4055.046(3);Ti I(80)4055.011(550)
4055.345	38.1	0.235	0.15	4055.552	Mn I(5)4055.548(1000h)
4055.905	53.1	0.261	0.19	4056.112	Cr II(182)4056.07(4)
4056.169	33.8	0.113	0.28	4056.376	V II(14)4056.256(15);Ti II(11)4056.187(4)
4056.585	13.9	0.065	0.20	4056.792	Cr I(306)4056.785(35)

4080 Å Bölgesi

## Ek 2- HD 204411 (=HR 8216) Çizgi Tanısı

Gözlenen Dalgalıboyu	$\lambda$ (nm)	Derinlik	Genişlik	Hesaplanan Dalgalıboyu	Tam ve Laboratuvar Dalgalıboyu
4050.127	3.8	0.022	0.16	4050.330	Zr II(43) 4050.32(15)
4050.287	2.1	0.028	0.07	4050.490	
4050.468	27.3	0.167	0.15	4050.671	
4051.045	30.7	0.132	0.22	4051.248	(Fe II(172) 4051.210(p)); V II(215) 4051.340(100)
4051.538	7.1	0.051	0.13	4051.741	
4051.733	78.9	0.480	0.15	4051.936	Fe I(700) 4051.923((2)); Cr II(19) 4051.96(12)
4052.107	9.7	0.109	0.08	4052.310	Fe I(700, 852) 4052.312((1))
4052.277	50.0	0.271	0.17	4052.480	Mn I(48) 4052.476(50); Fe I(563) 4052.466((1))
4052.484	19.2	0.124	0.15	4052.687	Fe I(524) 4052.664((1)); Fe I(557) 4052.720(p)
4053.054	23.3	0.170	0.13	4053.257	
4053.226	37.3	0.237	0.15	4053.429	Cr II(19) 4053.43(1)
4053.617	65.0	0.401	0.15	4053.820	Fe I(485) 4053.82((1)); Ti II(h) 4053.829(11)
4053.892	75.0	0.400	0.18	4054.095	Cr II(19) 4054.10(8)
4054.241	12.0	0.070	0.16	4054.444	Fe I(--) 4054.454(1)
4054.625	65.7	0.340	0.18	4054.828	Fe I(698) 4054.833((1)); Fe I(698) 4054.883(3)
4054.839	28.9	0.185	0.15	4055.042	Fe I(218) 4055.046(3); Ti I(80) 4055.011(550)
4055.343	42.6	0.248	0.16	4055.546	Mn I(5) 4055.548(1000h)
4055.866	38.9	0.238	0.15	4056.069	Cr II(182) 4056.07(4)
4056.004	23.1	0.139	0.16	4056.207	V II(14) 4056.256(15); Ti II(11) 4056.187(4)
4056.208	28.2	0.111	0.24	4056.411	(Fe I(320) 4056.530((1)))
4056.590	17.1	0.050	0.32	4056.793	Cr I(306) 4056.785(35)
4057.285	98.1	0.445	0.21	4057.488	Fe II(212) 4057.457(2); Fe II(33) 4057.51(4); Mg I(16) 4057.505(5n)
4057.482	4.6	0.048	0.09	4057.685	Fe I(729) 4057.654(1); Mo II(K) 4057.70(3)
4057.625	9.6	0.065	0.14	4057.828	Cr I(251) 4057.83(18)
4057.729	5.4	0.073	0.07	4057.932	Mn I(29) 4057.954(100h1)
4058.020	35.9	0.257	0.13	4058.223	Fe I(558) 4058.227(4n)
4058.314	22.5	0.069	0.31	4058.517	Fe I(914) 4058.460(p)
4058.557	31.0	0.234	0.12	4058.760	Fe I(120) 4058.766(3); Cr I(251) 4058.778(70)
4058.714	33.8	0.179	0.18	4058.917	Ca I(40) 4058.912(1n)
4059.150	9.5	0.042	0.21	4059.353	Co I(2) 4059.321((1))
4059.517	27.5	0.195	0.13	4059.720	Fe I(767) 4059.726(3)
4060.054	4.4	0.024	0.17	4060.257	Ti II(80) 4060.263(20)
4060.294	4.0	0.034	0.11	4060.497	
4060.489	25.8	0.105	0.23	4060.692	Cr I(156) 4060.646(45)
4060.901	25.1	0.171	0.14	4061.104	Nd II(10) 4061.09(4700)
4061.283	9.5	0.055	0.16	4061.486	
4061.569	35.3	0.204	0.16	4061.772	Cr II(19) 4061.770(p); Cr I(K) 4061.74(3w)
4061.760	34.1	0.193	0.17	4061.963	(Fe II(189) 4061.787(1))
4062.243	47.0	0.300	0.15	4062.446	Fe I(359) 4062.446(10)
4062.567	18.8	0.080	0.22	4062.770	Pr II(26) 4062.81(3400)
4063.087	42.2	0.263	0.15	4063.290	Fe I(698) 4063.286((3))
4063.395	123.6	0.594	0.20	4063.598	Fe I(43) 4063.597(45)
4063.597	2.7	0.026	0.10	4063.800	
4063.845	28.7	0.191	0.14	4064.048	Fe I(423) 4064.07(p)
4064.177	28.2	0.168	0.16	4064.380	Ni I(179) 4064.374(2); Ti II(106) 4064.350((1))
4064.372	5.0	0.029	0.16	4064.576	
4064.551	3.4	0.020	0.16	4064.755	Fe II(39) 4064.750(p)
4064.869	10.4	0.071	0.14	4065.073	V II(215) 4065.072(100); Mn I(C) 4065.083(100); Ti II(80) 4065.094(30)
4065.182	24.5	0.161	0.14	4065.385	Fe I(698) 4065.402((2))
4065.503	13.3	0.116	0.11	4065.707	Cr I(279) 4065.716(12)
4065.622	3.5	0.034	0.10	4065.826	
4065.945	23.4	0.149	0.15	4066.149	Cr II(182) 4066.16(p)
4066.394	27.1	0.184	0.14	4066.598	Fe I(424) 4066.597((1)); Cr I(K) 4066.610(8)
4066.544	5.8	0.051	0.11	4066.748	
4066.800	96.8	0.489	0.19	4067.004	Fe I(358) 4066.979(6); Ni II(11) 4067.051(3); V II(9) 4067.012(10)
4067.079	37.6	0.238	0.15	4067.283	Fe I(217) 4067.275(4)
4067.363	5.8	0.031	0.17	4067.567	Fe I(655) 4067.60(p)
4067.647	30.4	0.116	0.25	4067.851	Fe I(1103) 4067.850(p); Cr I(K) 4067.829(30)
4067.786	41.0	0.284	0.14	4067.990	Fe I(559) 4067.984(8n)
4067.889	19.4	0.068	0.27	4068.093	Ti I(207) 4068.132(34)
4068.209	2.5	0.029	0.08	4068.413	Fe I(--) 4068.483(0)
4068.366	4.9	0.033	0.14	4068.570	Co I(58) 4068.541(8)
4068.854	13.1	0.070	0.18	4069.058	Fe I(557) 4069.08((1))
4069.399	17.0	0.109	0.15	4069.603	Fe I(--) 4069.610(1)
4069.682	22.2	0.142	0.15	4069.886	Fe II(188) 4069.883((1))
4069.828	21.7	0.155	0.13	4070.032	Fe II(22) 4070.03(p)
4070.066	11.3	0.069	0.15	4070.270	Mn I(5) 4070.280(200)
4070.613	89.6	0.441	0.19	4070.817	Cr II(K) 4070.88(10)
4070.867	13.2	0.063	0.20	4071.071	Zr II(54) 4071.09(4)
4071.318	22.9	0.160	0.13	4071.522	Fe I(218) 4071.520((1))
4071.537	96.5	0.540	0.17	4071.741	Fe I(43) 4971.740(40)
4071.722	12.4	0.051	0.23	4071.926	Mn I(C) 4071.949(1)
4072.103	4.7	0.043	0.10	4072.307	Fe I(--) 4072.332(0)
4072.342	69.2	0.408	0.16	4072.546	Cr II(26) 4072.56(4); Fe I(698) 4072.518((2))
4072.545	6.7	0.041	0.15	4072.749	si II(3.01) 4072.711(3h)
4073.564	42.3	0.269	0.15	4073.768	Fe I(558) 4073.760(4n)
4073.920	14.7	0.059	0.23	4074.124	
4074.186	5.6	0.028	0.19	4074.390	Ti I(254) 4074.349(22)
4074.581	68.8	0.328	0.20	4074.785	Fe I(524) 4074.794(5)
4074.891	16.3	0.096	0.16	4075.095	
4075.242	18.4	0.125	0.14	4075.446	si II(3.01) 4075.451(20h)
4075.432	32.9	0.205	0.15	4075.636	Cr II(19) 4075.630(p)
4075.761	60.2	0.272	0.21	4075.965	Fe II(21) 4075.950(p); Cr I(K) 4075.921(15)

## Ek 2- HD 204411 (=HR 8216) Çizgi Tanısı

Gözlenen Dalgalıboyu	$W_\lambda$ (mÅ)	Derinlik Genişlik	Hesaplanan Dalgalıboyu	Tanı ve Laboratuvar Dalgalıboyu
4076.037	22.8	0.111	0.19	4076.241 Fe I(486)4076.232((1))
4076.258	12.6	0.097	0.12	4076.462 Fe I(218)4076.498(1)
4076.426	70.9	0.360	0.19	4076.630 Fe I(558)4076.636(8n)
4076.641	71.2	0.425	0.16	4076.845 Fe I(557)4076.810((1w), Cr II(19)4076.87(3);sII(3.01)4076.781(15h))
4076.893	25.5	0.069	0.35	4077.097 Cr I(66)4077.089(60)
4077.166	29.1	0.045	0.61	4077.370
4077.320	44.8	0.320	0.13	4077.524 Cr II(19)4077.50(4)
4077.513	96.7	0.565	0.16	4077.717 sr II(1)4077.714(400r)
4077.672	3.8	0.039	0.09	4077.876
4077.806	5.2	0.033	0.15	4078.010
4078.166	46.6	0.246	0.18	4078.370 Fe I(217)4078.365(4)
4078.425	4.2	0.024	0.16	4078.629
4078.650	7.1	0.029	0.23	4078.854 Fe I(K)4078.822(1)
4078.999	38.8	0.238	0.15	4079.203 Mn I(5)4079.241(500);Fe I(700)4079.18(p)
4079.194	34.5	0.178	0.18	4079.398 Mn I(5)4079.415(500)
4079.639	36.1	0.232	0.15	4079.843 Fe I(359)4079.848(4)
4080.008	35.7	0.202	0.17	4080.212 Cr I(66)4080.229(40)
4080.674	18.4	0.123	0.14	4080.878 Fe I(557)4080.886((1w))
4081.061	17.5	0.118	0.14	4081.265 Fe I(-)4081.264(1)
4081.243	9.8	0.070	0.13	4081.447 Fe II(188)4081.420(p)
4081.585	14.2	0.049	0.27	4081.789 Cr I(66)4081.738(35)
4081.895	20.7	0.137	0.14	4082.099 Fe I(698)4082.125((1))
4082.092	51.6	0.296	0.16	4082.296 Cr II(165)4082.30(10)
4082.253	11.0	0.089	0.12	4082.457 Ti I(80)4082.455(650);Fe I(906)4082.44((2))
4082.736	27.3	0.178	0.14	4082.940 Mn I(5)4082.945(600)
4083.027	7.7	0.028	0.25	4083.231
4083.426	66.7	0.307	0.20	4083.630 Mn I(5)4083.634(500);Mn II(I)4083.66((200))
4083.567	22.6	0.141	0.15	4083.771 Fe I(697)4087.780((1))
4084.293	46.9	0.276	0.16	4084.498 Fe I(698)4084.498(6)
4084.806	35.1	0.232	0.14	4085.010 Fe I(358)4085.011(4);Cr I(K)4085.03(25)
4085.097	54.7	0.285	0.18	4085.302 Fe I(559)4085.312(4)
4085.818	44.8	0.139	0.30	4086.023 (Fe I(1073)4086.98((1))),Cr I(K)4086.05(6)
4085.933	31.5	0.236	0.13	4086.138 Cr II(26)4086.14(8)
4086.168	11.6	0.070	0.16	4086.373 Co I(58)4086.300(15)
4096.512	2.9	0.023	0.12	4086.717 La II(10)4086.72(5500)
4086.887	17.5	0.138	0.12	4087.092 Fe I(694)4087.099((1))
4087.069	24.6	0.149	0.15	4087.274 Fe II(28)4087.27(p)
4087.391	33.0	0.250	0.12	4087.596 (Cr II(19)4087.58(1))
4087.601	4.9	0.029	0.16	4087.806 Fe I(832)4087.790(p)
4088.169	1.6	0.026	0.06	4088.374 (Co I(2)4088.291(1))
4088.357	12.7	0.092	0.13	4088.562 Fe I(906)4088.567((1));Mn I(C)4088.565(6)
4088.609	42.1	0.217	0.18	4088.813 Cr II(19)4088.88(1)
4088.836	8.9	0.072	0.12	4089.041
4089.013	11.1	0.094	0.11	4089.218 Fe I(422)4089.225((1))
4089.278	16.2	0.138	0.11	4089.483 Cr II(164)4089.48(2)
4089.866	16.8	0.090	0.17	4090.071 Fe I(700)4090.085((1));Cr I(K)4090.07(8hs)
4090.128	8.5	0.054	0.15	4090.333 Fe I(44)4090.326(1);Cr I(K)4090.35(7)
4090.300	3.9	0.038	0.10	4090.505 Zr II(29)4090.52(10)
4090.755	11.2	0.084	0.12	4090.960 Fe I(695)4090.984((1w))
4090.991	3.6	0.037	0.09	4091.196
4091.344	7.9	0.061	0.12	4091.549 Fe I(357)4091.561((1))
4092.001	13.7	0.042	0.31	4092.206
4092.112	11.4	0.070	0.15	4092.317 (Co I(29)4092.386(25))
4092.241	5.3	0.050	0.10	4092.446 Fe I(18)4092.512((1))
4092.428	22.3	0.111	0.19	4092.633 Ca I(25)4092.633(8)
4092.782	5.6	0.035	0.15	4092.987
4093.017	12.6	0.078	0.15	4093.222 Fe II(J)4093.24(0)
4094.206	5.4	0.051	0.10	4094.411
4094.729	14.8	0.109	0.13	4094.934 Ca I(25)4094.930(12)
4095.068	3.1	0.031	0.09	4095.273 Fe I(1075)4095.252(1N)
4095.737	1.8	0.013	0.13	4095.942 Fe I(217)4095.975(4)
4095.819	19.1	0.086	0.21	4096.024 Cr I(K)4096.04(2W)
4096.902	18.3	0.127	0.14	4097.107 Fe I(558)4097.099((1))
4097.055	1.9	0.017	0.10	4097.260
4097.375	7.1	0.034	0.20	4097.580 Fe II(J)4097.509(1)
4097.759	8.7	0.061	0.13	4097.964 Cr I(97)4097.89(20Wh)
4097.956	15.0	0.114	0.12	4098.161 Cr I(97)4098.180((7));Fe I(558)4098.183(4n)
4098.245	27.4	0.156	0.16	4098.450 Cr II(165)4098.44(8);Ca I(25)4098.533(15);MoII(K)4098.46(1)
4101.559				4101.765 Hd 4101.737
4106.204	6.8	0.050	0.13	4106.410 (Fe I(697)4106.437((1)))
4107.287	24.8	0.163	0.14	4107.493 Fe I(354)4107.492(12)
4108.218	5.5	0.043	0.12	4108.423 Co I(2)4108.488((1));Cr I(65)4108.400(6)
4108.368	8.4	0.046	0.17	4108.574 Ca I(39)4108.554(10N)
4108.830	12.6	0.067	0.18	4109.036 Fe I(558)4109.070((1))
4109.377	6.2	0.048	0.12	4109.583 Cr I(65)4109.584(8)
4109.615	41.4	0.269	0.14	4109.821 Fe I(357)4109.808(9)
4110.081	6.2	0.068	0.08	4110.287 Fe I(-)4110.310(1)
4110.410	6.3	0.047	0.13	4110.616 Co I(29)4110.532(25)
4110.653	20.8	0.131	0.15	4110.859 Cr I(97)4110.87((8))
4110.794	66.7	0.423	0.15	4111.000 Cr II(18,26)4111.00(18);Mn I(37,47)4110.894(60c)
4111.150	14.9	0.103	0.14	4111.356 Cr I(97)4111.33(4w)
4111.667	14.7	0.111	0.13	4111.873 Fe II(188)4111.902(1)
4112.103	9.3	0.073	0.12	4112.309 Fe I(695)4112.350((1))

## Ek 2- HD 204411 (=HR 8216) Çizgi Tanısı

Gözlenen Dalgalıboyu	$W_\lambda$ (mÅ)	Derinlik Genişlik	Hesaplanan Dalgalıboyu	Tanı ve Laboratuvar Dalgalıboyu
4112.341	18.7	0.146	0.12	4112.547 Cr II(18)4112.580(1)
4112.404	18.0	0.057	0.29	4112.610 Ti I(9)4112.708(2100)
4112.754	42.0	0.246	0.16	4112.960 Fe I(1103)4112.972(3n)
4113.016	45.9	0.282	0.15	4113.222 Cr II(18)4113.24(5)
4114.236	25.6	0.184	0.13	4114.442 Fe I(357)4114.449(5)
4114.743	15.0	0.104	0.14	4114.949 Fe I(695)4114.957((1w))
<b>4135 Å Bölgesi</b>				
4104.760	19.5	0.071	0.26	4104.967 Mn II(I)4104.995(50)
4104.995	1.3	0.012	0.10	4105.202
4106.130	12.6	0.028	0.42	4106.337 Fe I(217)4106.256((1))
4107.282	26.6	0.172	0.15	4107.489 Fe I(354)4107.492(12)
4107.856	3.2	0.031	0.10	4108.063
4108.238	5.8	0.042	0.13	4108.445 Co I(2)4108.488((1));Cr I(65)4108.400(6)
4108.384	11.0	0.064	0.16	4108.591 Ca I(39)4108.554(10N)
4108.759	6.9	0.036	0.18	4108.966
4108.880	7.6	0.061	0.12	4109.087 Fe I(558)4109.070((1))
4109.375	7.6	0.052	0.14	4109.582 Cr I(65)4109.584(8)
4109.613	45.9	0.274	0.16	4109.820 Fe I(357)4109.808(9)
4110.096	13.1	0.071	0.17	4110.303 Fe I(-)4110.310(1)
4110.398	14.5	0.078	0.17	4110.605 Co I(29)4110.532(25)
4110.632	17.8	0.119	0.14	4110.839 Cr I(97)4110.87((8))
4110.784	84.3	0.452	0.18	4110.992 Mn I(37,47)4110.903((2));Cr II(18,26)4111.00(18)
4111.144	18.4	0.124	0.14	4111.352 Cr I(97)4111.33(4w)
4112.123	15.6	0.099	0.15	4112.331 Fe I(695)4112.350((1))
4112.345	32.4	0.236	0.13	4112.553 Cr II(18)4112.58(1)
4112.513	6.8	0.058	0.11	4112.721 Ti I(9)4112.708(2100)
4112.742	47.6	0.257	0.17	4112.950 Fe I(1103)4112.972(3n)
4113.014	50.7	0.319	0.15	4113.222 Cr II(18)4113.24(5)
4113.477	11.0	0.027	0.39	4113.685
4113.911	9.0	0.034	0.25	4114.119
4114.238	32.2	0.219	0.14	4114.445 Fe I(357)4114.449(5)
4115.714	9.7	0.047	0.19	4115.921 Ni I(255)4115.982((3));Fe I(910)4115.89(p)
4116.473	16.7	0.110	0.14	4116.681 Cr II(181)4116.65(2)
4116.723	12.3	0.064	0.18	4116.931 Fe I(558)4116.970((1))
4117.461	1.3	0.015	0.08	4117.668 Fe I(853)4117.71(1))
4117.647	20.8	0.128	0.15	4117.854 Fe I(700,1103)4117.872((1))
4118.065	5.8	0.022	0.24	4118.272
4118.336	60.4	0.381	0.15	4118.543 Fe I(801)4118.549(15);Mo II(K)4118.53(5Z)
4118.631	50.2	0.216	0.22	4118.838 Fe I(559)4118.904((1))
4119.172	10.9	0.078	0.13	4119.379 Cr I(65)4119.54(1)
4119.310	32.7	0.205	0.15	4119.518 Fe II(21)4119.530(p)
4119.630	20.7	0.048	0.40	4119.837
4119.827	6.0	0.054	0.10	4120.035 (Ti I(253)4120.029(26))
4120.000	32.5	0.224	0.14	4120.208 Fe I(423)4120.211(5)
4120.406	9.0	0.081	0.10	4120.614 Cr I(65)4120.621(50)
4120.963	5.9	0.037	0.15	4121.171
4121.102	37.5	0.228	0.15	4121.310 Co I(28)4121.318(60)
4121.270	1.2	0.019	0.06	4121.478
4121.600	35.4	0.249	0.13	4121.808 Fe I(356)4121.806(5);Cr I(108)4121.815(45)
4121.961	5.7	0.043	0.12	4122.169 Cr I(165)4122.164(25)
4122.330	40.3	0.244	0.16	4122.538 Fe I(356)4122.522(4)
4122.463	49.4	0.356	0.13	4122.671 Fe II(28)4122.638(4)
4122.632	4.6	0.029	0.15	4122.840 Mn I(47)4122.757(41)
4123.182	4.7	0.058	0.08	4123.390 Cr I(108)4123.386(50)
4123.537	31.4	0.192	0.15	4123.745 Fe I(217,422)4123.748((1))
4123.736	7.9	0.051	0.15	4123.944
4124.297	9.9	0.050	0.19	4124.505 Fe I(-)4124.490(1)
4124.581	41.4	0.253	0.15	4124.789 Fe II(22)4124.793(1)
4125.222	6.1	0.043	0.13	4125.430
4125.425	43.1	0.260	0.16	4125.632 Fe I(1103)4125.622((1));Mo II(K)4125.628(15Z)
4125.670	17.2	0.118	0.14	4125.878 Fe I(354)4125.884((2))
4125.979	49.3	0.271	0.17	4126.187 Fe I(695)4126.192(3n)
4126.304	23.7	0.168	0.13	4126.512 Cr I(35)4126.513(75)
4126.695	10.7	0.065	0.15	4126.903 Cr I(K)4126.920(30)
4126.864	36.0	0.253	0.13	4127.072 Cr II(181)4127.08(4)
4127.076	24.6	0.127	0.18	4127.284 Cr I(35)4127.297(40)
4127.401	51.6	0.324	0.15	4127.609 Fe I(357)4127.612(7)
4127.598	47.7	0.258	0.17	4127.806 Fe I(558,727)4127.807(3n)
4127.883	131.7	0.594	0.21	4128.091 si III(3)4128.067(300h)
4128.190	17.0	0.088	0.18	4128.398 Cr I(K)4128.392(35)
4128.535	58.2	0.347	0.16	4128.743 Fe II(27)4128.735(3)
4128.717	9.0	0.054	0.16	4128.925
4128.967	61.1	0.362	0.16	4129.175 Cr I(97)4129.20(50Wh)
4129.423	9.0	0.033	0.25	4129.631 Eu II(1)4129.70(3300h)
4129.783	29.6	0.147	0.19	4129.991 Cr I(97)4129.90(1);Fe I(44,486)4130.035((1))
4130.257	14.3	0.063	0.21	4130.465 Cr I(97)4129.470(p)
4130.451	21.5	0.131	0.15	4130.660 Ba II(4)4130.648(80)
4130.673	99.4	0.453	0.21	4130.881 si III(3)4130.893(500h)
4130.894	20.6	0.106	0.18	4131.103 Mn I(C)4131.111(150)
4131.148	22.1	0.134	0.16	4131.356 Cr I(261)4131.36(50)
4131.381	3.5	0.024	0.14	4131.589
4131.560	8.8	0.060	0.14	4131.769 Fe I(1075)4131.750(p)

## Ek 2- HD 204411 (=HR 8216) Çizgi Tanısı

Gözlenen Dalgaboyu	$W_{\lambda}$ (mÅ)	Derinlik	Genişlik	Hesaplanan Dalgaboyu	Tam ve Laboratuvar Dalgaboyu
4131.706	8.8	0.077	0.11	4131.915 Fe I(695)4131.940(p)	
4131.836	102.6	0.518	0.19	4132.044 Fe I(43)4132.060(25)	
4132.191	15.5	0.145	0.10	4132.399 Cr II(26)4132.41(7)	
4132.270	75.5	0.295	0.24	4132.479	
4132.518	8.1	0.069	0.11	4132.727	
4132.692	47.0	0.311	0.14	4132.900 Fe I(357)4132.903(8)	
4133.399	18.8	0.131	0.14	4133.607	
4133.649	33.9	0.217	0.15	4133.857 Fe I(698)4133.869((2))	
4134.207	32.2	0.218	0.14	4134.416 Fe I(482,697)4134.433((1))	
4134.472	57.5	0.379	0.14	4134.681 Fe I(357)4134.681(12)	
4134.664	6.3	0.042	0.14	4134.873	
4134.837	4.4	0.030	0.14	4135.045 Fe I(-)4135.039(1n);Cr I(K)4135.05(3w)	
4135.545	17.2	0.110	0.15	4135.753 Cr II(163)4135.770(p);Fe I(1073)4135.770((1))	
4136.078	7.3	0.058	0.12	4136.287 Fe I(-)4136.200(1n)	
4136.320	24.3	0.158	0.14	4136.528 Fe I(694)4136.512((1))	
4136.773	66.2	0.351	0.18	4136.981 Fe I(726)4137.002(7);Mn II(I)4136.94(60)	
4137.201	27.1	0.166	0.15	4137.410 Fe I(1103)4137.456(1)	
4137.476	8.8	0.049	0.17	4137.685	
4137.737	5.0	0.030	0.16	4137.945 (Fe I(320)4137.980(1));Cr I(K)4137.95(3w)	
4138.000	22.2	0.167	0.13	4138.208 Fe II(150)4138.210(p)	
4138.184	34.1	0.208	0.15	4138.393 Fe II(39)4138.40(p)	
4138.646	3.0	0.030	0.10	4138.854 Fe I(117)4138.840((1))	
4138.885	16.1	0.088	0.17	4139.093 Cr I(K)4139.07(7whs)	
4139.100	2.3	0.023	0.10	4139.309 Fe I(-)4139.276(1)	
4139.517	15.3	0.114	0.13	4139.726 Fe I(-)4139.718(1)	
4139.719	8.4	0.066	0.12	4139.928 Fe I(18)4139.933(2)	
4140.211	23.7	0.145	0.15	4140.420 Fe I(694,695)4140.441((1))	
4141.661	16.6	0.125	0.13	4141.870 Fe I(422)4141.862((1))	
4141.980	24.7	0.145	0.16	4142.189 Cr I(305)4142.192(45);Ni I(212)4142.184((2))	
4142.333	44.7	0.180	0.23	4142.542 Ti I(296)4142.480(2)	
4143.231	89.3	0.460	0.18	4143.440 Fe I(523)4143.418(15)	
4143.661	89.2	0.509	0.16	4143.870 Fe I(43)4143.871(30)	
4143.865	13.6	0.091	0.14	4144.074	
4144.727	18.1	0.019	0.91	4144.936 Cr I(K)4145.01(3)	
4144.949	14.4	0.094	0.14	4145.158 Fe I(274)4145.209((1))	
4145.336	4.3	0.016	0.26	4145.545	
4145.570	68.8	0.441	0.15	4145.779 Cr II(162)4145.77(25)	
4145.849	40.6	0.168	0.23	4146.058 Fe I(422)4146.071((2))	
4146.186	38.8	0.227	0.16	4146.395 Cr I(108)4146.467(20)	
4147.086	26.9	0.178	0.14	4147.295 (Fe I(693)4147.34(p));Fe II(141)4147.260(p)	
4147.236	12.6	0.069	0.17	4147.445 (Fe I(832)4147.490(p))	
4147.465	41.7	0.268	0.15	4147.674 Fe I(42)4147.673(10)	
4148.607	2.7	0.023	0.11	4148.816 Mn I(C)4148.796(80)	
4148.975	18.8	0.100	0.18	4149.184 Zr II(41)4149.225(75)	
4149.160	46.6	0.297	0.15	4149.369 Fe I(694)4149.372(5n)	
4149.272	8.0	0.056	0.14	4149.481 Fe I(942)4149.490(p);Fe I(3)4149.466(4)	
4150.049	32.7	0.217	0.14	4150.258 Fe I(695)4150.258((4))	
4150.313	19.5	0.099	0.19	4150.522 Ti I(253)4150.557(3)	
4150.782	35.1	0.253	0.13	4150.992 Zr II(42)4150.97(10);Cr II(163)4151.00(5)	
4151.547	17.9	0.063	0.27	4151.756 Fe II(12)4151.790(p)	
4151.763	25.5	0.147	0.16	4151.973 Fe I(764)4151.957((1))	
4151.919	62.9	0.312	0.19	4152.128 Fe I(18)4152.172(4)	
4152.571	12.6	0.087	0.14	4152.780 Fe I(-)4152.778(1);Cr I(261)4152.779(40)	
4152.824	10.3	0.057	0.17	4153.034 Cr I(35)4153.072(30)	
4153.186	2.5	0.018	0.13	4153.396	
4153.674	89.6	0.446	0.19	4153.883 Cr I(35)4153.812(60);Fe I(695)4153.906(10n)	
4153.902	33.0	0.179	0.17	4154.111 Fe I(694)4154.109((1));Cr I(K)4154.17(2)	
4154.295	64.3	0.357	0.17	4154.504 Fe I(355)4154.502(12)	
4154.596	67.9	0.375	0.17	4154.806 Fe I(694)4154.812(9n)	
4155.116	6.4	0.043	0.14	4155.326	
4155.553	3.2	0.033	0.09	4155.763	
4155.703	17.0	0.094	0.17	4155.913 Fe I(-)4155.914(1)	
4156.134	81.9	0.304	0.25	4156.343 Fe I(693)4156.460((1));Fe I(-)4156.322(1n);Zr II(29)4156.24(15)	
4156.527	63.4	0.248	0.24	4156.736 Fe I(419)4156.670((1))	
4156.607	19.3	0.175	0.10	4156.816 Fe I(354)4156.803(12)	
4157.004	5.4	0.033	0.16	4157.213 (Fe I(-)4157.306(1))	
4157.577	66.2	0.365	0.17	4157.787 Fe I(695)4157.788(8n)	
4158.088	18.3	0.109	0.16	4158.297 Ti II(h)4158.273(10)	
4158.238	5.3	0.036	0.14	4158.447 Fe II(12)4158.450(p);Co I(144)4158.420(4)	
4158.589	60.6	0.328	0.17	4158.798 Fe I(695)4158.798(5n)	
4158.963	91.6	0.366	0.23	4159.173	
4159.913	13.2	0.059	0.21	4160.123	
4160.154	35.0	0.204	0.16	4160.364 Fe II(149)4160.280(p);Fe II(-)4160.333(1n)	
4160.404	33.7	0.183	0.17	4160.614 Fe II(39)4160.620(p);Fe I(419)4160.561((1));Cr I(K)4160.61(4w)	
4160.553	12.9	0.077	0.16	4160.763 Fe II(1116)4160.780(p)	
4160.870	31.0	0.205	0.14	4161.080 Fe I(689)4161.080((1));Cr II(162)4161.07(2)	
4161.002	36.2	0.119	0.29	4161.212 Zr II(42)4161.20(20)	
4161.298	80.2	0.387	0.19	4161.508 Fe I(422)4161.488((1));Ti II(21)4161.527(11);Cr I(305)4161.43(55)	
4161.590	24.7	0.167	0.14	4161.800 sr II(3)4161.796(30)	
4163.437	94.0	0.530	0.17	4163.647 Ti II(105)4163.634(19);Fe I(274,699)4163.676((1))	
4164.606	7.2	0.052	0.13	4164.816 Fe I(418)4164.80((1))	
4164.917	2.0	0.016	0.11	4165.127	

## Ek 2- HD 204411 (=HR 8216) Çizgi Tanısı

Gözlenen Dalgaboyu	$W_{\lambda}$	Derinlik (mÅ)	Genişlik	Hesaplanan Dalgaboyu	Tam ve Laboratuvar Dalgaboyu
4165.165	18.0	0.128	0.13	4165.375	
4165.326	40.9	0.209	0.18	4165.536 Cr I(305)4165.52(60)	
4165.542	3.8	0.037	0.10	4165.752	
4165.772	3.7	0.020	0.18	4165.982 Ba II(4)4166.003(20)	
4166.854	15.4	0.075	0.19	4167.064	
4167.069	71.7	0.429	0.16	4167.279 Mg I(15,15)4167.26;.27(10n,10n)	
4167.496	28.9	0.060	0.45	4167.706 Fe II(149)4167.69(p)	
4167.719	31.0	0.165	0.18	4167.929 Fe I(K)4167.960(1)	
4168.426	24.0	0.162	0.14	4168.636 Fe I(689)4168.625(1w)	
4168.734	20.0	0.142	0.13	4168.944 Fe I(694)4168.942((1w))	
4169.587	36.2	0.196	0.17	4169.797 Fe I(693)4169.777((1))	
4169.775	13.0	0.076	0.16	4169.985 Fe III(12)4169.980(p)	
4169.985	17.1	0.119	0.14	4170.195 Cr I(278)4170.214(50)	
<b>4190 Å Bölgesi</b>					
4159.912	12.6	0.053	0.22	4160.113	
4160.150	31.2	0.197	0.15	4160.351 Fe II(149)4160.28(p);Fe I(-)4160.333(1n)	
4160.427	45.0	0.176	0.24	4160.627 Fe II(39)4160.620(p);Fe I(419)4160.561((1))	
4160.874	26.9	0.179	0.14	4161.075 Fe I(689)4161.080((1));Cr II(162)4161.07(2)	
4161.001	42.6	0.131	0.31	4161.202 Zr III(42)4161.20(20)	
4161.300	75.8	0.392	0.18	4161.500 Fe I(422)4161.488((1));Ti II(21)4161.527(11);Cr I(305)4161.43(55)	
4161.596	25.6	0.164	0.15	4161.797 se II(3)4161.796(30)	
4163.256	14.9	0.084	0.17	4163.457 Fe I(1073)4163.350(p)	
4163.443	93.2	0.536	0.16	4163.644 Ti II(105)4163.634(19);Fe I(274,699)4163.676((1))	
4164.012	2.7	0.021	0.12	4164.213 (Fe I(694)4164.240(p))	
4164.601	9.7	0.057	0.16	4164.802 Fe I(418)4164.80((1))	
4164.913	5.3	0.026	0.19	4165.114	
4165.160	14.5	0.107	0.13	4165.361	
4165.322	47.8	0.209	0.21	4165.523 Cr I(305)4165.519(15)	
4165.578	4.7	0.035	0.13	4165.779	
4165.799	5.8	0.032	0.17	4166.000 Ba II(4)4166.003(20)	
4166.863	14.3	0.075	0.18	4167.064	
4167.073	69.2	0.416	0.16	4167.274 Mg I(15,15)4167.26;.27(10n,10n)	
4167.368	11.2	0.041	0.26	4167.569	
4167.622	20.7	0.089	0.22	4167.823 Fe I(599)4167.862((2));Cr I(107)4167.811(12)	
4167.741	24.9	0.149	0.16	4167.942 Fe I(K)4167.960(1)	
4168.427	22.9	0.155	0.14	4168.628 Fe I(689)4168.625(1w)	
4168.743	18.6	0.133	0.13	4168.944 Fe I(694)4168.942((1w))	
4169.597	35.8	0.183	0.18	4169.798 Fe I(693)4169.777((1))	
4169.788	9.4	0.063	0.14	4169.989 Fe II(12)4169.980(p)	
4169.989	20.2	0.114	0.17	4170.190 Cr I(278)4170.214(50)	
4170.417	39.0	0.252	0.15	4170.618 Cr II(18)4170.65(1)	
4170.663	42.2	0.272	0.15	4170.864 Cr II(181)4170.86(1);Fe I(482)4170.906(5)	
4170.828	94.5	0.393	0.23	4171.029 (Ti I(206)4171.017(110))	
4171.491	46.2	0.200	0.22	4171.692 Cr I(261)4171.675(12);Fe I(941)4171.696((2));Cr I(261)4171.676 (40)	
4171.702	68.1	0.468	0.14	4171.903 Fe I(650)4171.904((2));Cr II(18)4171.92(3);Ti II(h)4171.919(19)	
4171.881	97.7	0.397	0.23	4172.083 Fe I(649)4172.126(5)	
4172.393	59.5	0.211	0.27	4172.595 Cr II(18)4172.60(2);Ti I(F)4172.594(8)	
4172.482	78.6	0.253	0.29	4172.684 Fe I(689)4172.641((1));Cr I(K)4172.782(50)	
4172.791	12.2	0.073	0.16	4172.993 (Fe I(909,1073)4172.970(p))	
4173.148	59.7	0.244	0.23	4173.350 Fe I(355)4173.322(2)	
4173.293	108.8	0.567	0.18	4173.495 Fe II(27)4173.450(8);Ti II(h)4173.531(13)	
4173.871	22.2	0.167	0.12	4174.073 Ti I(55)4174.071(43);Ti II(105)4174.053(13)	
4174.113	43.3	0.283	0.14	4174.314 Mn II(2)4174.32(100)	
4174.297	16.2	0.058	0.26	4174.499 Fe I(799)4174.419((1))	
4174.629	35.6	0.190	0.18	4174.831 Cr I(241)4174.808(75)	
4174.727	24.4	0.174	0.13	4174.929 Fe I(19)4174.917(5);Cr I(278)4174.96(25)	
4175.050	17.1	0.068	0.24	4175.251 Cr I(261)4175.235(35)	
4175.435	53.9	0.352	0.14	4175.637 Fe I(354)4175.640(10)	
4175.707	32.5	0.132	0.23	4175.909 (Fe I(694)4175.89(p));Cr I(106)4175.958(40)	
4176.128	4.1	0.030	0.13	4176.330 (Fe II(149)4176.440(p))	
4176.373	64.9	0.357	0.17	4176.575 Fe I(695)4176.571(7n);Mn I(C)4176.608(100c);Cr I(K)4176.68(25)	
4176.645	8.2	0.040	0.19	4176.847	
4176.867	10.0	0.032	0.29	4177.069 (Fe I(690)4177.07(p))	
4177.445	118.1	0.442	0.25	4177.646 Fe I(18)4177.597(4);Fe II(21)4177.70(p);Y II(14)4177.528(163)	
4177.844	38.0	0.208	0.17	4178.046 Cr I(K)4178.07(25w)	
4178.257	25.9	0.072	0.34	4178.458 V II(25)4178.396(60)	
4178.653	93.6	0.517	0.17	4178.854 Fe II(28)4178.855(5)	
4178.934	26.1	0.094	0.26	4179.136 Co I(144)4179.226(31)	
4179.173	136.6	0.534	0.24	4179.375 Cr II(26)4179.43(12);Cr I(K)4179.42(20);Pr II(4)4179.390(5200)	
4179.577	2.7	0.024	0.10	4179.779 Zr II(99)4179.81(15)	
4179.768	4.2	0.028	0.14	4179.970 Cr II(127)4179.920(p)	
4180.209	12.2	0.054	0.21	4180.411 Fe I(274)4180.404(1)	
4180.439	24.5	0.065	0.36	4180.641	
4180.779	16.3	0.099	0.15	4180.980 Fe II(148)4180.970(p);(V II(19)4180.86(6?))	
4180.998	19.4	0.083	0.22	4181.200 Fe I(908)4181.210(1n)	
4181.355	26.4	0.145	0.17	4181.557 Fe I(763)4181.550(p);Cr II(181)4181.50(1)	
4181.547	61.2	0.412	0.14	4181.749 Fe I(354)4181.758(15)	
4181.758	77.0	0.321	0.23	4181.959	
4182.175	47.5	0.244	0.18	4182.377 Fe I(476a)4182.384(4)	
4182.533	34.9	0.177	0.18	4182.735 Fe I(694)4182.790(2b,gn)	

## Ek 2- HD 204411 (=HR 8216) Çizgi Tamısı

Gözlenen Dalgalı boyu	$W_\lambda$	Derinlik	Genişlik	Hesaplanan Dalgalı boyu	Tam ve Laboratuvar Dalgalı boyu
4182.808	13.7	0.077	0.17	4183.010 Fe I(697)4185.025((1))	
4182.988	16.5	0.110	0.14	4183.190 Fe II(21)4183.20(p);Cr I(K)4183.071(30)	
4183.238	31.3	0.126	0.23	4183.440 V II(37)4183.436(200)	
4183.620	68.2	0.175	0.37	4183.822	
4183.825	63.2	0.302	0.20	4184.027	
4184.085	81.9	0.337	0.23	4184.287 Fe I(274)4184.220((1))	
4184.683	60.1	0.332	0.17	4184.885 Cr I(155)4184.901(40);Fe I(355)4184.895(10)	
4185.896	10.8	0.063	0.16	4186.098 Cr II(127)4186.080(p);Ti I(129)4186.117(910)	
4186.168	19.5	0.078	0.23	4186.370 Cr I(249)4186.358(45)	
4186.433	5.0	0.039	0.12	4186.635 Ce II(1)4186.600(3500)	
4186.576	9.8	0.057	0.16	4186.778 Zr II(97)4186.70(12)	
4186.840	76.6	0.417	0.17	4187.042 Fe I(152)4187.044(20)	
4187.379	36.6	0.206	0.17	4187.582 Fe I(694)4187.590((1))	
4187.612	103.7	0.516	0.19	4187.814 Fe I(152)4187.802(20)	
4188.535	118.7	0.404	0.28	4188.737 (Ti I(220)4188.683(55));Fe I(1116)4188.729(2m)	
4188.814	24.4	0.117	0.20	4189.016 Fe I(-)4189.015(1n)	
4189.355	25.8	0.130	0.19	4189.557 Fe I(940)4189.564((2))	
4189.841	30.2	0.116	0.24	4190.043 Cr I(84)4190.15(40);Fe I(-)4190.000(1n)	
4190.013	30.4	0.155	0.18	4190.215 Ti II(21)4190.164(4);Cr I(84)4190.15(40)	
4190.525	5.7	0.036	0.15	4190.727 si II(7,26)4190.724(100h);Co I(1)4190.712(20)	
4191.066	21.0	0.117	0.17	4191.268 Cr I(35)4191.274(50)	
4191.236	72.6	0.427	0.16	4191.438 Fe I(52)4191.436(15);(Cr I(35)4191.274(50));Zr II(108)4191.50(6)	
4191.476	40.5	0.225	0.17	4191.678 Fe I(355)4191.685((2))	
4191.876	24.8	0.167	0.14	4192.078 Ni II(10)4192.07(1);Cr I(273)4192.113(40)	
4193.289	3.9	0.022	0.17	4193.492 Mg II(28)4193.44(2)	
4193.457	19.2	0.137	0.13	4193.660 Cr I(248)4193.662(40)	
4193.625	8.8	0.050	0.16	4193.828 Cr I(248)4193.89(15)	
4194.742	17.7	0.115	0.14	4194.945 Cr I(248)4194.96(55)	
4195.171	103.7	0.487	0.20	4195.374 Fe I(693)4195.337(5);Cr II(161)4195.33(6)	
4195.413	24.0	0.165	0.14	4195.616 Fe I(478)4195.615((3))	
4196.005	49.7	0.303	0.15	4196.208 Fe I(693)4196.218(4)	
4196.336	16.4	0.098	0.16	4196.539 Fe I(418)4196.533((1))	
4197.046	30.0	0.107	0.26	4197.249 Cr I(249)4197.24(50)	
4197.882	106.6	0.315	0.32	4198.084 Ti II(96)4197.950(p);Si II(7,26)4198.133(50)	
4198.094	76.1	0.438	0.16	4198.297 Fe I(693)4198.268((1));Fe I(152)4198.310(26)	
4198.398	71.8	0.301	0.22	4198.601 Cr I(249)4198.54(55);Fe I(693)4198.645(4n)	
4198.894	80.3	0.445	0.17	4199.097 Fe I(522)4199.098(20);Fe II(141)4199.09(p)	
4199.279	30.8	0.139	0.21	4199.481 Fe I(416)4199.370(p)	
4199.710	32.9	0.138	0.22	4199.913 Fe I(3)4199.97(1)	
4199.894	4.1	0.044	0.09	4200.097 Fe I(993)4200.09(p);Cr I(K)4200.10(35)	
4200.020	8.9	0.048	0.17	4200.223 Mn II(1)4200.280(60)	
4200.308	37.0	0.100	0.35	4200.511 Ni I(89)4200.464(5)	
4200.713	52.6	0.248	0.20	4200.916 Fe I(689)4200.930(3n);Si II(7,06)4200.898((40))	
4201.520	6.7	0.033	0.19	4201.723 Ni I(238)4201.723(5);Fe I(779)4201.73(1)	
4201.697	15.2	0.063	0.23	4201.899 Fe I(799)4201.799((1));Mn I(C)4201.778(60)	
4201.828	71.7	0.440	0.15	4202.031 Fe I(42)4202.031(30)	
4202.123	25.9	0.082	0.30	4202.326 V II(25)4202.356(200)	
4202.323	21.1	0.141	0.14	4202.526 Fe II(D)4202.52(p)	
4202.603	35.9	0.150	0.23	4202.806 Fe II(D)4202.89(p)	
4203.375	21.1	0.112	0.18	4203.578 Fe I(19)4203.570((1));Cr I(35)4203.59(50)	
4203.767	67.3	0.387	0.16	4203.970 Fe I(850)4203.953((1));Fe I(355)4203.987(10)	
4203.991	11.1	0.067	0.15	4204.194 Cr I(35)4204.20(30);V II(25)4204.211(80)	
4204.265	18.5	0.106	0.16	4204.468 Cr I(272)4204.48(55)	
4204.580	17.9	0.036	0.46	4204.783 Y II(1)4204.692(474);Cr II(180)4204.830(p)	
4204.871	23.8	0.104	0.21	4205.074 Eu II(1)4205.05(60000);V II(37)4205.094(300)	
4205.174	56.2	0.363	0.15	4205.377 Fe II(22)4205.48(p)	
4205.347	48.2	0.265	0.17	4205.550 Fe I(689)4205.546((2));Mn II(I)4205.39(100)	
4205.710	9.8	0.030	0.30	4205.913 Zr II(133)4205.910(2)	
4205.968	22.1	0.137	0.15	4206.171 Fe I(-)4206.210(1n)	
4206.165	47.2	0.229	0.19	4206.368 Mn II(7)4206.370(200)	
4206.491	17.5	0.095	0.17	4206.694 Fe I(3)4206.702(3);(Pr II(8)4206.720(2500))	
4206.692	14.4	0.109	0.12	4206.895 Cr I(K)4206.909(40)	
4206.936	40.1	0.247	0.15	4207.139 Fe I(352)4207.130(4);Cr I(K)4207.11(1)	
4207.161	57.5	0.320	0.17	4207.364 Cr II(26)4207.360(4)	
4207.627	14.2	0.082	0.16	4207.830 Cr I(K)4207.85(2w)	
4207.950	4.1	0.030	0.13	4208.153 Cr I(K)4208.10(4)	
4208.157	18.4	0.103	0.17	4208.360 Cr I(249)4208.36(40)	
4208.399	43.4	0.264	0.15	4208.602 Fe I(689,696)4208.610(3n)	
4208.875	33.1	0.184	0.17	4209.078 Cr II(162)4209.05(3);Zr II(41)4208.99(30)	
4209.164	19.7	0.143	0.13	4209.367 Cr I(248)4209.37(60)	
4209.393	7.6	0.053	0.14	4209.596	
4209.593	36.9	0.197	0.18	4209.796 Cr I(155)4209.76(40)	
4210.148	70.6	0.406	0.16	4210.351 Fe I(152)4210.352(15)	
4210.873	11.8	0.084	0.13	4211.076	
4211.144	9.0	0.066	0.13	4211.347 Cr I(133)4211.34(40)	
4211.613	15.4	0.078	0.19	4211.816 Zr II(15)4211.88(12)	
4212.966	6.0	0.041	0.14	4213.169 Cr I(155)4213.18(12)	
4213.325	25.7	0.135	0.18	4213.529 Fe II(G)4213.52(p)	
4213.453	27.3	0.200	0.13	4213.657 Fe I(355)4213.65(5)	
4214.599	4.8	0.029	0.15	4214.803 Cr I(K)4214.78(1Dwh)	
4214.849	14.5	0.094	0.15	4215.053 Cr I(K)4215.00(2wh)	
4215.299	119.4	0.560	0.20	4215.502 sr II(1)4215.524(300r)	
4215.539	43.3	0.298	0.14	4215.743 Cr II(18)4215.76(2)	

## Ek 2- HD 204411 (=HR 8216) Çizgi Tanısı

Gözlenen Dalgalıboyu	$W_\lambda$ (mÅ)	Derinlik	Genişlik	Hesaplanan Dalgalıboyu	Tanı ve Laboratuvar Dalgalıboyu
4215.770	13.0	0.078	0.16	4215.974 Fe I(273) 4215.975(1); Cr I(K) 4215.96(3hs)	
4215.987	35.4	0.217	0.15	4216.190 Fe I(3) 4216.186(8); Cr I(K) 4216.20(2h)	
4216.139	18.1	0.125	0.14	4216.343 Cr I(132) 4216.386(30)	
4216.855	37.4	0.243	0.14	4217.059 Cr II(18) 4217.07(2)	
4217.112	2.1	0.011	0.17	4217.315 Ti II(96) 4217.340(p)	
4217.356	66.5	0.375	0.17	4217.560 Cr I(132) 4217.65(50); Fe I(693) 4217.551(7n)	
4217.694	18.0	0.084	0.20	4217.897	
4218.013	22.8	0.115	0.19	4218.217 (Fe I(172) 4218.210(p))	
4218.976	9.8	0.052	0.18	4219.180	
4219.159	67.0	0.389	0.16	4219.363 Fe I(800) 4219.364(12)	
4219.387	12.1	0.037	0.31	4219.591 (Fe I(763) 4219.590(p)); Cr I(K) 4219.61(3)	
4219.708	9.5	0.037	0.24	4219.912	
4219.869	44.2	0.242	0.17	4220.073 V II(25) 4220.058(50); Fe I(994) 4220.034(1)	
4220.139	35.7	0.215	0.16	4220.343 Fe I(482) 4220.347(4)	
4221.176	11.8	0.057	0.19	4221.379	
4221.381	13.3	0.086	0.14	4221.584 Cr I(155,248) 4221.583(40)	
4221.803	25.9	0.172	0.14	4222.007 Cr II(180) 4222.00(1)	
4222.011	54.2	0.333	0.15	4222.215 Fe I(152) 4222.219(12)	
4222.256	3.5	0.016	0.20	4222.459 (Zr II(80) 4222.410(3))	
4222.525	13.5	0.079	0.16	4222.729 Cr I(132) 4222.752(40d?)	
4222.697	7.2	0.057	0.12	4222.901 Pr II(4) 4222.93(3800)	
4223.124	4.7	0.026	0.17	4223.328 Cr I(132) 4223.47(7)	
4223.946	82.4	0.385	0.20	4224.150 Fe I(689) 4224.176(6n)	
4224.154	11.7	0.046	0.24	4224.358 Fe I(1104) 4224.30(p)	
4224.309	41.8	0.259	0.15	4224.513 Cr I(155) 4224.514(18); Fe I(689) 4224.509(3n); V II(25) 4224.51(10)	
4224.651	57.7	0.370	0.15	4224.855 Cr II(162) 4224.85(20)	

### 4245 Å Bölgesi

4212.441	8.3	0.046	0.17	4212.649	
4212.971	5.0	0.037	0.13	4213.180 Cr I(155) 4213.179(10)	
4213.353	34.4	0.140	0.23	4213.562 Fe II(G) 4213.52(p)	
4213.458	21.1	0.141	0.14	4213.667 Fe I(355) 4213.65(5)	
4214.574	5.3	0.036	0.14	4214.783	
4214.854	15.1	0.085	0.17	4215.063	
4215.304	118.9	0.537	0.21	4215.513 sr II(1) 4215.525(300r); (Fe I(274,419) 4215.430(2))	
4215.545	37.8	0.272	0.13	4215.753 Cr II(18) 4213.76(2)	
4215.790	18.6	0.073	0.24	4215.999 Fe I(273) 4215.975((1))	
4215.996	30.1	0.181	0.16	4216.205 Fe I(3) 4216.186(8); Cr I(K) 4216.20(2h)	
4216.146	17.5	0.120	0.14	4216.354 Cr I(132) 4216.365(15)	
4216.859	38.4	0.236	0.15	4217.067 Cr II(18) 4217.07(2)	
4217.122	2.8	0.018	0.14	4217.331 Ti II(96) 4217.340(p)	
4217.358	67.9	0.357	0.18	4217.566 Fe I(693) 4217.551(7n); Cr I(132) 4217.650(50)	
4217.696	18.5	0.090	0.19	4217.904	
4218.021	23.1	0.115	0.19	4218.229 (Fe I(172) 4218.210(p))	
4218.959	7.2	0.049	0.14	4219.167	
4219.163	72.9	0.386	0.18	4219.372 Fe I(800) 4219.364(12)	
4219.412	6.9	0.037	0.17	4219.621 (Fe I(763) 4219.590(p)); Cr I(K) 4219.61(3)	
4219.613	6.2	0.033	0.18	4219.822 (Fe I(832) 4219.740(p))	
4219.858	49.2	0.241	0.19	4220.067 V II(25) 4220.058(50); Fe I(994) 4220.034(1)	
4220.134	32.6	0.196	0.16	4220.343 Fe I(482) 4220.347(4)	
4221.187	9.9	0.054	0.17	4221.396	
4221.374	14.4	0.093	0.14	4221.583 Cr I(155,248) 4221.582(40)	
4221.802	21.4	0.155	0.13	4222.011 Cr II(180) 4222.00(3)	
4222.007	54.7	0.309	0.17	4222.216 Fe I(152) 4222.219(12)	
4222.537	12.3	0.078	0.15	4222.746 Cr I(132) 4222.752(40d?)	
4222.704	5.9	0.047	0.12	4222.913 Pr II(4) 4222.93(3800)	
4223.129	5.7	0.029	0.18	4223.338 Cr I(132) 4223.468(10)	
4223.543	2.6	0.024	0.10	4223.752 Fe I(417) 4223.722(2)	
4223.949	86.5	0.383	0.21	4224.158 Fe I(689) 4224.176(6n)	
4224.295	46.8	0.248	0.18	4224.504 Fe I(689) 4224.509(3n); V II(25) 4224.513(30h); Cr I(155) 4224.522(20)	
4224.647	55.5	0.342	0.15	4224.856 Cr II(126) 4224.85(20)	
4225.249	50.5	0.286	0.17	4225.458 Fe I(693) 4225.460(6n)	
4225.505	16.3	0.114	0.13	4225.714 (Fe I(1102) 4225.710(p))	
4225.759	28.2	0.168	0.16	4225.968 Fe I(521) 4225.956(3)	
4226.222	30.4	0.183	0.16	4226.431 Fe I(352) 4226.426(3)	
4226.523	112.8	0.528	0.20	4226.732 Cr I(2) 4226.728(500R); (Cr I(105) 4226.753(40))	
4226.742	2.9	0.022	0.12	4226.951	
4226.935	6.2	0.035	0.17	4227.144 (Mo II(K) 4227.073(12Z))	
4227.191	129.8	0.513	0.24	4227.400 Ti II(33) 4227.353(9); Fe I(693) 4227.434(30)	
4227.526	11.0	0.057	0.18	4227.735 Cr II(155) 4227.73(1)	
4228.110	2.6	0.020	0.12	4228.319 C I(17) 4228.326(5)	
4228.517	5.0	0.029	0.16	4228.726 Fe I(690) 4228.705(1n)	
4229.143	6.2	0.060	0.10	4229.352 (Fe I(-) 4229.406(1))	
4229.289	25.2	0.135	0.18	4229.499 Fe I(416,649) 4229.516(1gn)	
4229.597	33.6	0.197	0.16	4229.807 Cr II(26) 4229.81(1)	
4229.798	3.3	0.025	0.12	4230.007 Co I(1) 4229.995(2n)	
4230.031	5.3	0.031	0.16	4230.240 Cr I(106) 4230.29(5w)	
4230.289	13.2	0.073	0.17	4230.499 Cr I(132) 4230.494(35); Fe I(478) 4230.584(1)	
4231.743	17.7	0.103	0.16	4231.953 V II(225) 4232.050(300)	
4232.014	4.0	0.032	0.12	4232.224 Cr I(294) 4232.233(15)	
4232.218	6.0	0.033	0.17	4232.427	

## Ek 2- HD 204411 (=HR 8216) Çizgi Tanısı

Gözlenen Dalgaboyu	$W_{\lambda}$ (mA)	Derinlik	Genişlik	Hesaplanan Dalgaboyu	Tam ve Laboratuvar Dalgaboyu
4232.440	1.8	0.019	0.09	4232.649 Fe I(3)4232.724(1)	
4232.691	17.3	0.079	0.21	4232.900 Cr I(132)4232.87(12w);Cr II(180)4232.96(p)	
4232.985	168.6	0.659	0.24	4233.194 Fe II(27)4233.167(11);Cr II(31)4233.26(18)	
4233.394	69.9	0.371	0.18	4233.604 Fe I(152)4233.608(18)	
4233.721	7.9	0.042	0.18	4233.931 Co I(1)4233.496(2)	
4234.911	8.9	0.055	0.15	4235.121 Mn I(23)4235.154(400)	
4235.096	38.6	0.152	0.24	4235.306 Mn I(23)4235.300(800)	
4235.559	8.5	0.027	0.30	4235.769 Y II(5)4235.722(203)	
4235.737	79.6	0.418	0.18	4235.946 Fe I(152)4235.942(25);Cr I(132)4235.99(25w)	
4236.181	28.8	0.196	0.14	4236.391 Ni I(237)4236.372((2))	
4236.297	7.0	0.046	0.14	4236.506 Zr II(110)4236.56(5)	
4236.956	17.6	0.115	0.14	4237.166 Fe I(-)4237.162(2);Fe I(19)4237.085((2))	
4237.520	3.7	0.021	0.16	4237.729 Cr I(132)4237.72(15w)	
4237.816	43.5	0.246	0.17	4238.025 Fe I(689,696)4238.027(4)	
4238.042	4.4	0.026	0.16	4238.251	
4238.403	8.5	0.029	0.28	4238.612 (Fe I(849)4238.610(p))	
4238.585	83.9	0.451	0.17	4238.794 Fe I(693)4238.816(10n);Mn II(I)4238.792(80)	
4238.740	20.2	0.113	0.17	4238.950 Cr I(131)4238.96(40)	
4238.968	16.4	0.096	0.16	4239.177 Mn II(I)4239.187(60)	
4239.157	18.4	0.113	0.15	4239.367 Fe I(907)4239.375(3)	
4239.533	43.1	0.231	0.18	4239.743 Mn I(23)4239.737(200);Fe I(416)4239.735(3)	
4239.676	31.0	0.174	0.17	4239.886 Fe I(18,273)4239.847(2)	
4240.206	51.8	0.232	0.21	4240.416 Fe I(746)4240.372((2));Ca I(38)4240.456(6)	
4240.510	24.9	0.124	0.19	4240.720 Cr I(105,178)4240.714(50)	
4240.932	11.0	0.060	0.17	4241.142 Fe I(351)4241.112((1))	
4241.946	4.4	0.031	0.13	4242.156	
4242.157	95.3	0.495	0.18	4242.367 Cr II(31)4242.36(50);Mn II(I)4242.334(100)	
4242.359	6.4	0.054	0.11	4242.569 Fe I(273)4242.588(1))	
4242.510	26.9	0.144	0.18	4242.720 Fe I(649)4242.730((2))	
4242.680	4.3	0.032	0.13	4242.890 V II(200)4242.895(50);(Mn II(I)4242.923(30)	
4243.166	16.6	0.107	0.15	4243.376 Fe I(906)4243.368((2))	
4243.358	12.9	0.078	0.15	4243.568 Fe I(-)4243.560(2)	
4243.614	17.0	0.099	0.16	4243.824 Fe I(994)4243.786((1w))	
4244.048	11.8	0.084	0.13	4244.258 Mn II(7)4244.243(150)	
4244.584	12.2	0.076	0.15	4244.794 Ni II(9)4244.80(1);Cr I(K)4244.780(2w)	
4245.091	65.3	0.305	0.20	4245.301 Fe I(352)4245.256(6);Fe I(691)4245.356(tr?)	
4245.712	9.4	0.056	0.16	4245.922	
4245.872	36.1	0.206	0.16	4246.082 Fe I(906)4246.090(3)	
4246.031	3.8	0.036	0.10	4246.241	
4246.197	32.3	0.203	0.15	4246.407 Cr II(31)4246.41(2)	
4246.632	57.3	0.303	0.18	4246.842 Sc II(7)4246.829(100)	
4247.135	31.6	0.093	0.32	4247.345 Fe I(172)4247.31(p)	
4247.224	50.2	0.286	0.17	4247.434 Fe I(693)4247.432(12);Fe II(125)4247.43(p)	
4247.757	7.4	0.053	0.13	4247.967 Mn II(I)4247.952(80)	
4248.043	41.3	0.218	0.18	4248.253 Fe I(482)4248.228(4)	
4249.916	75.3	0.399	0.18	4250.126 Fe I(152)4250.125(25)	
4250.221	31.1	0.172	0.17	4250.432 Cr II(D)4250.40(p)	
4250.588	89.8	0.436	0.19	4250.798 Fe I(42)4250.790(25)	
4251.525	19.4	0.131	0.14	4251.735 Mn II(I)4251.735(150)	
4251.843	3.0	0.039	0.07	4252.053 (Ti II(95)4252.05(p))	
4251.968	15.9	0.070	0.21	4252.178 Cr I(131)4252.235(20);Ni I(136)4252.107((2))	
4252.425	71.2	0.395	0.17	4252.635 Cr II(31)4252.63(10)	
4252.584	6.5	0.061	0.10	4252.794	
4252.778	29.6	0.158	0.18	4252.988 Mn II(7)4252.964(150)	
4252.926	2.9	0.032	0.09	4253.136	
4253.730	7.8	0.051	0.14	4253.940 Fe I(905)4253.933(1))	
4254.129	86.2	0.499	0.16	4254.339 Cr I(1)4254.331(1000R)	
4254.316	51.9	0.308	0.16	4254.526 Cr II(D)4254.56(p)	
4254.733	8.6	0.050	0.16	4254.943 Fe I(419,477)4254.938((1))	
4255.299	21.6	0.140	0.14	4255.509 Cr I(105)4255.501(30);Fe I(416)4255.499((1))	
4255.601	5.9	0.027	0.21	4255.812	
4255.929	41.8	0.210	0.19	4256.140 (Ti I(252)4256.025(160);Cr II(192)4256.16(5))	
4256.400	5.2	0.046	0.11	4256.610 Cr I(131)4256.63(8w)	
4256.591	11.0	0.069	0.15	4256.801 Fe I(1102)4256.790(1))	
4257.177	7.2	0.054	0.13	4257.387 Cr I(131)4257.350(15w)	
4257.445	9.0	0.055	0.15	4257.655 Mn I(23)4257.669(200)	
4257.944	63.3	0.333	0.18	4258.154 Fe II(28)4258.155(3);(Zr II(15)4258.05(12))	
4258.129	32.1	0.215	0.14	4258.339 Fe I(3)4258.320(2);Fe II(21)4258.350(p)	
4258.411	13.6	0.083	0.15	4258.622 Fe I(351)4258.619((1))	
4258.739	9.4	0.074	0.12	4258.949 Fe I(419)4258.956((1))	
4258.986	43.5	0.208	0.20	4259.197 (Cr I(131)4259.136(10w));Mn II(I)4259.201(150)	
4259.873	79.6	0.286	0.26	4260.084 Fe I(689)4259.988((2));Fe I(476a)4260.135((1))	
4260.262	98.8	0.489	0.19	4260.473 Fe I(152)4260.479(35);(Mn II(I)4260.465(40))	
4260.532	31.9	0.118	0.25	4260.743 (Fe I(351)4260.730(p));V II(18,24)4260.758(20D)	
4261.135	17.6	0.111	0.15	4261.346 Cr I(96)4261.353(60);Mn I(C)4261.301(30)	
4261.396	8.7	0.062	0.13	4261.607 Cr I(K)4261.627(25)	
4261.694	105.1	0.534	0.18	4261.905 Cr II(31)4261.92(30);(Cr II(17)4261.80(p))	
4261.903	8.1	0.049	0.16	4262.114 Cr I(84,178)4262.129(22)	
4262.137	7.7	0.057	0.13	4262.348 Cr I(154)4262.372(12)	
4262.955	37.3	0.191	0.18	4263.166 Cr I(247)4263.149(70);(Ti I(162)4263.134(15))	
4263.484	2.2	0.024	0.09	4263.695	
4263.652	30.3	0.171	0.17	4263.863 Fe II(J)4263.895(1);(V II(24)4263.846(10))	
4264.002	25.7	0.166	0.15	4264.213 Fe I(692)4264.209((2))	
4264.539	11.1	0.079	0.13	4264.750 Fe I(993)4264.743((1))	

## Ek 2- HD 204411 (=HR 8216) Çizgi Tanısı

Gözlenen Dalgalıboyu	$W_\lambda$ (mÅ)	Derinlik	Genişlik	Hesaplanan Dalgalıboyu	Tam ve Laboratuvar Dalgalıboyu
4265.055	25.2	0.145	0.16	4265.266 Fe I(993,994)4265.260((2))	
4265.705	14.9	0.092	0.15	4265.916 Mn I(23)4265.928(400)	
4266.008	9.5	0.037	0.24	4266.219 (Ti I(252)4266.209(58))	
4266.585	3.3	0.027	0.12	4266.796 Cr I(105)4266.812(8)	
4266.755	29.7	0.171	0.16	4266.966 Fe I(273)4266.968(3)	
4267.182	7.4	0.044	0.16	4267.393	
4267.618	36.0	0.222	0.15	4267.829 Fe I(482)4267.830(5);Mo II(K)4267.83(1)	
4267.796	8.3	0.049	0.16	4268.007 (Co I(1)4268.032((1n)))	
4268.379	8.2	0.042	0.19	4268.590	
4268.528	10.4	0.083	0.12	4268.739 Fe I(649)4268.744(2)	
4268.643	36.5	0.152	0.23	4268.854 Cr I(271)4268.794(10);(Ti I(252)4268.915(13a));C I(16)4269.020(6)	
4269.065	54.3	0.338	0.15	4269.276 Cr II(31)4269.29(10)	
4269.749	6.5	0.034	0.18	4269.960 Cr I(154)4269.959(20)	
4270.938	71.4	0.389	0.17	4271.149 Cr I(154)4271.073(30)	
4271.050	28.5	0.050	0.53	4271.261 Fe I(152)4271.159(20)	
4271.554	96.1	0.507	0.18	4271.766 Fe I(42)4271.764(35)	
4271.736	20.5	0.123	0.16	4271.947 (Ti II(95)4271.94(p));(Fe I(171)4271.950(p))	
4272.037	2.8	0.018	0.14	4272.249	
4272.315	5.6	0.043	0.12	4272.526 (Ti I(44)4272.424(180));Fe I(-)4272.528(1)	
4272.689	16.4	0.105	0.15	4272.910 Cr I(96)4272.93(50w)	
4273.119	56.9	0.329	0.16	4273.331 Fe II(27)4273.317(3);Fe I(171)4273.335(1n)	
4273.652	12.9	0.068	0.18	4273.863 Fe I(478)4273.870((1))	
4274.379	2.3	0.024	0.09	4274.590 Ti I(44,162)4274.588(660)	
4274.591	88.5	0.486	0.17	4274.802 Cr I(1)4274.803(800R)	
4275.358	80.6	0.430	0.18	4275.569 Cr II(31)4275.58(30);Fe I(215)4275.688(2n)	
4275.787	14.5	0.086	0.16	4275.999 Cr I(240)4275.973(15)	
4276.471	20.2	0.125	0.15	4276.683 Fe I(976)4276.684((1))	
4277.107	9.9	0.054	0.17	4277.318 Fe I(K)4277.389(1)	
4277.342	20.0	0.084	0.22	4277.553 (Fe I(172)4277.68((1)))	
4277.574	4.5	0.030	0.14	4277.786	
4277.951	64.0	0.360	0.17	4278.163 Fe II(32)4278.128((1));Cr II(161)4278.11(3s)	
4278.070	5.4	0.041	0.12	4278.281 Ti I(291)4278.220(140);Fe I(691)4278.234((1))	

### 4900 Å Bölgesi

4270.939	87.3	0.473	0.17	4271.146 Fe I(152)4271.159(20);Cr I(154)4271.073(30)
4271.207	7.7	0.036	0.20	4271.415
4271.548	95.9	0.538	0.17	4271.755 Fe I(42)4271.764(35)
4271.702	28.2	0.137	0.19	4271.910 (Ti II(95)4271.940(p));(Fe I(171)4271.950(p))
4272.051	1.8	0.025	0.07	4272.259
4272.332	7.2	0.050	0.13	4272.540 (Ti I(44)4272.4241(80))
4272.683	16.0	0.095	0.16	4272.891 Cr I(96)4272.93(50w)
4273.113	59.3	0.375	0.15	4273.321 Fe II(27)4273.317(3);Fe I(171)4273.335(1n)
4273.269	4.1	0.024	0.17	4273.477
4273.657	14.9	0.086	0.16	4273.865 Fe I(478)4273.870((1))
4274.364	2.8	0.026	0.10	4274.572 (Ti I(44,162)4274.588(660))
4274.590	93.3	0.533	0.16	4274.798 Cr I(1)4274.803(800R)
4275.358	84.0	0.465	0.17	4275.566 Cr II(31)4275.58(30)
4275.792	15.1	0.077	0.19	4276.000 Cr I(240)4275.973(15)
4276.479	19.0	0.132	0.13	4276.687 Fe I(976)4276.684((1))
4277.113	8.4	0.049	0.16	4277.321 Fe I(K)4277.389(1)
4277.322	18.9	0.096	0.19	4277.530 (Fe I(172)4277.68((1)))
4277.497	1.6	0.014	0.11	4277.705
4277.630	2.3	0.025	0.09	4277.838 (Fe I(1102)4278.01(p));Cr I(K)4277.80(2h)
4277.958	72.9	0.390	0.18	4278.166 Fe II(32)4278.128((1));Cr II(161)4278.11(3s)
4278.448	11.0	0.051	0.20	4278.656 (Ti I(252)4278.788(57));Fe I(-)4278.604(1n)
4278.808	5.9	0.022	0.24	4279.016 (Mo II(3)4279.02(50z))
4279.289	13.1	0.093	0.13	4279.497 Fe I(993)4279.480((1))
4279.670	10.3	0.059	0.16	4279.878 Fe I(351)4279.864((1))
4280.185	48.1	0.212	0.21	4280.393 Cr I(247)4280.420(75)
4280.443	6.0	0.022	0.25	4280.651 Fe I(416)4280.630(p);Cr I(K)4280.65(3w)
4280.864	29.9	0.174	0.16	4281.072 Mn I(23)4281.100(500)
4281.747	9.6	0.055	0.17	4281.956 Mn II(I)4281.94(50)
4282.200	66.1	0.389	0.16	4282.405 Fe I(71)4282.406(12)
4282.309	20.0	0.073	0.26	4282.518 Mn II(I)4282.469(60)
4282.803	59.5	0.360	0.16	4283.012 Ca I(5)4283.010(40);Cr I(K)4283.004(4)
4283.572	15.7	0.097	0.15	4283.780 Mn II(16)4283.770(60);Fe I(-)4283.770(1)
4283.981	74.3	0.432	0.16	4284.189 Cr II(31)4284.21(20)
4284.218	13.0	0.082	0.15	4284.426 Mn II(6)4284.428(40);Fe I(417)4284.415((1))
4284.516	8.4	0.046	0.17	4284.725 Cr I(96)4284.728(25)
4284.719	8.7	0.046	0.18	4284.928 Ti I(148)4284.980(330)
4285.213	47.0	0.254	0.17	4285.421 Fe I(597)4285.445(3)
4285.599	19.5	0.080	0.23	4285.808 Fe I(904)4285.832((1));Co I(1)4285.782(8)
4285.840	2.5	0.022	0.11	4286.048 Ti I(44)4286.006(25)
4286.076	31.7	0.183	0.16	4286.285 Fe II(J)4286.311(1)
4286.263	5.6	0.048	0.11	4286.472 Fe I(414)4286.440((1));Zr II(69)4286.52(5)
4286.744	34.7	0.163	0.20	4286.953 Fe I(976)4286.976((1))
4287.198	7.8	0.042	0.17	4287.407 Ti I(44)4287.405(22)
4287.674	74.8	0.388	0.18	4287.682 Ti II(20)4287.875(13);(Ni I(178)4288.005(15))
4288.925	27.0	0.145	0.18	4288.133 Fe I(273)4288.148((2))
4288.241	6.2	0.041	0.14	4288.450 Cr I(K)4288.404(6)
4288.371	2.7	0.033	0.08	4288.580
4288.811	14.8	0.060	0.23	4289.020 Ti I(44)4289.068(25)

## Ek 2- HD 204411 (=HR 8216) Çizgi Tanısı

Gözlenen Dalgalıboyu	W <sub>λ</sub> (mÅ)	Derinlik	Genişlik	Hesaplanan Dalgalıboyu	Tanı ve Laboratuvar Dalgalıboyu
4289.159	60.1	0.349	0.16	4289.368 Ca I(5)4289.364(40)	
4289.510	90.3	0.506	0.17	4289.718 Cr I(1)4289.733(500)	
4289.727	20.8	0.124	0.16	4289.936 Fe I(691)4289.924(2)	
4290.016	109.1	0.549	0.19	4290.225 Ti II(41)4290.216(18)	
4290.195	27.4	0.168	0.15	4290.403 Fe I(416)4290.382((2))	
4290.392	7.7	0.051	0.14	4290.601	
4290.665	22.6	0.121	0.18	4290.874 Fe I(351)4290.870((1))	
4291.772	16.0	0.075	0.20	4291.981 Cr I(240)4291.972(30)	
4291.272	15.2	0.081	0.18	4291.480 Fe I(3,41)4291.466(4)	
4292.040	38.0	0.197	0.18	4292.249 Mn II(6)4292.237(200)	
4293.349	8.2	0.041	0.19	4293.558 Cr I(96)4293.578(20)	
4293.892	116.1	0.611	0.18	4294.101 Ti II(20)4294.094(19);Fe I(41)4294.128(15)	
4294.386	2.1	0.019	0.10	4294.595 Cr I(K)4294.63(3)	
4294.580	10.0	0.049	0.19	4294.789 Sc II(15)4294.787(8)	
4295.107	14.7	0.073	0.19	4295.316 Cr II(37)4295.370(p)	
4295.475	4.3	0.057	0.07	4295.684	
4295.582	21.5	0.142	0.14	4295.791 Cr I(64)4295.757(25)	
4296.364	77.9	0.435	0.17	4296.573 Fe II(28)4296.567(6);(Zr II(98)4296.74(8))	
4296.862	9.7	0.063	0.15	4297.071 Cr I(64)4297.050(15)	
4297.463	4.9	0.070	0.07	4297.672	
4297.558	17.6	0.143	0.12	4297.767 Cr I (247)4297.753(30)	
4297.834	32.1	0.204	0.15	4298.043 Fe I(520)4298.040((2));Cr I(K)4298.048(10)	
4298.466	8.7	0.039	0.21	4298.675 Ti I(44)4298.665(320)	
4298.787	56.3	0.343	0.15	4298.996 Ca I(5)4298.986(30)	
4299.025	79.6	0.442	0.17	4299.234 Fe I(152)4299.242(18)	
4299.439	8.9	0.076	0.11	4299.648 Fe I(416)4299.650((1))	
4299.584	14.8	0.069	0.20	4299.793 Cr I(96)4299.723(20)	
4299.838	116.9	0.592	0.19	4300.047 Ti II(41)4300.064(19)	
4300.046	11.2	0.086	0.12	4300.255 Fe I(975)4300.205(1n)	
4300.343	22.5	0.120	0.18	4300.552 Ti I(44)4300.566(50)	
4300.630	16.4	0.122	0.13	4300.839 Fe I(976)4300.828((1))	
4300.914	24.0	0.124	0.18	4301.123 V II(225)4301.120(60)	
4301.031	6.5	0.086	0.07	4301.240 Cr I(K)4301.185(25)	
4301.121	3.2	0.033	0.09	4301.330	
4301.716	85.9	0.480	0.17	4301.925 Ti II(41)4301.923(17)	
4301.978	32.0	0.178	0.17	4302.188 Fe I(520)4302.191(2))	
4302.319	75.4	0.443	0.16	4302.528 Ca I(5)4302.527(60x);Fe I(-)4302.541(0)	
4302.613	18.5	0.069	0.25	4302.822 (Mn II(I)4302.95(40))	
4302.959	103.1	0.499	0.19	4303.168 Fe II(237)4303.166(8)	
4303.360	18.1	0.083	0.20	4303.569 Nd II(10)4303.58(5400)	
4304.330	12.1	0.089	0.13	4304.540 Fe I(414)4304.552((1))	
4304.980	10.8	0.065	0.16	4305.189 Fe I(760)4305.128(1)	
4305.246	47.8	0.301	0.15	4305.456 Fe I(476)4305.455(3);Sr II(3)4305.447(40);Cr I(96)4305.468(30)	
4305.530	15.1	0.076	0.19	4305.739 Sc II(15)4305.715(10)	
4305.689	24.2	0.129	0.18	4305.898 Ti I(44)4305.907(6400)	
4306.123	2.5	0.023	0.11	4306.333	
4306.393	4.8	0.035	0.13	4306.603 Fe I(691)4306.580(p)	
4306.714	40.9	0.245	0.16	4306.923 (Ti I(43)4306.938(23));Fe I(-)4306.991(1);Cr II(K)4306.95(10)	
4307.285	3.5	0.024	0.13	4307.495 Cr I(K)4307.485(10)	
4307.559	89.1	0.453	0.18	4307.769 Ce I(5)4307.741(45)	
4307.702	92.3	0.534	0.16	4307.912 Fe I(42)4307.906(35)	
4307.940	21.4	0.092	0.22	4308.149 Mn II(I)4308.16(100)	
4308.598	14.8	0.092	0.15	4308.808 Zr II(88)4308.94(4);Cr II(K)4308.81(3)	
4308.820	38.2	0.203	0.18	4309.029 Fe I(849)4309.036((2))	
4309.184	52.5	0.283	0.17	4309.394 Fe I(414)4309.382(4)	
4309.380	8.8	0.074	0.11	4309.589 Y II(5)4309.620(2215)	
4309.510	33.0	0.141	0.22	4309.719 Fe I(-)4309.704(0);Cr I(K)4309.73(8)	
4310.174	17.5	0.090	0.18	4310.383 Ti I(79)4310.358(70);Fe I(994)4310.363(1)	
4310.370	3.5	0.026	0.12	4310.580	
4311.893	7.0	0.029	0.23	4312.103	
4312.281	10.3	0.058	0.17	4312.491 Cr I(177)4312.480(15)	
4312.671	108.6	0.490	0.21	4312.881 Ti II(41)4312.874(17);Fe I(-)4312.950(1n)	
4313.868	39.4	0.237	0.16	4314.078 Sc II(15)4314.084(60)	
4314.098	55.0	0.340	0.15	4314.308 Fe II(32)4314.289(4)	
4314.526	2.6	0.029	0.08	4314.736 Ti I(43)4314.729(200)	
4314.806	143.7	0.591	0.23	4315.016 Ti II(41)4314.979(40);Fe I(71)4315.087(10)	
4315.258	9.8	0.046	0.20	4315.468 Fe I(-)4315.495(0)	
4316.574	41.3	0.249	0.16	4316.784 Ti II(94)4316.802(13)	
4316.738	12.4	0.056	0.21	4316.948 Fe I(-)4316.832(0)	
4317.980	13.6	0.093	0.14	4318.190 Fe II(220)4318.216(ON)	
4318.445	59.6	0.349	0.16	4318.655 Ca I(5)4318.652(45);(Mn II(I)4318.52(60))	
4318.609	5.3	0.032	0.16	4318.819 Fe I(215)4318.81(p)	
4319.204	16.1	0.087	0.17	4319.414 Fe I(214)4319.433(1n)	
4319.465	29.3	0.169	0.16	4319.675 Cr I(96)4319.659(40)	
4320.157	3.7	0.010	0.33	4320.367 Fe I(691)4320.360(p)	
4320.386	17.5	0.066	0.25	4320.596 Cr I(96)4320.608(30)	
4320.537	34.0	0.225	0.14	4320.747 Sc II(15)4320.745(50)	
4320.738	57.7	0.335	0.16	4320.948 Ti II(41)4320.957(14)	
4321.096	16.3	0.113	0.14	4321.306 Fe II(220)4321.341(1n)	
4321.393	4.6	0.036	0.12	4321.603 Cr I(177)4321.617(8)	
4321.576	13.8	0.082	0.16	4321.786 Ti I(235)4321.653(330)	
4323.283	7.1	0.036	0.19	4323.494 Cr I(K)4323.521(30)	
4324.502	2.5	0.019	0.12	4324.712	
4324.644	1.5	0.018	0.08	4324.854	

## Ek 2- HD 204411 (=HR 8216) Çizgi Tanısı

Gözlenen Dalgaboyu	W <sub>λ</sub> (mÅ)	Derinlik	Genişlik	Hesaplanan Dalgaboyu	Tam ve Laboratuvar Dalgaboyu
4324.782	33.1	0.218	0.14	4324.993 Sc II(15)4325.010(40)	
4324.907	20.0	0.109	0.17	4325.118 Cr I(104)4325.075(40);Mn II(I) 4325.034(100)	
4325.297	62.8	0.230	0.26	4325.507 Fe II(D,D)4325.43;.54(p)	
4325.555	90.8	0.505	0.17	4325.766 Fe I(42)4325.765(35);Fe I(2)4325.740(p)	
4325.742	19.6	0.114	0.16	4325.953 Fe I(598)4325.950(p)	
4326.461	62.6	0.276	0.21	4326.671 Fe I(413)4326.762((2));Mn II(6)4326.633(500)	
4326.891	26.7	0.169	0.15	4327.102 Fe I(761)4327.100(3)	
4327.704	12.3	0.069	0.17	4327.915 Fe I(597)4327.920((2))	
4328.628	5.4	0.027	0.19	4328.838 Cr II(37)4328.910(p)	
4330.023	39.2	0.206	0.18	4330.233 Ti II(94)4330.234(12)	
4330.252	2.8	0.030	0.09	4330.462	
4330.487	46.1	0.251	0.17	4330.697 Ni I(149)4330.720(2);Fe I(-)4330.640(1)	
4330.736	3.4	0.032	0.10	4330.946 Fe I(597)4330.962((1))	
4331.461	0.3	0.019	0.15	4331.671 Ni I(52)4331.645(12)	
4332.355	2.4	0.013	0.17	4332.566 Cr I(176)4332.574(15)	
4332.709	9.1	0.048	0.18	4332.920 (Fe II(33)4332.88(p))	

### 4355 Å Bölgesi

4323.306	8.7	0.038	0.21	4323.518 Cr I(K)4323.521(30)	
4324.778	27.1	0.131	0.19	4324.990 Sc II(15)4345.010(40)	
4324.879	18.5	0.084	0.21	4325.091 Cr I(104)4325.075(40);Mn II(I) 4325.034(100)	
4325.283	48.2	0.169	0.27	4325.495 Fe II(D,D)4325.43;.54(p)	
4325.546	73.9	0.341	0.20	4325.758 Fe I(42)4325.765(35);Fe I(2)4325.740(p)	
4325.698	20.9	0.088	0.22	4325.910 Fe I(598)4325.950(p)	
4326.455	53.2	0.208	0.24	4326.667 Mn II(6)4326.633(500);Fe I(413)4326.762((2))	
4326.886	22.8	0.120	0.18	4327.098 Fe I(761)4327.100(3)	
4327.694	10.1	0.048	0.20	4327.906 Fe I(597)4327.920((2))	
4328.523	4.8	0.016	0.27	4328.735	
4330.042	33.3	0.160	0.20	4330.254 Ti II(94)4330.234(12)	
4330.506	39.6	0.175	0.21	4330.718 Ni I(149)4330.720(2);Fe I(-)4330.640(1)	
4332.713	9.9	0.048	0.20	4332.925 (Fe II(33)4332.88(p))	
4336.867	14.8	0.062	0.22	4337.080 Fe I(41)4337.049(10);(Mn II(I)4336.966(80))	
4337.091	6.0	0.053	0.11	4337.303 Ti II(94)4337.254(4)	
4337.338	18.4	0.083	0.21	4337.550 Cr I(22)4337.566(75);(Zr II(119)4337.63(5))	
4337.711	44.7	0.231	0.18	4337.923 Ti II(20)4337.876(18)	
4339.187	10.0	0.057	0.17	4339.399 Cr I(22)4339.45(75)	
4340.230				4340.443 Hg 4340.468	
4341.184	7.1	0.066	0.10	4341.397 Ti II(32)4341.367(14);Fe I(-)4341.392(1)	
4343.768	34.5	0.143	0.23	4343.981 Mn II(6)4343.982(500)	
4344.104	38.3	0.148	0.24	4344.317 Ti II(20)4344.299(14)	
4344.301	16.1	0.103	0.15	4344.514 Cr I(22)4344.510(100)	
4346.343	6.8	0.029	0.22	4346.556 Fe I(598)4346.558((2));Mn II(I)4346.41(50)	
4346.603	9.3	0.071	0.12	4346.816 Cr I(104)4346.829(30)	
4346.731	2.6	0.029	0.09	4346.944 Fe I(-)4347.000(0)	
4347.628	4.5	0.024	0.17	4347.841 Fe I(828)4347.854((1))	
4348.170	13.2	0.070	0.18	4348.383 Mn II(I)4348.393(200)	
4349.296	4.4	0.027	0.15	4349.509	
4350.621	26.8	0.134	0.19	4350.834 Ti II(94)4350.846(12)	
4350.822	31.3	0.132	0.22	4351.035 Cr I(22)4351.055(75)	
4351.292	10.1	0.055	0.17	4351.505 (Fe I(413)4351.549(3))	
4351.612	147.5	0.451	0.31	4351.825 Mg I(14,14)4351.8961;.9056(30)	
4352.479	57.2	0.211	0.25	4352.692 Cr II(37)4352.680(p)	
4353.707	7.1	0.035	0.19	4353.920 Cr I(198)4353.942(15)	
4354.121	18.9	0.093	0.19	4354.334 Fe II(213)4354.358(2n)	
4354.382	3.6	0.027	0.13	4354.595 Sc II(14)4354.609(5)	
4354.878	25.6	0.116	0.21	4355.091 Ca I(37)4355.096(25)	
4356.431	12.2	0.049	0.23	4356.645 Mn II(I)4356.625(180)	
4356.630	2.4	0.019	0.12	4356.843	
4356.935	11.8	0.045	0.25	4357.148	
4357.355	35.3	0.163	0.20	4357.568 Fe II(J)4357.574(4)	
4357.929	3.5	0.021	0.16	4358.143	
4358.287	19.2	0.099	0.18	4358.500 Fe I(412)4358.505(3)	
4358.524	19.0	0.043	0.19	4358.737 Y II(5)4358.723(1143);(Cr I(176)4358.663(10))	
4358.742	5.6	0.032	0.17	4358.955	
4359.417	38.7	0.174	0.21	4359.630 Cr I(22)4359.647(75);(Zr II(79)4358.74(10))	
4359.732	17.8	0.037	0.45	4359.945 Cr I(198)4359.984(20)	
4360.589	11.7	0.048	0.23	4360.803 Fe I(903)4360.813(11)	
4361.032	27.4	0.133	0.19	4361.246 Fe II(J)4361.249(2)	
4361.894	20.8	0.114	0.17	4362.108 Ni II(9)4362.10(1)	
4362.317	10.1	0.052	0.18	4362.531	
4362.716	32.0	0.157	0.19	4362.930 Cr II(179)4362.93(3)	
4362.953	21.9	0.093	0.22	4363.167 Cr I(103)4363.132(30);Mn II(I)4363.253(50)	
4365.005	5.3	0.033	0.15	4365.219 Mn II(I)4365.223(100)	
4365.674	7.4	0.041	0.17	4365.888 Fe I(415)4365.902((1))	
4365.886	6.7	0.024	0.26	4366.100 Fe II(216)4366.165(7r)	
4367.429	83.3	0.331	0.24	4367.643 Ti II(104)4367.654(16)	
4367.746	15.8	0.080	0.19	4367.960 Fe I(41)4367.906(2)	
4367.938	38.5	0.173	0.21	4368.152 (Cr II(37)4368.20(p));(Fe II(-)4368.262(1))	
4368.420	2.4	0.018	0.12	4368.634	
4369.196	47.1	0.224	0.20	4369.410 Fe II(28)4369.404(2)	
4369.545	50.3	0.212	0.22	4369.759 Fe I(976)4369.730(p)	
4370.753	9.5	0.050	0.18	4370.967 Zr II(79)4370.96(8);Fe I(69)4370.982(1)	
4371.063	40.6	0.177	0.22	4371.277 Cr I(22)4371.279(75);C I(14)4371.368(6)	

## Ek 2- HD 204411 (=HR 8216) Çizgi Tanısı

Gözlenen Dalgalıboyu	$W_{\lambda}$ (mÅ)	Derinlik	Genişlik	Hesaplanan Dalgalıboyu	Tanı ve Laboratuvar Dalgalıboyu
4372.003	9.7	0.053	0.17	4372.217 Fe II(33)4372.220(p)	
4372.769	6.2	0.031	0.19	4372.983 Fe I(473)4372.994((1))	
4373.018	10.2	0.047	0.21	4373.232 Cr I(22)4353.255(35)	
4373.349	34.7	0.132	0.25	4373.563 Fe I(214,413)4373.563((2))	
4373.928	25.6	0.128	0.19	4374.143 Cr I(104)4374.166(40);Fe I(-)4374.116(1)	
4374.260	36.4	0.163	0.21	4374.474 (Fe I(648)4374.495((1));Sc II(14)4374.455(40)	
4374.646	71.1	0.259	0.26	4374.860 Ti II(93)4374.836(12);Y II(14)4374.933(6000s)	
4375.110	18.5	0.082	0.21	4375.324 Cr I(103)4375.338(30)	
4375.725	39.7	0.195	0.19	4375.939 Fe I(2)4375.932(9)	
4376.570	19.1	0.088	0.20	4376.784 Fe I(471,904)4376.782((1));Cr I(304)4376.803(25)	
4377.170	17.5	0.052	0.32	4377.384 Fe I(990)4377.330((1))	
4377.530	11.1	0.054	0.19	4377.744 Fe I(645)4377.796(1);Mn II(I)4377.74(Sc);Mo II(3)4377.752(100Z)	
4379.349	6.4	0.032	0.19	4379.563	
4379.521	12.6	0.057	0.21	4379.735 Zr II(88)4379.78(9);Mn II(I)4379.673(80)	
4380.301	16.5	0.053	0.29	4380.516 Cr I(130)4380.552(10)	
4380.550	10.1	0.058	0.16	4380.765	
4380.891	12.8	0.053	0.23	4381.106 Cr I(64)4381.113(35)	
4382.294	10.8	0.061	0.17	4382.509 Cr I(K)4382.540(5);Cr I(I)4382.47(2)	
4382.558	30.6	0.128	0.22	4382.773 Fe I(799a)4382.777((2))	
4383.333	120.8	0.467	0.24	4383.548 Fe I(41)4383.547(45r)	
4383.875	31.9	0.123	0.24	4384.090 (Fe I(1101)4384.13(p));Fe II(D)4384.081(p)	
4384.109	50.5	0.254	0.19	4384.324 Fe II(32)4384.330(p)	
4384.448	36.8	0.156	0.22	4384.663 Fe I(474)4384.682((1));Mg II(10)4384.643(8)	
4384.751	36.9	0.157	0.22	4384.966 Cr I(22)4384.974(75)	
4385.161	88.4	0.374	0.22	4385.376 Fe II(27)4385.381(7)	
4385.553	6.6	0.018	0.34	4385.768	
4385.963	8.0	0.041	0.18	4386.178 Mn I(C)4386.176(2h)	
4386.353	13.0	0.066	0.19	4386.568 Fe II(26)4386.57(p);Fe I(899)4386.6((1w))	
4386.646	52.9	0.249	0.20	4386.861 Ti II(104)4386.846(13)	
4387.237	12.4	0.061	0.19	4387.452 Cr I(103)4387.511(30)	
4387.682	23.6	0.128	0.17	4387.897 Fe I(467)4687.897(3)	
4388.198	44.6	0.206	0.20	4388.413 Fe I(830)4388.412(4n)	
4388.491	8.5	0.043	0.18	4388.706	

### 4410 Å Bölgesi

4378.104	2.9	0.029	0.09	4378.319	
4379.470	21.4	0.068	0.30	4379.686 Zr II(88)4379.78(9);Mn II(I)4379.673(80)	
4380.281	13.9	0.074	0.18	4380.497 Cr I(130)4380.552(10)	
4380.537	15.5	0.092	0.16	4380.753	
4380.900	12.7	0.081	0.15	4381.116 Cr I(64)4381.113(35)	
4382.297	11.7	0.097	0.11	4382.513 Cr I(K)4382.540(5);Cr I(I)4382.47(2)	
4382.562	31.2	0.162	0.18	4382.778 Fe I(799a)4382.777((2))	
4383.108	3.3	0.023	0.14	4383.324	
4383.331	109.9	0.522	0.20	4383.547 Fe I(41)4383.547(45r)	
4383.553	6.8	0.032	0.20	4383.769	
4383.872	22.6	0.143	0.15	4384.088 (Fe I(1101)4384.13(p));Fe II(D)4384.081(p)	
4384.102	54.6	0.319	0.16	4384.318 Fe II(32)4384.330(p)	
4384.447	39.0	0.189	0.19	4384.663 Fe I(474)4384.682((1));Mg II(10)4384.643(8)	
4384.756	38.0	0.203	0.18	4384.972 Cr I(22)4384.974(75)	
4385.163	92.2	0.442	0.20	4385.379 Fe II(27)4385.381(7)	
4385.446	3.9	0.024	0.15	4385.662	
4385.964	10.6	0.058	0.17	4386.180 Mn I(C)4386.176(2h)	
4386.356	15.6	0.096	0.15	4386.572 Fe II(26)4386.57(p);Fe I(899)4386.6((1w))	
4386.645	54.1	0.322	0.16	4386.861 Ti II(104)4386.846(13)	
4387.253	13.8	0.080	0.16	4387.469 Cr I(103)4387.511(30)	
4387.677	23.9	0.159	0.14	4387.893 Fe I(476)4387.897(3)	
4388.198	47.2	0.259	0.17	4388.414 Fe I(830)4388.412(4n)	
4388.503	8.8	0.056	0.15	4388.719	
4389.045	8.3	0.059	0.13	4389.261 Fe I(2)4389.244(2)	
4390.349	40.1	0.182	0.21	4390.565 Mg II(10)4390.585(10)	
4390.788	65.7	0.339	0.18	4391.004 Ti II(61)4391.043(10);Cr I(K)4391.073(10)	
4391.572	37.6	0.198	0.18	4391.788 Cr I(22)4391.755(40)	
4392.352	8.0	0.056	0.13	4392.568 Fe I(973)4392.580((1))	
4393.097	22.5	0.081	0.26	4393.313 Mn II(I)4393.385(60)	
4393.325	2.6	0.023	0.10	4393.542 Cr I(102)4393.536(12)	
4393.847	62.4	0.336	0.17	4394.063 Ti II(51)4394.018(2);Fe I(-)4394.098(1)	
4394.821	98.5	0.497	0.19	4395.037 Ti II(19)4395.004(19)	
4395.052	13.8	0.087	0.15	4395.268 Fe I(828)4695.288((2))	
4395.272	17.2	0.076	0.21	4395.488 Fe I(991,992)4395.514(1w)	
4395.625	52.1	0.309	0.16	4395.841 Ti II(61)4395.833(11)	
4397.019	7.8	0.048	0.15	4397.235 Cr I(129)4397.243(30)	
4397.748	13.4	0.067	0.19	4397.964 Y II(5)4398.008(5048)	
4398.076	24.1	0.144	0.16	4398.292 Ti II(61)4398.251(4)	
4398.647	5.6	0.031	0.17	4398.864	
4399.559	78.8	0.437	0.17	4399.776 Ti II(51)4399.786(15)	
4400.168	28.0	0.139	0.19	4400.385 Sc II(14)4400.355(30)	
4400.455	16.0	0.091	0.17	4400.672 Ti II(93)4400.630(p)	
4400.800	21.7	0.117	0.17	4401.017	
4401.070	29.8	0.194	0.14	4401.287 Fe I(828)4401.293(5))	
4401.279	35.7	0.151	0.22	4401.496 Fe I(350)4401.447((2));Ni I(86)4401.547(30)	
4402.658	29.6	0.174	0.16	4402.875 Fe II(J)4402.875(2)	
4402.941	32.3	0.124	0.24	4403.158	

## Ek 2- HD 204411 (=HR 8216) Çizgi Tanısı

Gözlenen Dalgaboyu	$W_\lambda$ (mA)	Derinlik	Genişlik	Hesaplanan Dalgaboyu	Tanı ve Laboratuvar Dalgaboyu
4403.245	26.7	0.123	0.20	4403.462 Cr I(K)4403.513(40);Mn II(I)4403.505(50);Zr II(29)4403.35(6)	
4403.801	2.9	0.018	0.15	4404.018 (Fe I(987)4404.10(p))	
4404.532	90.2	0.468	0.18	4404.749 Fe I(41)4404.752(30)	
4404.766	2.4	0.019	0.12	4404.983 Co I(127)4404.932(3)	
4405.391	3.4	0.022	0.14	4405.608 Ti I(78)4405.680(130)	
4406.140	9.2	0.044	0.20	4406.357 (Cr I(152)4406.272(18))	
4406.476	14.9	0.050	0.28	4406.693 Cr I(K)4406.67(20)	
4407.489	56.9	0.308	0.17	4407.706 Fe I(68)4407.714(5);Cr I(K)4407.70(40d)	
4408.192	35.9	0.226	0.15	4408.409 Fe I(68)4408.419(6)	
4408.553	3.8	0.026	0.14	4408.771 (Pr II(4)4408.82(1700))	
4408.996	23.8	0.138	0.16	4409.213 Ti II(61)4409.244(5)	
4409.302	34.3	0.216	0.15	4409.519 Ti II(61)4409.514(8)	
4410.044	9.5	0.065	0.14	4410.261 (Cr I(129)4410.306(40))	
4410.852	54.9	0.323	0.16	4411.069 Ti II(115)4411.096(14)	
4411.203	3.4	0.031	0.10	4411.420	
4411.715	32.6	0.195	0.16	4411.932 Ti II(61)4411.922(5);Fe I(-)4411.914(2n)	
4412.050	11.1	0.054	0.19	4412.267	
4412.762	4.3	0.012	0.32	4412.979	
4413.377	36.2	0.224	0.15	4413.594 Fe II(32)4413.600(0)	
4413.634	20.2	0.120	0.16	4413.851 Cr I(234)4413.86(40)	
4413.840	5.7	0.033	0.16	4414.057 Fe I(825)4414.030(p)	
4414.018	2.3	0.021	0.10	4414.235 Fe I(475)4414.230(p)	
4414.247	4.6	0.025	0.17	4414.464 Fe I(643)4414.470(p);Zr II(29)4414.84(5)	
4414.628	33.8	0.114	0.28	4414.845 Mn I(22)4414.887(40)	
4414.909	73.9	0.414	0.17	4415.126 Fe I(41)4415.125(30)	
4415.330	18.6	0.110	0.16	4415.547 Sc II(14)4415.559(20)	
4416.183	7.4	0.019	0.36	4416.400 Ti I(161)4416.530(150);Fe I(-)4416.423(1)	
4416.604	82.7	0.431	0.18	4416.821 Fe II(27)4416.817(7)	
4417.502	74.8	0.424	0.17	4417.719 Ti II(40)4417.715(17)	
4418.123	51.7	0.301	0.16	4418.340 Ti II(51)4418.306(11)	
4419.397	2.8	0.035	0.07	4419.615 (Fe III(4)4419.59(10))	
4419.522	4.1	0.031	0.12	4419.740 Fe I(644)4419.790(0)	
4420.059	12.1	0.078	0.15	4420.277 Fe I(K)4420.266(2n)	
4420.743	4.4	0.030	0.14	4420.961 Cr I(K)4420.963(10)	
4421.343	2.9	0.021	0.13	4421.561	
4421.741	50.7	0.263	0.18	4421.959 Ti II(93)4421.949(1)	
4422.333	72.3	0.302	0.23	4422.551 Fe I(350)4422.570(6);Y II(5)4422.583(2498)	
4422.737	30.8	0.132	0.22	4422.955 Fe I(646)4422.882((ln));Cr I(K)4422.07(8w)	
4423.016	46.2	0.201	0.22	4423.234 Ti II(61)4423.22(p)	
4423.622	17.1	0.107	0.15	4423.840 Fe I(830)4423.858(21)	
4423.875	10.4	0.050	0.20	4424.093 Cr I(82)4424.075(10)	
4424.054	16.3	0.110	0.14	4424.272 Cr I(129)4424.293(40);Sm II(45)4424.34(600)	
4424.334	2.2	0.030	0.07	4424.552 (Ti I(243)4424.384(52))	
4424.958	3.9	0.022	0.17	4425.176 (Cr I(152)4425.133(12))	
4425.218	49.9	0.290	0.16	4425.436 Ca I(4)4425.441(50)	
4425.453	7.9	0.043	0.17	4425.671 Fe I(798)4425.662((1))	
4426.886	11.2	0.068	0.16	4427.104 Ti I(128)4427.098(2900)	
4427.085	43.9	0.264	0.16	4427.303 Fe I(2)4427.312(10)	
4427.277	3.2	0.023	0.13	4427.495	
4427.458	3.5	0.021	0.15	4427.676	
4427.721	25.4	0.103	0.23	4427.939 Mg II(9)4427.995(7)	
4428.289	20.3	0.087	0.22	4428.507 Cr I(129)4428.52(35)	
4429.848	49.2	0.171	0.27	4430.066 Ti I(267)4430.017(47)	
4430.022	4.9	0.030	0.15	4430.240 Cr I(K)4430.24(10wh)	
4430.218	23.2	0.151	0.14	4430.436 Cr I(234)4430.480(30)	
4430.392	42.6	0.227	0.18	4430.610 Fe I(68)4430.618(6)	
4430.564	10.5	0.057	0.17	4430.782	
4431.104	2.6	0.020	0.12	4431.322 Ti I(218)4431.276(91);(Sc II(14)4431.368(3))	
4431.375	20.9	0.125	0.16	4431.593 Co I(143)4431.608(3)	
4431.616	18.9	0.098	0.18	4431.834 (Mn I(40)4431.922((1));Fe I(K)4431.799(1n))	
4431.913	33.8	0.187	0.17	4432.131 Cr I(81)4432.160(40);Ti II(51)4432.089(Tr)	
4432.352	14.3	0.094	0.14	4432.570 Fe I(797)4432.572((3))	
4433.000	43.1	0.245	0.17	4433.218 Fe I(830)4433.223(3n)	
4433.285	6.6	0.038	0.16	4433.503 Mo II(3)4433.49(100Z)	
4433.571	24.1	0.157	0.14	4433.789 Fe I(825)4433.793((3n))	
4433.780	20.9	0.126	0.16	4433.998 Mg II(9)4433.991(8);Cr I(128)4433.969(20)	
4434.230	8.3	0.046	0.17	4434.448	
4434.733	57.6	0.351	0.15	4434.951 Ca I(4434.960(60r))	
4434.973	22.5	0.088	0.24	4435.191 Fe I(2)4435.151(2)	
4435.460	47.7	0.274	0.16	4435.678 Ca I(4)4435.688(40)	
4435.845	9.6	0.063	0.14	4436.063 Mn I(40)4436.061(6h)	
4436.156	15.7	0.070	0.21	4436.374 Mn I(22)4436.358(80)	
4436.719	16.7	0.106	0.15	4436.938 Fe I(516)4436.931((2));Ni I(86)4436.981(5)	
4438.009	3.7	0.016	0.22	4438.227 (Ti I(218)4438.221(48))	
4438.129	12.0	0.088	0.13	4438.347 Fe I(828)4438.353((2))	
4438.926	9.5	0.048	0.19	4439.145 Fe II(32)4439.130(p)	
4439.657	6.1	0.035	0.16	4439.876 Fe I(116)4439.883((2))	
4440.231	16.5	0.098	0.16	4440.450 Zr II(79)4440.45(10);Fe I(829)4440.479((1))	
4440.573	16.3	0.100	0.15	4440.792 Fe I(992)4440.840((1))	
4440.846	22.1	0.079	0.26	4441.065 Fe I(645)4440.972((2))	
4441.517	39.3	0.236	0.16	4441.736 Ti II(40)4441.731(10)	
4442.126	48.9	0.297	0.15	4442.345 Fe I(68)4442.343(12)	
4442.644	11.1	0.054	0.19	4442.863 Fe I(69)4442.835((2));(Zr II(88)4442.99(25))	
4442.973	42.8	0.253	0.16	4443.192 Fe I(350)4443.197(7)	

## Ek 2- HD 204411 (=HR 8216) Çizgi Tanısı

Gözlenen Dalgaboyu	$W_{\lambda}$ (mA)	Derinlik	Genişlik	Hesaplanan Dalgaboyu	Tam ve Laboratuvar Dalgaboyu
<b>4465 Å Bölgesi</b>					
4435.464	51.7	0.303	0.16	4435.686 Ca I(4)4435.688(40)	
4435.852	10.0	0.062	0.15	4436.074 Mn I(40)4436.061(6h)	
4436.159	13.7	0.074	0.17	4436.381 Mn I(22)4436.358(80)	
4436.388	3.6	0.015	0.23	4436.610 (Ti I(160)4436.586(4))	
4436.723	17.0	0.110	0.14	4436.945 Fe I(516)4436.931((2));Ni I(86)4436.981(5)	
4438.122	15.3	0.093	0.16	4438.344 Fe I(828)4438.353((2))	
4438.920	9.8	0.051	0.18	4439.142 Fe II(32)4439.130(p)	
4439.438	4.2	0.021	0.19	4439.660 Fe I(515)4439.643((1))	
4439.666	6.6	0.047	0.13	4439.888 Fe I(116)4439.883(2)	
4440.229	18.5	0.108	0.16	4440.451 Zr II(79)4440.45(10);Fe I(829)4440.479((1))	
4440.587	18.2	0.108	0.16	4440.809 Fe I(992)4440.840((1))	
4440.852	19.7	0.084	0.22	4441.074 Fe I(645)4440.972((2))	
4441.295	4.4	0.022	0.19	4441.517 (Fe I(987)4441.560(p))	
4441.515	45.8	0.270	0.16	4441.737 Ti II(40)4441.731(10)	
4441.787	5.5	0.024	0.22	4442.009 Mn II(I)4441.991(30)	
4442.119	56.2	0.333	0.16	4442.341 Fe I(68)4442.343(12)	
4442.255	5.6	0.028	0.19	4442.477 Ni I(87)4442.441(4)	
4442.642	14.1	0.075	0.18	4442.864 Fe I(69)4442.835(2);(Zr II(88)4442.99(25))	
4442.978	45.4	0.269	0.16	4443.200 Fe I(350)4443.197(7)	
4443.582	110.5	0.545	0.19	4443.804 Ti II(19)4443.775(16);Fe I(213)4443.885(1)	
4444.079	11.7	0.073	0.15	4444.301 (Ti I(218)4444.258(53))	
4444.336	51.3	0.319	0.15	4444.558 Fe II(201)4444.563(1);Ti II(31)4444.536(10)	
4444.780	2.8	0.021	0.13	4445.002	
4445.049	10.0	0.052	0.18	4445.271 Fe II(9)4445.260(p)	
4446.033	23.7	0.158	0.14	4446.255 Fe II(187)4446.248(1n)	
4446.623	22.2	0.145	0.14	4446.845 Fe I(828)4446.842((2))	
4446.924	13.4	0.084	0.15	4447.146 Fe I(69)4447.134((2))	
4447.266	4.1	0.037	0.10	4447.488	
4447.519	66.0	0.331	0.19	4447.741 Fe I(68)4447.722(9)	
4448.322	10.3	0.062	0.16	4448.544	
4448.940	10.4	0.053	0.18	4449.162 Ti I(160)4449.143(2200);Fe I(891)4448.970(p)	
4449.115	3.9	0.021	0.17	4449.337	
4449.396	24.1	0.155	0.15	4449.618 Fe II(222)4449.663(1n)	
4450.095	32.9	0.163	0.19	4450.317 Fe I(476)4450.320(3)	
4450.269	68.0	0.408	0.16	4450.491 Ti II(19)4450.503(15)	
4450.479	3.2	0.026	0.12	4450.701	
4450.643	7.6	0.042	0.17	4450.865 Ti I(160)4440.894(1600)	
4451.342	61.7	0.346	0.17	4451.564 Mn I(22)4451.575(100);Fe II(J)4451.545(4)	
4451.774	8.8	0.049	0.17	4451.996	
4452.389	5.6	0.036	0.14	4452.611 Fe I(969)4452.616(1n)	
4452.797	6.5	0.043	0.14	4453.019 Mn I(22)4453.013(50)	
4452.970	8.8	0.070	0.12	4453.193	
4453.091	22.8	0.124	0.17	4453.313 Ti I(113)4453.312(1400);V II(199)4453.342(50); Fe I(555)4453.325(2)	
4453.508	4.4	0.026	0.16	4453.730	
4454.167	37.7	0.230	0.15	4454.390 Fe I(350)4454.383(5)	
4454.556	83.4	0.431	0.18	4454.779 Ca I(4)4454.781(80);Zr II(40)4454.80(10)	
4454.808	31.2	0.203	0.14	4455.031 Fe I(974)4455.032((2))	
4455.058	50.2	0.293	0.16	4455.281 Fe II(J)4455.258(3);Ti I(113)4455.317(1900); Mn I(28)4455.320(25)	
4455.659	61.5	0.335	0.17	4455.882 Ca I(4)4455.887(40);Mn I(28)4455.820(25)	
4456.112	15.5	0.067	0.22	4456.334 Fe I(516)4456.331(1))	
4456.434	42.3	0.227	0.18	4456.657 Ti II(115)4456.632(8);Fe I(973)4456.63(p);Ca I(4)4456.612(10)	
4456.661	6.6	0.039	0.16	4456.884 Cr II(16)4456.840(p)	
4456.718	12.5	0.041	0.28	4456.940 Mn I(28)4452.045(5)	
4457.128	5.1	0.046	0.10	4457.352 Zr II(79)4457.42(8)	
4457.301	20.3	0.105	0.18	4457.523 Mn I(28)4457.553(20)	
4457.874	30.1	0.159	0.18	4458.097 Fe I(992)4458.101(3)	
4458.045	13.4	0.101	0.12	4458.268 Mn I(28)4458.263(25)	
4458.317	27.6	0.178	0.15	4458.540 Cr I(127)4458.537(45)	
4458.891	64.8	0.336	0.18	4459.114 Fe I(68)4459.121(10)	
4459.148	31.2	0.199	0.15	4459.371 Cr I(63)4459.37(18w)	
4459.514	15.6	0.100	0.15	4459.737 Cr I(127)4459.75(25)	
4460.044	4.6	0.016	0.27	4460.267	
4460.202	2.3	0.017	0.13	4460.425 Mn I(28)4460.337(3)	
4460.576	7.4	0.049	0.14	4460.799 Cr I(63)4460.763(18)	
4460.704	4.3	0.027	0.15	4460.927 Mn I(28)4461.089(30)	
4460.924	31.4	0.107	0.28	4461.146 Fe I(471)4461.205((2));Zr II(67)4461.22(10)	
4461.210	38.7	0.243	0.15	4461.433 (Fe II(26)4461.430(p))	
4461.463	59.1	0.324	0.17	4461.686 Fe I(2)4461.654(8);Fe II(D)4461.71(p)	
4461.783	56.0	0.313	0.17	4462.006 Mn I(28)4462.033(150)Fe I(471,825,902)4461.989((4))	
4461.990	3.1	0.035	0.08	4462.213 Fe I(824)4462.20(p)	
4462.217	8.0	0.036	0.21	4462.439 Ni I(86)4462.460(10)	
4462.525	7.4	0.039	0.18	4462.748 Ti I(F)4462.746(10)	
4463.196	11.0	0.066	0.16	4463.419 Ni I(102)4463.422((3))	
4464.232	62.3	0.356	0.16	4464.455 Ti II(40)4464.461(11)	
4464.491	37.1	0.184	0.19	4464.714 Mn I(22)4464.679(80);Fe I(472)4464.773((2))	
4464.698	12.6	0.057	0.21	4464.921 Cr I(127)4464.925(25)	
4464.927	15.2	0.092	0.16	4465.150 Cr I(267)4465.16(20)	
4465.138	14.6	0.088	0.16	4465.361 Cr I(127)4465.367(35)	

## Ek 2- HD 204411 (=HR 8216) Çizgi Tanısı

Gözlenen Dalgalıboyu	$W_{\lambda}$ (mÅ)	Derinlik	Genişlik	Hesaplanan Dalgalıboyu	Tanı ve Laboratuvar Dalgalıboyu
4465.536	34.8	0.213	0.15	4465.759 Cr II(191)4465.77(5);Ti I(146)4465.807(20)	
4465.953	3.3	0.024	0.13	4466.176 Cr I(127)4466.17(25)	
4466.344	70.5	0.345	0.19	4466.567 Fe I(350)4466.554(12);Fe I(2)4466.57(p)	
4466.713	18.7	0.107	0.16	4466.936 Fe I(992)4466.939((2))	
4467.338	3.3	0.026	0.12	4467.561 Cr I(127)4467.567(30)	
4467.709	9.7	0.059	0.16	4467.932	
4468.018	2.1	0.013	0.15	4468.241 Cr I(127)4468.376(7)	
4468.277	103.5	0.547	0.18	4468.500 Ti II(31)4468.517(19);Fe I(-)4468.452(0)	
4468.930	37.4	0.225	0.16	4469.153 Ti II(18)4469.116(6)	
4469.158	55.1	0.315	0.16	4469.381 Fe I(830)4469.381(5n)	
4469.378	11.2	0.058	0.18	4469.601 Co I(150)4469.547(15)	
4469.924	5.6	0.047	0.11	4470.147 Mn I(22)4470.142(60)	
4470.256	11.5	0.079	0.14	4470.479 Ni I(86)4470.483(15)	
4470.632	4.8	0.294	0.16	4470.855 Ti II(40)4470.835(11)	
4471.029	16.3	0.086	0.18	4471.252 Ti I(146)4471.236(640)	
4471.482	3.7	0.017	0.20	4471.705 Fe I(2)4471.680((1))	
4471.844	11.6	0.069	0.16	4472.067 Fe I(972)4471.810((1))	
4472.039	4.8	0.037	0.12	4472.262 Fe I(39)4472.520(0)	
4472.455	25.1	0.124	0.19	4472.679 Fe I(411)4472.570(p);Fe I(595,900)4472.721((2))	
4472.541	3.3	0.034	0.09	4472.765 Mn I(22)4472.793(100)	
4472.702	56.1	0.322	0.16	4472.926 Fe II(37)4472.921(2)	
4473.572	8.5	0.049	0.17	4473.795 Cr I(63)4473.78(40)	
4473.969	25.0	0.116	0.20	4474.193 Fe II(171)4474.194(On)	
4474.343	10.2	0.060	0.16	4474.566	
4474.558	10.4	0.056	0.18	4474.782 Ti I(113,184)4474.851(210);Fe I(1047)4474.722(1)	
4474.899	0.8	0.021	0.04	4475.123 Cr I(95)4475.36(50)	
4475.090	10.0	0.064	0.15	4475.313 Ti I(184)4475.171(14)	
4475.828	88.5	0.434	0.19	4476.052 Fe I(350)4476.021(10);Fe I(830)4476.082((4))	
4476.853	3.8	0.029	0.12	4477.077 Cr I(63)4477.05(35w)	
4477.813	2.2	0.015	0.14	4478.037 Fe I(69)4478.040((1))	
4478.407	16.2	0.093	0.16	4478.631 Mn II(I)4478.644(100)	
4479.161	6.1	0.044	0.13	4479.385 (Mn I(C)4479.399(10s))	
4479.384	25.1	0.139	0.17	4479.607 Fe I(828,848)4479.612((3))	
4479.741	19.7	0.109	0.17	4479.965 (Fe I(974)4479.970(p))	
4479.909	11.8	0.083	0.13	4480.133 Fe I(515)4480.142((3))	
4480.036	17.2	0.081	0.20	4480.260 Cr I(197)4480.27(30)	
4480.480	43.7	0.198	0.21	4480.704 Fe II(J)4480.687(1)	
4480.656	17.2	0.093	0.17	4480.879 Fe I(893)4481.04(p)	
4480.905	147.9	0.683	0.20	4481.128 Mg II(4)4481.129(100)	
4481.112	138.5	0.656	0.20	4481.335 Mg II(4)4481.327(100)	
4481.388	33.2	0.155	0.20	4481.612 Fe I(827)4481.621((2))	
4482.004	71.6	0.345	0.19	4482.228 Fe I(68)4482.257(6)	
4482.258	2.4	0.019	0.12	4482.482 Ti II(30)4482.40(p);Fe I(2)4482.171(4)	
4482.521	27.3	0.150	0.17	4482.745 Fe I(828)4482.750((2));(Ti I(113)4482.687(220))	
4482.668	10.6	0.072	0.14	4482.892 Cr I(197)4482.878(40)	
4483.602	2.4	0.018	0.13	4483.826 Fe I(898)4483.780(0)	
4484.002	41.9	0.252	0.16	4484.226 Fe I(828)4484.227(4)	
4484.448	2.2	0.015	0.14	4484.672 Cr I(151)4484.683(8)	
4485.459	32.1	0.193	0.16	4485.683 Fe I(830)4485.679((2))	
4485.749	5.5	0.037	0.14	4485.973 Fe I(825)4485.970(p)	
4486.689	5.7	0.019	0.28	4486.913	
4487.055	7.6	0.038	0.19	4487.279 Fe I(824)4487.360(p)	
4487.272	21.0	0.126	0.16	4487.496 Fe II(D)4487.53(p)	
4487.601	7.6	0.039	0.18	4487.825	
4487.880	28.9	0.146	0.19	4488.104 Fe I(819)4488.140((2n))	
4488.096	60.2	0.342	0.17	4488.320 Ti II(115)4488.342(17)	
4488.431	18.0	0.023	0.75	4488.655	
4488.683	10.9	0.074	0.14	4488.907 Fe I(213,827)4488.917((2))	
4488.937	117.8	0.521	0.21	(Ti I(146)4489.087(590));Fe II(37)4489.185(4);Cr II(K)4489.14(2)	
4489.229	30.2	0.136	0.21	4489.453 Cr I(K)4489.47(5w)	
4489.527	13.4	0.083	0.15	4489.751 Fe I(2)4489.741(3)	
4489.863	25.2	0.162	0.15	4490.087 Fe I(469)4490.084((2));Mn I(22)4490.078(30)	
4490.373	8.3	0.057	0.14	4490.597 (Ni I(134,235)4490.541((3)));Cr I(K)4490.55(8wl)	
4490.550	33.2	0.184	0.17	4490.774 Fe I(974,974)4490.773((2n))	
4491.181	81.9	0.436	0.18	4491.405 Fe II(37)4491.401(5)	
4491.450	13.6	0.084	0.15	4491.674 Cr I(95)4491.678(30)	
4491.636	5.6	0.042	0.12	4491.860 Cr I(83)4491.858(35)	
4492.093	17.7	0.115	0.14	4492.317 Cr I(197)4492.31(40)	
4492.458	9.5	0.065	0.14	4492.683 Fe I(969)4492.693((ln))	
4493.301	41.0	0.238	0.16	4493.525 Ti II(18)4493.529(5);Fe II(222)4493.579(ln)	
4493.794	21.4	0.085	0.24	4494.019 (Fe I(973)4494.05(p))	
4494.345	59.8	0.325	0.17	4494.570 Fe I(68)4494.568(12)	
4495.038	2.4	0.029	0.08	4495.263 (Cr I(275)4495.282(12))	
4495.211	16.9	0.066	0.24	4495.436 (Zr II(79)4495.440(3));Ti II(40)4495.460(p)	
4495.398	8.6	0.039	0.21	4495.623 (Fe I(827)4495.566((1)))	
4495.730	13.1	0.085	0.15	4495.955 Fe I(825)4495.986((1))	
4495.936	6.4	0.025	0.24	4496.161 Ti I(146)4496.145(610)	
4496.649	51.7	0.300	0.16	4496.874 Cr I(10)4496.85(100)	
4497.656	5.2	0.020	0.25	4497.880	
4498.523	17.6	0.105	0.16	4498.748 Cr I(81)4498.727(35)	
4498.705	10.3	0.066	0.15	4498.930 Mn I(22)4498.897(7)	
4498.924	24.1	0.136	0.17	4499.148	
4499.086	5.2	0.045	0.11	4499.311	

## Ek 2- HD 204411 (=HR 8216) Çizgi Tanısı

Gözlenen Dalğaboyu	$W_\lambda$ (mÅ)	Derinlik	Genişlik	Hesaplanan Dalğaboyu	Tanı ve Laboratuvar Dalğaboyu
4499.477 20.8 0.136 0.14 4499.702 Fe II(J) 4499.709(0)					
<b>4520 Å Bölgesi</b>					
{ 4487.914 30.2 0.124 0.23 4488.134 Fe I(819) 4488.140((2n)) 4488.104 54.4 0.320 0.16 4488.324 Ti II(115) 4488.342(17) 4488.740 22.1 0.092 0.23 4488.961 Fe I(213,827) 4488.917((2)) 4488.945 103.3 0.513 0.19 4489.166 Fe II(37) 4489.185(4); Cr II(K) 4489.14(2); (Ti I(146) 4489.087(590)) 4489.208 26.1 0.105 0.23 4489.429 Cr I(K) 4489.47(5w) 4489.525 10.5 0.069 0.14 4489.746 Fe I(2) 4489.741(3) 4489.866 25.4 0.155 0.15 4490.087 Mn I(22) 4490.078(30); Fe I(469) 4490.084((2)) 4490.367 8.9 0.047 0.18 4490.588 (Ni I(134,325) 4490.541((3)); Cr I(K) 4490.55(8wl) 4490.555 31.6 0.176 0.17 4490.776 Fe I(974,974) 4490.773((2n)) 4491.182 82.8 0.438 0.18 4491.403 Fe II(37) 4491.401(5) 4492.108 17.2 0.105 0.15 4492.329 Cr I(197) 4492.31(40) 4492.424 7.2 0.060 0.11 4492.645 Fe I(969) 4492.693((1n)) 4493.294 43.4 0.231 0.18 4493.515 Ti II(18) 4493.529(5); Fe II(222) 4493.579(1n) 4493.793 22.2 0.091 0.23 4494.014 (Fe I(973) 4494.05(p)) 4494.349 52.3 0.316 0.16 4494.570 Fe I(68) 4494.568(12) 4494.514 1.6 0.022 0.07 4494.735 Co I(168) 4494.746(2) 4494.985 2.7 0.020 0.13 4495.206 (Cr I(275) 4495.282(12)) 4495.131 9.1 0.048 0.18 4495.352 Fe I(319,970) 4495.386((1)) 4495.266 13.8 0.063 0.21 4495.487 Ti II(40) 4495.460(p); (Zr II(79) 4495.440(3)) 4495.403 2.1 0.022 0.09 4495.624 (Fe I(827) 4495.566((1))) 4495.507 1.3 0.014 0.09 4495.728 4495.742 14.4 0.079 0.17 4495.963 Fe I(825) 4495.986((1)) 4495.957 2.1 0.028 0.07 4496.178 Ti I(146) 4496.145(610) 4496.644 52.2 0.270 0.18 4496.865 Cr I(10) 4496.862(100); Zr II(40) 4496.960(15) 4497.684 6.1 0.023 0.25 4497.905 4498.557 24.6 0.086 0.27 4498.778 Cr I(81) 4498.727(35) 4498.934 29.1 0.128 0.21 4499.155 4499.467 20.9 0.129 0.15 4499.688 Fe II(J) 4499.709(0) 4500.089 34.2 0.184 0.17 4500.310 Cr I(K) 4500.290(40) 4500.377 8.9 0.044 0.19 4500.598 (Fe I(K) 4500.652(1n)); Ti I(F) 4500.593(11) 4500.881 34.0 0.159 0.20 4501.102 Cr I(61) 4501.10(35) 4501.054 96.5 0.525 0.17 4501.275 Ti II(31) 4501.269(15) 4501.495 9.2 0.062 0.14 4501.716 Cr I(81) 4501.788(25) 4501.608 3.1 0.034 0.09 4501.829 4502.004 10.3 0.054 0.18 4502.225 Mn I(22) 4502.223(30) 4502.348 8.1 0.035 0.22 4502.569 Fe I(796) 4502.592((1)) 4502.738 1.4 0.013 0.10 4502.959 (Cr I(310) 4503.05(12)) 4502.905 5.1 0.033 0.15 4503.126 4503.355 4.6 0.023 0.18 4503.576 Mo II(K) 4503.56(4) 4504.126 9.7 0.059 0.16 4504.347 (Fe I(988) 4504.230(p)) 4504.354 15.7 0.068 0.22 4504.575 Cr II(16) 4504.520(p) 4504.594 12.3 0.066 0.18 4504.815 Fe I(555) 4504.838((2)) 4506.567 23.4 0.091 0.24 4506.788 Ti II(30) 4506.74(p) 4506.915 47.3 0.204 0.22 4507.136 Cr II(16) 4507.190(p); Fe II(213) 4507.195(on) 4507.572 5.3 0.026 0.19 4507.793 Ca I(24) 4507.854(1) 4508.062 101.6 0.498 0.19 4508.283 Fe II((38) 4508.283(8) 4508.451 5.2 0.025 0.19 4508.672 Cr I(K) 4508.758(5) 4509.087 4.2 0.020 0.20 4509.309 Fe I(514,937) 4509.306((1)) 4509.520 16.4 0.091 0.17 4509.742 Fe I(-) 4509.804(2n) 4509.777 5.4 0.028 0.18 4509.999 4510.298 8.3 0.053 0.15 4510.520 4511.596 42.2 0.208 0.19 4511.818 Cr II(191) 4511.820(p) 4511.789 23.3 0.102 0.22 4512.011 Fe II(G) 4512.66(p) 4512.092 9.1 0.062 0.14 4512.313 Ca I(24) 4512.282(5) 4512.470 2.1 0.023 0.09 4512.692 V II(212) 4512.713(80) 4512.846 2.3 0.017 0.13 4513.068 Cr I(K) 4513.025(3) 4513.229 6.8 0.028 0.23 4513.451 4513.976 17.3 0.094 0.17 4514.198 Fe I(514) 4514.189((2)) 4514.228 43.4 0.206 0.20 4514.450 4514.965 13.2 0.064 0.19 4515.187 Fe II(20) 4515.190(p) 4515.124 88.9 0.475 0.18 4515.346 Fe II(37) 4515.337(7) 4515.380 25.1 0.149 0.16 4515.602 (Ti I(184) 4515.613(21a)) 4515.605 19.3 0.115 0.16 4515.827 Cr II(K) 4515.83(4) 4515.777 5.4 0.018 0.28 4515.999 Fe I(639) 4516.08(p) 4516.407 10.0 0.074 0.13 4516.629 (Cr II(191) 4516.560(p)) 4516.515 6.6 0.051 0.12 4516.737 4516.939 12.2 0.068 0.17 4517.161 Co I(150) 4517.094(4) 4517.325 20.8 0.119 0.16 4517.547 Fe I(472) 4517.530((2)) 4517.803 2.9 0.029 0.09 4518.025 Ti I(42) 4518.021(3700) 4518.107 37.7 0.208 0.17 4518.329 Ti II(18) 4518.348(6) 4518.745 8.0 0.041 0.18 4518.967 Mn II(I) 4518.964(200) 4519.806 8.4 0.029 0.27 4520.028 Mn I(C) 4520.016(1) 4520.006 84.5 0.444 0.18 4520.228 Fe II(37) 4520.225(7); Fe I(471) 4520.240(2) 4520.250 2.7 0.021 0.13 4520.472 (Ti II(30) 4520.37(p)) 4520.910 17.8 0.079 0.21 4521.132 Cr I(277,287) 4521.138(25) 4522.330 29.8 0.036 0.78 4522.552 4522.404 99.4 0.472 0.20 4522.626 Fe II(38) 4522.634(9) 4523.194 17.7 0.101 0.16 4523.416 Fe I(829) 4523.403((2))					

## Ek 2- HD 204411 (=HR 8216) Çizgi Tanısı

Gözlenen Dalgaboyu	$W_\lambda$	Derinlik	Genişlik	Hesaplanan Dalgaboyu	Tam ve Laboratuvar Dalgaboyu
4523.320	5.2	0.030	0.16	4523.542	
4524.229	3.2	0.029	0.10	4524.451	
4524.445	31.8	0.109	0.28	4524.667	Ti II(60)4524.701(6)
4524.717	20.7	0.117	0.17	4524.939	Ba II(3)4524.928(35)
4524.919	67.8	0.325	0.20	4525.141	Fe I(826)4525.142(5n)
4525.120	11.1	0.047	0.22	4525.342	
4525.713	6.6	0.026	0.24	4525.935	Fe I(319)4525.875((1));Ti I(F)4525.935(11a)
4525.882	12.2	0.075	0.15	4526.104	Cr I(196)4526.090(40)
4526.246	86.2	0.325	0.25	4526.468	Cr I(33)4526.458(75)
4526.717	33.2	0.187	0.17	4526.939	Ca I(36)4526.935(30)
4527.166	37.1	0.150	0.23	4527.388	
4527.578	4.4	0.032	0.13	4527.800	Fe I(641)4527.796((1))
4528.394	81.5	0.356	0.21	4528.616	Fe I(68)4528.619(18)
4528.617	9.3	0.064	0.14	4528.840	Fe I(468)4528.820(p)
4529.268	65.3	0.349	0.18	4529.491	Ti II(82)4529.480(9)
4529.431	36.7	0.133	0.26	4529.654	(Fe I(987)4529.562((1))
4529.658	5.0	0.044	0.11	4529.881	Cr I(33)4529.847(25)
4530.313	7.1	0.023	0.29	4530.536	
4530.509	53.4	0.262	0.19	4530.731	Cr I(33)4530.72(100)
4530.730	9.1	0.068	0.13	4530.953	Co I(150)4530.949(30)
4530.927	41.0	0.231	0.17	4531.149	Fe I(39)4531.152(8)
4531.412	18.6	0.097	0.18	4531.635	Fe I(555,847,992)4531.633((2))
4531.629	8.2	0.051	0.15	4531.852	Cr I(275)4531.828(2)
4532.608	4.6	0.020	0.21	4532.831	
4532.782	37.9	0.194	0.18	4533.005	(Cr I(212)4532.75(10))
4532.982	18.6	0.125	0.14	4533.205	
4533.080	3.9	0.049	0.08	4533.303	Ti I(42)4533.239(9200)
4533.524	9.2	0.051	0.17	4533.747	
4533.736	104.1	0.542	0.18	4533.958	Ti II(50)4533.972(15);Co I(150)4533.985(7); Fe I(410)4533.953(1)
4533.941	60.4	0.321	0.18	4534.164	Fe II(37)4534.166(2)
4534.344	1.6	0.015	0.10	4534.567	
4534.533	17.7	0.093	0.18	4534.756	Ti I(42)4534.782(60)
4534.926	20.1	0.092	0.21	4535.148	Cr I(33)4535.14(35)
4535.379	21.2	0.050	0.40	4535.602	Ti I(42)4335.567(6100)
4535.487	42.4	0.194	0.20	4535.703	Cr I(33,276)4535.714'(60)
4535.767	12.0	0.060	0.19	4535.990	Ti I(42)4535.918(4700)
4536.942	2.2	0.018	0.11	4537.165	
4538.599	25.0	0.113	0.21	4538.822	Fe I(969)4538.840((2))
4539.376	59.3	0.313	0.18	4539.599	Cr II(39)4539.61(3)
4539.591	24.4	0.128	0.18	4539.814	Cr I(33)4539.787(30)
4540.273	37.0	0.175	0.20	4540.496	Ti I(8)4540.493(79);Cr I(K)4540.50(50)
4540.499	36.5	0.193	0.18	4540.722	Cr I(150)4540.715(50)
4540.832	22.2	0.112	0.19	4541.055	Cr I(33)4541.066(30)
4541.296	73.6	0.388	0.18	4541.519	Fe II(38)4511.523(4);Cr I(149)4541.513(25)
4542.228	13.8	0.064	0.20	4542.451	Fe I(894)4542.422((2))
4542.500	24.6	0.080	0.29	4542.723	Fe I(827)4542.720((1));Cr I(149,275)4542.621(35)
4543.531	7.4	0.036	0.19	4543.754	Cr I(100)4543.740(20)
4543.785	32.4	0.182	0.17	4544.008	Ti II(60)4544.009(Tr)
4544.432	51.8	0.235	0.21	4544.655	Ti I(42)4544.607(30);Cr I(33)4544.619(50)
4544.936	35.6	0.173	0.19	4545.159	Ti II(30)4544.144(tr)
4545.235	27.1	0.082	0.31	4545.458	Cr II(16)4545.490(p)
4545.741	42.8	0.222	0.18	4545.964	Cr I(10)4545.956(50)
4546.421	18.7	0.086	0.20	4546.644	Fe I(989)4546.680(p)
4546.793	16.6	0.060	0.26	4547.016	Fe I(39)4547.022((2))
4547.056	9.9	0.056	0.17	4547.279	Ni I(146)4547.237(3)
4547.651	40.1	0.213	0.18	4547.874	Fe I(755)4547.851(4)
4548.541	6.7	0.032	0.20	4548.765	Ti I(42)4548.764(35)
4549.008	63.9	0.326	0.18	4549.231	Fe II(186)4549.214(4)
4549.281	142.9	0.602	0.22	4549.504	Fe II(38)4549.467(10)
4549.430	62.9	0.398	0.15	4549.654	Co I(150)4549.658(10)
4549.585	67.4	0.287	0.22	4549.809	Ti II(39)4549.820(p)
4550.393	0.8	0.016	0.05	4550.617	
4550.584	49.5	0.236	0.20	4550.808	
4551.450	10.1	0.050	0.19	4551.674	Fe I(972)4551.667((1))
4551.500	3.0	0.041	0.07	4551.724	
4552.096	38.1	0.164	0.22	4552.320	(Ti II(30)4552.250(p))
4552.353	16.5	0.093	0.17	4552.577	Fe I(-)4552.544((3))
4553.079	5.6	0.033	0.16	4553.303	(Fe I(472)4553.480(p))

### 4575 Å Bölgesi

4541.298	74.1	0.418	0.17	4541.516	Fe II(38)4541.523(4);Cr I(149)4541.506(25)
4542.224	15.1	0.083	0.17	4542.442	Fe I(891)4542.422((2))
4542.473	18.7	0.087	0.20	4542.691	Cr I(149,275)4542.64(35);Fe I(827)4542.720((1))
4543.491	6.0	0.026	0.22	4543.709	Cr I(100)4543.734(20)
4543.783	31.9	0.177	0.17	4544.001	Ti II(60)4544.018(7)
4544.433	52.5	0.254	0.19	4544.651	Cr I(33)4544.619(50);Ti I(42)4544.687(2300)
4544.908	40.4	0.225	0.17	4545.126	Ti II(30)4545.144(tr)
4545.742	44.8	0.239	0.18	4545.960	Cr I(10)4545.946(100)
4546.422	18.5	0.094	0.18	4546.640	Fe I(989)4546.680(p);Cr II(K)4546.63(2)
4546.762	12.7	0.062	0.19	4546.980	Ni I(261)4546.930(5)
4547.023	11.4	0.056	0.19	4547.241	Ni I(146)4547.237(3)
4547.633	38.9	0.236	0.16	4547.851	Fe I(755)4547.851(4)

## Ek 2- HD 204411 (=HR 8216) Çizgi Tanısı

Gözlenen Dalgalıboyu	$W_\lambda$	Derinlik Genişlik	Hesaplanan Dalgalıboyu	Tam ve Laboratuvar Dalgalıboyu
4548.978	51.7	0.325	0.15	4549.196 Fe II(186)4549.214(4)
4549.267	153.4	0.617	0.23	4549.485 Fe II(38)4549.467(10)
4550.558	51.2	0.247	0.20	4550.776
4551.438	6.1	0.035	0.16	4551.656 Fe I(972)4551.667((1))
4552.066	35.9	0.172	0.20	4552.284 (Ti, II(30)4552.250(p))
4552.318	18.1	0.112	0.15	4552.536 Fe I(-)4552.544((3))
4553.048	5.4	0.039	0.13	4553.266 Ni I(135)4553.175((3))
4553.810	73.4	0.423	0.16	4554.028 Ba II(1)4554.033(1000R);Cr I(276)4553.95(18)
4554.271	3.9	0.026	0.14	4554.489 Fe I(319)4554.467((1))
4554.570	7.5	0.032	0.22	4554.788 Cr I(173)4554.830(25)
4554.774	88.9	0.482	0.17	4554.992 Cr II(44)4555.09(30)
4555.670	92.3	0.497	0.17	4555.888 Fe II(37)4555.890(30)
4555.912	55.2	0.306	0.17	4556.130 Fe I(410,820,974)4556.129(4n)
4556.176	18.7	0.105	0.17	4556.394 Fe II(G)4556.39(p)
4556.724	5.4	0.029	0.17	4556.942 Fe I(638)4556.939((1))
4557.064	23.3	0.132	0.17	4557.282 Fe I(-)4557.287(2)
4558.136	34.3	0.075	0.43	4558.354 V II(212)4558.450(30)
4558.429	120.5	0.614	0.18	4558.647 Cr II(44)4558.66(100)
4558.586	45.3	0.270	0.16	4558.804 Cr II(44)4558.830(p)
4559.321	9.4	0.046	0.19	4559.539
4559.874	13.7	0.083	0.15	4560.093 Fe I(823)4560.096((2))
4560.659	5.9	0.043	0.13	4560.878 Fe I(-)4560.892(1)
4561.209	16.7	0.086	0.18	4561.428 Fe I(-)4561.426(2)
4562.923	7.6	0.043	0.17	4563.142
4563.536	98.7	0.537	0.17	4563.755 Ti II(50)4563.770(16)
4564.027	33.8	0.101	0.31	4564.246 (Ti I(112)4564.216(1));Cr II(K)4546.27(2)
4564.444	21.9	0.057	0.36	4564.663 (Fe I(823)4564.715((1));V II(56)4564.588(200)
4565.284	44.9	0.139	0.30	4565.503 Cr I(21)4565.512(50)
4565.518	69.3	0.402	0.16	4565.737 Mn I(52)4565.77(10);Fe I(554)4565.684((1));Cr II(K)4565.77(10)
4566.325	14.4	0.069	0.20	4566.544 Fe I(641)4566.520((2))
4566.664	31.9	0.150	0.20	4566.883 (Fe I(723)4566.990((1)))
4568.085	26.3	0.139	0.18	4568.304 Ti II(60)4568.310(7)
4568.562	18.6	0.069	0.25	4568.781 Fe I(554)4568.789((1))
4569.044	11.8	0.047	0.24	4569.263
4569.375	28.8	0.142	0.19	4569.594 Cr I(173)4569.53(20)
4570.986	31.0	0.105	0.28	4571.205 Cr II(16)4571.240(p)
4571.483	33.5	0.155	0.20	4571.702 Cr I(32)4571.673(40)
4571.753	113.9	0.593	0.18	4571.972 Ti II(82)4571.957(19)
4572.016	10.9	0.040	0.25	4572.235
4572.604	20.5	0.095	0.20	4572.823 Cr II(16)4572.84(2)
4573.404	15.3	0.083	0.17	4573.623 Cr II(16)4573.630(p)
4574.011	8.9	0.044	0.19	4574.230 Fe I(554)4574.240((1))
4574.490	8.4	0.051	0.16	4574.709 Fe I(115)4574.724((2))
4574.905	5.0	0.039	0.12	4575.124 Cr I(196)4575.12(25)
4576.114	73.1	0.411	0.17	4576.333 Fe II(38)4576.331(4)
4577.214	4.4	0.026	0.16	4577.433
4577.605	5.0	0.024	0.19	4577.824 Fe II(54)4577.780(p)
4577.806	4.9	0.040	0.11	4578.025
4578.342	28.9	0.172	0.16	4578.561 Ca I(23)4578.558(30)
4579.147	3.5	0.014	0.23	4579.366 Fe I(319,936)4579.344((1))
4579.310	33.7	0.198	0.16	4579.529 Fe II(J)4579.523(1)
4579.653	16.8	0.059	0.27	4579.872 Fe I(469)4579.825((1))
4579.840	53.1	0.317	0.16	4580.059 Cr I(10)4580.045(75);Fe II(26)4580.055(1)
4580.242	25.8	0.096	0.25	4580.462 Fe I(348)4180.460(p);Ti II(H)4580.449(6)
4580.962	6.8	0.044	0.15	4581.182 Fe I(-)4581.186(1)
4581.227	67.6	0.276	0.23	4581.447 Ca I(23)4581.402(210)
4582.111	17.3	0.082	0.20	4582.331 Fe I(-)4582.297(1n)
4582.611	59.4	0.365	0.15	4582.831 Fe II(37)4582.835(3)
4583.197	29.4	0.141	0.20	4583.417 Ti II(39)4583.408(7)
4583.609	131.7	0.575	0.22	4583.828 Fe II(38)4583.829(11)
4583.795	36.0	0.190	0.18	4584.015 Cr I(172)4584.100(20)
4584.848	7.6	0.032	0.22	4585.068 Cr (212)4585.096(18)
4585.121	8.3	0.046	0.17	4585.341 Fe I(-)4585.337(1)
4585.668	53.4	0.260	0.19	4585.888 Ca I(23,23)4585.871,-.923(50,(2))
4585.979	24.8	0.116	0.20	4586.199 Cr I(172)4686.146(20)
4586.852	4.5	0.052	0.08	4587.072 (Cr I(K)4586.990(8))
4586.964	20.0	0.149	0.13	4587.184 Fe I(795)4587.132((2))
4587.088	12.9	0.124	0.10	4587.308 Cr II(K)4587.30(2)
4587.980	120.0	0.590	0.19	4588.200 Cr II(44)4588.22(75)
4588.206	15.8	0.086	0.17	4588.426 Cr II(16)4588.400(p)
4588.449	8.3	0.056	0.14	4588.669 Co I(15)4588.730(1)
4589.710	96.6	0.536	0.17	4589.930 Ti II(50)4589.915(15);Cr II(44)4589.89(4)
4590.566	11.5	0.065	0.17	4590.786 Fe I(-)4590.815(2n)
4590.787	9.8	0.066	0.14	4591.007
4591.221	43.2	0.192	0.21	4591.441 Cr I(21)4591.405(60);Fe I(K)4591.502(2n)
4591.838	87.5	0.490	0.17	4592.058 Cr II(44)4592.07(25)
4592.400	41.5	0.186	0.21	4592.620 Fe I(39)4592.655(5)
4593.372	17.8	0.102	0.16	4593.592 Fe I(971)4593.544((1))
4593.615	26.2	0.159	0.15	4593.835 Cr I(190)4593.825(8w)
4595.153	25.3	0.120	0.20	4595.373 Fe I(594)4595.363((2))
4595.424	44.7	0.236	0.18	4595.644 Fe II(38)4595.680(p)
4595.805	56.1	0.306	0.17	4596.025 Fe I(820)4596.059(2n);Fe II(D)4596.02(p)
4596.200	7.3	0.043	0.16	4596.420 Fe I(823)4596.433((1))

## Ek 2- HD 204411 (=HR 8216) Çizgi Tanısı

Gözlenen Dalgaboyu	$W_\lambda$	Derinlik	Genişlik	Hesaplanan Dalgaboyu	Tanı ve Laboratuvar Dalgaboyu
4597.132	15.3	0.067	0.22	4597.352	Fe I(-)4597.403(2)
4597.589	33.9	0.125	0.25	4597.809	
4597.906	26.7	0.150	0.17	4598.126	Fe I(554)4598.122((2n))
4598.262	36.4	0.192	0.18	4598.482	Cr I(172)4598.439(20)
4598.519	4.0	0.030	0.12	4598.738	Fe I(819)4598.728(1)
4599.633	27.2	0.148	0.17	4599.853	(Cr I(32)4600.109(40))
4599.923	23.5	0.126	0.18	4600.143	V II(56)4600.184(150)
4600.107	4.7	0.053	0.08	4600.327	Ni I(98)4600.372(2)
4600.535	40.8	0.229	0.17	4600.756	Cr I(21)4600.745(75r)
4600.816	22.4	0.096	0.22	4601.037	Cr I(32)4601.019(50)
4601.154	26.1	0.159	0.15	4601.375	Fe II(43)4601.34(p)
4601.754	27.8	0.147	0.18	4601.975	Zr II(138)4601.970(2);Fe I(39)4602.005((2))
4602.717	37.7	0.226	0.16	4602.938	Fe I(39)4602.944(9)
4603.671	7.5	0.037	0.19	4603.892	Fe I(410)4603.956((1));Cr I(K)4603.84(2)
4604.327	20.4	0.110	0.17	4604.548	Cr I(190)4604.590(5w)
4604.719	24.8	0.140	0.17	4604.940	Ni I(98)4604.994(12)
4605.147	15.1	0.092	0.15	4605.368	Mn I(C)4605.365(20)
4605.370	21.6	0.105	0.19	4605.591	Fe I(-)4605.610(2n)
4606.151	5.9	0.029	0.19	4606.372	Cr I(303)4606.364(15)

### 4630 Å Bölgesi

4596.961	1.8	0.026	0.07	4597.190	
4597.131	12.7	0.062	0.19	4597.360	Fe I(-)4597.403(2)
4597.657	8.0	0.064	0.12	4597.886	
4597.893	25.3	0.148	0.16	4598.122	Fe I(554)4598.122((2n))
4598.256	31.3	0.188	0.16	4598.485	Cr I(172)4598.439(20)
4598.502	3.0	0.026	0.11	4598.731	Fe I(819)4598.728(1)
4599.618	22.4	0.145	0.15	4599.847	(Cr I(32)4600.109(40))
4599.892	23.2	0.110	0.20	4600.121	V II(56)4600.184(150)
4600.082	7.5	0.057	0.12	4600.311	(Ti II(60)4600.280(p))
4600.197	3.8	0.043	0.08	4600.426	Ni I(98)4600.372(6)
4600.515	38.0	0.236	0.15	4600.744	Cr I(21)4600.745(75r)
4600.747	2.1	0.050	0.04	4600.977	Fe I(591)4600.937((1))
4600.783	24.8	0.091	0.26	4601.013	Cr I(32)4601.019(50)
4601.144	26.0	0.159	0.15	4601.374	Fe II(43)4601.34(p)
4601.728	27.4	0.161	0.16	4601.958	Zr II(138)4601.970(2);Fe I(39)4602.005((2))
4602.478	4.8	0.031	0.15	4602.708	Fe II(19)4602.750(p)
4602.710	37.4	0.220	0.16	4602.939	Fe I(39)4602.944(9)
4603.614	4.8	0.043	0.11	4603.843	Fe I(410)4603.956((1));Cr I(K)4603.84(2)
4604.324	21.7	0.126	0.16	4604.554	Cr I(190)4604.590(5w)
4604.715	27.8	0.121	0.22	4604.944	Ni I(98)4604.994(12)
4605.146	19.1	0.092	0.19	4605.375	Mn I(C)4605.365(20)
4605.364	17.2	0.108	0.15	4605.593	Fe I(-)4605.610(2n)
4605.600	5.7	0.037	0.15	4605.830	(Fe I(893)4605.990(p))
4606.113	7.9	0.033	0.23	4606.342	Cr I(303)4606.364(15)
4607.422	29.1	0.182	0.15	4607.651	Fe I(554,969)4607.655(3n)
4608.588	5.0	0.019	0.24	4608.817	
4608.732	2.4	0.013	0.18	4608.961	Co I(57)4608.908((0))
4609.059	15.1	0.084	0.17	4609.289	Ti II(39)4609.26(p)
4610.352	12.5	0.077	0.15	4610.582	Fe II(170)4610.590(p);Mo II(K)4610.56(7)
4610.866	5.4	0.028	0.18	4611.096	(Fe I(641)4611.05(p));Cr I(K)4611.056(4)
4611.050	45.0	0.250	0.17	4611.280	Fe I(826)4611.285(5n)
4612.949	14.8	0.125	0.11	4613.179	Fe I(554)4613.210(2n)
4613.101	37.8	0.193	0.18	4613.331	Cr I(21)4613.373(60)
4613.669	7.4	0.055	0.12	4613.899	
4613.768	2.3	0.032	0.07	4613.998	Zr II(67)4613.95(5)
4613.943	7.4	0.041	0.17	4614.173	Cr I(148)4614.148(12)
4614.326	16.9	0.088	0.18	4614.556	Cr I(245)4614.510(12);Ni I(99)4614.580(1)
4614.528	2.5	0.013	0.18	4614.758	Cr I(K)4614.741(10)
4615.087	2.0	0.018	0.11	4615.317	
4615.332	12.1	0.069	0.16	4615.562	
4615.927	63.0	0.267	0.22	4616.157	Cr I(21)4616.120(75)
4616.397	86.1	0.474	0.17	4616.627	Cr II(44)4616.64(25)
4617.047	6.9	0.047	0.14	4617.277	Ti I(145)4617.268(2600)
4617.290	1.4	0.018	0.07	4617.520	(Cr I(K)4617.560(2))
4618.357	5.8	0.024	0.23	4618.587	Fe I(1151)4618.568((2w))
4618.586	112.2	0.573	0.18	4618.816	Cr II(44)4618.82(50);(Fe I(409)4618.765((2n)))
4618.819	4.7	0.028	0.16	4619.049	
4619.057	31.8	0.203	0.15	4619.287	Fe I(821)4619.294(3n)
4619.331	38.1	0.168	0.21	4619.561	Cr I(81)4619.537(40)
4620.286	59.4	0.337	0.17	4620.517	Fe II(38)4620.513(3)
4621.239	20.1	0.081	0.23	4621.469	Si II(7.05)4621.418(100);Cr I(K)4621.47(2)
4621.683	38.9	0.170	0.22	4621.914	(Si II(7.05)4621.721(150));Cr I(K)4621.924(45)
4622.214	26.9	0.167	0.15	4622.444	Cr I(233)4621.466(35)
4622.513	13.0	0.072	0.17	4622.744	Mn I(C)4622.74(8)
4622.844	5.4	0.032	0.16	4623.075	Ti I(145)4623.097(1500);Co I(156)4623.020(2n)
4623.344	3.7	0.028	0.12	4623.575	
4624.314	12.2	0.069	0.17	4624.544	Co I(141)4624.561((0));Cr I(K)4624.564(15)
4624.815	30.4	0.179	0.16	4625.045	Fe I(554)4625.052(3)
4625.240	15.8	0.092	0.16	4625.471	Fe I(974)4625.440(p)
4625.676	32.3	0.200	0.15	4625.906	Fe II(186)4625.911(1);Cr I(244)4625.913(20)
4625.938	38.0	0.230	0.16	4626.168	Cr I(21)4626.181(65)
4626.312	1.2	0.020	0.06	4626.542	Mn I(C)4626.544(4)

## Ek 2- HD 204411 (=HR 8216) Çizgi Tanısı

Gözlenen Dalgalıboyu	$W_{\lambda}$ (mÅ)	Derinlik Genişlik	Hesaplanan Dalgalıboyu	Tanı ve Laboratuvar Dalgalıboyu
4626.544	8.3	0.058	0.13	4626.774 Fe II(170) 4626.780(p)
4627.069	1.8	0.021	0.08	4627.299
4627.237	9.9	0.037	0.25	4627.467 V II(210) 4627.486(3)
4627.616	3.7	0.029	0.12	4627.847 Fe II(54) 4627.860(p)
4628.550	21.7	0.133	0.15	4628.780 Fe II(219) 4628.821(On)
4629.107	90.5	0.462	0.18	4629.337 Ti I(145) 4629.336(620); Fe II(37) 4629.336(7)
4629.893	15.3	0.082	0.18	4630.124 Fe I(115) 4630.125((2))
4630.342	8.7	0.047	0.17	4630.573 Cr I(K) 4630.435(5)
4631.247	4.6	0.033	0.13	4631.478 Fe I(1152) 4631.490((1))
4631.401	1.7	0.028	0.06	4631.632
4631.637	18.0	0.099	0.17	4631.868 Fe II(219) 4631.895(On)
4631.902	11.9	0.072	0.16	4632.133 Fe I(754) 4632.140(p)
4632.647	28.5	0.137	0.20	4632.878 Fe I(820) 4632.830(p)
4633.025	8.2	0.047	0.16	4633.256 Cr I(186) 4633.274(30)
4633.556	5.7	0.033	0.16	4633.787 Fe I(410) 4633.764((1))
4633.848	92.2	0.501	0.17	4634.079 Cr II(44) 4634.10(40)
4634.006	6.3	0.021	0.28	4634.237 V II(210) 4634.204(10)
4634.477	26.9	0.114	0.22	4634.708 (Fe II(25) 4634.60(p))
4635.094	57.8	0.315	0.17	4635.325 Fe II(186) 4635.328(5)
4635.334	3.8	0.027	0.13	4635.565 Ti I(261) 4635.539(3)
4635.604	11.4	0.062	0.17	4635.835 Fe I(349) 4635.846((1))
4636.938	13.4	0.068	0.19	4637.169 Cr I(32) 4637.174(40)
4637.267	28.3	0.182	0.15	4637.498 Fe I(554) 4637.512(3)
4637.524	15.6	0.076	0.19	4637.755 Cr I(32) 4637.768(40)
4637.798	47.8	0.259	0.17	4638.029 Fe I(822) 4638.016(3); Fe II(D) 4638.11(p)
4638.319	5.0	0.035	0.13	4638.550
4638.710	7.6	0.041	0.17	4638.941
4639.353	20.5	0.069	0.28	4639.584 Cr I(186) 4639.521(35)
4640.071	15.2	0.097	0.15	4640.302
4640.580	11.1	0.077	0.13	4640.812 Fe II(J) 4640.843(0)
4640.728	40.3	0.088	0.43	4640.959 Fe I(-) 4640.958(1)
4641.025	6.8	0.046	0.14	4641.256 Fe I(347) 4641.220(p)
4641.174	4.9	0.043	0.11	4641.405
4641.437	9.2	0.030	0.29	4641.668 Cr I(K) 4641.69(4)
4641.747	6.3	0.031	0.19	4641.979 Cr I(244) 4641.96(10)
4642.919	1.1	0.015	0.07	4642.150 Fe I(28) 4642.200(p)
4643.235	28.1	0.153	0.17	4643.466 Fe I(820) 4643.468((2))
4645.939	55.4	0.310	0.17	4646.170 Cr I(21) 4646.151(100)
4646.413	42.9	0.131	0.31	4646.645
4646.850	2.4	0.023	0.10	4647.082
4647.207	37.1	0.215	0.16	4647.438 Fe I(409) 4647.437(6)
4647.490	6.4	0.029	0.21	4647.722 Fe I(722) 4647.720(p)
4647.726	24.4	0.107	0.21	4647.958
4647.880	12.0	0.081	0.14	4648.111 Cr I(32) 4648.116(25)
4648.010	8.4	0.045	0.17	4648.241 Fe II(38) 4648.230(p)
4648.447	14.4	0.087	0.16	4648.678 Ni I(98) 4648.659(15)
4648.680	38.2	0.199	0.18	4648.912 Fe II(25) 4648.933(0)
4649.192	16.4	0.113	0.14	4649.423 Cr I(32) 4649.446(45)
4651.056	35.6	0.209	0.16	4651.288 Cr I(21) 4651.285(75)
4651.947	59.5	0.328	0.17	4652.179 Cr I(21) 4652.155(100)
4653.914	15.5	0.097	0.15	4654.146
4654.380	78.9	0.291	0.25	4654.612 Fe I(554,821) 4654.628(5)
4655.580	17.2	0.079	0.20	4655.812 Ti II(38) 4655.75(p)
4655.949	13.5	0.079	0.16	4656.181 Cr I(147) 4656.183(30)
4656.238	16.7	0.086	0.18	4656.470 Ti I(6) 4656.468(8400)
4656.749	52.4	0.294	0.17	4656.981 Fe II(43) 4656.974(1); V II(I) 4656.966(5)
4656.979	43.4	0.252	0.16	4657.211 Ti II(59) 4657.212(9)
4657.357	3.4	0.025	0.13	4657.589 Fe I(346) 4657.598((1))
4660.674	9.2	0.062	0.14	4660.906 (Fe II(146) 4660.930(p))
4661.295	13.3	0.090	0.14	4661.527 Fe I(1207) 4661.538((2n))
4661.746	7.7	0.053	0.14	4661.979 Fe I(409) 4661.975((2))

### 4685 Å Bölgesi

4651.945	61.0	0.347	0.16	4652.176 Cr I(21) 4652.155(100)
4652.974	4.3	0.014	0.28	4653.206
4653.928	17.6	0.107	0.15	4654.160
4654.380	76.0	0.285	0.25	4654.611 Fe I(554,821) 4654.628(5)
4655.550	9.5	0.081	0.11	4655.781 Ti II(38) 4655.750(p)
4655.962	9.7	0.072	0.13	4656.193 Cr I(147) 4656.183(30)
4656.239	16.0	0.081	0.19	4656.470 Ti I(6) 4656.468(8400)
4656.748	50.0	0.284	0.17	4656.979 Fe II(43) 4656.974(1); V II(I) 4656.966(5)
4656.972	40.7	0.257	0.15	4657.204 Ti II(59) 4657.212(9)
4657.233	2.7	0.016	0.16	4657.464 Co I(156) 4657.390(1))
4657.385	2.4	0.017	0.13	4657.616 Fe I(346) 4657.598((1))
4657.949	1.8	0.018	0.10	4658.181
4658.052	5.5	0.042	0.12	4658.283 Fe I(591) 4658.290((1))
4658.613	3.3	0.023	0.14	4658.844
4660.224	9.0	0.049	0.17	4660.456 Fe I(-) 4660.478(1n)
4660.437	8.8	0.042	0.19	4660.668
4660.672	10.2	0.061	0.16	4660.903 (Fe II(146) 4660.930(p))
4661.010	1.3	0.012	0.10	4661.242 Cr I(K) 4661.20(2)
4661.315	15.7	0.095	0.16	4661.547 Fe I(1207) 4661.538((2n))
4661.745	11.9	0.065	0.17	4661.977 Fe I(409) 4661.975((2))

## Ek 2- HD 204411 (=HR 8216) Çizgi Tanısı

Gözlenen Dalgalıboyu	$W_{\lambda}$	Derinlik (mÅ)	Genişlik	Hesaplanan Dalgalıboyu	Tanı ve Laboratuvar Dalgalıboyu
4662.250	1.7	0.014	0.11	4662.482 Cr I(K)4662.42(2)	
4662.528	13.2	0.068	0.18	4662.760 Ti II(38)4662.740(p)	
4663.099	26.6	0.144	0.17	4663.331 Cr I(186)4663.327(40)	
4663.520	69.7	0.281	0.23	4663.752 Fe II(44)4663.700(0)	
4663.728	10.4	0.056	0.17	4663.960 Cr I(186)4663.833(55)	
4664.358	3.2	0.026	0.11	4664.590	
4664.561	30.1	0.182	0.16	4664.793 Fe II(17)4664.79(p);Cr I(186)4663.80(60)	
4664.945	4.7	0.037	0.12	4665.177 Fe I(1115)4665.240(p);CrI(K)4665.15(5w)	
4665.658	45.2	0.195	0.22	4665.890 Cr I(233)4665.899(35)	
4665.953	18.0	0.113	0.15	4666.185 Cr I(99)4666.201(25)	
4666.273	31.9	0.196	0.15	4666.505 Cr I(186)4666.508(55)	
4666.524	61.6	0.336	0.17	4666.756 Fe II(37)4666.750(2)	
4666.761	8.8	0.047	0.18	4666.993 Ni I(146)4666.994(2)	
4666.974	31.4	0.149	0.20	4667.206 Cr I(99)4667.170(30)	
4667.226	45.6	0.243	0.18	4667.458 Fe I(822)4667.459(6)	
4667.894	43.7	0.239	0.17	4668.126 Fe I(554)4668.142(6)	
4668.410	7.0	0.034	0.19	4668.642	
4668.689	10.9	0.056	0.18	4668.921	
4668.938	30.5	0.174	0.16	4669.170 Fe I(821)4669.174((4))	
4669.104	26.1	0.145	0.17	4669.336 Cr I(186)4669.34(50)	
4670.157	31.3	0.162	0.18	4670.389 Sc II(24)4670.404(15)	
4671.165	22.8	0.140	0.15	4671.397 Cr II(178)4671.36(p)	
4671.841	3.3	0.015	0.20	4672.073	
4672.077	48.1	0.183	0.25	4672.310	
4672.404	3.7	0.024	0.15	4672.636	
4672.593	15.0	0.062	0.23	4672.825 Fe I(40)4672.830(p)	
4672.952	42.0	0.183	0.22	4673.185 Fe I(820)4673.169((4));Cr I(K)4673.161(10w)	
4673.149	3.5	0.027	0.12	4673.381 (Fe I(822)4673.280(p))	
4673.726	4.1	0.029	0.13	4673.958	
4673.841	22.6	0.080	0.27	4674.073	
4673.862	16.3	0.079	0.19	4674.094	
4674.851	8.9	0.050	0.17	4675.083 Ti I(77)4675.116(200)	
4676.111	7.0	0.043	0.15	4676.343	
4676.699	2.9	0.017	0.16	4676.932	
4677.343	7.4	0.034	0.20	4677.575 Fe I(1072)4677.572(2n)	
4677.959	51.4	0.215	0.22	4678.191 Cd I(2)4678.160(50)	
4678.253	13.3	0.044	0.29	4678.485 Fe I(688)4678.410(p)	
4678.623	46.2	0.240	0.18	4678.855 Fe I(821)4678.852(7)	
4679.659	0.9	0.013	0.07	4679.892 Cr II(25)4679.870(p)	
4680.085	5.8	0.015	0.36	4680.317 Fe I(39)4680.297((2))	
4680.273	21.7	0.127	0.16	4680.505 Cr I(186)4680.492(50);Fe I(346)4680.475((1))	
4680.419	2.0	0.017	0.11	4680.651	
4680.631	11.7	0.076	0.15	4680.864 Cr I(170)4680.864(35)	
4681.267	8.4	0.056	0.14	4681.500	
4681.692	4.3	0.029	0.14	4681.925 Ti I(6)4681.908(1300)	
4681.887	17.8	0.108	0.16	4682.120	
4682.084	6.3	0.032	0.18	4682.317 Y II(12)4682.321(294)	
4682.321	2.7	0.020	0.12	4682.554 Fe I(384)4682.580((1))	
4683.332	11.6	0.064	0.17	4683.565 Fe I(346)4683.565((2))	
4683.662	2.1	0.017	0.11	4683.895	
4683.891	3.8	0.024	0.15	4684.124	
4684.531	27.8	0.165	0.16	4684.764 Cr II(178)4684.780(2)	
4684.815	4.6	0.022	0.20	4685.048 Fe I(347)4685.036(3)	
4685.044	18.9	0.099	0.18	4685.277 Ca I(51)4685.265(12)	
4685.980	5.6	0.057	0.09	4686.213 Ni I(98)4686.218(5)	
4686.873	1.1	0.012	0.08	4687.106	
4687.155	8.3	0.039	0.20	4687.388 Fe I(347)4687.387((1))	
4687.961	18.0	0.102	0.16	4688.194	
4688.174	4.2	0.039	0.10	4688.407 (Ti I(306)4688.392(3))	
4688.359	8.0	0.039	0.19	4688.592	
4688.549	10.5	0.060	0.16	4688.782 (Fe I(-)4688.964(0))	
4689.134	22.0	0.144	0.14	4689.367 Cr I(186)4689.382(65)	
4689.291	5.5	0.040	0.13	4689.524 Ti II(38)4689.460(p)	
4689.909	16.9	0.112	0.14	4690.142 Fe I(820)4690.146((3));Cr I(K)4690.15(6w)	
4690.926	2.2	0.016	0.13	4691.159	
4691.177	32.6	0.180	0.17	4691.410 Fe I(409)4691.414(6)	
4691.350	24.4	0.110	0.21	4691.583 Fe II(17)4691.550(p)	
4691.539	1.6	0.021	0.07	4691.772 Fe I(-)4691.769(0)	
4691.726	1.8	0.008	0.20	4691.959	
4693.722	15.2	0.088	0.16	4693.956 Cr I(99)4693.938(45)	
4694.631	12.2	0.073	0.16	4694.864	
4694.915	10.2	0.055	0.18	4695.148 Cr I(99)4695.142(30)	
4696.831	14.8	0.093	0.15	4697.064 Cr I(62)4697.062(40)	
4697.127	10.7	0.054	0.19	4697.360 Cr I(195)4697.379(15)	
4697.382	34.8	0.227	0.14	4697.615 Cr II(177)4697.610(3)	
4698.231	29.5	0.188	0.15	4698.464 Cr I(186)4698.46(60)	
4698.399	36.0	0.210	0.16	4698.632 Cr I(62,146)4698.61(50)	
4699.121	48.5	0.232	0.20	4699.354 Fe I(-)4699.424(3n)	
4699.335	14.8	0.085	0.16	4699.568 Cr I(292)4699.585(25)	
4699.933	25.0	0.146	0.16	4700.167 Fe I(935)4700.171((2n))	
4700.380	9.2	0.059	0.15	4700.614 Cr I(62)4700.595(40)	
4700.817	9.7	0.067	0.14	4701.051 Fe I(820)4701.052((1))	
4701.366	18.4	0.113	0.15	4701.600 Ni I(235)4701.536(3)	
4701.738	1.2	0.013	0.09	4701.972 Cr I(170)4701.92(5)	

## Ek 2- HD 204411 (=HR 8216) Çizgi Tanısı

Gözlenen Dalgalı boyu	$W_\lambda$ (mÅ)	Derinlik	Genişlik	Hesaplanan Dalgalı boyu	Tanı ve Laboratuvar Dalgalı boyu
4702.055	4.4	0.028	0.15	4702.289 Fe I(-)4702.299(0n)	
4702.351	7.4	0.030	0.23	4702.585 (Fe I(-)4702.642(0))	
4702.764	81.9	0.452	0.17	4702.998 Mg I(11,11,11)4702.975;.983;.991(40);(Zr II(38)4703.03(5))	
4703.548	3.3	0.021	0.15	4703.782 Ni I(133)4703.808(4)	
4704.286	12.0	0.058	0.19	4704.520	
4704.719	20.0	0.126	0.15	4704.953 Fe I(821)4704.958((5))	
4705.232	7.0	0.050	0.13	4705.466 Fe I(752)4705.464((1))	
4705.865	5.0	0.034	0.14	4706.099 Cr I(170)4706.085(25)	
4706.297	13.8	0.052	0.25	4706.531	
4707.047	38.8	0.238	0.15	4707.281 Fe I(554)4707.281(8)	
4707.260	15.0	0.090	0.16	4707.494 Fe I(346)4707.487((2))	
4707.508	7.2	0.042	0.16	4707.742 Cr I(195)4707.73(15)	
4707.786	34.5	0.218	0.15	4708.020 Cr I(186)4708.02(60)	
4708.435	39.2	0.241	0.15	4708.669 Ti II(49)4708.651(9)	
4708.840	41.1	0.162	0.24	4709.074 Fe I(821)4709.092((3))	
4709.464	12.2	0.074	0.16	4709.698 Mn I(21)4709.710(40)	
4710.051	26.2	0.159	0.15	4710.285 Fe I(409)4710.286(5)	
4710.543	7.1	0.050	0.13	4710.777 Cr II(K)4710.780(1)	
4711.255	10.0	0.062	0.15	4711.489	
4711.844	4.1	0.019	0.20	4712.079 Ni I(131)4712.069((2))	
4712.046	5.0	0.033	0.14	4712.280 (Fe I(407)4712.104((9)))	
4712.464	5.6	0.025	0.21	4712.698	
4712.686	9.3	0.038	0.23	4712.920	
4712.984	25.8	0.133	0.18	4713.218 (Y II(22)4713.260((1));(Cr II(K)4713.270(1))	
4713.778	26.6	0.142	0.18	4714.012 Fe I(1206)4714.074((1n))	
4713.935	5.6	0.047	0.11	4714.169 Fe I(591)4714.182((1n))	
4714.160	45.9	0.204	0.21	4714.395 Ni I(98)4714.421(25)	
4714.349	7.1	0.044	0.15	4714.583	
4714.896	23.6	0.151	0.15	4715.130 Cr II(178)4715.12(3)	
4715.522	7.4	0.048	0.15	4715.756 Ni I(98)4715.778(8)	
4716.518	11.7	0.066	0.17	4716.752 Fe I(634)4716.816(0n)	

### 4740 Å Bölgesi

4707.049	36.5	0.241	0.14	4707.273 Fe I(554)4707.281(8)
4707.276	8.6	0.079	0.10	4707.500 Fe I(346).487((2))
4707.804	33.9	0.211	0.15	4708.029 Cr I(186)4708.02.(60)
4708.439	43.7	0.235	0.17	4708.664 Ti II(49)4708.651(9)
4708.848	40.8	0.169	0.23	4709.073 Fe I(821)4709.092((3))
4709.478	12.4	0.071	0.16	4709.703 Mn I(21)4709.710(40)
4710.062	28.3	0.168	0.16	4710.287 Fe I(409)4710.286(5)
4710.579	7.1	0.050	0.13	4710.804 Cr II(K)4710.780(1)
4711.271	10.9	0.065	0.16	4711.496
4712.000	5.1	0.031	0.16	4712.225 (Fe I(407)4712.104((9)))
4712.600	14.5	0.042	0.33	4712.825 Mo II(K)4712.86(5)
4712.989	29.3	0.134	0.21	4713.213 Y II(22)4713.260((1));Cr II(K)4713.270(1))
4713.817	32.4	0.137	0.22	4714.042 Fe I(1206)4714.074((1n))
4714.164	48.1	0.228	0.20	4714.389 Ni I(98)4714.421(25)
4714.412	12.9	0.033	0.37	4714.637
4714.910	25.0	0.136	0.17	4715.135 Cr II(178)4715.12(3)
4715.542	10.0	0.048	0.20	4715.767 Ni I(98)4715.778(8)
4716.543	11.9	0.065	0.17	4716.768 Fe I((634)4716.816(0n))
4717.103	4.3	0.030	0.14	4717.328 Fe I(-)4717.358(2n)
4717.371	17.2	0.088	0.18	4717.596 Fe I(-)4717.620(2n)
4718.203	40.9	0.234	0.16	4718.428 Cr I(186)4718.439(75);Fe I(1042)4718.410(1)
4719.274	13.5	0.068	0.18	4719.499 Ti II(59)4719.533(5)
4719.924	15.5	0.105	0.14	4720.149 Fe II((54)4720.15(p))
4720.797	25.7	0.121	0.20	4721.022 Fe I(1071,409)4720.997((1))
4721.924	4.6	0.033	0.13	4722.149 (Zn I(2)4722.159(75))
4722.501	3.9	0.018	0.21	4722.726 Cr I(195)4722.730(10)
4722.901	16.9	0.092	0.17	4723.126 Ti I(75)4723.161(210)
4723.126	40.8	0.217	0.18	4723.352 Ni I(162)4723.370(p)
4724.197	16.2	0.091	0.17	4724.422 (Cr I(K)4724.40(35))
4726.924	29.8	0.131	0.21	4727.149 Cr I(99)4727.13(40)
4727.194	40.6	0.201	0.19	4727.419 Fe I(821)4727.405(3n);Mn I(21)4721.462(30)
4727.614	17.7	0.102	0.16	4727.839 Ni I(146)4727.851((2))
4727.954	6.3	0.039	0.15	4728.180 Fe I(-)4728.160(1)
4728.322	29.7	0.177	0.16	4728.547 Fe I(822)4728.555(3n)
4728.804	16.6	0.076	0.21	4729.030 Fe I(1043a)4729.028((1))
4729.045	3.0	0.025	0.11	4729.271 Ni I(235)4729.291(2)
4729.217	4.0	0.029	0.13	4729.442
4729.492	34.0	0.137	0.23	4729.718 Cr I(169)4729.708(35);Fe I(688)4729.699((1))
4729.832	16.4	0.068	0.23	4730.058 Mg I(10)4730.0285((2))
4730.169	28.0	0.124	0.21	4730.395 (Mn II(5)4730.380(40))
4730.495	32.4	0.180	0.17	4730.721 Cr I(145)4730.690(50)
4730.781	19.4	0.082	0.22	4731.006
4731.228	72.1	0.388	0.17	4731.454 Fe II(43)4731.439(3)
4731.499	2.7	0.019	0.14	4731.725 Fe I(67)4731.770(p)
4732.185	6.2	0.029	0.20	4732.411 Ni I(235)4732.465(3)
4733.370	16.2	0.094	0.16	4733.596 Fe I(38)4733.596(4)
4733.872	16.4	0.088	0.18	4734.098 Fe I(1133)4734.100((1))
4734.375	4.0	0.023	0.16	4734.601 (Ti I(233)4734.670(61))
4735.622	24.8	0.142	0.16	4735.848 Fe I(1042)4735.846((2))
4736.556	53.9	0.282	0.18	4736.782 Fe I(554)4736.780(12)

## Ek 2- HD 204411 (=HR 8216) Çizgi Tanısı

Gözlenen Dalgalıboyu	$W_{\lambda}$ (mÅ)	Derinlik Genişlik	Hesaplanan Dalgalıboyu	Tanı ve Laboratuvar Dalgalıboyu
4736.790	34.3	0.198	0.16	4737.016
4737.134	35.6	0.191	0.18	4737.360 Cr I(145)4737.33(75)
4737.434	7.5	0.044	0.16	4737.660 Fe I(590)4737.633((1))
4738.079	24.7	0.123	0.19	4738.305 Mn II(5)4738.30(100)
4738.877	11.9	0.053	0.21	4739.103 Mn I(21)4739.110(25)
4739.393	6.7	0.022	0.29	4739.619 Mg II(18)4739.590(5)
4740.022	6.6	0.030	0.21	4740.248
4740.232	23.4	0.084	0.26	4740.458
4740.675	22.6	0.093	0.23	4740.901
4740.846	9.0	0.044	0.19	4741.072 Fe I(688)4741.081((1));Cr I(292)4741.092(12)
4741.306	17.9	0.109	0.15	4741.532 Fe I(346)4741.533(3)
4741.966	27.8	0.147	0.18	4742.192 (Ti I(202)4742.107(54))
4742.773	13.0	0.044	0.28	4742.999 Fe I(1072)4742.920(1)
4743.910	6.3	0.026	0.23	4744.136 Fe I(1168)4744.130(p)
4744.147	36.3	0.138	0.25	4744.373
4744.421	24.8	0.057	0.41	4744.647 Fe I(17)4744.640(p);Fe I(17)4744.615(ln);Mo II(K)4744.64(4)
4744.776	2.2	0.020	0.10	4745.002
4745.061	11.4	0.048	0.22	4745.287 Cr I(61)4745.310(30)
4745.580	26.2	0.159	0.16	4745.806 Fe I(821,1068)4745.806(3n)
4747.491	6.2	0.027	0.21	4747.718 (Ti I(233)4747.673(76))
4747.930	80.6	0.270	0.28	4748.157 Sc II(48)4748.120(p)
4748.338	4.8	0.021	0.21	4748.564
4748.938	6.4	0.022	0.28	4749.165 Cr I(195)4749.250(1w)
4749.538	20.0	0.053	0.36	4749.765 Co I(156)4749.680(10);Cr II(K)4749.75(1)
4751.622	9.5	0.037	0.24	4751.849
4751.871	31.1	0.154	0.19	4752.098 Cr I(K)4752.066(50)
4752.200	16.3	0.064	0.24	4752.427 Ni I(132)4752.426(4);Fe I(-)4752.470(1)
4752.504	7.5	0.034	0.21	4752.730
4753.281	7.2	0.029	0.24	4753.507
4753.813	44.0	0.235	0.18	4754.040 Mn I(16)4754.048(50H);(Cr I(K)4754.04(25))
4754.522	10.2	0.044	0.22	4754.749 Cr I(168)4754.73(20)
4755.247	1.4	0.024	0.06	4755.474
4755.513	67.2	0.311	0.20	4755.740 Mn II(5)4755.733(200)
4755.890	46.9	0.248	0.18	4756.117 Cr I(145)4756.113(100)
4756.241	14.7	0.067	0.21	4756.468 Ni I(98)4756.519(10)
4757.113	9.0	0.042	0.20	4757.340 Cr I(290)4757.326(15)
4757.361	15.2	0.094	0.15	4757.588 Fe I(634,1115)4757.582((2));Cr I(231)4757.58(18)
4757.881	3.5	0.020	0.16	4758.108 Ti I(233)4758.118(1600)
4759.021	5.1	0.027	0.18	4759.248 Ti I(233)4759.269(1800)
4759.887	14.4	0.050	0.27	4760.114 Fe II(169)4760.150(p)
4760.950	4.8	0.024	0.19	4761.177 (Cr I(169)4761.241(10))
4761.244	45.3	0.194	0.22	4761.471 Cr II(176)4761.40(2)
4762.150	45.9	0.213	0.20	4762.377 Mn I(21)4762.376(30);C I(6)4762.314(5)
4762.540	30.8	0.148	0.20	4762.767 Ti II(17)4762.790(6)
4763.658	38.9	0.227	0.16	4763.885 Ti II(48)4763.892(8);Ni I(146)4763.950(4)
4764.076	19.8	0.110	0.17	4764.303 Cr I(231)4764.28(50)
4764.290	26.2	0.146	0.17	4764.517 Ti II(48)4764.536(7);Cr I(124)4764.65(20)
4764.506	51.2	0.245	0.20	4764.733 Mn II(5)4764.730(100)
4764.886	30.8	0.153	0.19	4765.113
4765.262	30.2	0.090	0.32	4765.489 Fe I(40)4765.485((1))
4765.628	24.2	0.119	0.19	4765.855 Mn I(21)4765.856(60)
4766.203	29.5	0.153	0.18	4766.430 Mn I(21)4766.426(70)
4766.452	16.6	0.087	0.18	4766.679 Cr I(124)4766.63(35);C I(6)4766.676(4)
4766.612	8.0	0.053	0.14	4766.839 Fe I(688)4766.870(p);Fe I(-)4766.821(3)
4767.047	5.6	0.032	0.16	4767.274 Cr I(231)4767.26(22)
4767.633	10.7	0.064	0.16	4767.860 Cr I(231)4767.86(30)
4768.112	28.6	0.156	0.17	4768.339 Fe I(821)4768.334((1))
4768.407	14.3	0.044	0.30	4768.635 Fe I(-)4768.697(3)
4769.705	8.9	0.031	0.27	4769.933 C I(6)4770.032(5)
4770.143	7.3	0.040	0.17	4770.371 Cr I(K)4770.340(4)

### Ek 3- HD 204411 in Fotometri Değerleri

HJD	u		v		b		y	
	v-c	ch-c	v-c	ch-c	v-c	ch-c	v-c	ch-c
2448366.9982	0.031	1.085	-0.295	1.215	-0.405	1.249	-0.471	1.296
2448436.9712	0.021	1.109	-0.302	1.234	-0.413	1.277	-0.475	1.315
2448439.9638	0.017	1.099	-0.311	1.226	-0.412	1.266	-0.478	1.306
<b>1. Yıl</b>								
Ortalama	0.023	1.098	-0.302	1.225	-0.410	1.264	-0.475	1.306
Std. Sapma	0.007	0.012	0.008	0.010	0.004	0.014	0.003	0.009
2448530.7483	0.033	1.094	-0.290	1.227	-0.402	1.262	-0.460	1.300
2448531.7462	0.029	1.099	-0.296	1.228	-0.407	1.268	-0.462	1.307
2448532.7511	0.025	1.101	-0.296	1.226	-0.403	1.265	-0.459	1.300
2448533.7505	0.024	1.099	-0.295	1.223	-0.397	1.264	-0.458	1.301
2448534.7512	0.026	1.095	-0.294	1.225	-0.400	1.261	-0.460	1.299
2448535.7407	0.028	1.098	-0.296	1.225	-0.402	1.262	-0.461	1.308
2448536.7055	0.022	1.103	-0.297	1.226	-0.409	1.267	-0.460	1.304
2448537.7047	0.024	1.104	-0.297	1.225	-0.401	1.258	-0.468	1.305
2448539.6858	0.021	1.111	-0.299	1.229	-0.408	1.267	-0.470	1.308
2448540.7023	0.026	1.103	-0.290	1.228	-0.403	1.261	-0.461	1.309
2448543.6925	0.028	1.096	-0.295	1.225	-0.404	1.263	-0.458	1.296
2448544.7164	0.027	1.096	-0.290	1.227	-0.403	1.264	-0.462	1.297
2448545.6812	0.029	1.099	-0.293	1.230	-0.407	1.266	-0.462	1.301
2448546.6790	0.026	1.109	-0.301	1.234	-0.410	1.275	-0.469	1.312
2448547.7024	0.029	1.108	-0.298	1.226	-0.403	1.267	-0.459	1.295
2448548.7066	0.032	1.097	-0.288	1.220	-0.403	1.258	-0.459	1.295
2448549.6937	0.024	1.094	-0.304	1.220	-0.408	1.254	-0.470	1.291
2448558.6510	0.030	1.100	-0.295	1.233	-0.415	1.263	-0.468	1.304
2448559.6459	0.033	1.094	-0.308	1.239	-0.408	1.266	-0.463	1.305
2448561.6335	0.033	1.098	-0.298	1.229	-0.403	1.263	-0.464	1.300
2448562.6367	0.028	1.103	-0.301	1.235	-0.407	1.267	-0.466	1.304
2448564.6261	0.029	1.096	-0.296	1.223	-0.404	1.263	-0.465	1.300
2448565.6256	0.033	1.099	-0.288	1.219	-0.401	1.261	-0.462	1.300
2448566.6251	0.030	1.103	-0.298	1.226	-0.402	1.263	-0.467	1.302
<b>2. Yıl</b>								
Ortalama	0.028	1.100	-0.296	1.227	-0.405	1.264	-0.463	1.302
Std. Sapma	0.003	0.005	0.005	0.005	0.004	0.004	0.004	0.005
2448873.8120	0.024	1.102	-0.297	1.227	-0.406	1.269	-0.461	1.294
2448888.7736	0.028	1.106	-0.296	1.232	-0.401	1.263	-0.465	1.307
2448889.7708	0.029	1.104	-0.299	1.233	-0.403	1.268	-0.462	1.306
2448890.7699	0.025	1.103	-0.302	1.236	-0.406	1.270	-0.464	1.310
2448891.7680	0.029	1.110	-0.296	1.229	-0.404	1.269	-0.465	1.310
2448897.6594	0.024	1.111	-0.298	1.228	-0.407	1.269	-0.463	1.305
2448898.6584	0.024	1.108	-0.296	1.232	-0.407	1.268	-0.461	1.308
2448899.6576	0.020	1.099	-0.295	1.226	-0.404	1.268	-0.461	1.305
2448901.6561	0.027	1.113	-0.298	1.230	-0.402	1.267	-0.462	1.305

### Ek 3- HD 204411 in Fotometri Değerleri

HJD	u		v		b		y	
	v-c	ch-c	v-c	ch-c	v-c	ch-c	v-c	ch-c
2448904.6433	0.028	1.100	-0.298	1.228	-0.407	1.264	-0.464	1.301
2448905.6444	0.025	1.091	-0.297	1.220	-0.403	1.257	-0.465	1.302
2448906.6436	0.021	1.090	-0.300	1.221	-0.406	1.255	-0.466	1.293
2448910.6101	0.023	1.095	-0.297	1.217	-0.407	1.263	-0.468	1.304
2448925.6425	0.034	1.101	-0.296	1.220	-0.404	1.262	-0.464	1.298
2448938.5952	0.024	1.096	-0.300	1.224	-0.400	1.258	-0.462	1.299
2448939.5947	0.029	1.097	-0.296	1.224	-0.405	1.263	-0.461	1.302
2448940.5944	0.026	1.108	-0.290	1.228	-0.402	1.267	-0.467	1.310
2448943.5727	0.029	1.104	-0.295	1.225	-0.404	1.264	-0.464	1.304
2448944.5724	0.023	1.109	-0.297	1.230	-0.407	1.268	-0.465	1.306
2448952.5589	0.018	1.112	-0.303	1.225	-0.399	1.261	-0.468	1.313
2448953.5588	0.033	1.112	-0.295	1.232	-0.401	1.263	-0.456	1.305
2448954.5587	0.027	1.109	-0.297	1.227	-0.406	1.263	-0.462	1.303
2448957.5584	0.019	1.118	-0.303	1.234	-0.406	1.269	-0.463	1.306
2448966.5590	0.025	1.097	-0.297	1.221	-0.405	1.256	-0.462	1.295
2449160.9589	0.024	1.108	-0.303	1.226	-0.406	1.267	-0.466	1.308
2449161.9621	0.033	1.111	-0.299	1.228	-0.408	1.273	-0.469	1.318
2449163.9614	0.022	1.111	-0.294	1.226	-0.411	1.271	-0.466	1.312
<b>3.Yıl</b>								
Ortalama	0.026	1.105	-0.298	1.227	-0.405	1.265	-0.464	1.305
Std.Sapma	0.004	0.007	0.003	0.005	0.003	0.005	0.003	0.006
2449253.7329	0.028	1.102	-0.295	1.225	-0.401	1.263	-0.464	1.307
2449257.7334	0.038	1.088	-0.297	1.225	-0.404	1.260	-0.463	1.299
2449259.7003	0.034	1.101	-0.293	1.224	-0.405	1.267	-0.461	1.315
2449291.6336	0.018	1.100	-0.296	1.227	-0.404	1.251	-0.466	1.302
2449294.6286	0.030	1.108	-0.294	1.229	-0.402	1.258	-0.462	1.310
2449297.6269	0.024	1.104	-0.301	1.228	-0.405	1.260	-0.466	1.314
2449300.6058	0.022	1.119	-0.298	1.226	-0.406	1.259	-0.466	1.309
2449312.5827	0.029	1.102	-0.291	1.222	-0.404	1.259	-0.462	1.303
2449316.5897	0.029	1.092	-0.304	1.225	-0.406	1.255	-0.464	1.292
2449317.5888	0.029	1.089	-0.294	1.219	-0.408	1.256	-0.462	1.291
2449318.5894	0.029	1.088	-0.296	1.221	-0.402	1.250	-0.466	1.293
2449321.5893	0.030	1.100	-0.295	1.225	-0.404	1.256	-0.463	1.302
2449322.5885	0.025	1.106	-0.309	1.239	-0.411	1.278	-0.471	1.318
<b>4.Yıl</b>								
Ortalama	0.028	1.100	-0.297	1.226	-0.405	1.259	-0.464	1.304
Std. Sapma	0.005	0.009	0.005	0.005	0.003	0.007	0.003	0.009
<b>Tüm veri</b>								
Ortalama	0.027	1.102	-0.297	1.227	-0.405	1.263	-0.464	1.304
Std. Sapma	0.004	0.007	0.004	0.005	0.003	0.006	0.004	0.006

## Ek 4- HD 204411'in Bolluk Değerleri

Mult.	$\lambda(\text{\AA})$	log gf	Ref.	$w_{\lambda}(\text{m\AA})$	log N/H	Ca II		log Ca II/N <sub>T</sub> =	-8.44±0.0	
<b>C I</b>						1 3933.66	+0.13	WM	159:	-8.44
6 4770.00	-2.28	WM	9	-3.98		7 4246.83	+0.32	MF	57	-10.00
<b>Mg I</b>						14 4354.61	-1.56	WF	4	-9.69
3 3829.35	-0.19	WS	120	-4.75		4400.36	-0.51	WF	28	-9.68
11 4702.99	-0.38	WM	82	-4.60		4415.56	-0.64	WF	19	-9.80
15 4167.27	-0.81	SC	35	-5.00		15 4305.72	-1.22	WF	15	-9.33
17 3986.75	-0.89	SC	58	-4.65		4314.08	-0.10	MF	39	-9.80
<b>Mg II</b>						4320.74	-0.26	MF	34	-9.78
4 4481.33	+0.76	WM	139	-5.55		24 4670.41	-0.37	MF	31	-9.23
<b>Al I</b>						<b>Ti I</b>		log Ti I /N <sub>T</sub> =	-6.42±0.19	
1 3944.01	-0.64	WS	47	-6.95		6 4681.91	-1.07	KX	4	-6.60
3961.52	-0.34	WS	31	-7.56		12 3998.64	-0.06	MF	29	-6.53
<b>Si II</b>						13 3924.53	-0.94	MF	7	-6.43
1 3853.66	-1.44	LA	65	-4.78		3948.67	-0.47	MF	16	-6.51
3856.02	-0.49	LA	121	-4.70		3956.34	-0.45	KX	13	-6.62
3862.59	-0.74	LA	93	-4.92		42 4533.24	-0.94	MF	4	-6.13
3 4128.07	+0.38	LA	132	-3.93		4548.76	-0.35	MF	7	-6.57
4130.89	+0.53	LA	99	-4.46		44 4287.41	-0.44	MF	8	-6.38
<b>Ca I</b>						4289.07	-0.38	MF	15	-6.12
2 4226.73	+0.24	WS	113	-5.47		80 4060.26	-0.52	MF	4	-6.40
4 4425.44	-0.35	WM	50	-5.32		146 4496.15	-0.18	MF	6	-6.13
4434.96	-0.03	WS	58	-5.45		233 4759.27	+0.51	KX	5	-6.60
4435.69	-0.52	WM	48	-5.20		<b>Ti II</b>		log Ti II /N <sub>T</sub> =	-6.65±0.31	
4455.89	-0.53	WM	62	-4.84		11 3987.61	-2.73	MF	39	-6.79
5 4283.01	-0.22	WS	60	-5.19		17 4762.79	-2.71	KX	31	-6.76
4289.36	-0.30	WM	60	-5.09		18 4518.33	-2.55	KX	38	-6.74
4298.99	-0.41	WM	56	-5.09		4469.12	-2.87	KX	37	-6.42
4302.53	+0.28	WS	75	-5.22		19 4395.03	-0.51	BH	99	-7.05
4318.65	-0.21	FW	60	-5.20		4450.49	-1.51	BH	68	-6.98
23 3948.90	-1.63	WS	9	-5.12		20 4287.89	-2.02	MF	75	-6.21
4578.55	-0.56	WM	29	-5.15		4344.30	-2.09	MF	38	-7.16
25 4585.87	-0.19	WM	53	-4.97		30 4545.14	-2.78	KX	36	-6.52
4092.63	-0.84	WM	22	-5.01		4506.74	-3.49	BH	23	-6.11
26 4094.93	-0.69	WM	15	-5.39		31 4468.49	-0.60	MF	104	-6.79
3875.78	-0.79	WS	21	-5.07		4501.27	-0.76	BH	97	-6.84
36 4526.94	-0.43	WM	33	-5.06		33 4227.34	-2.36	KX	64	-6.16
39 4108.55	+0.20	WM	9	-6.41		34 3900.56	-0.45	MF	113	-6.55
						3913.46	-0.53	MF	107	-6.62
						39 4549.82	-2.32	KX	67	-6.13
						4583.41	-2.72	MF	29	-6.71
						4609.26	-3.26	KX	15	-6.57
						40 4417.72	-1.43	MF	75	-6.78
						4441.73	-2.41	MF	39	-6.76
						4464.46	-2.08	MF	62	-6.53
						4470.86	-2.28	MF	49	-6.68
						41 4290.22	-1.12	MF	109	-6.16

## Ek 4'ün Devamı

4300.05	-0.77	MF	117	-6.37		4626.18	-1.32	MF	38	-5.18	
4301.93	-1.20	BH	86	-6.68	22	4351.06	-1.45	MF	31	-5.20	
4312.86	-1.16	MF	109	-6.13		4371.28	-1.09	MF	41	-5.32	
4314.96	-1.13	MF	72	-7.16		4374.17	-0.49	MF	41	-4.55	
4320.96	-1.87	MF	58	-6.85		4384.97	-1.15	MF	38	-5.30	
4708.66	-2.21	KX	39	-6.95	23	3921.03	-1.40	MF	43	-4.88	
50 4563.76	-0.96	MF	99	-6.53	24	3852.22	-1.81	MF	25	-4.95	
51 4399.77	-1.27	MF	79	-6.79	69	3853.19	-0.96	KX	25	-4.62	
4394.06	-1.77	BH	62	-6.79		3854.23	-0.08	KX	58	-4.57	
4407.68	-2.47	MF	29	-6.93		3855.58	-0.34	KX	48	-4.63	
4418.34	-1.99	BH	52	-6.85	81	4501.79	-1.04	MF	9	-5.03	
59 4657.21	-2.15	KX	43	-6.91	96	4319.66	-0.82	MF	29	-4.58	
60 4524.70	-2.11	KX	32	-7.21	150	4570.72	0.03	MF	37	-5.12	
4544.02	-2.40	MF	32	-6.90	235	4413.86	-0.40	MF	20	-4.98	
4568.31	-2.65	MF	26	-6.81	247	4297.75	0.25	MF	18	-5.34	
61 4395.85	-1.97	BH	52	-6.85	251	4039.10	0.39	MF	30	-5.14	
4409.24	-2.29	KX	24	-7.21		4039.10	-0.75	MF	9	-4.67	
4409.51	-2.57	BH	34	-6.68	268	4001.04	0.26	MF	32	-4.89	
4411.92	-2.12	KX	33	-7.16	K	4128.39	-0.17	KX	17	-4.77	
82 4571.97	-0.53	MF	114	-6.42		4288.40	-1.27	MF	6	-4.86	
4529.46	-2.03	MF	65	-6.22		4500.29	-0.35	MF	34	-4.82	
87 4028.33	-1.00	MF	69	-6.82		4724.40	-0.73	MF	16	-4.93	
93 4374.82	-1.29	MF	71	-6.36							
4421.95	-1.77	MF	51	-6.51	<b>Cr II</b>		<b>log Cr II/N<sub>T</sub></b> =	<b>-5.18±0.28</b>			
94 4330.24	-2.06	BH	39	-6.51	18	4172.60	-2.36	KX	60	-5.66	
97 3940.32	-3.32	KX	5	-6.44	19	4054.10	-2.59	MF	76	-4.87	
104 4386.86	-1.26	MF	53	-6.59		4077.50	-2.78	KX	45	-5.65	
105 4163.64	-0.40	MF	94	-6.18		4087.63	-3.09	KX	33	-5.64	
115 4488.32	-0.82	MF	60	-6.49	26	4132.41	-2.34	KX	76	-4.72	
H 4158.27	-0.48	KX	18	-6.38		4207.35	-2.47	KX	58	-5.14	
4188.98	-0.59	KX	24	-6.09		4229.81	-3.32	KX	34	-4.93	
<b>V II</b>					31	4261.92	-1.53	KX	105	-4.67	
						4275.57	-1.71	KX	81	-5.15	
9 3997.13	-1.20	MF	7	-8.81		4284.21	-1.86	KX	74	-5.20	
4002.94	-1.48	YC	29	-7.78		4246.41	-3.22	KX	32	-5.04	
4036.78	-1.54	MF	7	-8.45		4252.62	-2.02	KX	71	-5.13	
10 3929.73	-1.59	MF	21	-7.88		4269.28	-2.17	KX	54	-5.52	
3951.97	-0.74	MF	23	-8.63	39	4539.62	-2.53	MF	59	-4.91	
11 3903.27	-0.89	MF	13	-8.79	44	4555.02	-1.38	MF	89	-5.15	
32 4005.71	-0.46	MF	26	-8.59		4588.22	-0.63	MF	120	-5.23	
4039.57	-1.81	YC	4	-8.19		4558.66	-0.66	MF	121	-5.16	
37 4183.44	-0.95	KX	31	-7.84		4618.82	-1.11	MF	112	-4.88	
215 4065.07	-0.25	KX	5	-8.36		4634.10	-1.24	MF	92	-5.22	
						4592.09	-1.22	MF	88	-5.37	
<b>Cr I</b>						4616.64	-1.29	MF	86	-5.33	
1 4274.80	-0.23	MF	89	-5.20		129	3911.32	-2.06	KX	41	-5.25
4289.72	-0.36	MF	90	-5.00		130	3866.01	-2.35	KX	52	-4.64
10 4545.95	-1.37	MF	43	-5.03		162	4145.77	-1.16	KX	69	-5.08
21 4600.75	-1.26	MF	41	-5.15			4224.85	-1.73	KX	56	-4.93
4616.12	-1.19	MF	63	-4.59		165	4082.30	-1.23	KX	52	-5.55

## Ek 4'ün Devamı

179	4362.93	-1.89	KX	32	-5.20		4764.73	-1.35	KX	51	-5.47
180	4222.00	-1.93	KX	26	-5.32	6	4284.43	-2.26	KX	13	-5.66
193	4049.14	-0.86	KX	49	-5.26		4292.25	-2.23	KX	38	-4.95
194	4003.33	-0.60	KX	47	-5.56	7	4206.37	-1.57	KX	47	-5.34
191	4465.77	-1.18	KX	35	-5.31						
K	4587.30	-1.65	MF	13	-5.4	<b>Fe I</b>	<b>log Fe I /N<sub>T</sub></b>	=	<b>-3.96±0.26</b>		
	4710.78	-2.57	KX	7	-4.82	2	4375.93	-3.03	MF	39	-4.18
<b>Mn I</b>					<b>log Mn I /N<sub>T</sub></b>	=	<b>-6.00±0.24</b>				
2	4034.49	-0.84	MF	63	-5.97		4389.24	-4.58	MF	8	-3.58
5	4055.55	-0.07	MF	38	-6.09		4427.31	-2.91	KX	44	-4.14
	4070.28	-0.95	MF	11	-5.99	3	4461.65	-3.21	MF	59	-3.37
	4079.42	-0.42	YF	35	-5.80		4291.46	-3.99	KX	15	-3.84
	4070.28	-0.95	MF	11	-5.99		4206.70	-3.88	MF	18	-3.87
	4082.95	-0.35	MF	27	-6.07	4	4216.19	-3.36	MF	30	-4.06
6	4843.99	-0.73	MF	16	-6.09		3856.37	-1.29	MF	93	-3.61
	3839.78	-0.69	MF	17	-5.99		3859.91	-0.71	MF	96	-4.12
21	4709.71	-0.34	MF	12	-6.13		3906.48	-2.25	MF	55	-4.29
	4762.38	0.43	MF	46	-5.93		3920.26	-1.75	MF	68	-4.30
	4765.86	-0.08	MF	24	-5.96		3927.92	-1.59	MF	73	-4.27
	4766.43	0.10	MF	30	-6.01	20	3849.97	-0.87	MF	97	-3.60
22	4436.36	-0.29	MF	16	-6.01		3872.50	-0.93	MF	76	-4.23
	4453.01	-0.49	MF	7	-6.24		3878.02	-0.91	MF	72	-4.45
	4464.68	-0.10	MF	18	-6.12		3898.01	-2.05	KX	50	-4.07
	4470.13	-0.44	MF	6	-6.37		3917.18	-2.16	MF	48	-4.06
	4472.79	-0.58	MF	3	-6.46	22	3940.88	-2.60	MF	27	-4.20
	4490.88	-0.52	MF	13	-5.87		3850.82	-1.73	MF	52	-4.32
	4498.90	-0.34	MF	10	-6.17		3876.04	-2.82	MF	20	-4.16
	4502.22	-0.34	MF	10	-6.19	39	4531.15	-2.16	MF	41	-3.98
23	4235.30	0.12	MF	39	-5.78		4592.65	-2.45	MF	42	-3.64
	4281.10	-0.42	MF	30	-5.45	41	4383.54	0.20	MF	115	-3.97
	4235.14	-0.26	KX	9	-6.32		4404.75	-0.14	MF	90	-4.30
	4257.67	-0.70	MF	9	-5.86		4415.12	-0.62	MF	74	-4.37
	4265.93	-0.27	MF	15	-6.03	42	4147.67	-2.10	MF	42	-3.98
28	4457.04	-0.56	MF	13	-5.76		4202.03	-0.71	MF	72	-4.37
	4457.55	-0.12	MF	28	-5.71		4250.79	-0.71	MF	90	-3.66
	4458.26	-0.04	MF	13	-6.24		4271.76	-0.16	MF	96	-4.08
	4461.09	-0.38	MF	4	-6.46	43	4307.90	-0.07	MF	92	-4.24
	4462.03	0.32	MF	28	-6.15		4005.25	-0.61	MF	91	-3.68
44	3926.48	0.00	MF	20	-5.51		4045.82	0.28	MF	122	-4.12
C	3918.32	-0.15	KX	11	-5.47		4143.87	-0.45	MF	89	-3.92
	3922.68	0.05	KX	14	-5.75	44	4032.64	-2.44	MF	43	-3.59
	4148.80	-0.32	KX	3	-5.92	45	3827.82	0.06	MF	85	-4.50
-	3924.08	-0.06	KX	5	-6.15	68	4408.42	-1.71	MF	36	-4.07
	4026.44	-0.52	MF	7	-5.99		4430.62	-1.66	MF	43	-3.94
							4442.34	-1.26	MF	49	-4.19
							4459.12	-1.28	MF	65	-3.70
							4494.57	-1.41	MF	52	-3.95
<b>Mn II</b>					<b>log Mn II/N<sub>T</sub></b>	=	<b>-5.30±0.22</b>				
5	4730.38	-2.15	KX	28	-5.30	69	4528.62	-0.82	MF	82	-3.68
	4738.30	-2.24	KX	25	-5.30	71	4442.84	-2.79	MF	14	-3.64
	4755.73	-1.24	KX	67	-5.10	72	4282.41	-0.81	MF	66	-4.01
							3943.34	-2.26	MF	13	-4.14

## Ek 4'ün Devamı

3949.95	-1.20	MF	51	-4.11	412	4358.50	-2.25	KX	19	-3.47	
4001.66	-1.88	MF	35	-3.90	416	4290.38	-1.79	MF	27	-3.66	
4009.71	-1.20	MF	50	-4.13	423	4120.21	-1.17	MF	33	-4.13	
73 3852.57	-1.24	MF	52	-4.03	426	3947.53	-1.57	KX	43	-3.54	
77 4447.72	-1.34	MF	66	-3.56		4000.46	-1.63	MF	25	-3.88	
120 3913.63	-1.66	MF	35	-4.03	429	3897.45	-1.25	MF	24	-4.30	
124 3845.17	-1.35	MF	48	-3.84	430	3918.64	-0.74	KX	66	-3.45	
152 4187.04	-0.55	MF	77	-3.76		3944.89	-1.46	MF	43	-3.52	
	4210.35	-0.87	MF	71	-3.62	476a	4182.38	-1.19	MF	48	-3.70
	4222.22	-0.97	MF	55	-4.09	482	4220.34	-1.29	MF	33	-3.96
	4233.61	-0.60	MF	70	-3.92		4248.22	-1.32	MF	41	-3.71
	4250.12	-0.40	MF	75	-3.95		4267.83	-1.11	MF	36	-4.04
	4260.47	-0.02	MF	99	-3.70	486	4076.23	-2.03	MF	23	-3.48
	4299.24	-0.46	KX	80	-3.80	488	3867.22	-0.42	MF	46	-4.45
175 3859.21	-0.68	MF	51	-4.40		4006.63	-1.35	KX	43	-3.56	
217 4078.36	-1.50	KX	47	-3.67	521	4225.96	-1.39	MF	28	-4.00	
219 4005.48	-2.34	KX	21	-3.53	522	4199.10	0.25	MF	80	-3.92	
221 3829.77	-1.99	MF	40	-3.37	527	3990.37	-1.45	MF	31	-3.83	
	3867.93	-1.92	MF	18	-4.04	554	4613.20	-1.67	MF	15	-3.99
267 4059.73	-1.22	MF	28	-3.83		4625.05	-1.34	MF	30	-3.89	
277 4007.28	-1.30	MF	30	-4.21		4637.50	-1.39	MF	28	-3.87	
278 3937.33	-1.45	MF	27	-4.18		4668.13	-1.29	MF	44	-3.58	
	3956.68	-0.58	KX	57	-4.18		4069.08	-1.89	MF	13	-3.81
	3981.77	-1.08	MF	33	-4.37		4080.89	-1.80	MF	18	-3.70
283 3861.34	-1.65	KX	37	-3.70	558	4058.22	-1.07	MF	36	-3.99	
284 3827.57	-2.23	KX	19	-3.63		4109.07	-1.47	MF	13	-4.24	
	3872.92	-1.75	MF	18	-4.12	559	4085.31	-0.71	MF	55	-3.80
	3907.47	-1.89	MF	15	-4.08	560	3986.18	-1.51	KX	33	-3.61
346 4741.53	-2.00	MF	18	-3.87		4024.72	-0.71	MF	51	-3.90	
350 4443.19	-1.02	MF	45	-4.05	562	3948.10	-0.26	KX	61	-4.00	
	4454.38	-1.25	MF	38	-4.05		3957.03	-0.59	MF	57	-3.91
352 4207.13	-1.46	MF	40	-3.76	565	3931.11	-1.14	MF	17	-4.42	
	4226.43	-1.52	MF	30	-3.95	597	4285.44	-0.85	KX	47	-3.90
354 4181.75	-0.18	MF	61	-4.37	603	4006.31	-0.99	MF	29	-4.22	
355 4213.65	-1.29	MF	27	-4.26	604	3948.78	-0.34	MF	47	-4.34	
357 4044.61	-1.08	MF	62	-3.41		3956.46	-0.26	MF	49	-4.37	
	4109.80	-0.91	MF	41	-4.25	606	3916.73	-0.52	MF	45	-4.24
	4114.45	-1.22	MF	32	-4.20	645	4377.80	-2.31	MF	11	-3.50
	4127.61	-0.99	MF	52	-3.86	649	4268.75	-1.46	MF	10	-4.36
	4132.90	-0.92	MF	47	-4.09	655	4031.97	-1.06	MF	31	-4.09
	4134.68	-0.49	MF	58	-4.17		4040.65	-1.12	MF	34	-3.92
358 4154.50	-0.48	KX	64	-3.95	661	3951.16	-0.38	MF	57	-3.97	
359 4062.45	-0.78	MF	47	-4.22		3985.39	-1.10	MF	25	-4.20	
	4079.85	-1.33	MF	36	-3.96	663	3883.28	-0.60	MF	36	-4.39
361 3961.15	-1.79	MF	19	-3.97	664	3846.80	0.01	MF	62	-4.16	
	3964.52	-1.55	MF	24	-4.05		3906.74	-0.97	MF	31	-4.13
362 3935.31	-1.87	MF	12	-4.14	689	4200.92	-1.00	MF	53	-3.50	
364 3942.44	-0.98	MF	50	-3.89	693	4196.22	-0.74	MF	50	-3.84	
409 4647.43	-1.31	MF	37	-3.94		4225.46	-0.50	MF	51	-4.05	
	4691.41	-1.45	MF	33	-3.89		4247.43	-0.23	MF	50	-4.37
	4710.28	-1.63	KX	33	-3.69	694	4149.37	-0.92	MF	47	-3.78

## Ek 4'ün Devamı

4154.81	-0.37	MF	68	-3.70		27	4128.74	-3.77	MF	49	-4.22
695 4114.96	-1.64	MF	15	-3.92			4273.32	-3.34	MF	58	-4.33
4126.19	-0.96	MF	49	-3.68			4303.17	-2.49	MF	103	-3.96
4157.79	-0.56	KX	66	-3.62			4385.38	-2.57	MF	88	-4.19
698 4063.27	-0.80	KX	42	-3.99			4416.82	-2.60	MF	83	-4.31
4065.40	-1.32	MF	25	-3.90		28	4087.27	-4.71	MF	25	-3.93
4084.50	-0.59	MF	47	-4.09			4178.86	-2.48	MF	94	-4.16
703 3840.01	-1.18	MF	28	-3.97			4122.64	-3.38	MF	49	-4.60
728 4003.76	-1.29	MF	21	-4.03			4258.16	-3.40	MF	63	-4.09
729 3976.61	-0.67	MF	31	-4.38			4296.57	-3.01	MF	78	-4.02
731 4940.04	-2.01	KX	11	-3.73			4369.40	-3.67	MF	47	-4.28
755 4547.85	-0.78	MF	39	-4.01		29	4002.08	-3.37	KX	47	-4.53
761 4327.09	-0.96	MF	23	-4.25		32	4314.29	-3.49	KX	55	-4.28
771 3845.69	-1.12	MF	26	-3.97			4384.33	-3.50	MF	51	-4.42
797 4432.57	-1.60	MF	14	-3.88			4413.60	-3.87	MF	36	-4.43
800 4219.36	0.12	MF	67	-3.96			4439.13	-5.27	KX	10	-3.84
801 4118.55	0.28	MF	60	-4.37		37	4472.92	-3.43	MF	56	-4.23
802 4014.53	-0.20	MF	59	-4.06			4666.75	-3.33	MF	66	-3.99
804 3846.41	-0.43	MF	51	-3.91			4491.40	-2.70	MF	82	-4.14
821 4619.29	-1.12	MF	32	-3.83			4515.34	-2.48	MF	89	-4.20
4678.85	-0.66	MF	46	-3.91			4520.22	-2.60	MF	85	-4.22
822 4638.01	-1.12	MF	48	-3.40			4534.17	-3.47	MF	60	-4.06
826 4611.28	-1.02	KX	45	-3.55			4555.89	-2.29	MF	92	-4.32
828 4401.29	-0.92	MF	30	-4.07			4582.84	-3.10	MF	59	-4.45
4484.23	-0.72	MF	42	-3.96		38	4508.28	-2.21	MF	102	-4.23
830 4388.41	-0.59	MF	45	-4.00			4522.63	-2.03	MF	99	-4.45
4423.86	-1.61	MF	17	-3.72			4541.52	-3.05	MF	74	-4.09
4433.22	-0.70	MF	43	-3.93			4549.47	-1.75	MF	153	-4.01
904 4285.83	-1.78	MF	20	-3.47			4576.33	-3.04	MF	73	-4.13
943 4030.89	-1.32	KX	13	-4.10			4583.83	-2.02	MF	132	-3.99
945 3996.97	-0.84	MF	43	-3.69			4595.68	-4.22	KX	45	-3.76
969 4452.62	-1.93	MF	6	-3.74			4620.51	-3.28	MF	59	-4.31
974 4455.03	-1.09	MF	31	-3.71		39	4138.40	-4.48	KX	34	-3.75
992 4440.84	-1.60	MF	18	-3.49		43	4601.34	-4.40	KX	26	-4.03
1075 4095.27	-1.40	MF	3	-4.40			4656.98	-3.55	KX	50	-4.27
1103 4112.97	-0.33	MF	48	-3.79			4731.44	-3.36	MF	72	-3.84
4137.42	-0.96	MF	27	-3.63			150 4138.21	-3.22	KX	22	-4.09
							151 4031.44	-3.14	KX	27	-4.04
<b>Fe II</b> log Fe III/N <sub>T</sub> = -4.11±0.24											
3 3914.48	-4.05	MF	49	-4.52			171 4474.19	-3.07	KX	25	-3.62
3945.21	-4.19	MF	76	-3.48			173 3906.04	-1.83	MF	53	-4.10
3981.62	-4.84	KX	33	-4.16			186 4549.21	-1.87	MF	52	-3.89
12 4158.45	-5.67	KX	5	-4.00			4625.91	-2.22	KX	32	-4.03
4169.98	-5.41	KX	13	-3.82			4635.33	-1.65	MF	58	-3.90
13 4018.49	-5.74	KX	4	-4.06			187 4446.24	-2.58	KX	24	-3.91
19 4602.75	-6.08	KX	5	-3.48			188 4069.88	-2.80	KX	22	-3.78
21 4119.53	-4.90	KX	33	-3.56			4111.88	-2.29	KX	15	-4.51
23 3896.11	-3.98	KX	26	-4.57			189 4061.78	-2.15	KX	34	-4.06
25 4648.94	-4.51	KX	38	-3.82			212 3960.90	-1.41	KX	24	-4.31
26 4386.58	-5.09	KX	13	-3.94			219 4628.82	-1.60	KX	22	-3.78
4461.43	-4.20	KX	39	-4.10			4631.90	-1.82	KX	18	-3.66
							220 4318.22	-1.93	KX	14	-3.75

## Ek 4'ün Devamı

4321.34	-1.76	KX	16	-3.82	Sr II		log Sr II/ $N_T$ =	-8.57±0.28
222 4449.66	-1.60	KX	24	-3.67	1	4077.71	+0.15	WM 97 -8.84
J 4097.50	-1.91	KX	7	-4.28		4215.52	-0.17	WM 119 -8.18
- 4093.24	-2.90	KX	13	-3.54	3	4161.80	-0.47	WM 25 -8.70
4286.28	-1.61	KX	32	-3.59	Y II		log Y II/ $N_T$ =	-9.98±0.31
4357.58	-2.10	KX	35	-3.99	5	4309.62	-0.75	HL 9 -10.40
4361.25	-2.08	KX	27	-4.20		4235.73	-1.50	HL 9 -9.70
4402.88	-2.75	KX	30	-3.46	6	3950.35	-0.49	HL 22 -10.14
4480.69	-2.34	KX	44	-3.43	12	4682.32	-1.51	HL 6 -9.68
4579.52	-2.36	KX	34	-3.68	Fe III		log FeIII/ $N_T$ =	-3.38±0.0
4 4419.59	-2.22	KX	3:	-3.38	Zr II		log Zr II/ $N_T$ =	-9.06±0.37
Co I				log Co I / $N_T$ = -6.47±0.15	15	4211.88	-0.98	GB 15 -9.21
18 3873.12	-0.66	MF	34	-6.45	16	3998.98	-0.67	GB 30 -8.97
28 4121.32	-0.32	MF	38	-6.39	29	4090.52	-1.10	GB 4 -9.62
29 4110.53	-1.08	MF	10	-6.40	42	4034.10	-1.55	GB 11 -8.61
31 3995.31	-0.22	MF	30	-6.67		4161.20	-0.58	GB 36 -8.77
4045.39	-1.32	MF	9	-6.20	67	4613.95	-1.52	GB 7 -8.82
32 3997.90	-0.87	MF	10	-6.61	79	4370.96	-0.71	GB 10 -9.29
34 3845.47	0.01	MF	42	-6.56		4440.45	-1.19	GB 17 -8.50
Ni I				log Ni I / $N_T$ = -5.62±0.31	88	4379.78	-0.35	GB 6 -9.64
31 3831.69	-2.00	MF	17	-5.86	97	4186.70	-0.38	GB 10 -9.20
32 3858.30	-0.97	MF	43	-6.13	Cd I		log Cd I / $N_T$ =	-5.06±0.0
52 4331.65	-2.10	MF	3	-5.80	2	4678.16	-0.97	AS 51 -5.06
86 4462.46	-0.60	MF	8	-5.65	Ba II		log Ba II/ $N_T$ =	-8.96±0.32
4470.48	-0.40	MF	12	-5.71	1	4554.03	+0.16	WM 73 -8.67
98 4600.35	-0.61	MF	4	-5.91	3	4524.93	-0.35	WM 21 -9.20
4604.99	-0.29	MF	25	-5.32	4	4130.70	+0.44	WM 22 -9.20
4648.66	-0.16	MF	14	-5.82		4166.00	-0.41	WM 4 -9.36
4714.42	0.23	MF	46	-5.33	La II		log La II/ $N_T$ =	-11.14±0.0
4715.78	-0.34	MF	7	-5.91	10	4086.72	0.13	CM 3 -11.43
4756.52	-0.34	MF	15	-5.60	27	3995.75	0.08	CM 6 -10.86
117 3908.93	-0.57	KX	7	-5.63	Pr II		log Pr II/ $N_T$ =	-9.55±0.30
132 4752.43	-0.70	MF	16	-5.06	4	4222.93	-0.02	CM 7 -9.92
151 3912.31	0.06	KX	8	-6.06		4408.82	-0.43	CM 4 -9.89
235 4729.29	-1.20	MF	3	-5.10	8	4206.72	+0.14	CM 18 -9.21
4732.46	-0.55	MF	6	-5.41	11	3904.40	-0.08	CM 16 -9.41
261 4546.92	-0.27	KX	13	-5.28	26	4062.81	+0.21	CM 19 -9.31
Ni II				log Ni II/ $N_T$ = -5.77±0.26	Nd II		log Nd II/ $N_T$ =	-9.57±0.0
9 4244.80	-3.11	KX	12	-5.56	10	4061.09	+0.57	WV 25 -9.40
10 4192.07	-3.05	KX	12	-5.61		4303.58	+0.26	WV 18 -9.74
12 4015.48	-2.42	KX	15	-6.13	Sm II		log Sm II/ $N_T$ =	-10.38±0.0
Zn I				log Zn I / $N_T$ = -7.87±0.0	88			
2 4722.16	-0.34	WAR	5	-7.87				

## **Ek 4'ün Devamı**

38 3922.40 +0.08 CM 5 -10.38  
Eu II log Eu II/N<sub>T</sub>= -11.20±0.0  
1 4129.73 0.20 BK 9 -11.20

### **gf referansları:**

AS = Assumed (tahmin )

BK = Biemont ve ark., (1982)

CM = Corliss ve Bozman (1962);  
Magazu ve Cowley (1986)

FW = Fuhr ve Wiese (1990)

GB = Grevesse ve ark., (1981)

HL = Hannaford ve ark., (1982)

KX = Kurucz (1993).

LA = Lanz ve Artru (1985).

MF = Fuhr ve ark., (1988);

Martin ve ark., (1988).

SC = Schaeffer (1971).

WF = Wiese ve Fuhr (1975).

WM = Wiese ve Martin (1980).

WS = Wiese, Smith ve Glennon,  
(1966); Wiese, Smith ve  
Miles, (1969).

WV = Ward, (1988).

YF= Younger ve ark., (1978).

#### **Ek 5- HD 204411'in ATLAS 9'dan Elde Edilen Atmosfer Modeli**

```

Te 8400. GRAVITY 3.30000 LTE
TITLE HD 204411 MODEL [+0.5] VTURB 2.0 Km/s mod abunds
OPACITY IFOP 1 1 1 1 1 1 1 1 1 1 1 1 1 1 1 1 1 1 1 0 1 0 0 0 0 0 0
CONVECTION OFF 1.00 TURBULANCE OFF 0.00 0.00 0.00 0.00
ABUNDANCA SCALE 3.16200 ABUNDANCE CHANGE 1 0.91100 2 0.08900
ABUNDANCE CHANGE 3 -10.88 4 -10.89 5 -9.44 6 -3.48 7 -4.54 8 -3.11
ABUNDANCE CHANGE 9 -7.48 10 -3.95 11 -5.71 12 -5.34 13 -7.75 14 -5.05
ABUNDANCE CHANGE 15 -6.59 16 -4.83 17 -6.54 18 -5.48 19 -6.82 20 -5.73
ABUNDANCE CHANGE 21 -10.39 22 -7.20 23 -8.87 24 -5.86 25 -6.59 26 -4.85
ABUNDANCE CHANGE 27 -7.00 28 -6.20 29 -7.83 30 -7.44 31 -9.16 32 -8.63
ABUNDANCE CHANGE 33 -9.67 34 -8.69 35 -9.41 36 -8.81 37 -9.44 38 -9.06
ABUNDANCE CHANGE 39 -10.47 40 -10.00 41 -10.62 42 -10.12 43 -20.00 44 -10.20
ABUNDANCE CHANGE 45 -10.92 46 -10.35 47 -11.10 48 -10.18 49 -10.58 50 -10.04
ABUNDANCE CHANGE 51 -11.04 52 -9.80 53 -10.53 54 -9.81 55 -10.92 56 -9.20
ABUNDANCE CHANGE 57 -11.38 58 -10.55 59 -11.33 60 -10.50 61 -20.00 62 -11.10
ABUNDANCE CHANGE 63 -11.69 64 -10.92 65 -11.94 66 -10.98 67 -11.78 68 -11.11
ABUNDANCE CHANGE 69 -12.04 70 -10.96 71 -11.28 72 -11.16 73 -11.91 74 -10.93
ABUNDANCE CHANGE 75 -11.77 76 -10.59 77 -10.69 78 -10.24 79 -11.03 80 -10.95
ABUNDANCE CHANGE 81 -11.14 82 -10.19 83 -11.33 84 -20.00 85 -20.00 86 -20.00
ABUNDANCE CHANGE 87 -20.00 88 -20.00 89 -20.00 90 -11.92 91 -20.00 92 -12.51
ABUNDANCE CHANGE 93 -20.00 94 -20.00 95 -20.00 96 -20.00 97 -20.00 98 -20.00
ABUNDANCE CHANGE 99 -20.00

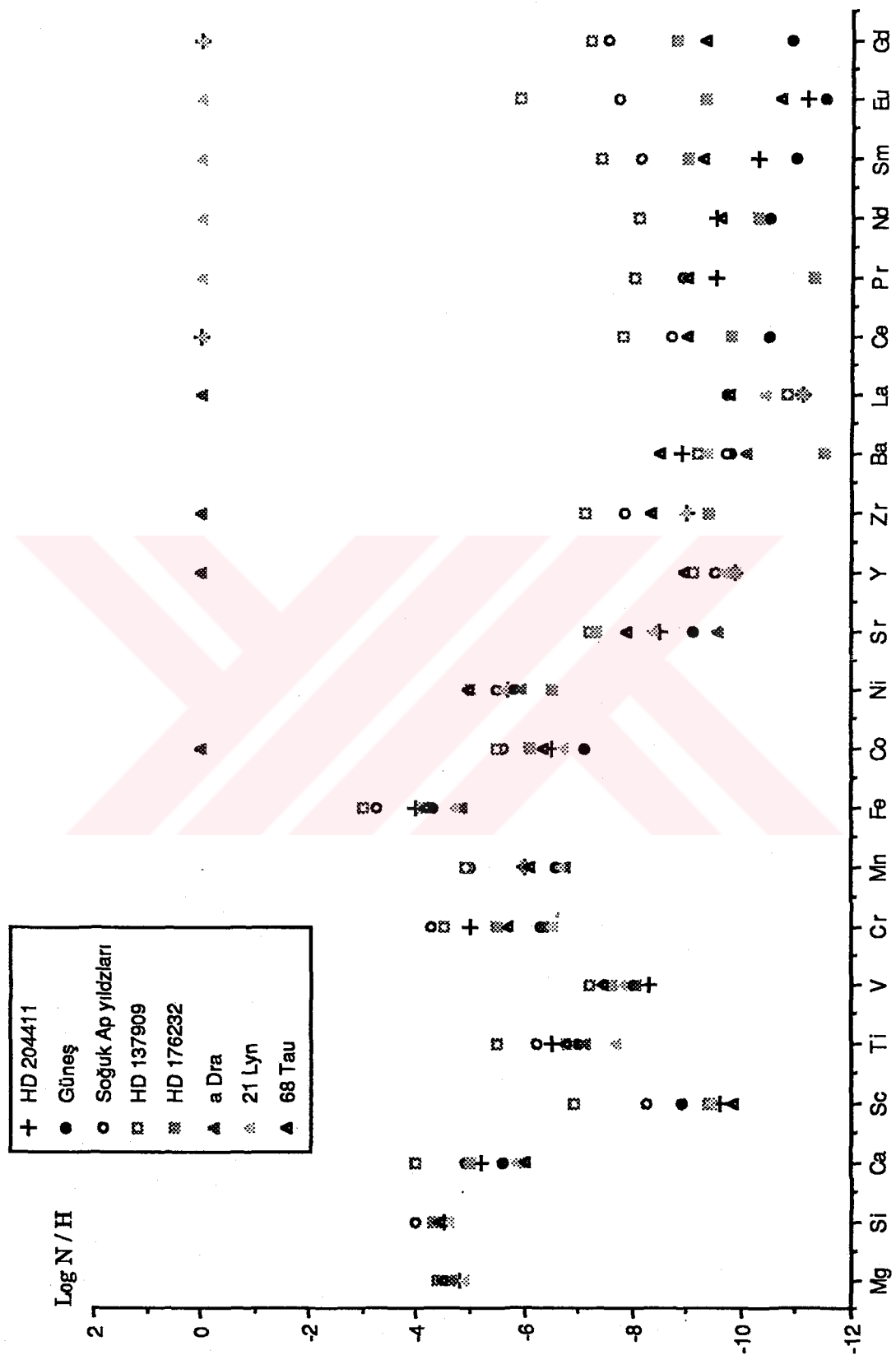
```

RHOX	T	P	XNE	ABROSS	ACCRAD	VTURB
2.43664581E-4	5296.1	4.856E-1	8.350E+ 9	5.473E-3	2.246E+0	2.000E+5
3.26251792E-4	5321.4	6.502E-1	1.041E+10	5.298E-3	2.240E+0	2.000E+5
4.37887137E-4	5358.9	8.727E-1	1.343E+10	5.328E-3	2.216E+0	2.000E+5
5.84769342E-4	5399.8	1.165E+0	1.739E+10	5.443E-3	2.160E+0	2.000E+5
7.75117511E-4	5443.3	1.545E+0	2.256E+10	5.644E-3	2.106E+0	2.000E+5
1.01845103E-3	5488.1	2.030E+0	2.916E+10	5.919E-3	2.054E+0	2.000E+5
1.32615052E-3	5533.6	2.643E+0	3.752E+10	6.274E-3	2.008E+0	2.000E+5
1.71132589E-3	5579.7	3.410E+0	4.801E+10	6.717E-3	1.969E+0	2.000E+5
2.18858069E-3	5626.0	4.362E+0	6.109E+10	7.258E-3	1.938E+0	2.000E+5
2.77489635E-3	5672.7	5.530E+0	7.730E+10	7.911E-3	1.913E+0	2.000E+5
3.48912213E-3	5719.5	6.954E+0	9.725E+10	8.964E-3	1.892E+0	2.000E+5
4.35244327E-3	5766.6	8.675E+0	1.217E+11	9.627E-3	1.877E+0	2.000E+5
5.38793621E-3	5814.1	1.704E+1	1.515E+11	1.074E-2	1.870E+0	2.000E+5
6.62142346E-3	5861.8	1.320E+1	1.878E+11	1.206E-2	1.869E+0	2.000E+5

## Ek 5'in Devamı

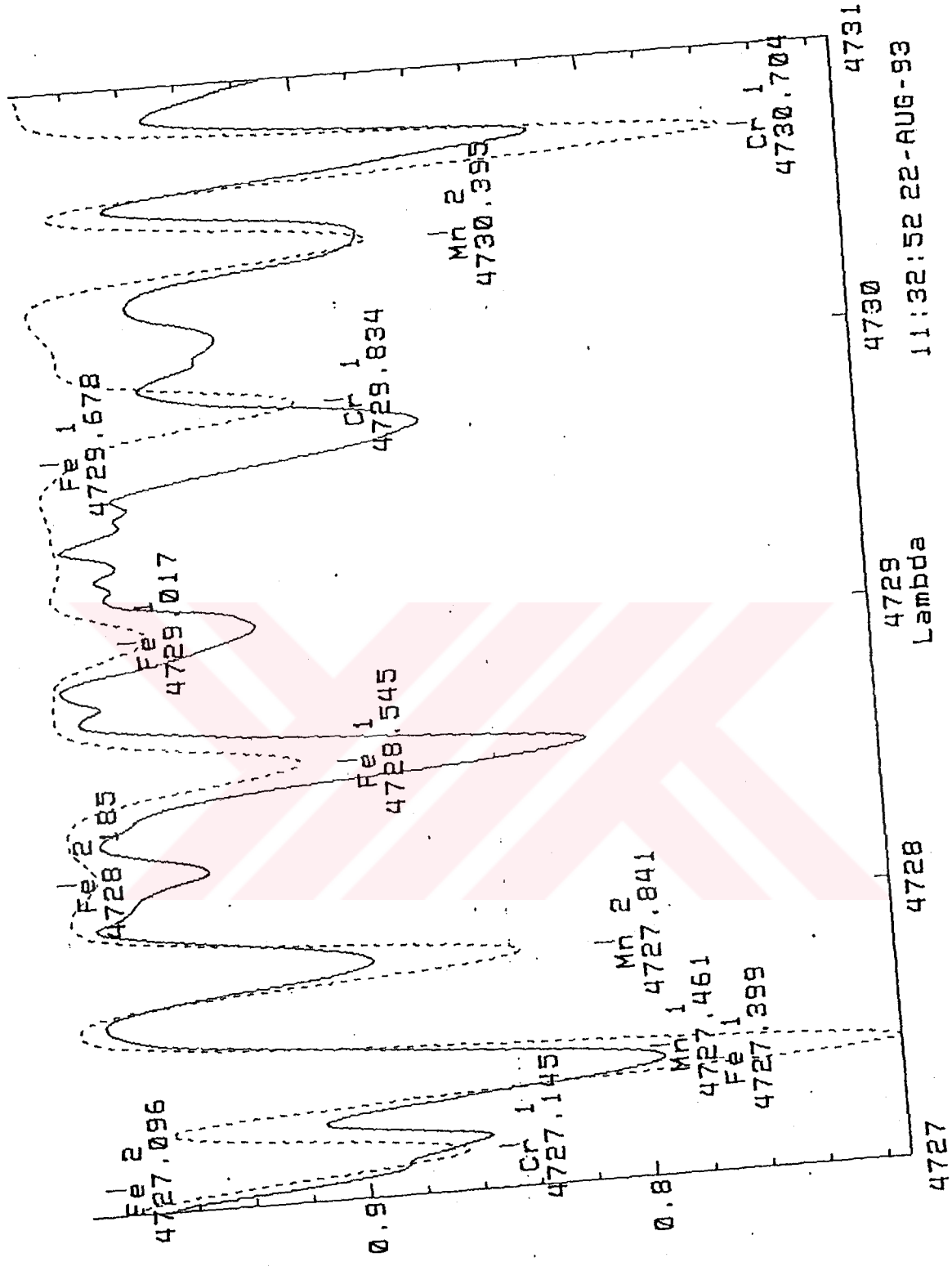
8.08164648E-3	5910.1	1.611E+1	2.317E+11	1.363E-2	1.873E+0	2.000E+5
9.80107992E-3	5958.7	1.954E+1	2.847E+11	1.547E-2	1.878E+0	2.000E+5
1.18168663E-2	6007.7	2.355E+1	3.484E+11	1.762E-2	1.886E+0	2.000E+5
1.41723450E-2	6056.7	2.825E+1	4.247E+11	2.014E-2	1.898E+0	2.000E+5
1.69176045E-2	6105.9	3.372E+1	5.156E+11	2.307E-2	1.916E+0	2.000E+5
2.01099270E-2	6155.4	4.009E+1	6.240E+11	2.648E-2	1.943E+0	2.000E+5
2.38135937E-2	6205.2	4.747E+1	7.530E+11	3.048E-2	1.977E+0	2.000E+5
2.81011404E-2	6255.5	5.601E+1	9.064E+11	3.514E-2	2.017E+0	2.000E+5
3.30571115E-2	6306.0	6.589E+1	1.088E+12	4.056E-2	2.064E+0	2.000E+5
3.87798115E-2	6356.9	7.730E+1	1.303E+12	4.686E-2	2.118E+0	2.000E+5
4.53838086E-2	6408.0	9.046E+1	1.558E+12	5.416E-2	2.181E+0	2.000E+5
5.30013525E-2	6459.4	1.056E+2	1.857E+12	6.262E-2	2.256E+0	2.000E+5
6.17850465E-2	6511.1	1.231E+2	2.211E+12	7.243E-2	2.345E+0	2.000E+5
7.19114605E-2	6563.0	1.433E+2	2.627E+12	8.378E-2	2.448E+0	2.000E+5
8.35855915E-2	6615.3	1.666E+2	3.116E+12	9.692E-2	2.569E+0	2.000E+5
9.70349559E-2	6668.1	1.934E+2	3.691E+12	1.123E-1	2.716E+0	2.000E+5
1.12514722E-1	6721.6	2.242E+2	4.371E+12	1.301E-1	2.892E+0	2.000E+5
1.30309917E-1	6776.5	2.597E+2	5.176E+12	1.511E-1	3.103E+0	2.000E+5
1.50722567E-1	6833.4	3.004E+2	6.136E+12	1.759E-1	3.361E+0	2.000E+5
1.70449397E-1	6893.4	3.468E+2	7.294E+12	2.058E-1	3.682E+0	2.000E+5
2.00558041E-1	6957.6	3.996E+2	8.705E+12	2.422E-1	4.083E+0	2.000E+5
2.30468348E-1	7027.3	4.592E+2	1.044E+13	2.875E-1	4.589E+0	2.000E+5
2.63902855E-1	7104.1	5.527E+2	1.261E+13	3.449E-1	5.241E+0	2.000E+5
3.00797229E-1	7190.3	5.991E+2	1.537E+13	4.199E-1	6.103E+0	2.000E+5
3.40872836E-1	7287.8	6.788E+2	1.893E+13	5.199E-1	7.263E+0	2.000E+5
3.83600410E-1	7399.7	6.637E+2	2.361E+13	6.572E-1	8.688E+0	2.000E+5
4.28129098E-1	7529.3	8.521E+2	2.987E+13	8.518E-1	1.116E+1	2.000E+5
4.73238151E-1	7680.8	9.415E+2	3.843E+13	1.139E+0	1.451E+1	2.000E+5
5.17451154E-1	7857.5	1.029E+3	5.023E+13	1.577E+0	1.955E+1	2.000E+5
5.59280774E-1	8063.7	1.112E+3	6.669E+13	2.264E+0	2.732E+1	2.000E+5
5.97435783E-1	8303.1	1.186E+3	8.962E+13	3.368E+0	3.936E+1	2.000E+5
6.31103977E-1	8578.1	1.252E+3	1.211E+14	5.159E+0	5.811E+1	2.000E+5
6.60194427E-1	8890.3	1.308E+3	1.629E+14	8.000E+0	8.642E+1	2.000E+5
6.85229128E-1	9243.3	1.355E+3	2.158E+14	1.232E+1	1.277E+2	2.000E+5
7.07266675E-1	9642.4	1.396E+3	2.773E+14	1.818E+1	1.814E+2	2.000E+5
7.28019915E-1	10094.5	1.433E+3	3.397E+14	2.468E+1	2.399E+2	2.000E+5
7.49869115E-1	10605.7	1.471E+3	3.912E+14	2.913E+1	2.722E+2	2.000E+5
7.76406364E-1	11181.5	1.516E+3	4.236E+14	2.989E+1	2.842E+2	2.000E+5
8.13891669E-1	11834.9	1.581E+3	4.405E+14	2.638E+1	2.492E+2	2.000E+5
8.72522043E-1	12564.1	1.685E+3	4.534E+14	2.180E+1	2.074E+2	2.000E+5
9.69681693E-1	13380.2	1.861E+3	4.757E+14	1.724E+1	1.634E+2	2.000E+5
1.13172116E+0	14275.2	2.160E+3	5.212E+14	1.403E+1	1.327E+2	2.000E+5
1.38996555E+0	15255.0	2.644E+3	6.020E+14	1.207E+1	1.138E+2	2.000E+5
1.77735111E+0	16317.5	3.375E+3	7.273E+14	1.104E+1	1.037E+2	2.000E+5
2.32890081E+0	17472.8	4.420E+3	9.007E+14	1.054E+1	9.876E+1	2.000E+5
3.08950226E+0	18721.0	5.864E+3	1.125E+15	1.028E+1	9.625E+1	2.000E+5
4.12938895E+0	20078.7	7.840E+3	1.408E+15	1.003E+1	9.403E+1	2.000E+5
5.53365441E+0	21538.8	1.051E+4	1.763E+15	1.001E+1	9.372E+1	2.000E+5
7.40510910E+0	23120.0	1.407E+4	2.200E+15	1.004E+1	9.348E+1	2.000E+5
9.88471344E+0	24816.5	1.879E+4	2.739E+15	1.034E+1	9.072E+1	2.000E+5

Ek 6- HD 204411 Atmosfer Bolluğuının, Normal ve Özel A Tipi Yıldızlar ve Güneş Bolluğu ile Kıyaslannası



\*\*\* Plot spectra (1, n) \*\*\*  
R48927600  
RHR4740

Strike key for next plot:  
<S>XMV^FB, WARI/-+PTCODE, H=Help



**Ek 8- SYNTHE Modelinden elde edilen elementler. Tanımlanan Fe I çizgileri Nave ve ark., 1994'ten alınmıştır.**

Fe I (704) 3828.148 (2.73)	Cr II ( ) 4017.572 ( )
Fe I (663) 3829.362 (3.37)	Ni I ( ) 4020.251 ( )
Ce II ( ) 3830.023 ( )	Ni I ( ) 4025.789 ( )
N I ( ) 3830.433 ( )	Cr II ( ) 4030.358 ( )
Nd II ( ) 3830.479 ( )	Fe II ( ) 4034.235 ( )
Fe I ( ) 3838.426 ( )	Ti II ( ) 4056.189 ( )
Nd II ( ) 3841.817 ( )	Fe II ( ) 4056.347 ( )
Ce II ( ) 3853.156 ( )	Ce II ( ) 4060.470 ( )
Fe II ( ) 3857.434 ( )	Cr I ( ) 4061.900 ( )
Cr I ( ) 3857.644 ( )	Cr I ( ) 4062.790 ( )
Cr I ( ) 3859.588 ( )	Fe I ( ) 4063.627 ( )
Sm II ( ) 3862.049 ( )	Cr II ( ) 4064.057 ( )
Cr II ( ) 3865.949 ( )	Fe II ( ) 4074.119 ( )
Cr I ( ) 3867.928 ( )	Fe I (558) 4080.214 (3.26)
Dy II ( ) 3869.864 ( )	Cr II ( ) 4091.195 ( )
Cr I ( ) 3870.598 ( )	Fe I ( ) 4092.277 ( )
Dy II ( ) 3873.986 ( )	Mn II ( ) 4094.407 ( )
Cr I ( ) 3875.021 ( )	Cr II ( ) 4097.114 ( )
Cr I ( ) 3875.091 ( )	Mn II ( ) 4110.615 ( )
Nd II ( ) 3875.861 ( )	Fe II ( ) 4116.970 ( )
Cr I ( ) 3877.963 ( )	Fe II ( ) 4120.039 ( )
Fe I (565) 3878.185 (3.18)	Mn II ( ) 4128.129 ( )
Nd II ( ) 3880.372 ( )	Ti II ( ) 4129.159 ( )
Fe II ( ) 3881.974 ( )	Cr I ( ) 4144.029 ( )
Cr I ( ) 3883.081 ( )	Co II ( ) 4145.136 ( )
Cr I ( ) 3886.055 ( )	Cr II ( ) 4146.388 ( )
Fe I (663) 3894.014 (3.44)	Fe II ( ) 4155.774 ( )
Dy II ( ) 3898.528 ( )	Cr I ( ) 4157.247 ( )
Fe II ( ) 3902.488 ( )	Co II ( ) 4160.673 ( )
Cr I ( ) 3902.912 ( )	Fe I ( - ) 4165.359 (2.30)
Cr I ( ) 3910.568 ( )	Cr II ( ) 4165.744 ( )
Ti II ( ) 3916.740 ( )	Cr I ( ) 4167.971 ( )
Cr II ( ) 3923.841 ( )	Cr II ( ) 4172.144 ( )
Cr II ( ) 3925.418 ( )	Ni II ( ) 4187.849 ( )
Cr II ( ) 3927.372 ( )	Fe II ( ) 4200.521 ( )
Cr II ( ) 3939.025 ( )	Ti II ( ) 4205.912 ( )
Fe II ( ) 3942.109 ( )	Cr I ( ) 4210.243 ( )
Mn II ( ) 3943.598 ( )	Fe I (482) 4210.383 (3.52)
Cr I ( ) 3943.800 ( )	Cr II ( ) 4211.080 ( )
Fe I ( ) 3944.381 ( )	Cr I ( ) 4211.364 ( )
Fe II ( ) 3944.438 ( )	N I ( ) 4214.800 ( )
Nd II ( ) 3948.339 ( )	Fe I ( ) 4219.112 ( )
Fe II ( ) 3959.181 ( )	Fe II ( ) 4221.396 ( )
Cr II ( ) 3968.707 ( )	Fe II ( ) 4227.173 ( )
Cr II ( ) 3976.157 ( )	N I ( ) 4230.464 ( )
Cr I ( ) 3976.704 ( )	Cr II ( ) 4236.379 ( )
Fe I (601) 4004.828 (3.54)	Mn II ( ) 4240.390 ( )

**Ek 8- SYNTHE Modelinden elde edilen elementler. Tanımlanan Fe I çizgileri Nave ve ark., 1994'ten alınmıştır.**

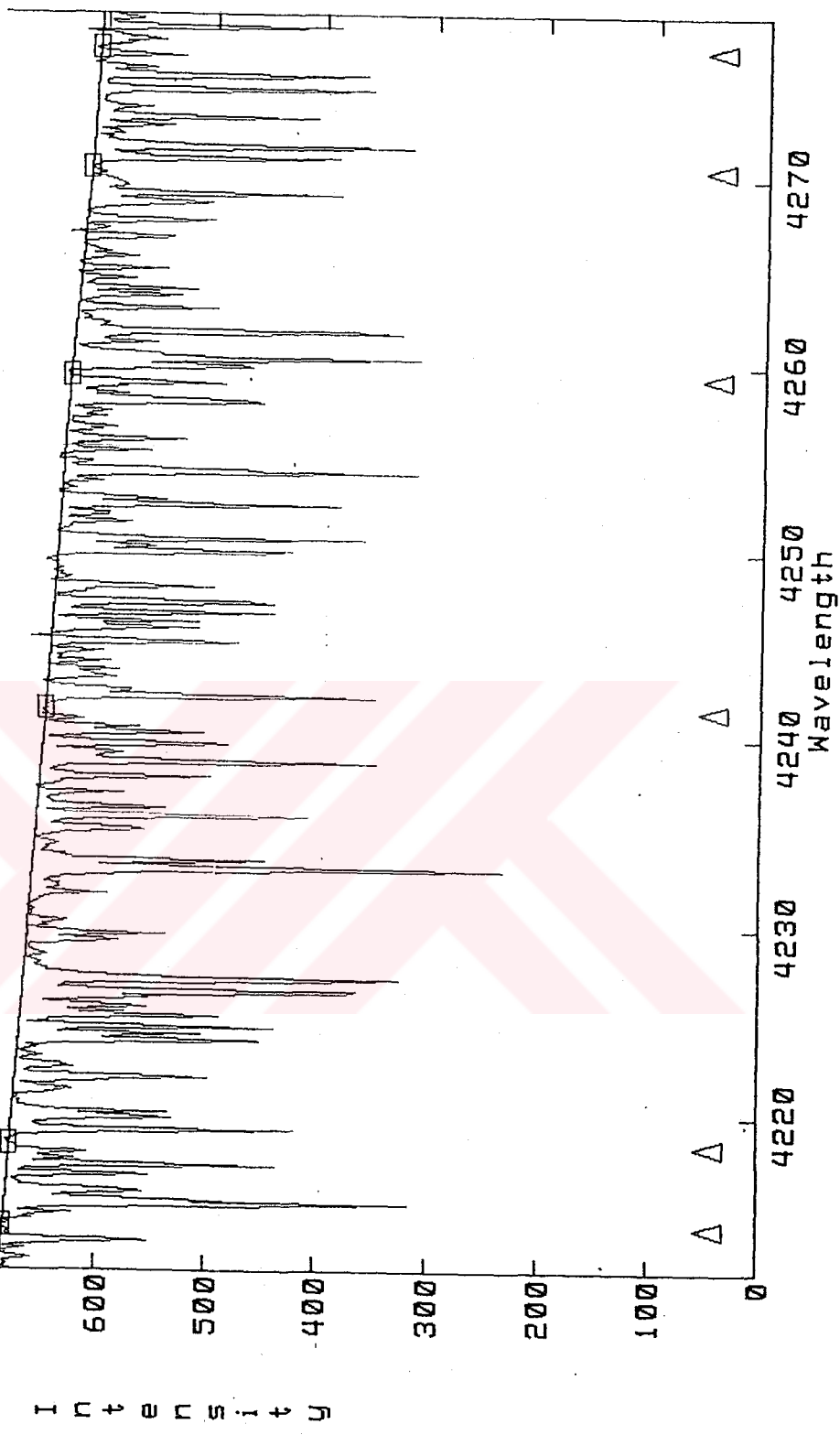
Ti II ( ) 4242.158 ( )	Fe I ( ) 4378.341 ( )
Co II ( ) 4244.249 ( )	Fe II ( ) 4379.500 ( )
Ce II ( ) 4245.878 ( )	Fe II ( ) 4380.740 ( )
Cr I ( ) 4246.141 ( )	Cr I ( ) 4382.505 ( )
Mn II ( ) 4253.112 ( )	Mn II ( ) 4385.762 ( )
Cr II ( ) 4257.415 ( )	Fe II ( ) 4386.159 ( )
Cr I ( ) 4261.602 ( )	Cr I ( ) 4389.255 ( )
Cr II ( ) 4263.711 ( )	Cr I ( ) 4390.535 ( )
Nd II ( ) 4263.992 ( )	Cr II ( ) 4391.791 ( )
Cr II ( ) 4264.222 ( )	Fe II ( ) 4397.931 ( )
Fe II ( ) 4265.889 ( )	Fe II ( ) 4400.658 ( )
Cr II ( ) 4266.180 ( )	Ti II ( ) 4408.759 ( )
Cr I ( ) 4271.247 ( )	Fe II ( ) 4411.422 ( )
Co II ( ) 4272.238 ( )	Ti II ( ) 4412.330 ( )
Cr I ( ) 4274.796 ( )	Cr II ( ) 4412.864 ( )
Ti II ( ) 4277.537 ( )	Cr II ( ) 4419.604 ( )
Mn II ( ) 4278.614 ( )	Cr II ( ) 4421.564 ( )
Fe II ( ) 4286.280 ( )	Cr I ( ) 4424.500 ( )
Fe I (691) 4286.863 (2.50)	Cr II ( ) 4427.149 ( )
Fe I (691) 4287.945 (2.36)	Co I ( ) 4427.476 ( )
Cr I ( ) 4288.558 ( )	Cr II ( ) 4428.424 ( )
Fe II ( ) 4288.558 ( )	Cr I ( ) 4430.459 ( )
Ti II ( ) 4290.353 ( )	Cr I ( ) 4430.740 ( )
Fe I (597) 4299.234 (4.80)	Fe II ( ) 4431.552 ( )
Cr I ( ) 4300.498 ( )	Mn II ( ) 4435.741 ( )
Ti II ( ) 4301.279 ( )	Fe II ( ) 4436.081 ( )
Cr I ( ) 4302.762 ( )	Fe II ( ) 4440.430 ( )
Cr II ( ) 4302.803 ( )	Cr I ( ) 4441.002 ( )
Cr II ( ) 4303.562 ( )	Fe II ( ) 4444.290 ( )
Cr II ( ) 4306.259 ( )	Fe II ( ) 4448.521 ( )
Cr II ( ) 4306.916 ( )	Fe II ( ) 4451.975 ( )
Ti II ( ) 4307.863 ( )	Ce II ( ) 4453.158 ( )
Cr II ( ) 4309.790 ( )	Cr I ( ) 4458.497 ( )
Cr I ( ) 4310.656 ( )	Fe II ( ) 4467.931 ( )
Fe II ( ) 4314.979 ( )	Fe II ( ) 4472.086 ( )
Cr II ( ) 4315.530 ( )	Fe II ( ) 4472.257 ( )
Cr II ( ) 4316.898 ( )	Fe II ( ) 4472.622 ( )
Cr II ( ) 4318.697 ( )	Mn I ( ) 4472.680 ( )
Ti I ( ) 4318.631 ( )	Cr I ( ) 4474.561 ( )
Fe II ( ) 4319.680 ( )	Cr I ( ) 4484.592 ( )
Nd II ( ) 4325.758 ( )	Fe II ( ) 4485.978 ( )
Ti II ( ) 4330.695 ( )	Th II ( ) 4487.496 ( )
Fe I (830) 4344.500(2.52)	Cr I ( ) 4488.093 ( )
Cr I ( ) 4360.003 ( )	Fe II ( ) 4488.520 ( )
Cr I ( ) 4362.044 ( )	Fe I ( - ) 4490.808 (2.22)
Fe I (517) 4375.985 (2.59)	Mn I ( ) 4491.648 ( )
Fe II ( ) 4377.337 ( )	Cr I ( ) 4495.647 ( )

**Ek 8- SYNTHE Modelinden elde edilen elementler. Tanımlanan Fe I çizgileri Nave ve ark., 1994'ten alınmıştır.**

Mn II ( ) 4497.941 ( )	Cr II ( ) 4612.241 ( )
Mn II ( ) 4498.860 ( )	Cr II ( ) 4618.803 ( )
Fe II ( ) 4499.284 ( )	Fe II ( ) 4625.481 ( )
Ti II ( ) 4500.353 ( )	Cr I ( ) 4632.129 ( )
Mn II ( ) 4500.543 ( )	Cr I ( ) 4632.215 ( )
Co II ( ) 4500.565 ( )	Cr I ( ) 4672.734 ( )
Cr I ( ) 4501.068 ( )	Cr II ( ) 4684.125 ( )
Mn II ( ) 4503.201 ( )	Mn II ( ) 4689.546 ( )
Cr II ( ) 4503.556 ( )	Cr II ( ) 4658.209 ( )
Fe II ( ) 4509.657 ( )	Co II ( ) 4660.656 ( )
Fe I ( ) 4509.930 ( )	Fe II ( ) 4668.923 ( )
Cr I ( ) 4510.000 ( )	Cr II ( ) 4701.608 ( )
Fe I ( ) 4510.513 ( )	Cr II ( ) 4713.965 ( )
Ti II ( ) 4512.733 ( )	Cr I ( ) 4713.996 ( )
Cr II ( ) 4514.459 ( )	Cr I ( ) 4723.125 ( )
Fe II ( ) 4515.609 ( )	Cr II ( ) 4723.340 ( )
Cr II ( ) 4516.008 ( )	Cr II ( ) 4736.999 ( )
Co II ( ) 4516.633 ( )	Cr II ( ) 4742.162 ( )
Fe II ( ) 4524.493 ( )	Fe I ( - ) 4744.940 (1.78)
Ti II ( ) 4525.242 ( )	Mn II ( ) 4749.112 ( )
Mn II ( ) 4525.326 ( )	Zn I ( ) 4754.723 ( )
Co II ( ) 4533.212 ( )	Cr II ( ) 4765.110 ( )
Fe II ( ) 4533.732 ( )	Mn II ( ) 4770.351 ( )
Cr I ( ) 4533.956 ( )	
Cr I ( ) 4535.695 ( )	
Ti I ( ) 4549.617 ( )	
Ti II ( ) 4549.814 ( )	
Fe II ( ) 4550.647 ( )	
Cr II ( ) 4552.271 ( )	
Fe II ( ) 4553.252 ( )	
Cr II ( ) 4558.309 ( )	
Co II ( ) 4569.250 ( )	
Cr I ( ) 4569.621 ( )	
Cr II ( ) 4572.790 ( )	
Cr II ( ) 4577.419 ( )	
Cr I ( ) 4578.298 ( )	
Cr II ( ) 4588.624 ( )	
Fe II ( ) 4591.004 ( )	
Ni I ( ) 4596.383 ( )	
Fe II ( ) 4598.494 ( )	
Cr II ( ) 4604.460 ( )	
Cr II ( ) 4604.861 ( )	
Fe II ( ) 4605.370 ( )	

Verif, Options:<X>^vM\$#NP'Z CLADTBYZ, -End Verif, I=Info, R=Abandon  
 E=old limits, Use two spacebar settings with " " to define new plot  
 W=Skip to particular wavelength, J>Edit bad data  
 These commands will not plot continuum: B=add, Y=delete, Z=encode ht  
 Continuum OK? Y, V or W=Verify again, R=Restart Sequence  
 S=Yes+Store measured continuum file Y

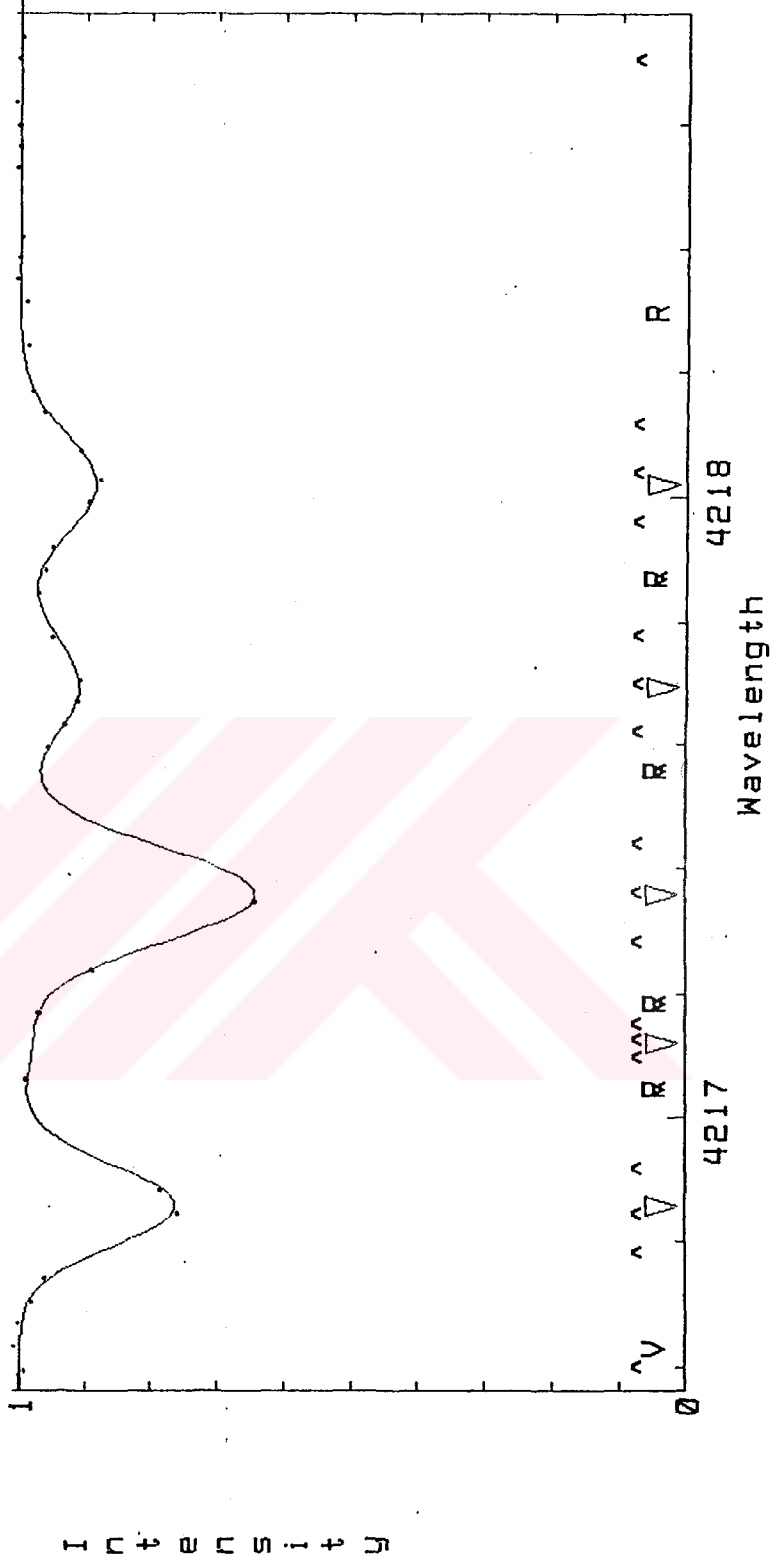
I48937092 HR 8216 09:32:49 93/05/27 49134.9235 STELLAR



FIT GLR45QMKVS0BNTFEW& LNBFPWOS^;W EW TJKRNBOS

#	Lam	err	RV	EW 0	EW 1	0 fit	FWHM	Beta	Comment
	4216.859	0.001		38.2	38.4	0.236	0.15A	Gaus	mA OK
	4217.122	0.014		3.0	2.8	0.018	0.14A	Gaus	mA OK
	4217.358	0.001		67.7	67.9	0.357	0.18A	Gaus	mA OK
	4217.696	0.003		18.5	18.5	0.090	0.19A	Gaus	mA OK
	4218.021	0.002		23.0	23.1	0.115	0.19A	Gaus	mA OK

R48937092 HR 8216 09:32:49 93/05/27 49134.



## VIII. ÖZGEÇMİŞ

**ADI ve SOYADI** : Hülya Çalışkan  
**DOĞUM TARİHİ ve YERİ** : 29 Temmuz 1965, Ankara  
**TAHSİL HAYATI:**  
**İLKOKUL** : İzmit 50. Yıl İlkokulu 1971 - 1976  
**ORTAOKUL** : İzmit Ortaokulu 1976 - 1979  
**LİSE** : İzmit Lisesi 1979 - 1982  
**ÜNİVERSİTE** : İ.Ü. Fen Fakültesi, Astronomi ve Uzay Bilimleri  
Bölümü  
Lisans: 1982 - 1986  
Yükseklisans: İ.Ü. Fen Bilimleri Enstitüsü'nde  
“Yıldızlarda Kütle Kaybı Hakkında” konulu tez ile, 1987 - 1990.

Doktora: İ.Ü. Fen bilimleri Enstitüsü'nde 1990  
yılında doktora öğrenimine başladı. Yıldız Atmosferleri programında  
“Normal ve Özel A Yıldızlarının, Spektrum Sentez Tekniği ile Atmosfer  
Yapılarının İncelenmesi” konulu doktora çalışmasını sunmaktadır.

**GÖREVİ** :

1989 yılından beri İ.Ü.Fen Bilimleri Enstitüsü'ne ait Araştırma  
Görevlisi kadrosunda olup, Astronomi ve Uzay Bilimleri Bölümünde  
çalışmaktadır. İyi derecede İngilizce bilmektedir.

### OKUTTUĞU DERSLER YAPTIĞI UYGULAMALAR:

- 1- Özel Şener Lisesi, 1988 - 1989  
Orta 1-2. sınıf matematik dersleri.
- 2- İstanbul Üniversitesi, Astronomi ve Uzay Bilimleri Bölümü,  
Genel Astronomi II (Uygulama) 1990-1991.  
Spektroskopi (Uygulama) 1991-1994.  
Güneş (Uygulama) 1994'ten beri.

### YURT İÇİ ve YURT DIŞI ETKİNLİKLER:

**Yurtçi:** Güneş fotosferi ve kromosferine ait görsel ve fotografik gözlemler.  
Bu gözlemler, 1989 yılında başlamış olup, halen düzenli olarak devam  
etmektedir.

**Yurtdışı:** 1993 yılı Haziran-Ağustos döneminde ABD Charleston, The Citadel, Fizik bölümünde misafir araştırmacı olarak çalışmıştır.

**KATILDIĞI KONGRE ve KONFERANSLAR:**

- 1- VI. Ulusal Astronomi Kongresi, 14-16 Eylül 1988 Bornova- İZMİR.
- 2- NATO ASI "Timing Neutron Stars", 1988 Çeşme- İZMİR.
- 3- NATO ASI "Active Close Binary Stars", 11-12 Eylül 1989 Kuşadası- İZMİR.
- 4- VII. Ulusal Astronomi Kongresi, 10-15 Eylül 1990 Silivri-İSTANBUL.
- 5- Prof.Dr. Kamuran Avcioğlu Sempozyumu, "Türkiye ve Dünyada Astronomi Eğitim-Öğretimi" 16 Temmuz 1991 İ.Ü. Fen Fakültesi İSTANBUL.
- 6- VIII. Ulusal Astronomi Kongresi 6-11 Eylül 1992 İnönü Üniversitesi MALATYA.
- 7- IAU Coll. 138 "Peculiar versus Normal Phenomena in A Type and Related Stars", 6-12 Temmuz 1992, Trieste, İTALYA.
- 8- "Fatih' ten Günümüze Astronomi" Sempozyum, 17-Ekim 1993, İSTANBUL.
- 9- Yaz Okulu; "Değişen Yıldızların Fotoelektrik Işık Ölçümleri" 22 Ağustos-3 Eylül 1994, A.Ü. Gözlemevi, ANKARA.
- 10- IX. Ulusal Astronomi Kongresi, 5-7 Eylül 1994 ODTÜ, ANKARA.
- 11- Açık Sistem 95 Sempozyumu, TRUUG, Açık Sistem Kullanıcıları Derneği, 22-24 Şubat, Hyatt Regency Hotel, İSTANBUL.

**YAYIN LİSTESİ:**

- 1- Yıldızlarda Kütle Kaybı Ölçme Yöntemleri (poster)  
Çalışkan, H. 1990, VII. Ulusal Astronomi Kongresi Bildiri Kitabı, s.497
- 2- The Spectrum Analysis of the Metallic-lined Star 8 Com.  
Çalışkan, H. ; Koktay, T.; Güzel, T.; Denizman, L. 1992, VIII. Ulusal Astronomi Kongresi Bildirisi.
- 3- uvby Photometry of Cemically Peculiar Stars α Andromedae, HD 84905, HR 8216, and HR 8434.  
Adelman, S.J.; Brown, B.H.; Çalışkan, H.; Reese, D.F.; Adelman, C.J. 1994, A&A. Suppl. 106, 333-337.

**4- Elemental Abundances of the Magnetic Chemically Peculiar Star HD204411.**

Çalışkan H.; Adelman Saul J. 1994, "Astrophysical Applications of Powerful New Databases" IAU 22.GA. No.16, Vol.78,edit. S.J. Adelman; W.L. Wiese sayfa,443.

**5- On the Effective Temperatures, Surface Gravities, and Optical Region Fluxes of the Magnetic CP Stars.**

Adelman S.J, Pyper D.M., Lopez-Garcia Z., Çalışkan, H. 1995, A&A., 296, 467.

**ÜYESİ OLDUĞU DERNEKLER:**

Türk Astronomi Derneği.

TRUUG Açık Sistem Kullanıcıları Derneği.